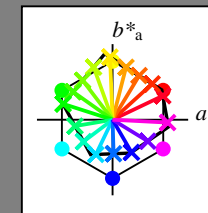


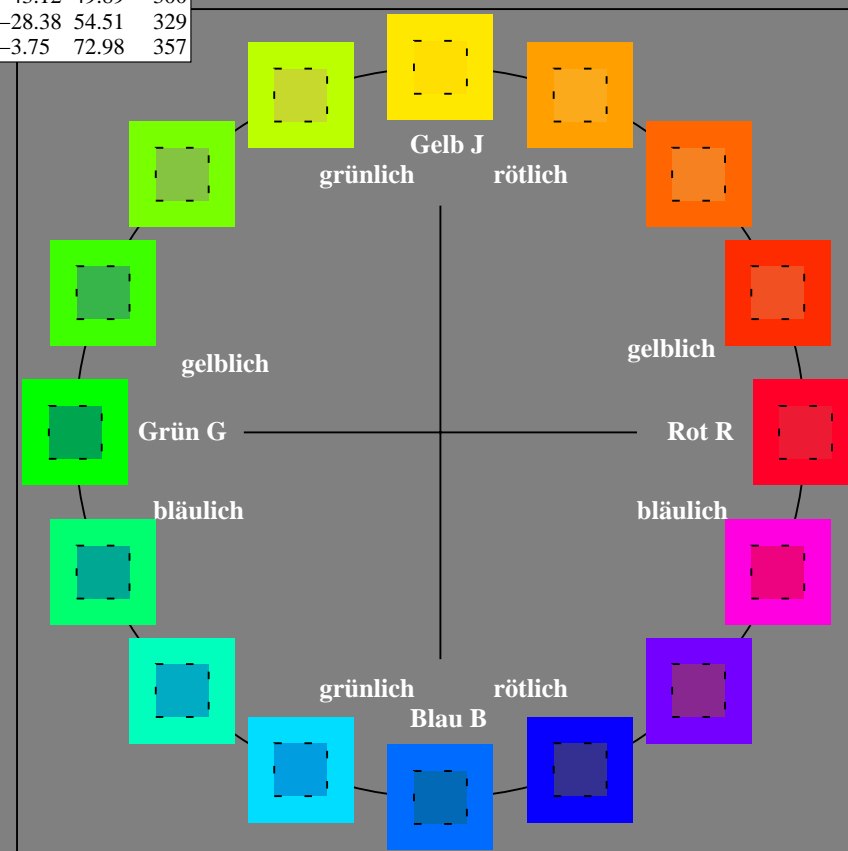
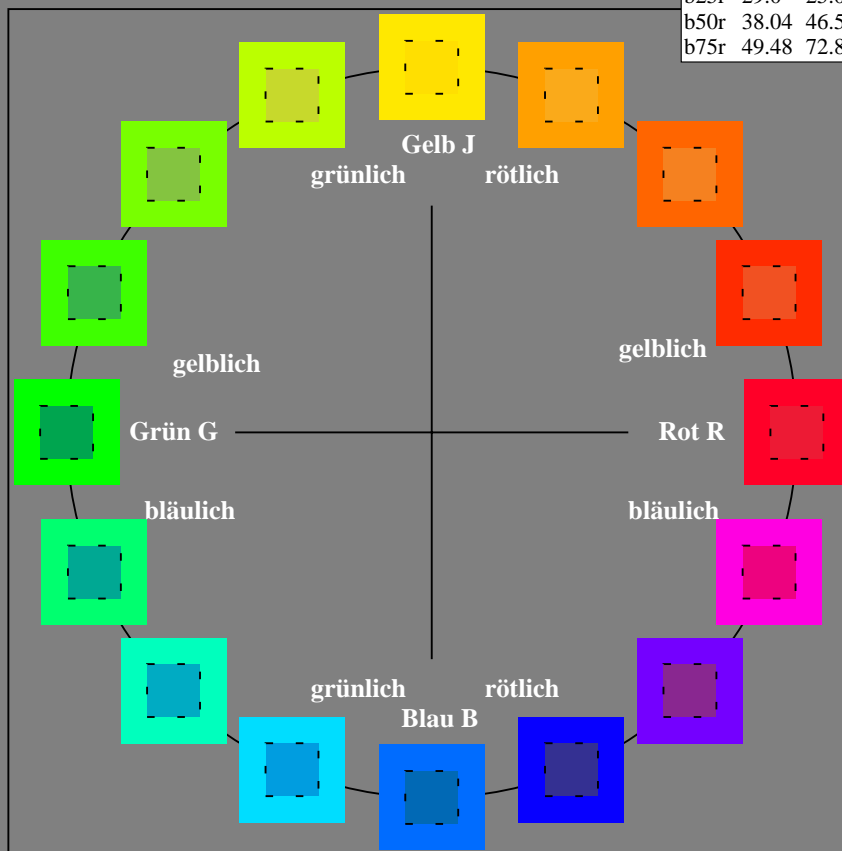
Ein und Ausgabe:  
Farbmetrisches Drucker-Reflektiv-System ORS19\_96a  
Daten für jede Farbe:  
 $lab^{*}ch^{*}$  und  $lab^{*}icu^{*}$   
Elementar-Bunntontext:  
 $u^{*} = 16$  Bunttöne  $r00j$ ,  $r25j$ , ...,  $b75r$   
Kontrastreduzierungsfaktor:  
 $c_R = 1.0$

ORS19_96a; adaptierte CIELAB-Daten					
	$L^{*}=L^{*}_a$	$a^{*}_a$	$b^{*}_a$	$C^{*}_{ab,a}$	$h^{*}_{ab,a}$
r00j	48.88	66.47	31.67	73.63	25
r25j	55.85	52.39	47.48	70.7	42
r50j	65.45	35.22	58.37	68.17	59
r75j	75.19	17.82	69.41	71.66	76
j00g	87.03	-3.34	82.83	82.9	92
j25g	80.72	-25.0	69.5	73.86	110
j50g	70.64	-39.53	51.97	65.3	127
j75g	61.93	-52.09	36.83	63.8	145
g00b	52.8	-65.27	20.93	68.56	162
g25b	55.7	-49.57	-8.38	50.28	190
g50b	57.82	-38.39	-28.91	48.07	217
g75b	55.5	-22.04	-45.94	50.97	244
b00r	41.6	1.37	-45.0	45.03	272
b25r	29.0	25.08	-43.12	49.89	300
b50r	38.04	46.53	-28.38	54.51	329
b75r	49.48	72.88	-3.75	72.98	357



%Umfang  
 $u^{*}_{rel} = 89$   
%Regularität  
 $g^{*}_{H,rel} = 72$   
 $g^{*}_{C,rel} = 57$

ORS19_96a; adaptierte CIELAB-Daten					
	$L^{*}=L^{*}_a$	$a^{*}_a$	$b^{*}_a$	$C^{*}_{ab,a}$	$h^{*}_{ab,a}$
OMa	48.75	65.07	39.43	76.08	31
YMa	90.92	-10.28	87.24	87.85	97
LMa	52.69	-65.43	20.75	68.65	162
CMa	59.61	-28.97	-46.21	54.56	238
VMa	28.39	23.63	-44.12	50.06	298
MMa	49.58	73.93	-9.55	74.55	353
NMa	18.89	0.0	0.0	0.0	0
WMa	96.9	0.0	0.0	0.0	0
RCIE	39.92	58.74	27.99	65.07	25
JCIE	81.26	-2.88	71.56	71.62	92
GCIE	52.23	-42.41	13.6	44.55	162
BCIE	30.57	1.41	-46.46	46.49	272



Ein und Ausgabe: Farbmetrisches Drucker-Reflektiv-System ORS19\_96a für relativen CIELAB-Buntton  $h^* = lab^*h^* = h_{ab}/360 = 25/360 = 0.071$

Daten für jede Farbe:

$lab^*ch^*$  und  $lab^*icu^*$

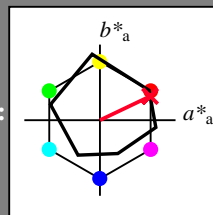
Elementar-Bunttontext:

$u^* = r00j$

Kontrastreduzierungsfaktor:

$c_R = 1.0$

Dreiecks-Helligkeit  $t^*$



ORS19\_96a; adaptierte CIELAB-Daten

	$L^*=L^*_a$	$a^*_a$	$b^*_a$	$C^*_{ab,a}$	$h^*_{ab,a}$
O <sub>Ma</sub>	48.75	65.07	39.43	76.08	31
Y <sub>Ma</sub>	90.92	-10.28	87.24	87.85	97
L <sub>Ma</sub>	52.69	-65.43	20.75	68.65	162
C <sub>Ma</sub>	59.61	-28.97	-46.21	54.56	238
V <sub>Ma</sub>	28.39	23.63	-44.12	50.06	298
M <sub>Ma</sub>	49.58	73.93	-9.55	74.55	353
N <sub>Ma</sub>	18.89	0.0	0.0	0.0	0
W <sub>Ma</sub>	96.9	0.0	0.0	0.0	0
R <sub>CIE</sub>	39.92	58.74	27.99	65.07	25
J <sub>CIE</sub>	81.26	-2.88	71.56	71.62	92
G <sub>CIE</sub>	52.23	-42.41	13.6	44.55	162
B <sub>CIE</sub>	30.57	1.41	-46.46	46.49	272

Daten für Maximalfarbe (Ma):

$LAB^*LAB^*_{Ma}$ : 49 66 32

$LAB^*LCH^*_{Ma}$ : 49 74 25

$lab^*rgb^*_{Ma}$ : 1.0 0.0 0.0

$lab^*olv^*_{Ma}$ : 1.0 0.0 0.16

Dreiecks-Helligkeit  $t^*$

%Umfang

$u^*_{rel} = 89$

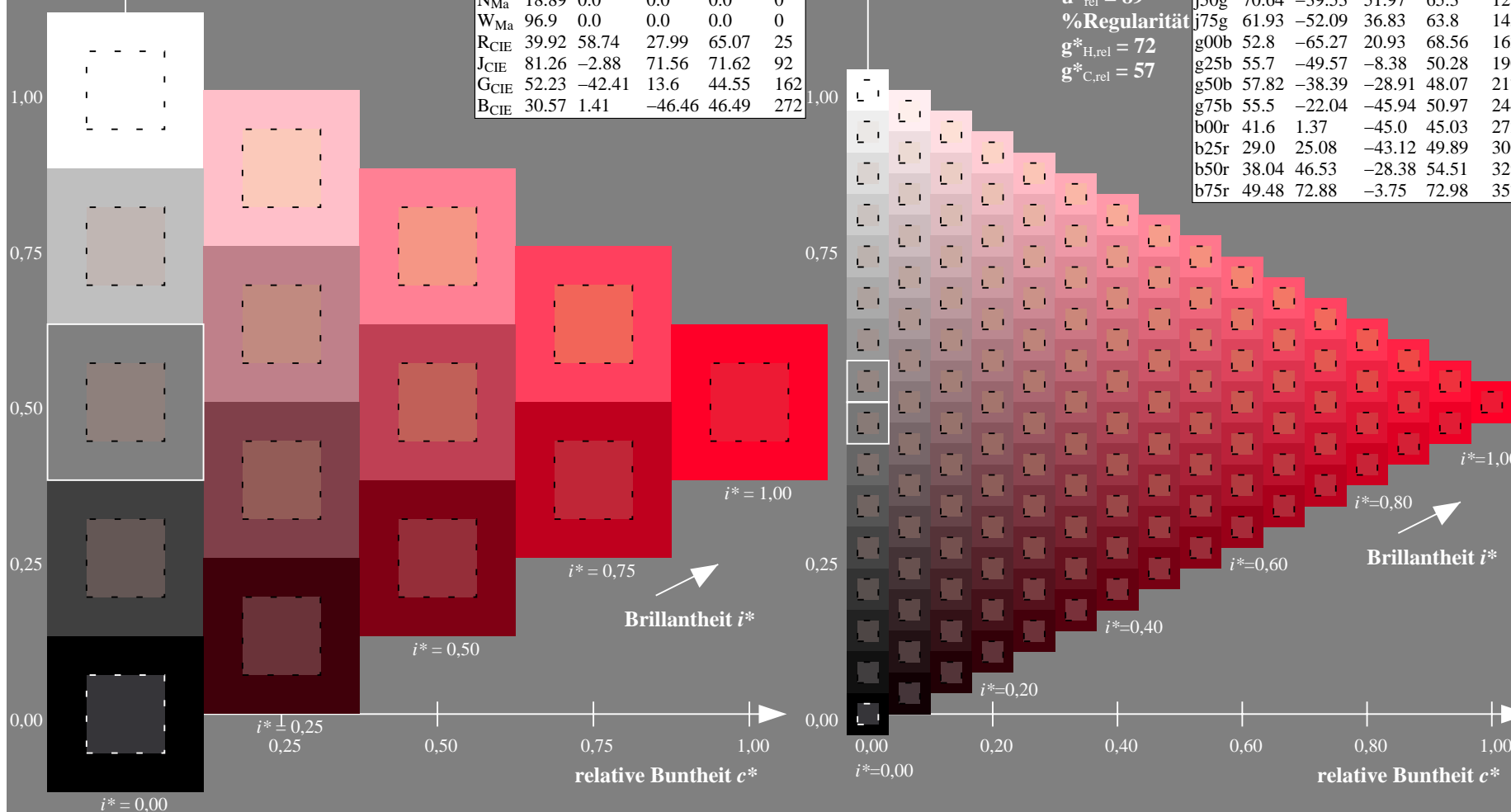
%Regularität

$g^*_{H,rel} = 72$

$g^*_{C,rel} = 57$

ORS19\_96a; adaptierte CIELAB-Daten

	$L^*=L^*_a$	$a^*_a$	$b^*_a$	$C^*_{ab,a}$	$h^*_{ab,a}$
r00j	48.88	66.47	31.67	73.63	25
r25j	55.85	52.39	47.48	70.7	42
r50j	65.45	35.22	58.37	68.17	59
r75j	75.19	17.82	69.41	71.66	76
j00g	87.03	-3.34	82.83	82.9	92
j25g	80.72	-25.0	69.5	73.86	110
j50g	70.64	-39.53	51.97	65.3	127
j75g	61.93	-52.09	36.83	63.8	145
g00b	52.8	-65.27	20.93	68.56	162
g25b	55.7	-49.57	-8.38	50.28	190
g50b	57.82	-38.39	-28.91	48.07	217
g75b	55.5	-22.04	-45.94	50.97	244
b00r	41.6	1.37	-45.0	45.03	272
b25r	29.0	25.08	-43.12	49.89	300
b50r	38.04	46.53	-28.38	54.51	329
b75r	49.48	72.88	-3.75	72.98	357



Ein und Ausgabe: Farbmetrisches Drucker-Reflektiv-System ORS19\_96a für relativen CIELAB-Buntton  $h^* = lab^*h^* = h_{ab}/360 = 42/360 = 0.117$

Daten für jede Farbe:

$lab^*ch^*$  und  $lab^*icu^*$

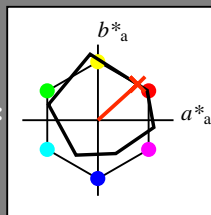
Elementar-Bunttontext:

$u^* = r25j$

Kontrastreduzierungsfaktor:

$c_R = 1.0$

Dreiecks-Helligkeit  $t^*$



ORS19\_96a; adaptierte CIELAB-Daten

	$L^*=L^*_a$	$a^*_a$	$b^*_a$	$C^*_{ab,a}$	$h^*_{ab,a}$
O <sub>Ma</sub>	48.75	65.07	39.43	76.08	31
Y <sub>Ma</sub>	90.92	-10.28	87.24	87.85	97
L <sub>Ma</sub>	52.69	-65.43	20.75	68.65	162
C <sub>Ma</sub>	59.61	-28.97	-46.21	54.56	238
V <sub>Ma</sub>	28.39	23.63	-44.12	50.06	298
M <sub>Ma</sub>	49.58	73.93	-9.55	74.55	353
N <sub>Ma</sub>	18.89	0.0	0.0	0.0	0
W <sub>Ma</sub>	96.9	0.0	0.0	0.0	0
R <sub>CIE</sub>	39.92	58.74	27.99	65.07	25
J <sub>CIE</sub>	81.26	-2.88	71.56	71.62	92
G <sub>CIE</sub>	52.23	-42.41	13.6	44.55	162
B <sub>CIE</sub>	30.57	1.41	-46.46	46.49	272

Daten für Maximalfarbe (Ma):

$LAB^*LAB^*_{Ma}$ : 56 52 47

$LAB^*LCH^*_{Ma}$ : 56 71 42

$lab^*rgb^*_{Ma}$ : 1.0 0.25 0.0

$lab^*olv^*_{Ma}$ : 1.0 0.17 0.0

Dreiecks-Helligkeit  $t^*$

%Umfang

$u^*_{rel} = 89$

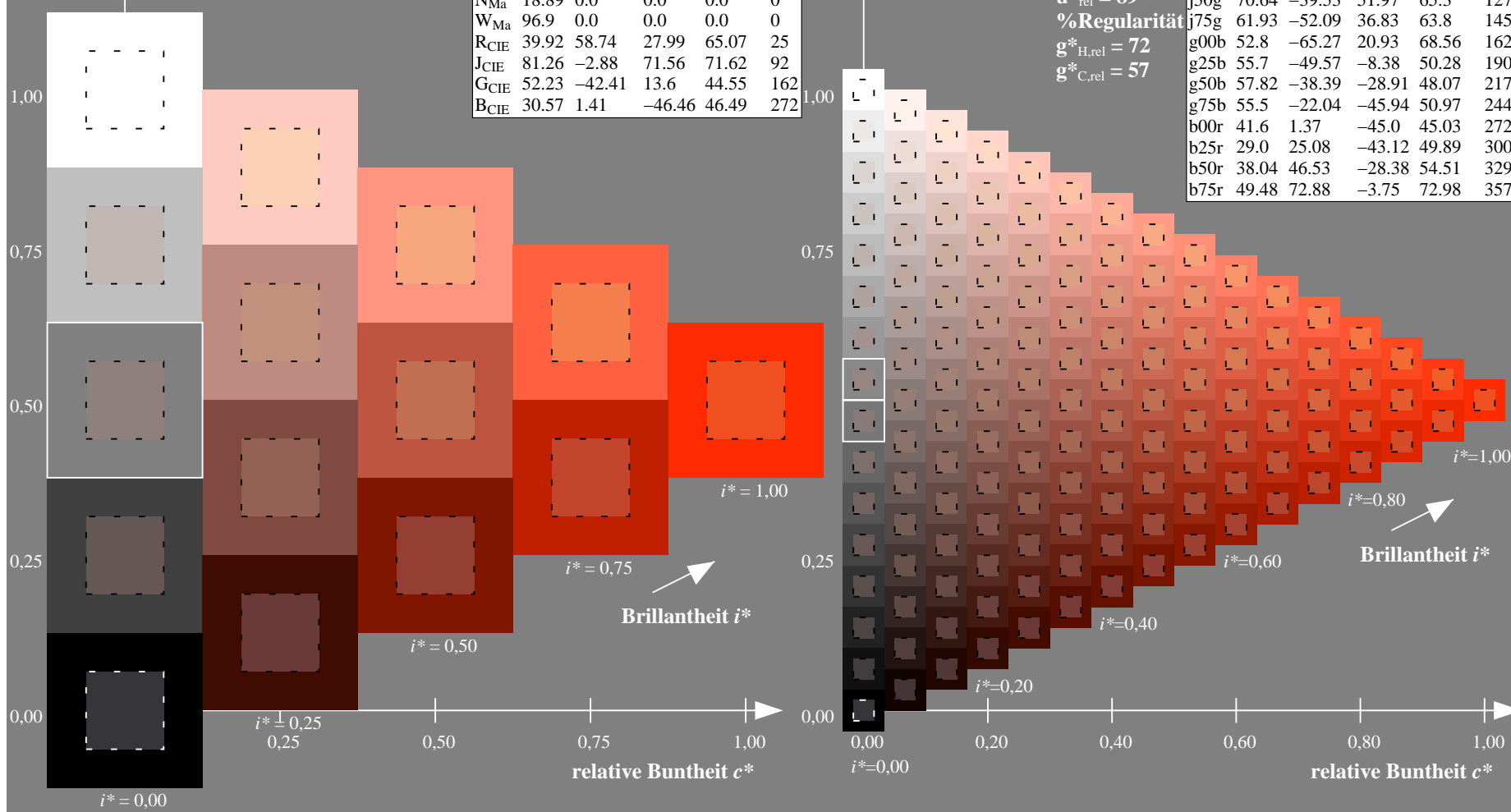
%Regularität

$g^*_{H,rel} = 72$

$g^*_{C,rel} = 57$

ORS19\_96a; adaptierte CIELAB-Daten

	$L^*=L^*_a$	$a^*_a$	$b^*_a$	$C^*_{ab,a}$	$h^*_{ab,a}$
r00j	48.88	66.47	31.67	73.63	25
r25j	55.85	52.39	47.48	70.7	42
r50j	65.45	35.22	58.37	68.17	59
r75j	75.19	17.82	69.41	71.66	76
j00g	87.03	-3.34	82.83	82.9	92
j25g	80.72	-25.0	69.5	73.86	110
j50g	70.64	-39.53	51.97	65.3	127
j75g	61.93	-52.09	36.83	63.8	145
g00b	52.8	-65.27	20.93	68.56	162
g25b	55.7	-49.57	-8.38	50.28	190
g50b	57.82	-38.39	-28.91	48.07	217
g75b	55.5	-22.04	-45.94	50.97	244
b00r	41.6	1.37	-45.0	45.03	272
b25r	29.0	25.08	-43.12	49.89	300
b50r	38.04	46.53	-28.38	54.51	329
b75r	49.48	72.88	-3.75	72.98	357



Ein und Ausgabe: Farbmetrisches Drucker-Reflektiv-System ORS19\_96a für relativen CIELAB-Buntton  $h^* = lab^*h^* = h_{ab}/360 = 59/360 = 0.164$

Daten für jede Farbe:

$lab^*ch^*$  und  $lab^*icu^*$

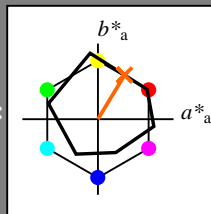
Elementar-Bunttontext:

$u^* = r50j$

Kontrastreduzierungsfaktor:

$c_R = 1.0$

Dreiecks-Helligkeit  $t^*$



ORS19\_96a; adaptierte CIELAB-Daten

	$L^*=L^*_a$	$a^*_a$	$b^*_a$	$C^*_{ab,a}$	$h^*_{ab,a}$
O <sub>Ma</sub>	48.75	65.07	39.43	76.08	31
Y <sub>Ma</sub>	90.92	-10.28	87.24	87.85	97
L <sub>Ma</sub>	52.69	-65.43	20.75	68.65	162
C <sub>Ma</sub>	59.61	-28.97	-46.21	54.56	238
V <sub>Ma</sub>	28.39	23.63	-44.12	50.06	298
M <sub>Ma</sub>	49.58	73.93	-9.55	74.55	353
N <sub>Ma</sub>	18.89	0.0	0.0	0.0	0
W <sub>Ma</sub>	96.9	0.0	0.0	0.0	0
R <sub>CIE</sub>	39.92	58.74	27.99	65.07	25
J <sub>CIE</sub>	81.26	-2.88	71.56	71.62	92
G <sub>CIE</sub>	52.23	-42.41	13.6	44.55	162
B <sub>CIE</sub>	30.57	1.41	-46.46	46.49	272

Daten für Maximalfarbe (Ma):

$LAB^*LAB^*_{Ma}$ : 65 35 58

$LAB^*LCH^*_{Ma}$ : 65 68 59

$lab^*rgb^*_{Ma}$ : 1.0 0.5 0.0

$lab^*olv^*_{Ma}$ : 1.0 0.4 0.0

Dreiecks-Helligkeit  $t^*$

%Umfang

$u^*_{rel} = 89$

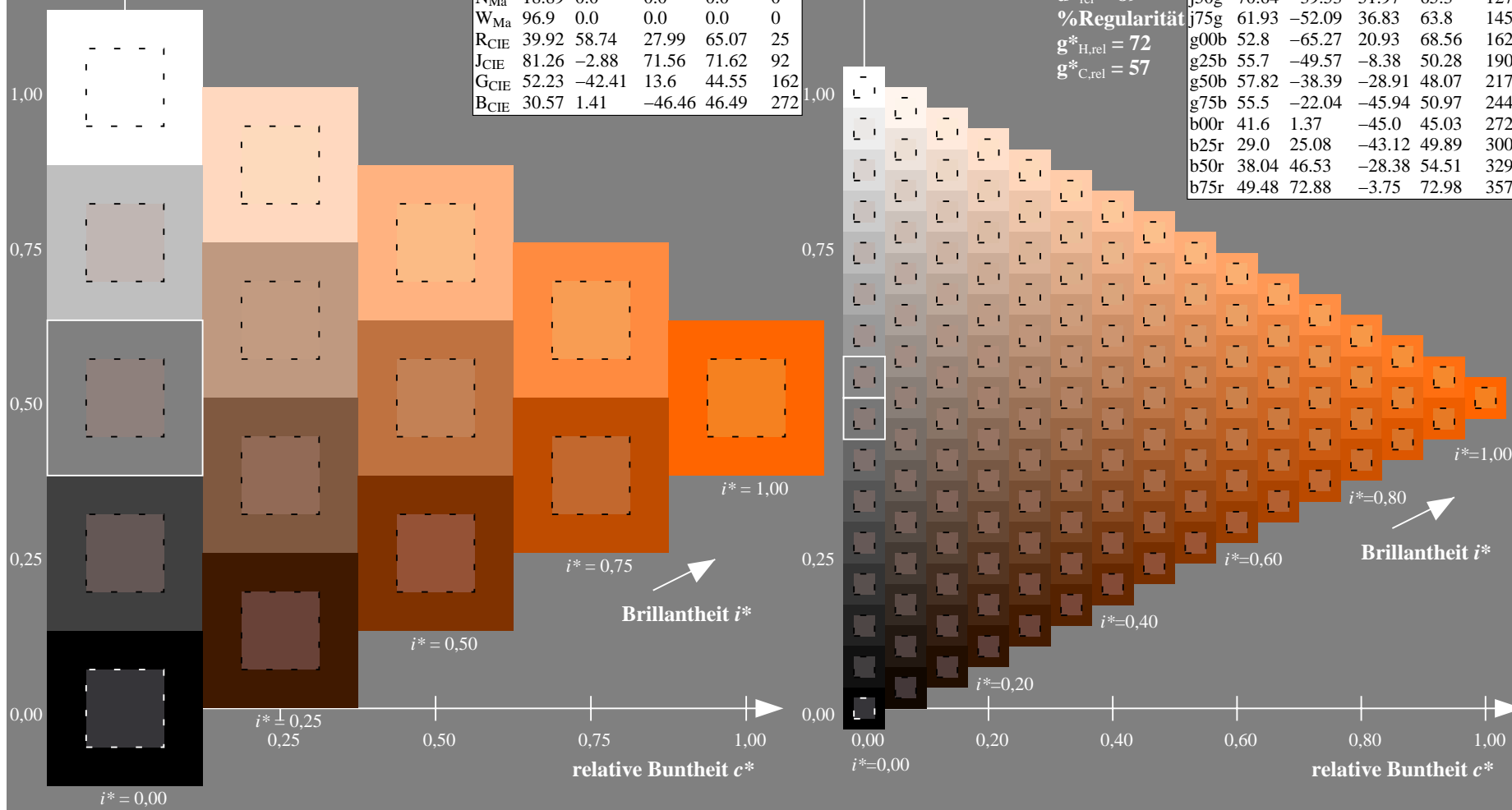
%Regularität

$g^*_{H,rel} = 72$

$g^*_{C,rel} = 57$

ORS19\_96a; adaptierte CIELAB-Daten

	$L^*=L^*_a$	$a^*_a$	$b^*_a$	$C^*_{ab,a}$	$h^*_{ab,a}$
r00j	48.88	66.47	31.67	73.63	25
r25j	55.85	52.39	47.48	70.7	42
r50j	65.45	35.22	58.37	68.17	59
r75j	75.19	17.82	69.41	71.66	76
j00g	87.03	-3.34	82.83	82.9	92
j25g	80.72	-25.0	69.5	73.86	110
j50g	70.64	-39.53	51.97	65.3	127
j75g	61.93	-52.09	36.83	63.8	145
g00b	52.8	-65.27	20.93	68.56	162
g25b	55.7	-49.57	-8.38	50.28	190
g50b	57.82	-38.39	-28.91	48.07	217
g75b	55.5	-22.04	-45.94	50.97	244
b00r	41.6	1.37	-45.0	45.03	272
b25r	29.0	25.08	-43.12	49.89	300
b50r	38.04	46.53	-28.38	54.51	329
b75r	49.48	72.88	-3.75	72.98	357



Ein und Ausgabe: Farbmetrisches Drucker-Reflektiv-System ORS19\_96a für relativen CIELAB-Buntton  $h^* = lab^*h^* = h_{ab}/360 = 76/360 = 0.21$

Daten für jede Farbe:

$lab^*ch^*$  und  $lab^*icu^*$

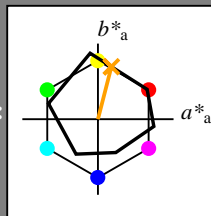
Elementar-Bunttontext:

$u^* = r75j$

Kontrastreduzierungsfaktor:

$c_R = 1.0$

Dreiecks-Helligkeit  $t^*$



ORS19\_96a; adaptierte CIELAB-Daten

	$L^* = L^*_a$	$a^*_a$	$b^*_a$	$C^*_{ab,a}$	$h^*_{ab,a}$
O <sub>Ma</sub>	48.75	65.07	39.43	76.08	31
Y <sub>Ma</sub>	90.92	-10.28	87.24	87.85	97
L <sub>Ma</sub>	52.69	-65.43	20.75	68.65	162
C <sub>Ma</sub>	59.61	-28.97	-46.21	54.56	238
V <sub>Ma</sub>	28.39	23.63	-44.12	50.06	298
M <sub>Ma</sub>	49.58	73.93	-9.55	74.55	353
N <sub>Ma</sub>	18.89	0.0	0.0	0.0	0
W <sub>Ma</sub>	96.9	0.0	0.0	0.0	0
R <sub>CIE</sub>	39.92	58.74	27.99	65.07	25
J <sub>CIE</sub>	81.26	-2.88	71.56	71.62	92
G <sub>CIE</sub>	52.23	-42.41	13.6	44.55	162
B <sub>CIE</sub>	30.57	1.41	-46.46	46.49	272

Daten für Maximalfarbe (Ma):

$LAB^*LAB^*_{Ma}$ : 75 18 69

$LAB^*LCH^*_{Ma}$ : 75 72 76

$lab^*rgb^*_{Ma}$ : 1.0 0.75 0.0

$lab^*olv^*_{Ma}$ : 1.0 0.63 0.0

Dreiecks-Helligkeit  $t^*$

%Umfang

$u^*_{rel} = 89$

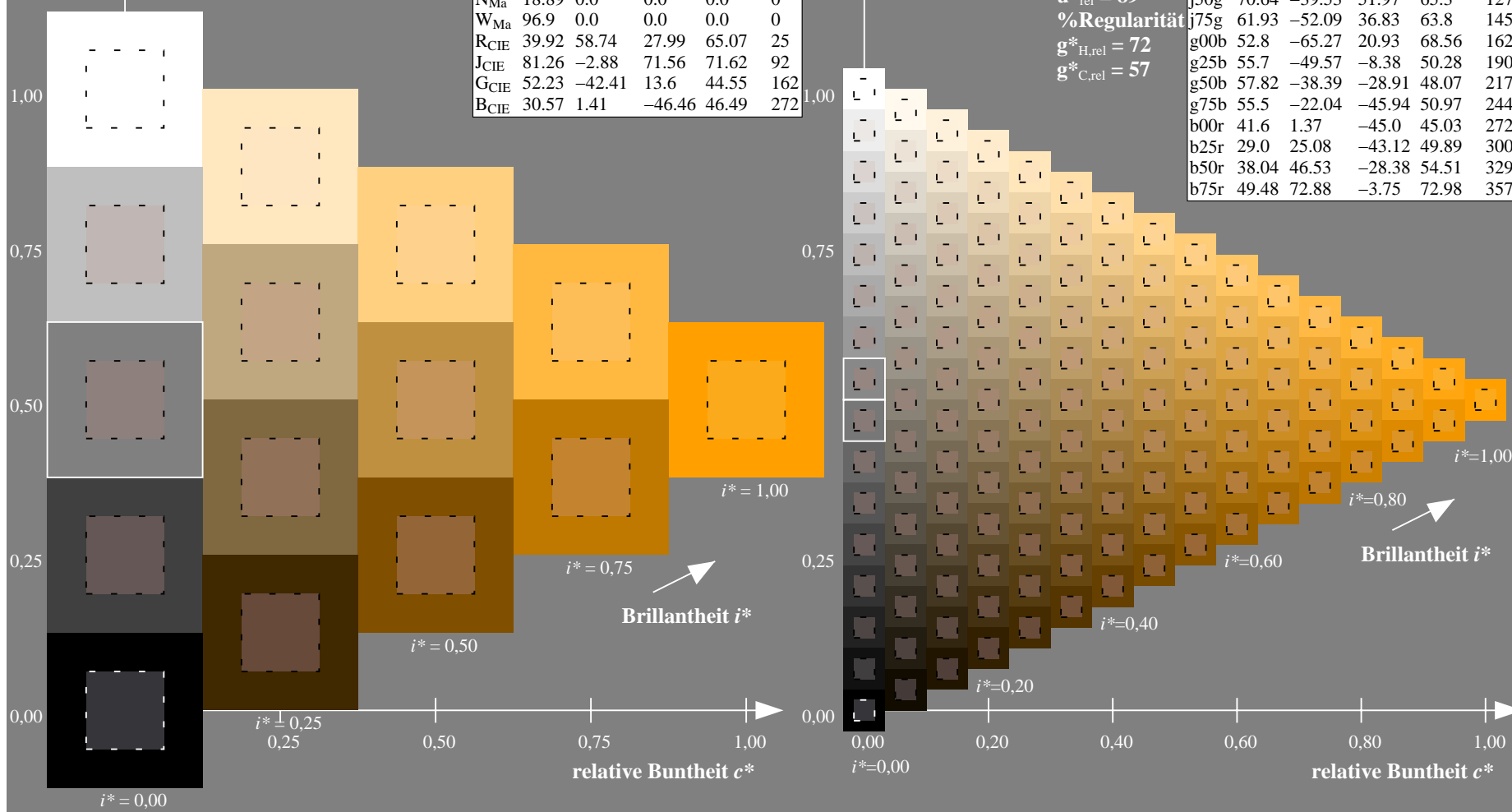
%Regularität

$g^*_{H,rel} = 72$

$g^*_{C,rel} = 57$

ORS19\_96a; adaptierte CIELAB-Daten

	$L^* = L^*_a$	$a^*_a$	$b^*_a$	$C^*_{ab,a}$	$h^*_{ab,a}$
r00j	48.88	66.47	31.67	73.63	25
r25j	55.85	52.39	47.48	70.7	42
r50j	65.45	35.22	58.37	68.17	59
r75j	75.19	17.82	69.41	71.66	76
j00g	87.03	-3.34	82.83	82.9	92
j25g	80.72	-25.0	69.5	73.86	110
j50g	70.64	-39.53	51.97	65.3	127
j75g	61.93	-52.09	36.83	63.8	145
g00b	52.8	-65.27	20.93	68.56	162
g25b	55.7	-49.57	-8.38	50.28	190
g50b	57.82	-38.39	-28.91	48.07	217
g75b	55.5	-22.04	-45.94	50.97	244
b00r	41.6	1.37	-45.0	45.03	272
b25r	29.0	25.08	-43.12	49.89	300
b50r	38.04	46.53	-28.38	54.51	329
b75r	49.48	72.88	-3.75	72.98	357



Ein und Ausgabe: Farbmetrisches Drucker-Reflektiv-System ORS19\_96a für relativen CIELAB-Buntton  $h^* = lab^*h^* = h_{ab}/360 = 92/360 = 0.256$

Daten für jede Farbe:

$lab^*ch^*$  und  $lab^*icu^*$

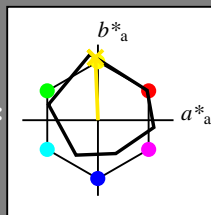
Elementar-Bunttoncontext:

$u^* = j00g$

Kontrastreduzierungsfaktor:

$c_R = 1.0$

Dreiecks-Helligkeit  $i^*$



ORS19\_96a; adaptierte CIELAB-Daten

	$L^*=L^*_a$	$a^*_a$	$b^*_a$	$C^*_{ab,a}$	$h^*_{ab,a}$
O <sub>Ma</sub>	48.75	65.07	39.43	76.08	31
Y <sub>Ma</sub>	90.92	-10.28	87.24	87.85	97
L <sub>Ma</sub>	52.69	-65.43	20.75	68.65	162
C <sub>Ma</sub>	59.61	-28.97	-46.21	54.56	238
V <sub>Ma</sub>	28.39	23.63	-44.12	50.06	298
M <sub>Ma</sub>	49.58	73.93	-9.55	74.55	353
N <sub>Ma</sub>	18.89	0.0	0.0	0.0	0
W <sub>Ma</sub>	96.9	0.0	0.0	0.0	0
R <sub>CIE</sub>	39.92	58.74	27.99	65.07	25
J <sub>CIE</sub>	81.26	-2.88	71.56	71.62	92
G <sub>CIE</sub>	52.23	-42.41	13.6	44.55	162
B <sub>CIE</sub>	30.57	1.41	-46.46	46.49	272

Daten für Maximalfarbe (Ma):

$LAB^*LAB^*_{Ma}$ : 87 -2 83

$LAB^*LCH^*_{Ma}$ : 87 83 92

$lab^*rgb^*_{Ma}$ : 1.0 1.0 0.0

$lab^*olv^*_{Ma}$ : 1.0 0.91 0.0

Dreiecks-Helligkeit  $i^*$

%Umfang

$u^*_{rel} = 89$

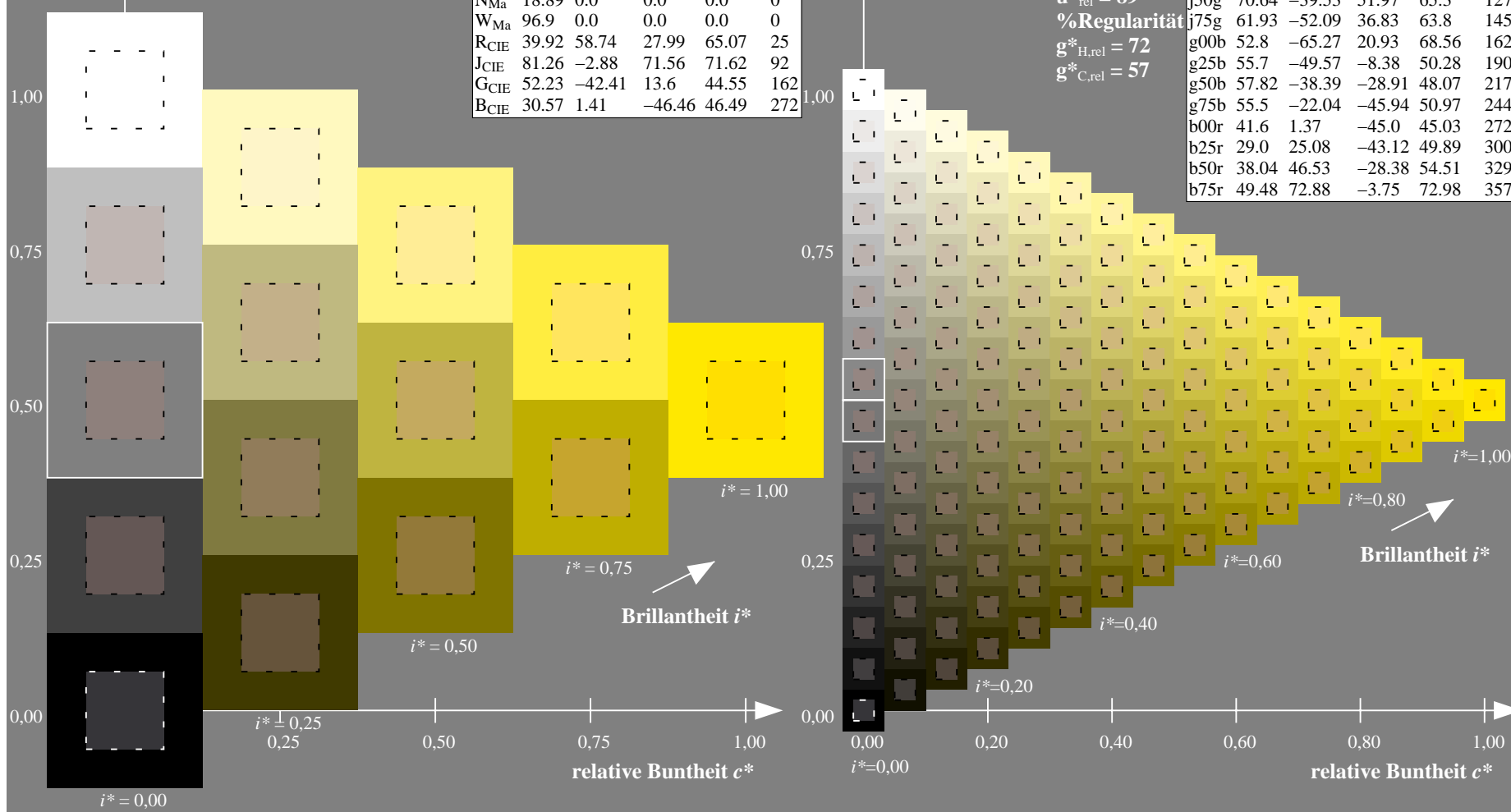
%Regularität

$g^*_{H,rel} = 72$

$g^*_{C,rel} = 57$

ORS19\_96a; adaptierte CIELAB-Daten

	$L^*=L^*_a$	$a^*_a$	$b^*_a$	$C^*_{ab,a}$	$h^*_{ab,a}$
r00j	48.88	66.47	31.67	73.63	25
r25j	55.85	52.39	47.48	70.7	42
r50j	65.45	35.22	58.37	68.17	59
r75j	75.19	17.82	69.41	71.66	76
j00g	87.03	-3.34	82.83	82.9	92
j25g	80.72	-25.0	69.5	73.86	110
j50g	70.64	-39.53	51.97	65.3	127
j75g	61.93	-52.09	36.83	63.8	145
g00b	52.8	-65.27	20.93	68.56	162
g25b	55.7	-49.57	-8.38	50.28	190
g50b	57.82	-38.39	-28.91	48.07	217
g75b	55.5	-22.04	-45.94	50.97	244
b00r	41.6	1.37	-45.0	45.03	272
b25r	29.0	25.08	-43.12	49.89	300
b50r	38.04	46.53	-28.38	54.51	329
b75r	49.48	72.88	-3.75	72.98	357





Ein und Ausgabe: Farbmetrisches Drucker-Reflektiv-System ORS19\_96a für relativen CIELAB-Buntton  $h^* = lab^*h^* = h_{ab}/360 = 110/360 = 0.305$

Daten für jede Farbe:

$lab^*ch^*$  und  $lab^*icu^*$

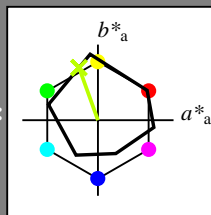
Elementar-Bunttontext:

$u^* = j25g$

Kontrastreduzierungsfaktor:

$c_R = 1.0$

Dreiecks-Helligkeit  $i^*$



ORS19\_96a; adaptierte CIELAB-Daten

	$L^* = L^*_a$	$a^*_a$	$b^*_a$	$C^*_{ab,a}$	$h^*_{ab,a}$
O <sub>Ma</sub>	48.75	65.07	39.43	76.08	31
Y <sub>Ma</sub>	90.92	-10.28	87.24	87.85	97
L <sub>Ma</sub>	52.69	-65.43	20.75	68.65	162
C <sub>Ma</sub>	59.61	-28.97	-46.21	54.56	238
V <sub>Ma</sub>	28.39	23.63	-44.12	50.06	298
M <sub>Ma</sub>	49.58	73.93	-9.55	74.55	353
N <sub>Ma</sub>	18.89	0.0	0.0	0.0	0
W <sub>Ma</sub>	96.9	0.0	0.0	0.0	0
R <sub>CIE</sub>	39.92	58.74	27.99	65.07	25
J <sub>CIE</sub>	81.26	-2.88	71.56	71.62	92
G <sub>CIE</sub>	52.23	-42.41	13.6	44.55	162
B <sub>CIE</sub>	30.57	1.41	-46.46	46.49	272

Daten für Maximalfarbe (Ma):

$LAB^*LAB^*_{Ma}$ : 81 -24 69

$LAB^*LCH^*_{Ma}$ : 81 74 110

$lab^*rgb^*_{Ma}$ : 0.75 1.0 0.0

$lab^*olv^*_{Ma}$ : 0.73 1.0 0.0

Dreiecks-Helligkeit  $i^*$

%Umfang

$u^*_{rel} = 89$

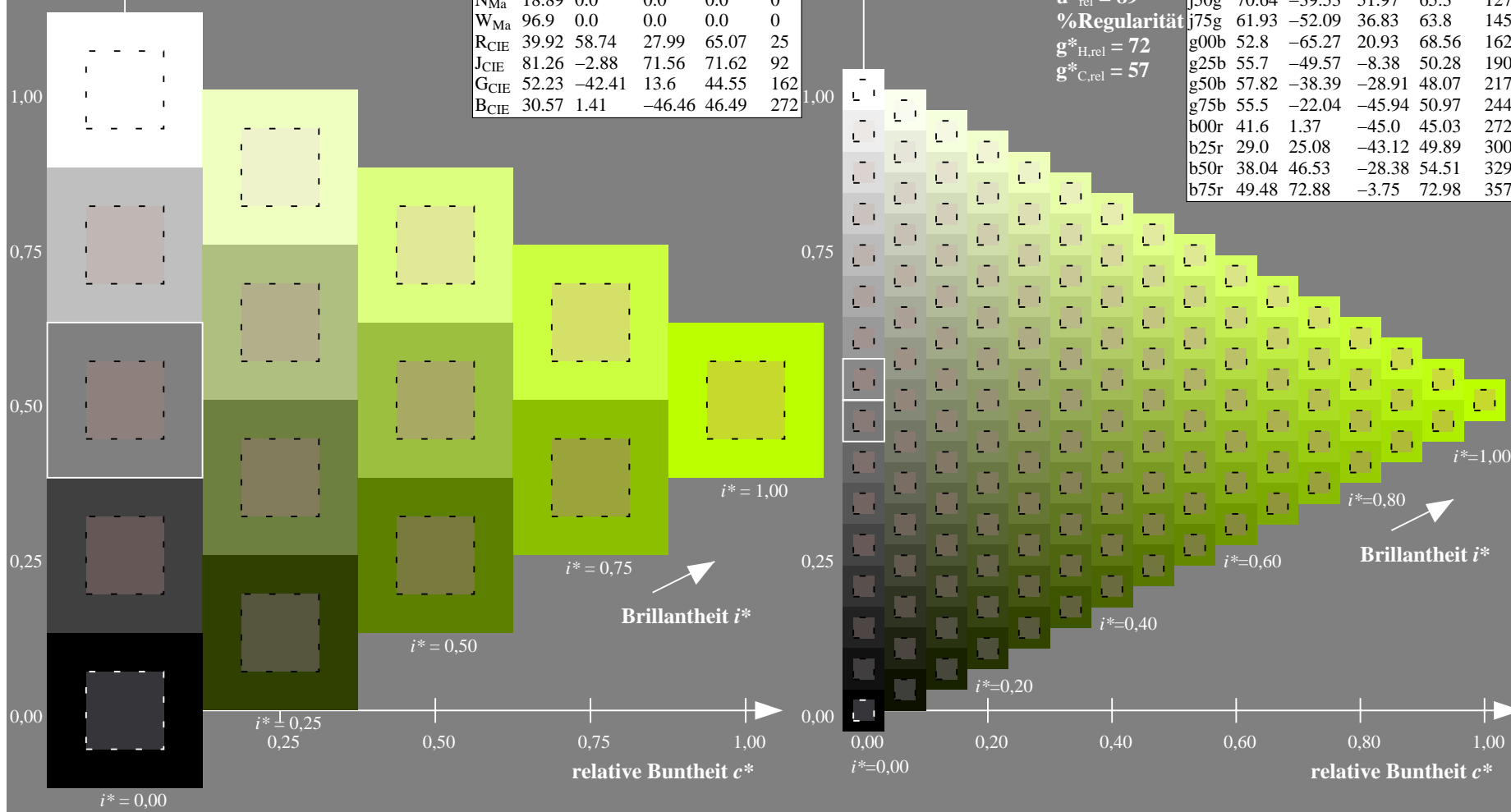
%Regularität

$g^*_{H,rel} = 72$

$g^*_{C,rel} = 57$

ORS19\_96a; adaptierte CIELAB-Daten

	$L^* = L^*_a$	$a^*_a$	$b^*_a$	$C^*_{ab,a}$	$h^*_{ab,a}$
r00j	48.88	66.47	31.67	73.63	25
r25j	55.85	52.39	47.48	70.7	42
r50j	65.45	35.22	58.37	68.17	59
r75j	75.19	17.82	69.41	71.66	76
j00g	87.03	-3.34	82.83	82.9	92
j25g	80.72	-25.0	69.5	73.86	110
j50g	70.64	-39.53	51.97	65.3	127
j75g	61.93	-52.09	36.83	63.8	145
g00b	52.8	-65.27	20.93	68.56	162
g25b	55.7	-49.57	-8.38	50.28	190
g50b	57.82	-38.39	-28.91	48.07	217
g75b	55.5	-22.04	-45.94	50.97	244
b00r	41.6	1.37	-45.0	45.03	272
b25r	29.0	25.08	-43.12	49.89	300
b50r	38.04	46.53	-28.38	54.51	329
b75r	49.48	72.88	-3.75	72.98	357



Ein und Ausgabe: Farbmetrisches Drucker-Reflektiv-System ORS19\_96a für relativen CIELAB-Buntton  $h^* = lab^*h^* = h_{ab}/360 = 127/360 = 0.354$

Daten für jede Farbe:

$lab^*ch^*$  und  $lab^*icu^*$

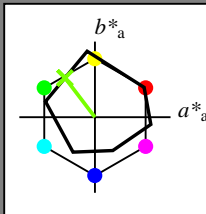
Elementar-Bunttontext:

$u^* = j50g$

Kontrastreduzierungsfaktor:

$c_R = 1.0$

Dreiecks-Helligkeit  $i^*$



ORS19\_96a; adaptierte CIELAB-Daten

	$L^* = L^*_a$	$a^*_a$	$b^*_a$	$C^*_{ab,a}$	$h^*_{ab,a}$
O <sub>Ma</sub>	48.75	65.07	39.43	76.08	31
Y <sub>Ma</sub>	90.92	-10.28	87.24	87.85	97
L <sub>Ma</sub>	52.69	-65.43	20.75	68.65	162
C <sub>Ma</sub>	59.61	-28.97	-46.21	54.56	238
V <sub>Ma</sub>	28.39	23.63	-44.12	50.06	298
M <sub>Ma</sub>	49.58	73.93	-9.55	74.55	353
N <sub>Ma</sub>	18.89	0.0	0.0	0.0	0
W <sub>Ma</sub>	96.9	0.0	0.0	0.0	0
R <sub>CIE</sub>	39.92	58.74	27.99	65.07	25
J <sub>CIE</sub>	81.26	-2.88	71.56	71.62	92
G <sub>CIE</sub>	52.23	-42.41	13.6	44.55	162
B <sub>CIE</sub>	30.57	1.41	-46.46	46.49	272

Daten für Maximalfarbe (Ma):

$LAB^*LAB^*_{Ma}$ : 71 -39 52

$LAB^*LCH^*_{Ma}$ : 71 65 127

$lab^*rgb^*_{Ma}$ : 0.5 1.0 0.0

$lab^*olv^*_{Ma}$ : 0.47 1.0 0.0

Dreiecks-Helligkeit  $i^*$

%Umfang

$u^*_{rel} = 89$

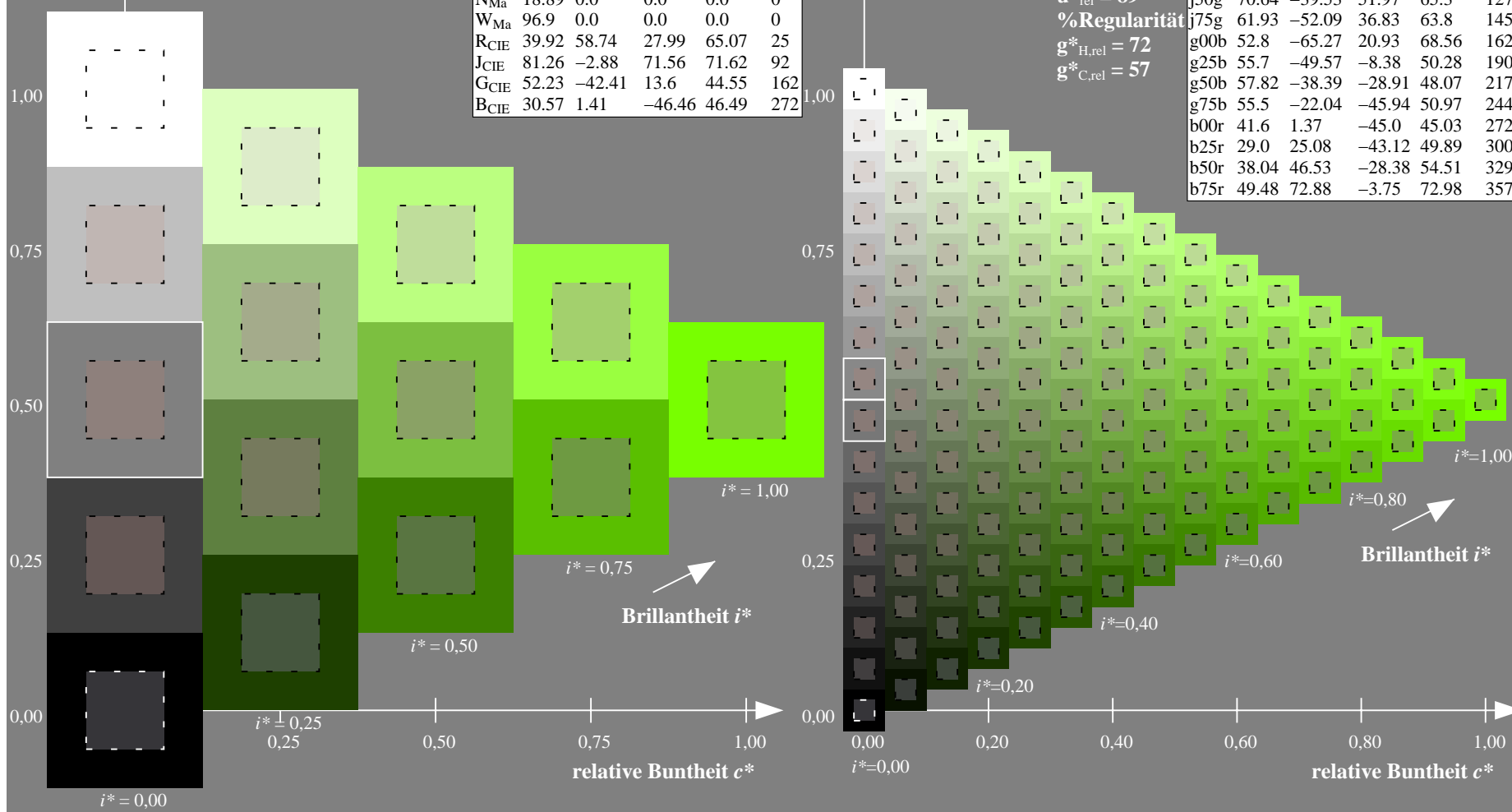
%Regularität

$g^*_{H,rel} = 72$

$g^*_{C,rel} = 57$

ORS19\_96a; adaptierte CIELAB-Daten

	$L^* = L^*_a$	$a^*_a$	$b^*_a$	$C^*_{ab,a}$	$h^*_{ab,a}$
r00j	48.88	66.47	31.67	73.63	25
r25j	55.85	52.39	47.48	70.7	42
r50j	65.45	35.22	58.37	68.17	59
r75j	75.19	17.82	69.41	71.66	76
j00g	87.03	-3.34	82.83	82.9	92
j25g	80.72	-25.0	69.5	73.86	110
j50g	70.64	-39.53	51.97	65.3	127
j75g	61.93	-52.09	36.83	63.8	145
g00b	52.8	-65.27	20.93	68.56	162
g25b	55.7	-49.57	-8.38	50.28	190
g50b	57.82	-38.39	-28.91	48.07	217
g75b	55.5	-22.04	-45.94	50.97	244
b00r	41.6	1.37	-45.0	45.03	272
b25r	29.0	25.08	-43.12	49.89	300
b50r	38.04	46.53	-28.38	54.51	329
b75r	49.48	72.88	-3.75	72.98	357





Ein und Ausgabe: Farbmétrisches Drucker-Reflektiv-System ORS19\_96a für relativen CIELAB-Buntton  $h^* = lab^*h^* = h_{ab}/360 = 145/360 = 0.402$

### Daten für jede Farbe:

*lab\*tch\** und *lab\*icu\**

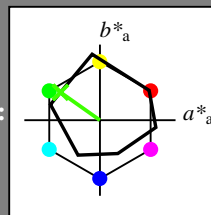
### Elementar-Bunttontext:

$$u^* = j75g$$

**Kontrastreduzierungsfaktor:**

 $c_R = 1.0$ 

### Dreiecks-Helligkeit $t^*$



ORS19 96a; adaptierte CIELAB-Daten						
	$L^*_a$	$a^*_a$	$b^*_a$	$C^*_{ab,a}$	$h^*_{ab,a}$	
O <sub>Ma</sub>	48.75	65.07	39.43	76.08		31
Y <sub>Ma</sub>	90.92	-10.28	87.24	87.85		97
L <sub>Ma</sub>	52.69	-65.43	20.75	68.65		162
C <sub>Ma</sub>	59.61	-28.97	-46.21	54.56		238
V <sub>Ma</sub>	28.39	23.63	-44.12	50.06		298
M <sub>Ma</sub>	49.58	73.93	-9.55	74.55		353
N <sub>Ma</sub>	18.89	0.0	0.0	0.0		0
W <sub>Ma</sub>	96.9	0.0	0.0	0.0		0
R <sub>CIE</sub>	39.92	58.74	27.99	65.07		25
J <sub>CIE</sub>	81.26	-2.88	71.56	71.62		92
G <sub>CIE</sub>	52.23	-42.41	13.6	44.55		162
B <sub>CIE</sub>	30.57	1.41	-46.46	46.49		272

### Daten für Maximalfarbe (Ma):

$LAB*LAB*_{Ma}: 62 \quad -51 \quad 37$

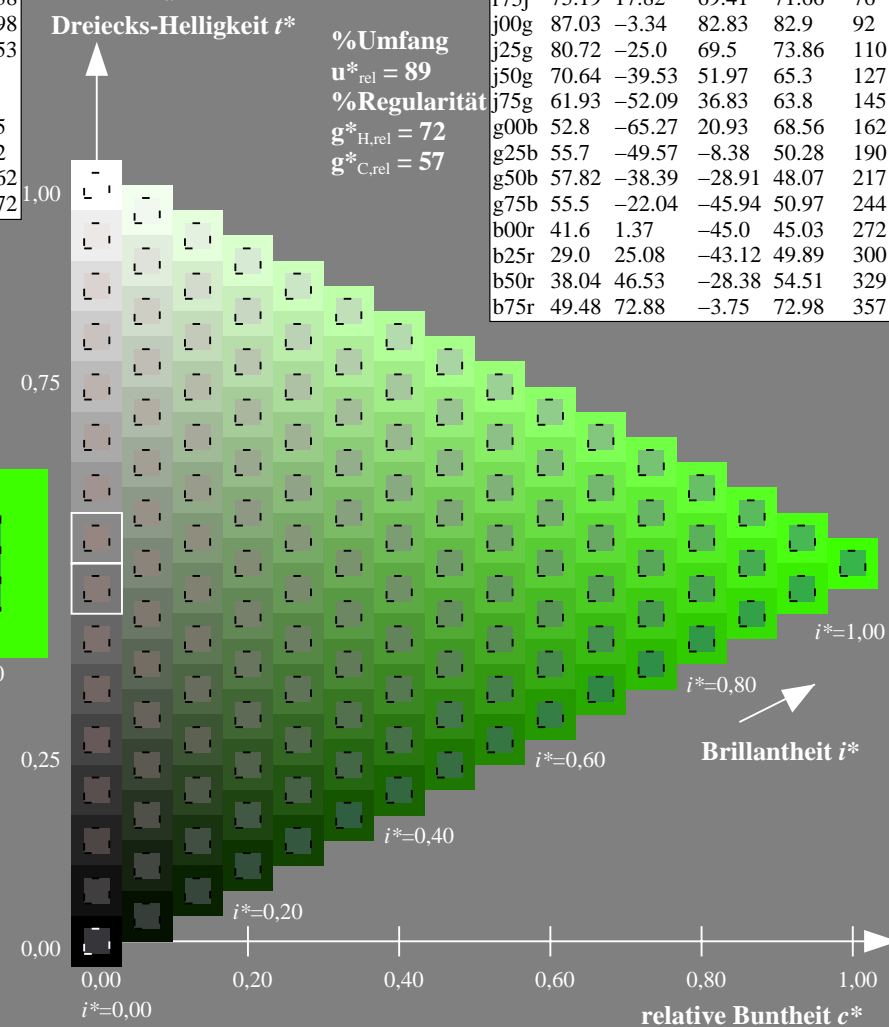
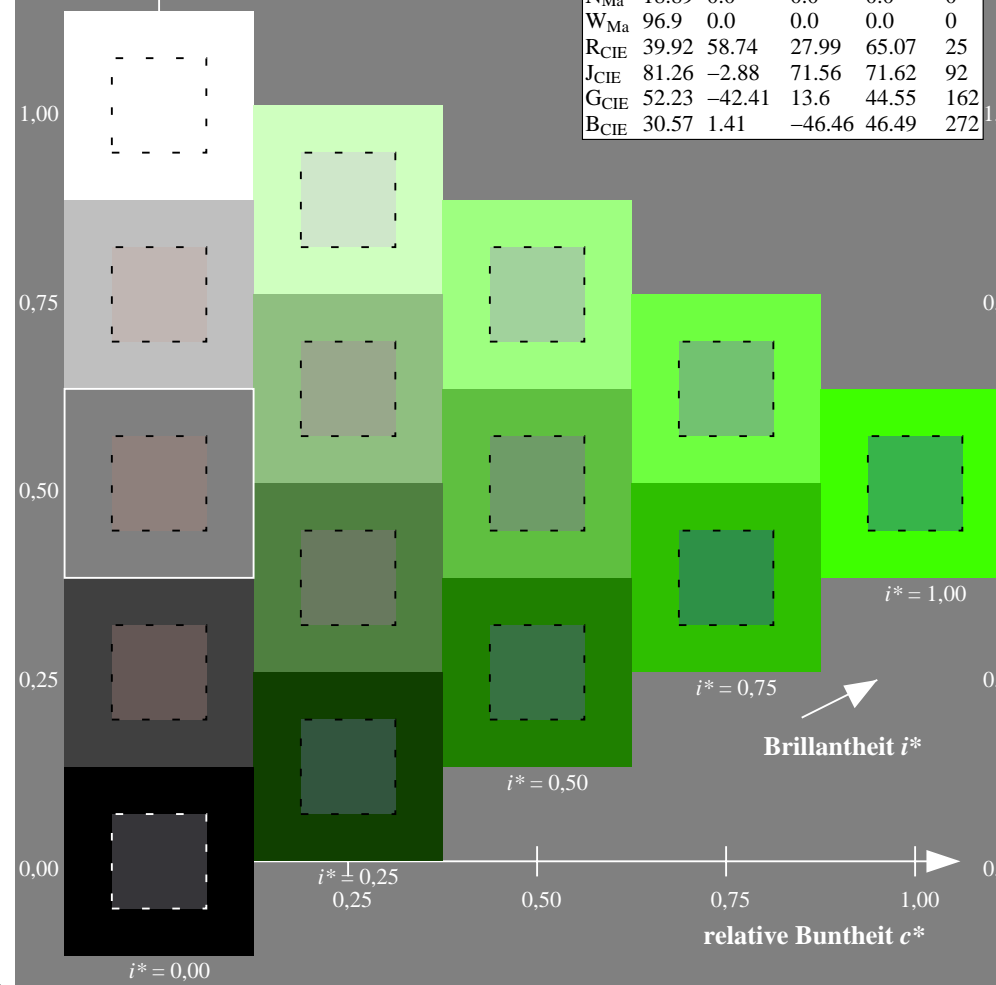
**LAB\*LCH\*Ma: 62 64 145**

**lab\*rgb\*\_Ma: 0.25 1.0 0.0**

*lab\*olv\*\_Ma: 0.24 1.0 0.0*

### Dreiecks-Helligkeit $t^*$

ORS19_96a; adaptierte CIELAB-Daten					
	$L^*_a$	$a^*_a$	$b^*_a$	$C^*_{ab,a}$	$h^*_{ab,a}$
r00j	48.88	66.47	31.67	73.63	25.0
r25j	55.85	52.39	47.48	70.7	42.0
r50j	65.45	35.22	58.37	68.17	59.0
r75j	75.19	17.82	69.41	71.66	76.0
j00g	87.03	-3.34	82.83	82.9	92.0
j25g	80.72	-25.0	69.5	73.86	110.0
j50g	70.64	-39.53	51.97	65.3	127.0
j75g	61.93	-52.09	36.83	63.8	145.0
g00b	52.8	-65.27	20.93	68.56	162.0
g25b	55.7	-49.57	-8.38	50.28	190.0
g50b	57.82	-38.39	-28.91	48.07	217.0
g75b	55.5	-22.04	-45.94	50.97	244.0
b00r	41.6	1.37	-45.0	45.03	272.0
b25r	29.0	25.08	-43.12	49.89	300.0
b50r	38.04	46.53	-28.38	54.51	329.0
b75r	49.48	72.88	-3.75	72.98	357.0



Ein und Ausgabe: Farbmatisches Drucker-Reflektiv-System ORS19\_96a für relativen CIELAB-Buntton  $h^* = lab^*h^* = h_{ab}/360 = 162/360 = 0.451$

Daten für jede Farbe:

$lab^*ch^*$  und  $lab^*icu^*$

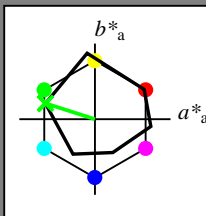
Elementar-Bunttontext:

$u^* = g00b$

Kontrastreduzierungsfaktor:

$c_R = 1.0$

Dreiecks-Helligkeit  $i^*$



ORS19\_96a; adaptierte CIELAB-Daten

	$L^*=L^*_a$	$a^*_a$	$b^*_a$	$C^*_{ab,a}$	$h^*_{ab,a}$
O <sub>Ma</sub>	48.75	65.07	39.43	76.08	31
Y <sub>Ma</sub>	90.92	-10.28	87.24	87.85	97
L <sub>Ma</sub>	52.69	-65.43	20.75	68.65	162
C <sub>Ma</sub>	59.61	-28.97	-46.21	54.56	238
V <sub>Ma</sub>	28.39	23.63	-44.12	50.06	298
M <sub>Ma</sub>	49.58	73.93	-9.55	74.55	353
N <sub>Ma</sub>	18.89	0.0	0.0	0.0	0
W <sub>Ma</sub>	96.9	0.0	0.0	0.0	0
R <sub>CIE</sub>	39.92	58.74	27.99	65.07	25
J <sub>CIE</sub>	81.26	-2.88	71.56	71.62	92
G <sub>CIE</sub>	52.23	-42.41	13.6	44.55	162
B <sub>CIE</sub>	30.57	1.41	-46.46	46.49	272

Daten für Maximalfarbe (Ma):

$LAB^*LAB^*_{Ma}$ : 53 -64 21

$LAB^*LCH^*_{Ma}$ : 53 69 162

$lab^*rgb^*_{Ma}$ : 0.0 1.0 0.0

$lab^*olv^*_{Ma}$ : 0.0 1.0 0.0

Dreiecks-Helligkeit  $i^*$

%Umfang

$u^*_{rel} = 89$

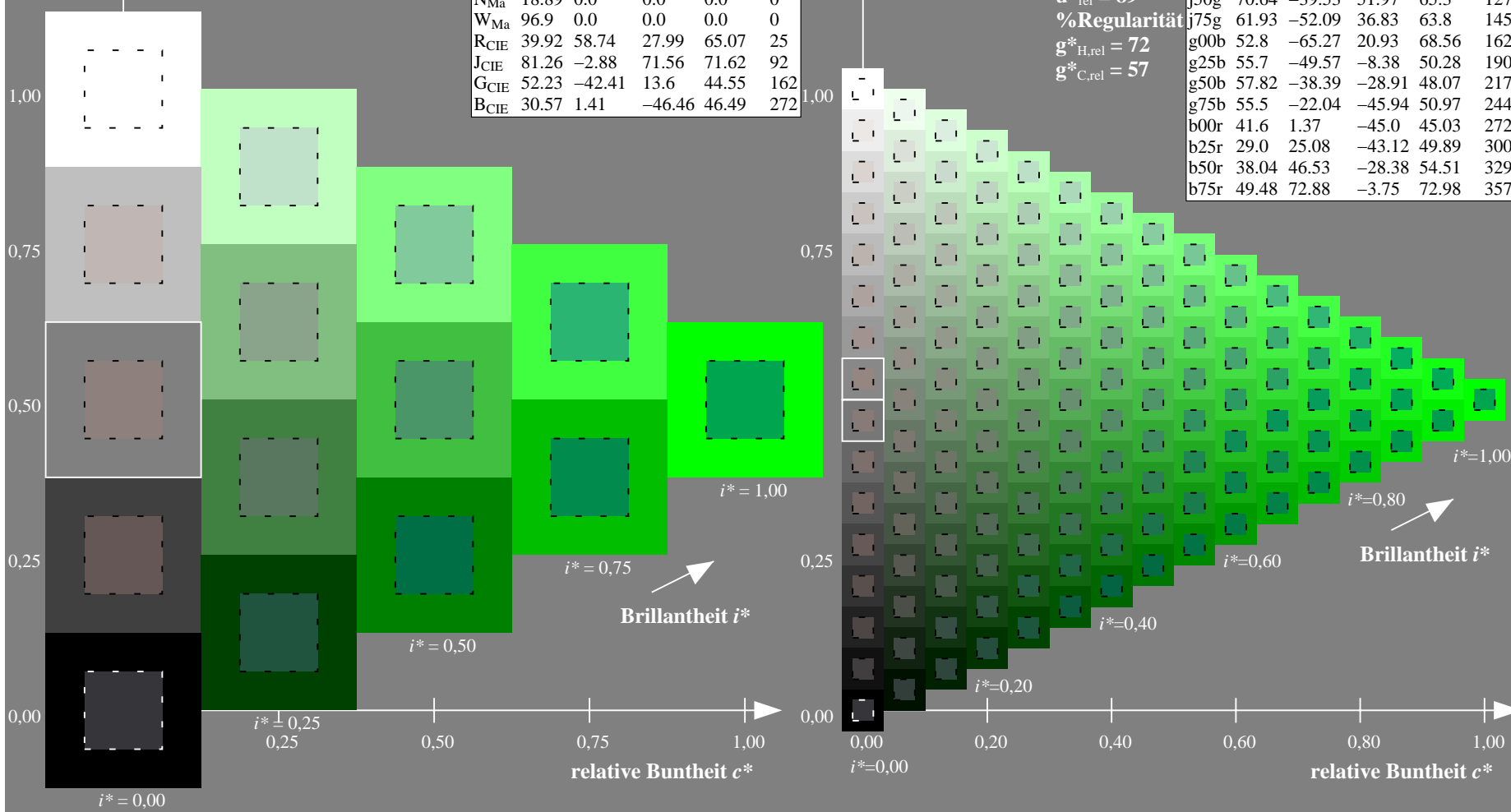
%Regularität

$g^*_{H,rel} = 72$

$g^*_{C,rel} = 57$

ORS19\_96a; adaptierte CIELAB-Daten

	$L^*=L^*_a$	$a^*_a$	$b^*_a$	$C^*_{ab,a}$	$h^*_{ab,a}$
r00j	48.88	66.47	31.67	73.63	25
r25j	55.85	52.39	47.48	70.7	42
r50j	65.45	35.22	58.37	68.17	59
r75j	75.19	17.82	69.41	71.66	76
j00g	87.03	-3.34	82.83	82.9	92
j25g	80.72	-25.0	69.5	73.86	110
j50g	70.64	-39.53	51.97	65.3	127
j75g	61.93	-52.09	36.83	63.8	145
g00b	52.8	-65.27	20.93	68.56	162
g25b	55.7	-49.57	-8.38	50.28	190
g50b	57.82	-38.39	-28.91	48.07	217
g75b	55.5	-22.04	-45.94	50.97	244
b00r	41.6	1.37	-45.0	45.03	272
b25r	29.0	25.08	-43.12	49.89	300
b50r	38.04	46.53	-28.38	54.51	329
b75r	49.48	72.88	-3.75	72.98	357



Ein und Ausgabe: Farbmetrisches Drucker-Reflektiv-System ORS19\_96a für relativen CIELAB-Buntton  $h^* = lab^*h^* = h_{ab}/360 = 190/360 = 0.527$

Daten für jede Farbe:

$lab^*ch^*$  und  $lab^*icu^*$

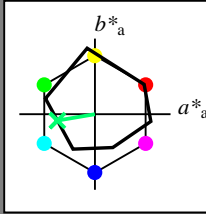
Elementar-Bunttontext:

$u^* = g25b$

Kontrastreduzierungsfaktor:

$c_R = 1.0$

Dreiecks-Helligkeit  $i^*$



ORS19\_96a; adaptierte CIELAB-Daten

	$L^*=L^*_a$	$a^*_a$	$b^*_a$	$C^*_{ab,a}$	$h^*_{ab,a}$
O <sub>Ma</sub>	48.75	65.07	39.43	76.08	31
Y <sub>Ma</sub>	90.92	-10.28	87.24	87.85	97
L <sub>Ma</sub>	52.69	-65.43	20.75	68.65	162
C <sub>Ma</sub>	59.61	-28.97	-46.21	54.56	238
V <sub>Ma</sub>	28.39	23.63	-44.12	50.06	298
M <sub>Ma</sub>	49.58	73.93	-9.55	74.55	353
N <sub>Ma</sub>	18.89	0.0	0.0	0.0	0
W <sub>Ma</sub>	96.9	0.0	0.0	0.0	0
R <sub>CIE</sub>	39.92	58.74	27.99	65.07	25
J <sub>CIE</sub>	81.26	-2.88	71.56	71.62	92
G <sub>CIE</sub>	52.23	-42.41	13.6	44.55	162
B <sub>CIE</sub>	30.57	1.41	-46.46	46.49	272

Daten für Maximalfarbe (Ma):

$LAB^*LAB^*_{Ma}$ : 56 -49 -7

$LAB^*LCH^*_{Ma}$ : 56 50 190

$lab^*rgb^*_{Ma}$ : 0.0 1.0 0.5

$lab^*olv^*_{Ma}$ : 0.0 1.0 0.44

Dreiecks-Helligkeit  $i^*$

%Umfang

$u^*_{rel} = 89$

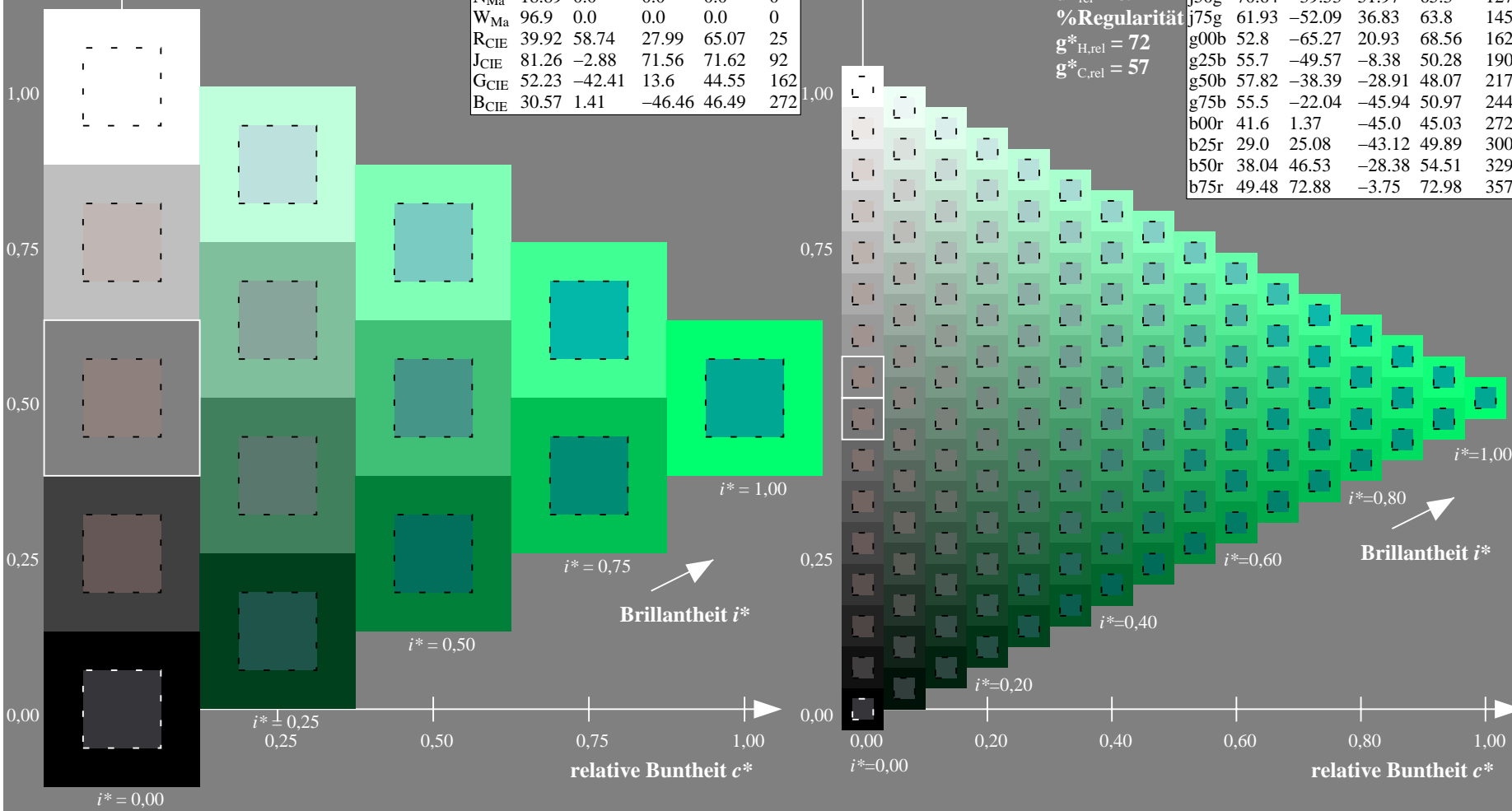
%Regularität

$g^*_{H,rel} = 72$

$g^*_{C,rel} = 57$

ORS19\_96a; adaptierte CIELAB-Daten

	$L^*=L^*_a$	$a^*_a$	$b^*_a$	$C^*_{ab,a}$	$h^*_{ab,a}$
r00j	48.88	66.47	31.67	73.63	25
r25j	55.85	52.39	47.48	70.7	42
r50j	65.45	35.22	58.37	68.17	59
r75j	75.19	17.82	69.41	71.66	76
j00g	87.03	-3.34	82.83	82.9	92
j25g	80.72	-25.0	69.5	73.86	110
j50g	70.64	-39.53	51.97	65.3	127
j75g	61.93	-52.09	36.83	63.8	145
g00b	52.8	-65.27	20.93	68.56	162
g25b	55.7	-49.57	-8.38	50.28	190
g50b	57.82	-38.39	-28.91	48.07	217
g75b	55.5	-22.04	-45.94	50.97	244
b00r	41.6	1.37	-45.0	45.03	272
b25r	29.0	25.08	-43.12	49.89	300
b50r	38.04	46.53	-28.38	54.51	329
b75r	49.48	72.88	-3.75	72.98	357



Ein und Ausgabe: Farbmetrisches Drucker-Reflektiv-System ORS19\_96a für relativen CIELAB-Buntton  $h^* = lab^*h^* = h_{ab}/360 = 217/360 = 0.603$

Daten für jede Farbe:

$lab^*ch^*$  und  $lab^*icu^*$

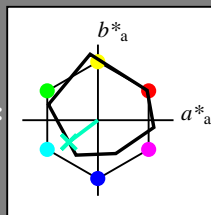
Elementar-Bunttontext:

$u^* = g50b$

Kontrastreduzierungsfaktor:

$c_R = 1.0$

Dreiecks-Helligkeit  $i^*$



ORS19\_96a; adaptierte CIELAB-Daten

	$L^*=L^*_a$	$a^*_a$	$b^*_a$	$C^*_{ab,a}$	$h^*_{ab,a}$
O <sub>Ma</sub>	48.75	65.07	39.43	76.08	31
Y <sub>Ma</sub>	90.92	-10.28	87.24	87.85	97
L <sub>Ma</sub>	52.69	-65.43	20.75	68.65	162
C <sub>Ma</sub>	59.61	-28.97	-46.21	54.56	238
V <sub>Ma</sub>	28.39	23.63	-44.12	50.06	298
M <sub>Ma</sub>	49.58	73.93	-9.55	74.55	353
N <sub>Ma</sub>	18.89	0.0	0.0	0.0	0
W <sub>Ma</sub>	96.9	0.0	0.0	0.0	0
R <sub>CIE</sub>	39.92	58.74	27.99	65.07	25
J <sub>CIE</sub>	81.26	-2.88	71.56	71.62	92
G <sub>CIE</sub>	52.23	-42.41	13.6	44.55	162
B <sub>CIE</sub>	30.57	1.41	-46.46	46.49	272

Daten für Maximalfarbe (Ma):

$LAB^*LAB^*_{Ma}$ : 58 -37 -28

$LAB^*LCH^*_{Ma}$ : 58 48 217

$lab^*rgb^*_{Ma}$ : 0.0 1.0 1.0

$lab^*olv^*_{Ma}$ : 0.0 1.0 0.74

Dreiecks-Helligkeit  $i^*$

%Umfang

$u^*_{rel} = 89$

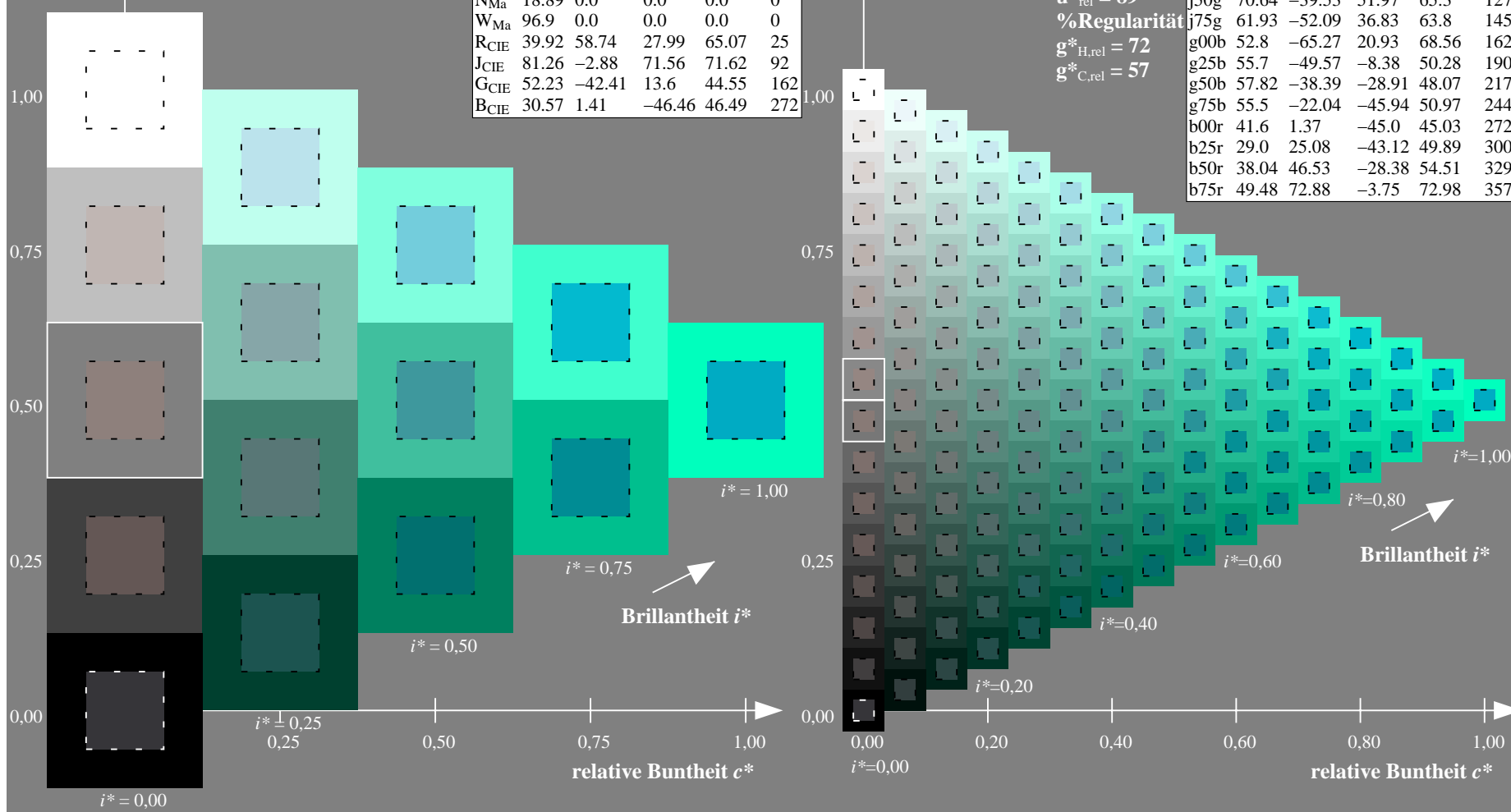
%Regularität

$g^*_{H,rel} = 72$

$g^*_{C,rel} = 57$

ORS19\_96a; adaptierte CIELAB-Daten

	$L^*=L^*_a$	$a^*_a$	$b^*_a$	$C^*_{ab,a}$	$h^*_{ab,a}$
r00j	48.88	66.47	31.67	73.63	25
r25j	55.85	52.39	47.48	70.7	42
r50j	65.45	35.22	58.37	68.17	59
r75j	75.19	17.82	69.41	71.66	76
j00g	87.03	-3.34	82.83	82.9	92
j25g	80.72	-25.0	69.5	73.86	110
j50g	70.64	-39.53	51.97	65.3	127
j75g	61.93	-52.09	36.83	63.8	145
g00b	52.8	-65.27	20.93	68.56	162
g25b	55.7	-49.57	-8.38	50.28	190
g50b	57.82	-38.39	-28.91	48.07	217
g75b	55.5	-22.04	-45.94	50.97	244
b00r	41.6	1.37	-45.0	45.03	272
b25r	29.0	25.08	-43.12	49.89	300
b50r	38.04	46.53	-28.38	54.51	329
b75r	49.48	72.88	-3.75	72.98	357



Ein und Ausgabe: Farbmétrisches Drucker-Reflektiv-System ORS19\_96a für relativen CIELAB-Buntton  $h^* = lab^*h^* = h_{ab}/360 = 244/360 = 0.679$

### Daten für jede Farbe:

*lab\*tch\** und *lab\*icu\**

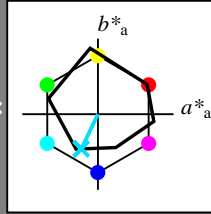
### Elementar-Bunttontext:

$$u^* = g75b$$

### Kontrastreduzierungsfaktor:

 $c_R = 1.0$ 

### Dreiecks-Helligkeit $t^*$



ORS19 96a; adaptierte CIELAB-Daten					
	$L^*_{a}$	$a^*_{a}$	$b^*_{a}$	$C^*_{ab,a}$	$h^*_{ab,a}$
O <sub>Ma</sub>	48.75	65.07	39.43	76.08	31
Y <sub>Ma</sub>	90.92	-10.28	87.24	87.85	97
L <sub>Ma</sub>	52.69	-65.43	20.75	68.65	162
C <sub>Ma</sub>	59.61	-28.97	-46.21	54.56	238
V <sub>Ma</sub>	28.39	23.63	-44.12	50.06	298
M <sub>Ma</sub>	49.58	73.93	-9.55	74.55	353
N <sub>Ma</sub>	18.89	0.0	0.0	0.0	0
W <sub>Ma</sub>	96.9	0.0	0.0	0.0	0
R <sub>CIE</sub>	39.92	58.74	27.99	65.07	25
J <sub>CIE</sub>	81.26	-2.88	71.56	71.62	92
G <sub>CIE</sub>	52.23	-42.41	13.6	44.55	162
B <sub>CIE</sub>	30.57	1.41	-46.46	46.49	272

**Daten für Maximalfarbe (Ma):**

**LAB\*LAB\*Ma: 55 -21 -45**

**LAP\*LCH\***: 55 51 244

**LAB LCH** Ma: 55 51 24  
 1 1 1 0 8 9 7 6 5 4 3 2 1 0

*lab\*rgb*\*Ma: 0.0 0.5 1.0

*lab\*olv\****Ma**: 0.0 0.87 1.0

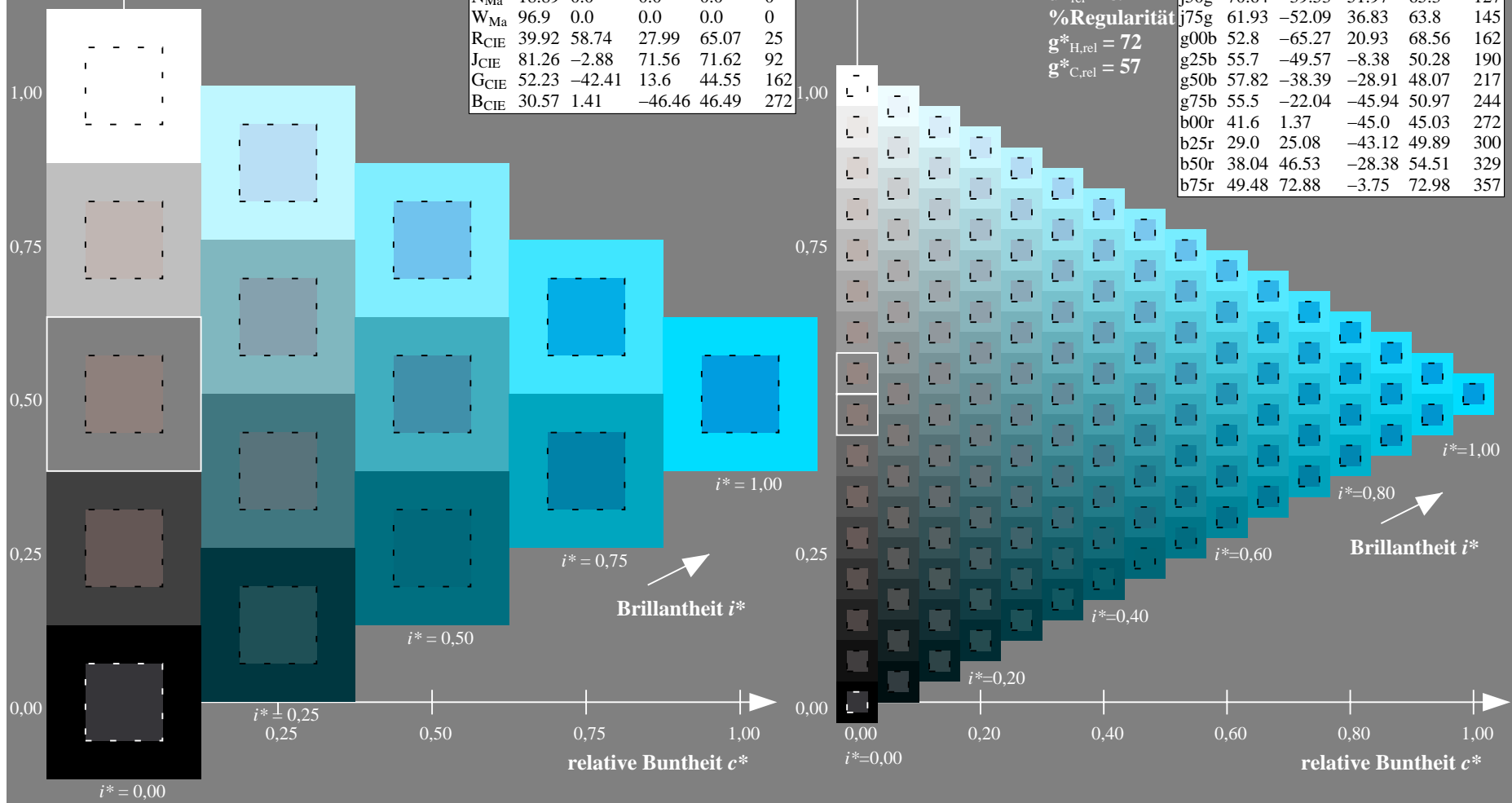
### Dreiecks-Helligkeit $t^*$

ORS19_96a; adaptierte CIELAB-Daten						
	$L^*_a$	$a^*_a$	$b^*_a$	$C^*_{ab,a}$	$h^*_{ab,a}$	
r00j	48.88	66.47	31.67	73.63		25
r25j	55.85	52.39	47.48	70.7		42
r50j	65.45	35.22	58.37	68.17		59
r75j	75.19	17.82	69.41	71.66		76
j00g	87.03	-3.34	82.83	82.9		92
j25g	80.72	-25.0	69.5	73.86		110
j50g	70.64	-39.53	51.97	65.3		127
j75g	61.93	-52.09	36.83	63.8		145
g00b	52.8	-65.27	20.93	68.56		162
g25b	55.7	-49.57	-8.38	50.28		190
g50b	57.82	-38.39	-28.91	48.07		217
g75b	55.5	-22.04	-45.94	50.97		244
b00r	41.6	1.37	-45.0	45.03		272
b25r	29.0	25.08	-43.12	49.89		300
b50r	38.04	46.53	-28.38	54.51		329
b75r	49.48	72.88	-3.75	72.98		357

## %Umfang

$$u^*_{\text{rel}} = 89$$

**%Regular:**

$$g^*_{H,rel} = 72$$
$$g^*_{C,rel} = 57$$


Ein und Ausgabe: Farbmetrisches Drucker-Reflektiv-System ORS19\_96a für relativen CIELAB-Buntton  $h^* = lab^*h^* = h_{ab}/360 = 272/360 = 0.755$

Daten für jede Farbe:

$lab^*ch^*$  und  $lab^*icu^*$

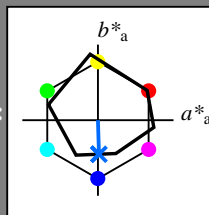
Elementar-Bunttontext:

$u^* = b00r$

Kontrastreduzierungsfaktor:

$c_R = 1.0$

Dreiecks-Helligkeit  $i^*$



ORS19\_96a; adaptierte CIELAB-Daten

	$L^* = L^*_a$	$a^*_a$	$b^*_a$	$C^*_{ab,a}$	$h^*_{ab,a}$
O <sub>Ma</sub>	48.75	65.07	39.43	76.08	31
Y <sub>Ma</sub>	90.92	-10.28	87.24	87.85	97
L <sub>Ma</sub>	52.69	-65.43	20.75	68.65	162
C <sub>Ma</sub>	59.61	-28.97	-46.21	54.56	238
V <sub>Ma</sub>	28.39	23.63	-44.12	50.06	298
M <sub>Ma</sub>	49.58	73.93	-9.55	74.55	353
N <sub>Ma</sub>	18.89	0.0	0.0	0.0	0
W <sub>Ma</sub>	96.9	0.0	0.0	0.0	0
R <sub>CIE</sub>	39.92	58.74	27.99	65.07	25
J <sub>CIE</sub>	81.26	-2.88	71.56	71.62	92
G <sub>CIE</sub>	52.23	-42.41	13.6	44.55	162
B <sub>CIE</sub>	30.57	1.41	-46.46	46.49	272

Daten für Maximalfarbe (Ma):

$LAB^*LAB^*_{Ma}$ : 42 1 -44

$LAB^*LCH^*_{Ma}$ : 42 45 272

$lab^*rgb^*_{Ma}$ : 0.0 0.0 1.0

$lab^*olv^*_{Ma}$ : 0.0 0.42 1.0

Dreiecks-Helligkeit  $i^*$

%Umfang

$u^*_{rel} = 89$

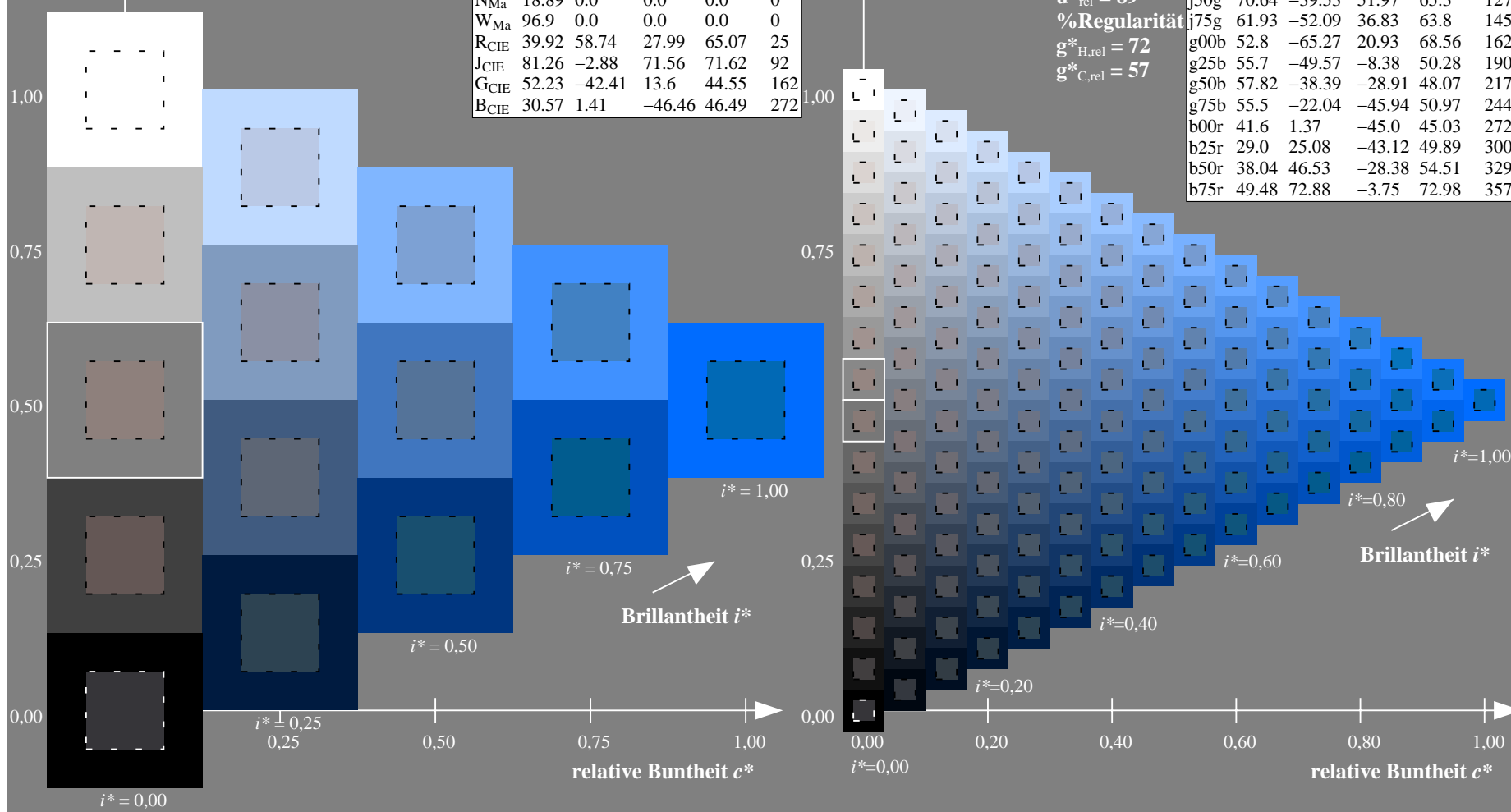
%Regularität

$g^*_{H,rel} = 72$

$g^*_{C,rel} = 57$

ORS19\_96a; adaptierte CIELAB-Daten

	$L^* = L^*_a$	$a^*_a$	$b^*_a$	$C^*_{ab,a}$	$h^*_{ab,a}$
r00j	48.88	66.47	31.67	73.63	25
r25j	55.85	52.39	47.48	70.7	42
r50j	65.45	35.22	58.37	68.17	59
r75j	75.19	17.82	69.41	71.66	76
j00g	87.03	-3.34	82.83	82.9	92
j25g	80.72	-25.0	69.5	73.86	110
j50g	70.64	-39.53	51.97	65.3	127
j75g	61.93	-52.09	36.83	63.8	145
g00b	52.8	-65.27	20.93	68.56	162
g25b	55.7	-49.57	-8.38	50.28	190
g50b	57.82	-38.39	-28.91	48.07	217
g75b	55.5	-22.04	-45.94	50.97	244
b00r	41.6	1.37	-45.0	45.03	272
b25r	29.0	25.08	-43.12	49.89	300
b50r	38.04	46.53	-28.38	54.51	329
b75r	49.48	72.88	-3.75	72.98	357





Ein und Ausgabe: Farbmetrisches Drucker-Reflektiv-System ORS19\_96a für relativen CIELAB-Buntton  $h^* = lab^*h^* = h_{ab}/360 = 300/360 = 0.834$

Daten für jede Farbe:

$lab^*ch^*$  und  $lab^*icu^*$

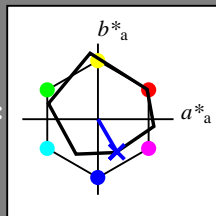
Elementar-Bunttontext:

$u^* = b25r$

Kontrastreduzierungsfaktor:

$c_R = 1.0$

Dreiecks-Helligkeit  $t^*$



ORS19\_96a; adaptierte CIELAB-Daten

	$L^*=L_a^*$	$a_a^*$	$b_a^*$	$C_{ab,a}^*$	$h_{ab,a}^*$
O <sub>Ma</sub>	48.75	65.07	39.43	76.08	31
Y <sub>Ma</sub>	90.92	-10.28	87.24	87.85	97
L <sub>Ma</sub>	52.69	-65.43	20.75	68.65	162
C <sub>Ma</sub>	59.61	-28.97	-46.21	54.56	238
V <sub>Ma</sub>	28.39	23.63	-44.12	50.06	298
M <sub>Ma</sub>	49.58	73.93	-9.55	74.55	353
N <sub>Ma</sub>	18.89	0.0	0.0	0.0	0
W <sub>Ma</sub>	96.9	0.0	0.0	0.0	0
R <sub>CIE</sub>	39.92	58.74	27.99	65.07	25
J <sub>CIE</sub>	81.26	-2.88	71.56	71.62	92
G <sub>CIE</sub>	52.23	-42.41	13.6	44.55	162
B <sub>CIE</sub>	30.57	1.41	-46.46	46.49	272

Daten für Maximalfarbe (Ma):

$LAB^*LAB^*Ma$ : 29 25 -42

$LAB^*LCH^*Ma$ : 29 50 300

$lab^*rgb^*Ma$ : 0.5 0.0 1.0

$lab^*olv^*Ma$ : 0.03 0.0 1.0

Dreiecks-Helligkeit  $t^*$

%Umfang

$u^*_{rel} = 89$

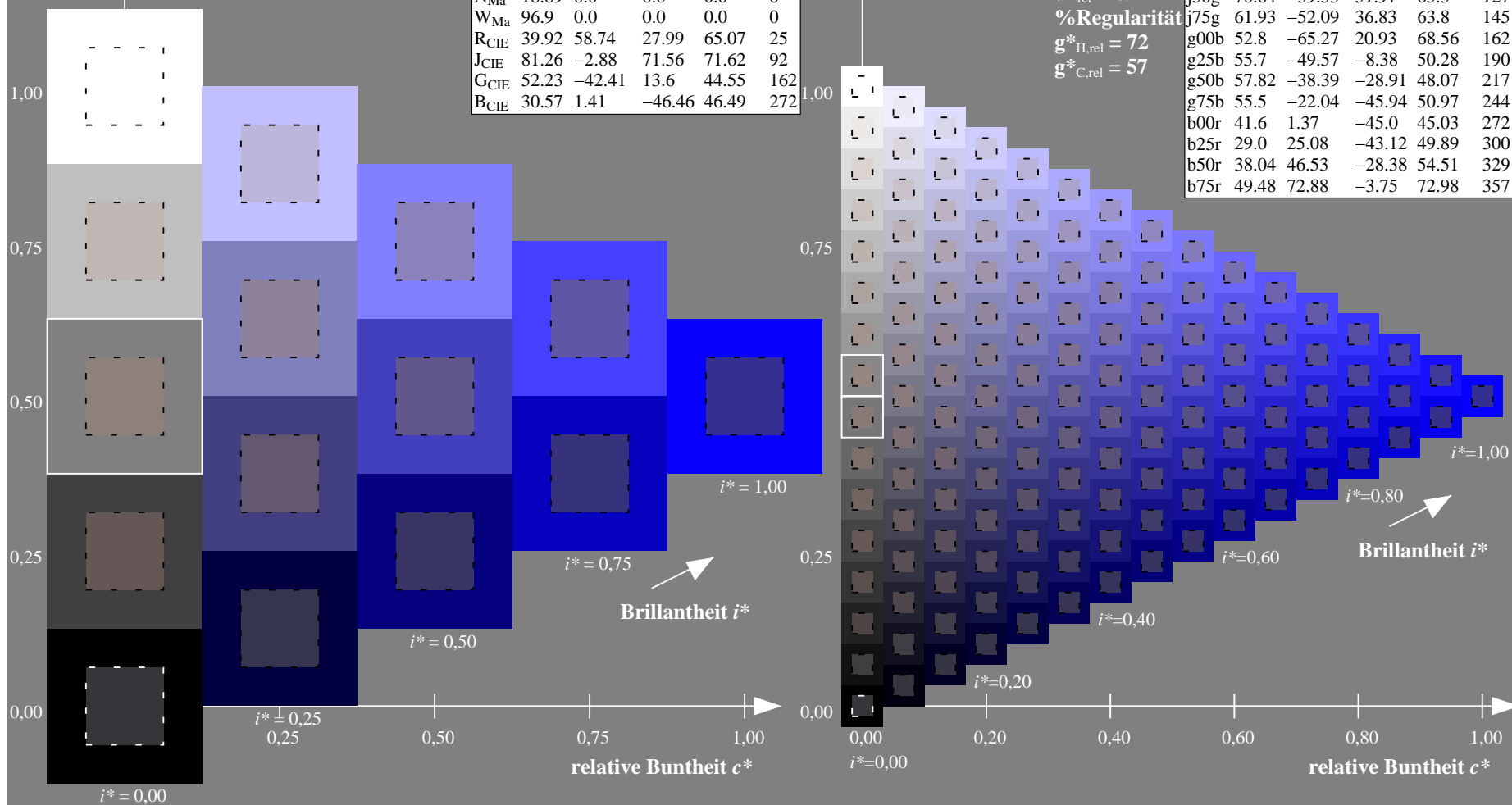
%Regularität

$g^*_{H,rel} = 72$

$g^*_{C,rel} = 57$

ORS19\_96a; adaptierte CIELAB-Daten

	$L^*=L_a^*$	$a_a^*$	$b_a^*$	$C_{ab,a}^*$	$h_{ab,a}^*$
r00j	48.88	66.47	31.67	73.63	25
r25j	55.85	52.39	47.48	70.7	42
r50j	65.45	35.22	58.37	68.17	59
r75j	75.19	17.82	69.41	71.66	76
j00g	87.03	-3.34	82.83	82.9	92
j25g	80.72	-25.0	69.5	73.86	110
j50g	70.64	-39.53	51.97	65.3	127
j75g	61.93	-52.09	36.83	63.8	145
g00b	52.8	-65.27	20.93	68.56	162
g25b	55.7	-49.57	-8.38	50.28	190
g50b	57.82	-38.39	-28.91	48.07	217
g75b	55.5	-22.04	-45.94	50.97	244
b00r	41.6	1.37	-45.0	45.03	272
b25r	29.0	25.08	-43.12	49.89	300
b50r	38.04	46.53	-28.38	54.51	329
b75r	49.48	72.88	-3.75	72.98	357



Ein und Ausgabe: Farbmetrisches Drucker-Reflektiv-System ORS19\_96a für relativen CIELAB-Buntton  $h^* = lab^*h^* = h_{ab}/360 = 329/360 = 0.913$

Daten für jede Farbe:

$lab^*ch^*$  und  $lab^*icu^*$

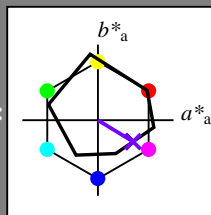
Elementar-Bunttontext:

$u^* = b50r$

Kontrastreduzierungsfaktor:

$c_R = 1.0$

Dreiecks-Helligkeit  $t^*$



ORS19\_96a; adaptierte CIELAB-Daten

	$L^* = L^*_a$	$a^*_a$	$b^*_a$	$C^*_{ab,a}$	$h^*_{ab,a}$
O <sub>Ma</sub>	48.75	65.07	39.43	76.08	31
Y <sub>Ma</sub>	90.92	-10.28	87.24	87.85	97
L <sub>Ma</sub>	52.69	-65.43	20.75	68.65	162
C <sub>Ma</sub>	59.61	-28.97	-46.21	54.56	238
V <sub>Ma</sub>	28.39	23.63	-44.12	50.06	298
M <sub>Ma</sub>	49.58	73.93	-9.55	74.55	353
N <sub>Ma</sub>	18.89	0.0	0.0	0.0	0
W <sub>Ma</sub>	96.9	0.0	0.0	0.0	0
R <sub>CIE</sub>	39.92	58.74	27.99	65.07	25
J <sub>CIE</sub>	81.26	-2.88	71.56	71.62	92
G <sub>CIE</sub>	52.23	-42.41	13.6	44.55	162
B <sub>CIE</sub>	30.57	1.41	-46.46	46.49	272

Daten für Maximalfarbe (Ma):

$LAB^*LAB^*_{Ma}$ : 38 47 -27

$LAB^*LCH^*_{Ma}$ : 38 55 329

$lab^*rgb^*_{Ma}$ : 1.0 0.0 1.0

$lab^*olv^*_{Ma}$ : 0.46 0.0 1.0

Dreiecks-Helligkeit  $t^*$

%Umfang

$u^*_{rel} = 89$

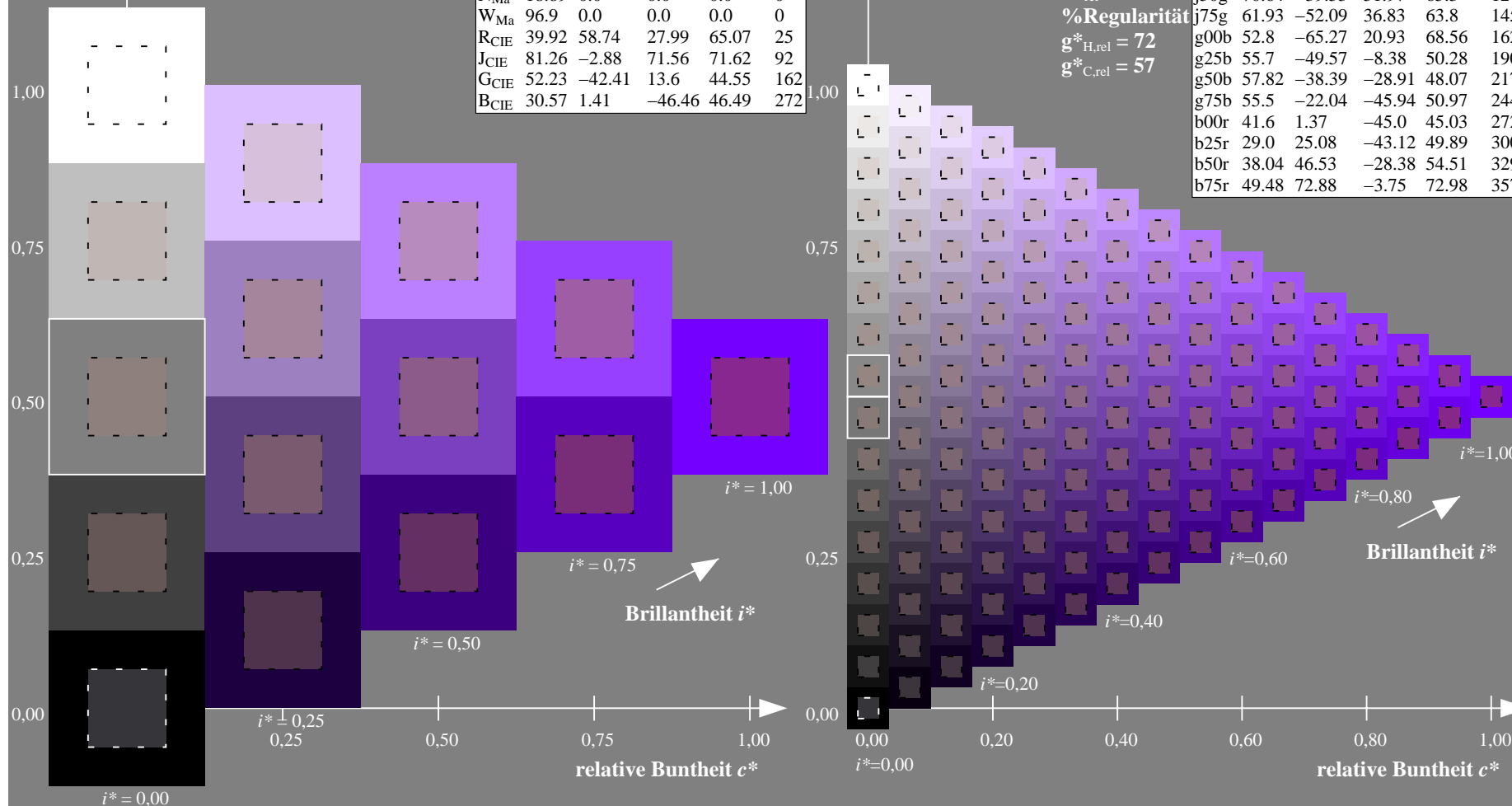
%Regularität

$g^*_{H,rel} = 72$

$g^*_{C,rel} = 57$

ORS19\_96a; adaptierte CIELAB-Daten

	$L^* = L^*_a$	$a^*_a$	$b^*_a$	$C^*_{ab,a}$	$h^*_{ab,a}$
r00j	48.88	66.47	31.67	73.63	25
r25j	55.85	52.39	47.48	70.7	42
r50j	65.45	35.22	58.37	68.17	59
r75j	75.19	17.82	69.41	71.66	76
j00g	87.03	-3.34	82.83	82.9	92
j25g	80.72	-25.0	69.5	73.86	110
j50g	70.64	-39.53	51.97	65.3	127
j75g	61.93	-52.09	36.83	63.8	145
g00b	52.8	-65.27	20.93	68.56	162
g25b	55.7	-49.57	-8.38	50.28	190
g50b	57.82	-38.39	-28.91	48.07	217
g75b	55.5	-22.04	-45.94	50.97	244
b00r	41.6	1.37	-45.0	45.03	272
b25r	29.0	25.08	-43.12	49.89	300
b50r	38.04	46.53	-28.38	54.51	329
b75r	49.48	72.88	-3.75	72.98	357



Ein und Ausgabe: Farbmetrisches Drucker-Reflektiv-System ORS19\_96a für relativen CIELAB-Buntton  $h^* = lab^*h^* = h_{ab}/360 = 357/360 = 0.992$

Daten für jede Farbe:

$lab^*ch^*$  und  $lab^*icu^*$

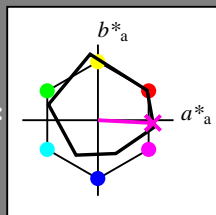
Elementar-Bunttontext:

$u^* = b75r$

Kontrastreduzierungsfaktor:

$c_R = 1.0$

Dreiecks-Helligkeit  $t^*$



ORS19\_96a; adaptierte CIELAB-Daten

	$L^* = L^*_a$	$a^*_a$	$b^*_a$	$C^*_{ab,a}$	$h^*_{ab,a}$
O <sub>Ma</sub>	48.75	65.07	39.43	76.08	31
Y <sub>Ma</sub>	90.92	-10.28	87.24	87.85	97
L <sub>Ma</sub>	52.69	-65.43	20.75	68.65	162
C <sub>Ma</sub>	59.61	-28.97	-46.21	54.56	238
V <sub>Ma</sub>	28.39	23.63	-44.12	50.06	298
M <sub>Ma</sub>	49.58	73.93	-9.55	74.55	353
N <sub>Ma</sub>	18.89	0.0	0.0	0.0	0
W <sub>Ma</sub>	96.9	0.0	0.0	0.0	0
R <sub>CIE</sub>	39.92	58.74	27.99	65.07	25
J <sub>CIE</sub>	81.26	-2.88	71.56	71.62	92
G <sub>CIE</sub>	52.23	-42.41	13.6	44.55	162
B <sub>CIE</sub>	30.57	1.41	-46.46	46.49	272

Daten für Maximalfarbe (Ma):

$LAB^*LAB^*_{Ma}$ : 49 73 -3

$LAB^*LCH^*_{Ma}$ : 49 73 357

$lab^*rgb^*_{Ma}$ : 1.0 0.0 0.5

$lab^*olv^*_{Ma}$ : 1.0 0.0 0.88

Dreiecks-Helligkeit  $t^*$

%Umfang

$u^*_{rel} = 89$

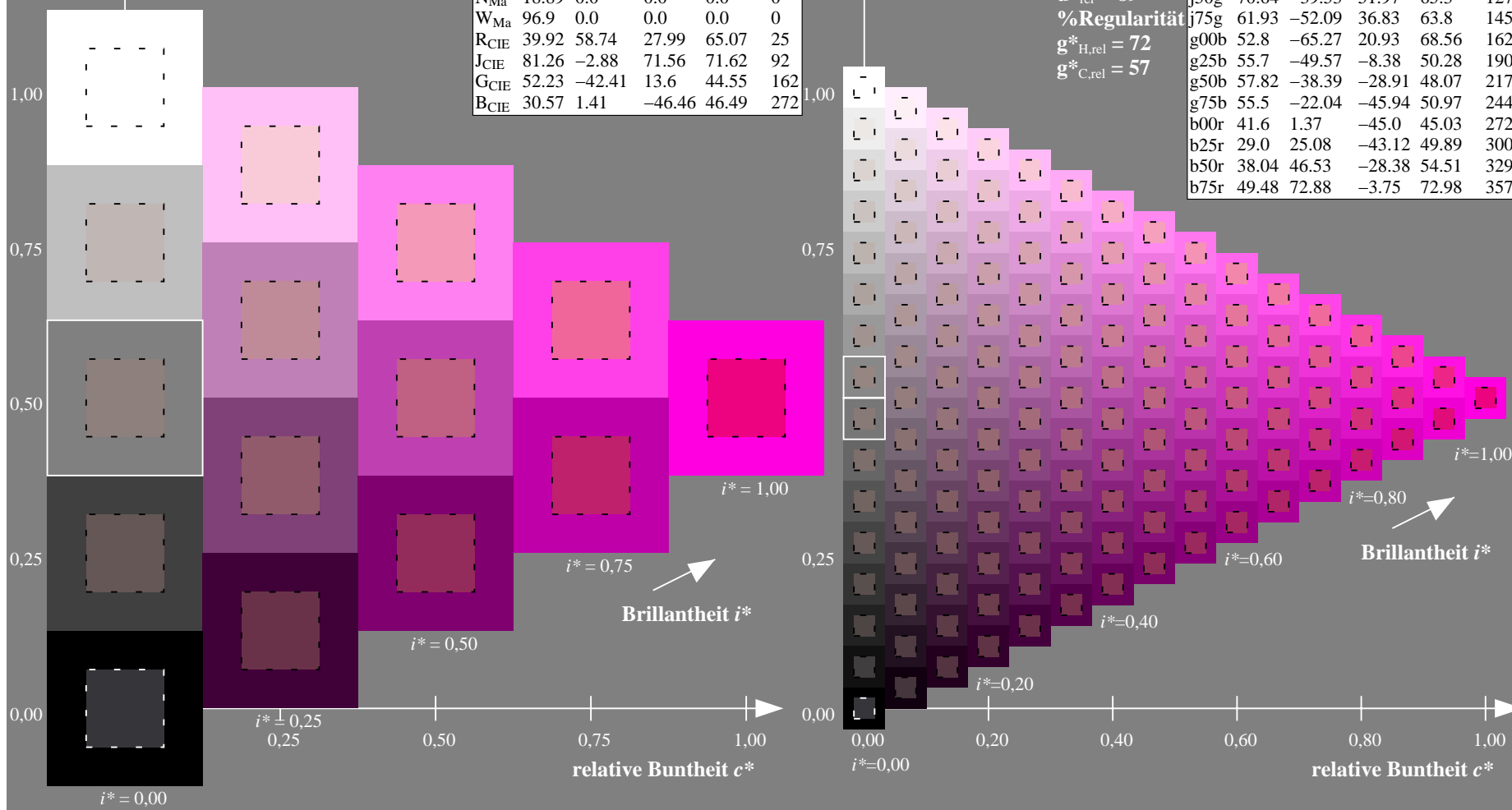
%Regelartigkeit

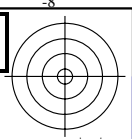
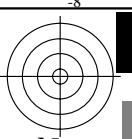
$g^*_{H,rel} = 72$

$g^*_{C,rel} = 57$

ORS19\_96a; adaptierte CIELAB-Daten

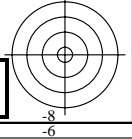
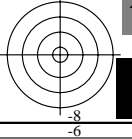
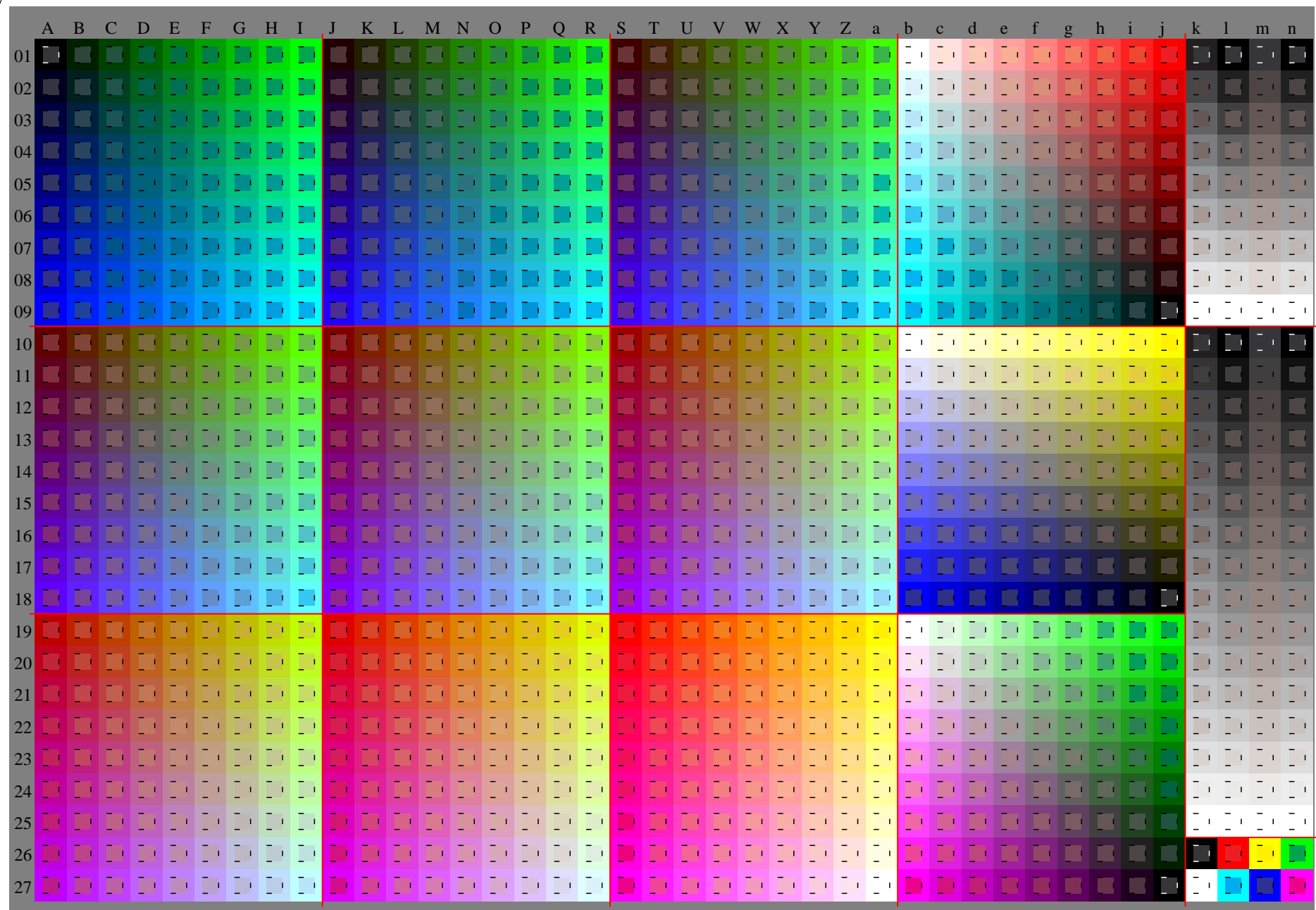
	$L^* = L^*_a$	$a^*_a$	$b^*_a$	$C^*_{ab,a}$	$h^*_{ab,a}$
r00j	48.88	66.47	31.67	73.63	25
r25j	55.85	52.39	47.48	70.7	42
r50j	65.45	35.22	58.37	68.17	59
r75j	75.19	17.82	69.41	71.66	76
j00g	87.03	-3.34	82.83	82.9	92
j25g	80.72	-25.0	69.5	73.86	110
j50g	70.64	-39.53	51.97	65.3	127
j75g	61.93	-52.09	36.83	63.8	145
g00b	52.8	-65.27	20.93	68.56	162
g25b	55.7	-49.57	-8.38	50.28	190
g50b	57.82	-38.39	-28.91	48.07	217
g75b	55.5	-22.04	-45.94	50.97	244
b00r	41.6	1.37	-45.0	45.03	272
b25r	29.0	25.08	-43.12	49.89	300
b50r	38.04	46.53	-28.38	54.51	329
b75r	49.48	72.88	-3.75	72.98	357





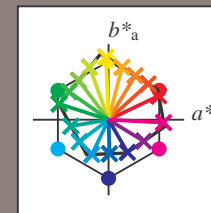
Siehe ähnliche Dateien: <http://www.ps.bam.de/Dg74/>; [www.ps.bam.de/Dg74/10L/L74G00NP.PS/.PDF](http://www.ps.bam.de/Dg74/10L/L74G00NP.PS/.PDF) BAM-Material: Code=rh4ta  
Technische Information: <http://www.ps.bam.de> Version 2.1, io=1,1, ColSpx=0

BAM-Registrierung: 20080701-Dg74/10L/L74G00NP.PS/.PDF BAM-Material: Code=rh4ta  
Anwendung für Beurteilung und Messung von Drucker- oder Monitorsystemen



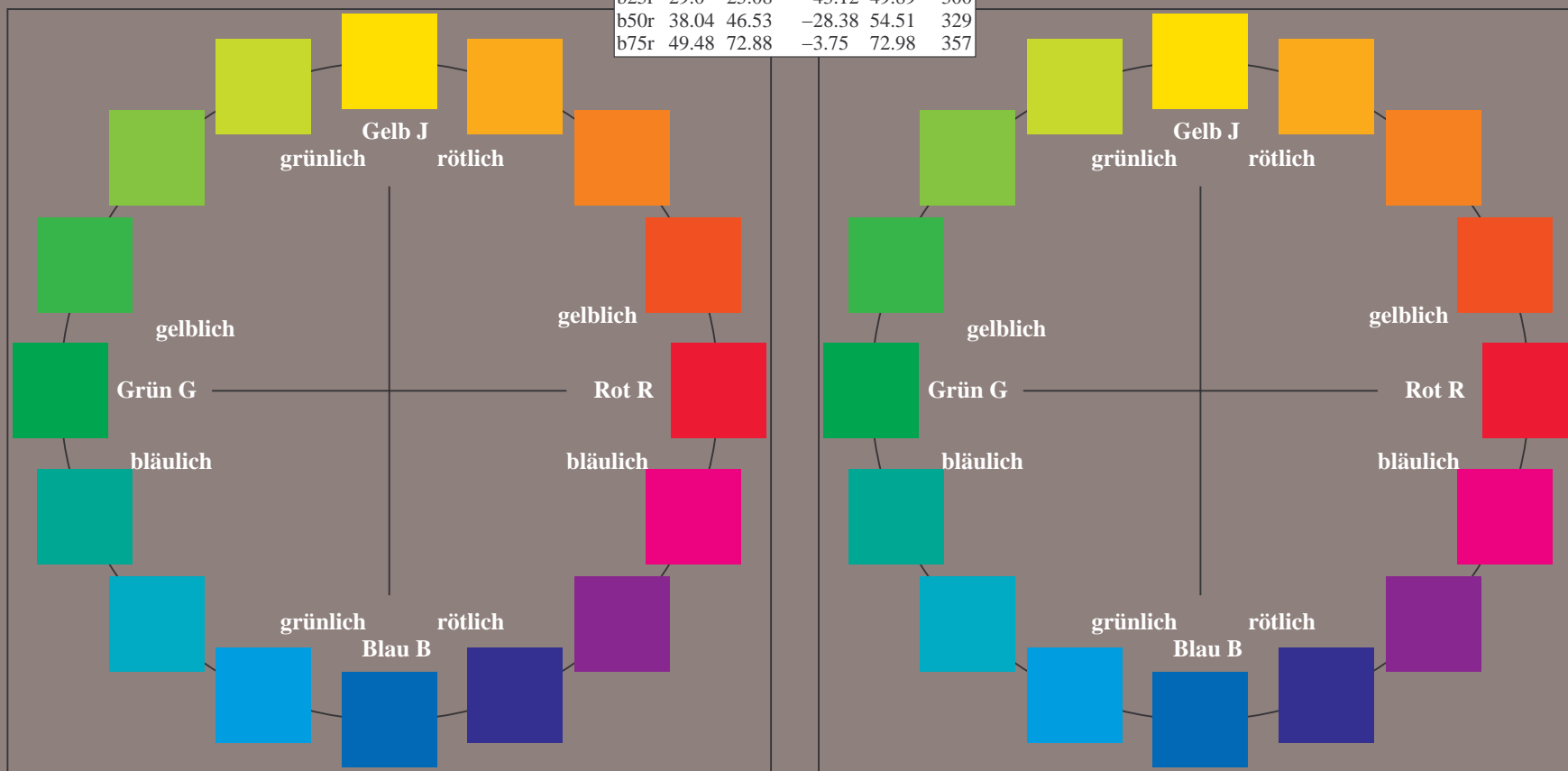
Ein und Ausgabe:  
Farbmetrisches Drucker-Reflektiv-System ORS19\_96a  
Daten für jede Farbe:  
 $lab^{*}ch^{*}$  und  $lab^{*}icu^{*}$   
Elementar-Bunntontext:  
 $u^{*} = 16$  Bunttöne  $r00j$ ,  $r25j$ , ...,  $b75r$   
Kontrastreduzierungsfaktor:  
 $c_R = 1.0$

ORS19_96a; adaptierte CIELAB-Daten					
	$L^{*}=L^{*}_a$	$a^{*}_a$	$b^{*}_a$	$C^{*}_{ab,a}$	$h^{*}_{ab,a}$
r00j	48.88	66.47	31.67	73.63	25
r25j	55.85	52.39	47.48	70.7	42
r50j	65.45	35.22	58.37	68.17	59
r75j	75.19	17.82	69.41	71.66	76
j00g	87.03	-3.34	82.83	82.9	92
j25g	80.72	-25.0	69.5	73.86	110
j50g	70.64	-39.53	51.97	65.3	127
j75g	61.93	-52.09	36.83	63.8	145
g00b	52.8	-65.27	20.93	68.56	162
g25b	55.7	-49.57	-8.38	50.28	190
g50b	57.82	-38.39	-28.91	48.07	217
g75b	55.5	-22.04	-45.94	50.97	244
b00r	41.6	1.37	-45.0	45.03	272
b25r	29.0	25.08	-43.12	49.89	300
b50r	38.04	46.53	-28.38	54.51	329
b75r	49.48	72.88	-3.75	72.98	357



%Umfang  
 $u^{*}_{rel} = 89$   
%Regularität  
 $g^{*}_{H,rel} = 72$   
 $g^{*}_{C,rel} = 57$

ORS19_96a; adaptierte CIELAB-Daten					
	$L^{*}=L^{*}_a$	$a^{*}_a$	$b^{*}_a$	$C^{*}_{ab,a}$	$h^{*}_{ab,a}$
OMa	48.75	65.07	39.43	76.08	31
YMa	90.92	-10.28	87.24	87.85	97
LMa	52.69	-65.43	20.75	68.65	162
CMa	59.61	-28.97	-46.21	54.56	238
VMa	28.39	23.63	-44.12	50.06	298
MMa	49.58	73.93	-9.55	74.55	353
NMa	18.89	0.0	0.0	0.0	0
WMa	96.9	0.0	0.0	0.0	0
RCIE	39.92	58.74	27.99	65.07	25
JCIE	81.26	-2.88	71.56	71.62	92
GCIE	52.23	-42.41	13.6	44.55	162
BCIE	30.57	1.41	-46.46	46.49	272



Ein und Ausgabe: Farbmetrisches Drucker-Reflektiv-System ORS19\_96a für relativen CIELAB-Buntton  $h^* = lab^*h^* = h_{ab}/360 = 25/360 = 0.071$

Daten für jede Farbe:

$lab^*tch^*$  und  $lab^*icu^*$

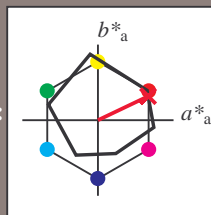
Elementar-Bunttontext:

$u^* = r00j$

Kontrastreduzierungsfaktor:

$c_R = 1.0$

Dreiecks-Helligkeit  $i^*$



ORS19\_96a; adaptierte CIELAB-Daten

	$L^* = L^*_a$	$a^*_a$	$b^*_a$	$C^*_{ab,a}$	$h^*_{ab,a}$
O <sub>Ma</sub>	48.75	65.07	39.43	76.08	31
Y <sub>Ma</sub>	90.92	-10.28	87.24	87.85	97
L <sub>Ma</sub>	52.69	-65.43	20.75	68.65	162
C <sub>Ma</sub>	59.61	-28.97	-46.21	54.56	238
V <sub>Ma</sub>	28.39	23.63	-44.12	50.06	298
M <sub>Ma</sub>	49.58	73.93	-9.55	74.55	353
N <sub>Ma</sub>	18.89	0.0	0.0	0.0	0
W <sub>Ma</sub>	96.9	0.0	0.0	0.0	0
R <sub>CIE</sub>	39.92	58.74	27.99	65.07	25
J <sub>CIE</sub>	81.26	-2.88	71.56	71.62	92
G <sub>CIE</sub>	52.23	-42.41	13.6	44.55	162
B <sub>CIE</sub>	30.57	1.41	-46.46	46.49	272

Daten für Maximalfarbe (Ma):

$LAB^*LAB^*_{Ma}$ : 49 66 32

$LAB^*LCH^*_{Ma}$ : 49 74 25

$lab^*rgb^*_{Ma}$ : 1.0 0.0 0.0

$lab^*olv^*_{Ma}$ : 1.0 0.0 0.16

Dreiecks-Helligkeit  $i^*$

%Umfang

$u^*_{rel} = 89$

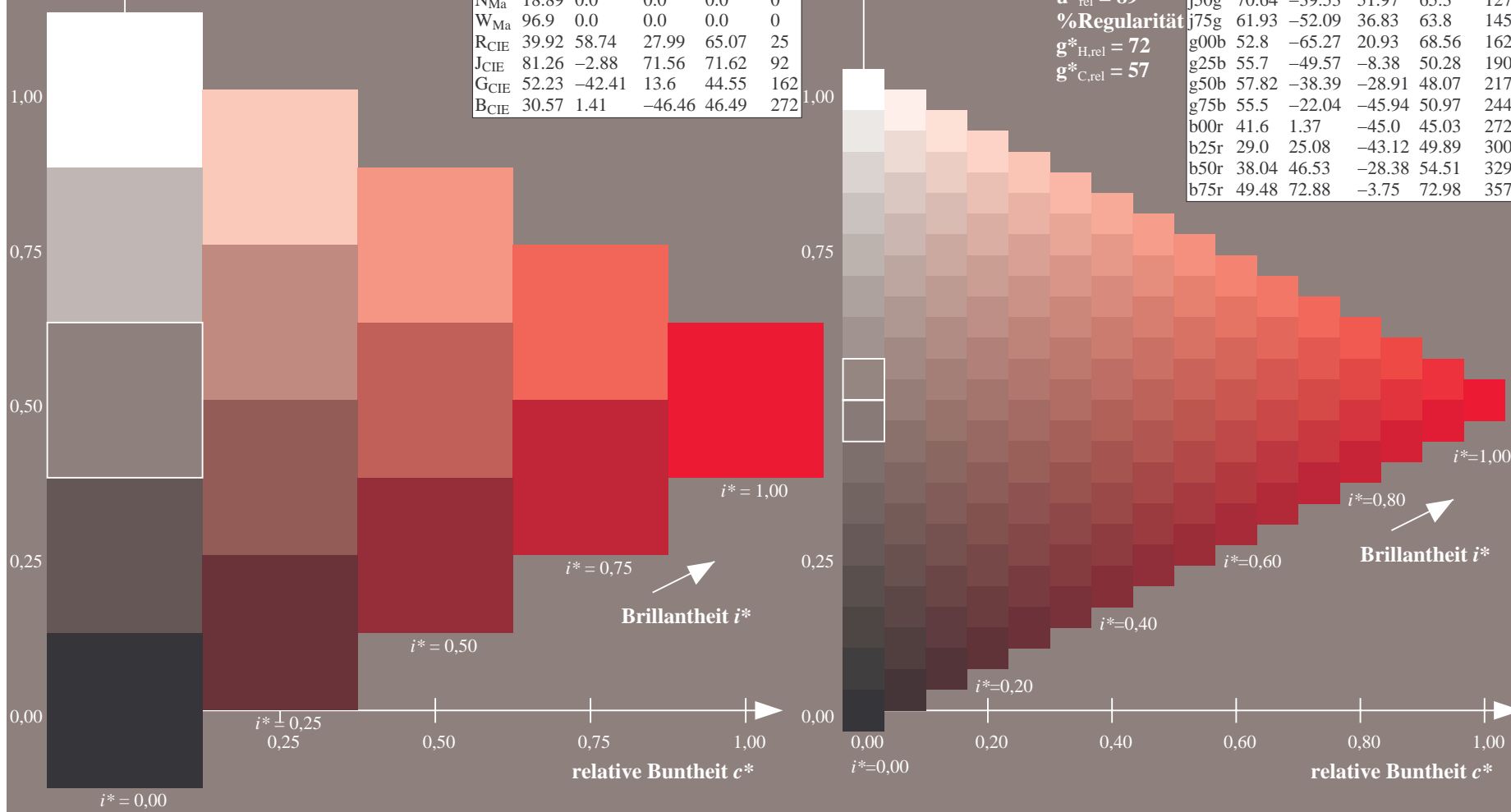
%Regularität

$g^*_{H,rel} = 72$

$g^*_{C,rel} = 57$

ORS19\_96a; adaptierte CIELAB-Daten

	$L^* = L^*_a$	$a^*_a$	$b^*_a$	$C^*_{ab,a}$	$h^*_{ab,a}$
r00j	48.88	66.47	31.67	73.63	25
r25j	55.85	52.39	47.48	70.7	42
r50j	65.45	35.22	58.37	68.17	59
r75j	75.19	17.82	69.41	71.66	76
j00g	87.03	-3.34	82.83	82.9	92
j25g	80.72	-25.0	69.5	73.86	110
j50g	70.64	-39.53	51.97	65.3	127
j75g	61.93	-52.09	36.83	63.8	145
g00b	52.8	-65.27	20.93	68.56	162
g25b	55.7	-49.57	-8.38	50.28	190
g50b	57.82	-38.39	-28.91	48.07	217
g75b	55.5	-22.04	-45.94	50.97	244
b00r	41.6	1.37	-45.0	45.03	272
b25r	29.0	25.08	-43.12	49.89	300
b50r	38.04	46.53	-28.38	54.51	329
b75r	49.48	72.88	-3.75	72.98	357





Ein und Ausgabe: Farbmétrisches Drucker-Reflektiv-System ORS19\_96a für relativen CIELAB-Buntton  $h^* = lab^*h^* = h_{ab}/360 = 42/360 = 0.117$

### Daten für jede Farbe:

*lab\*tch\** und *lab\*icu\**

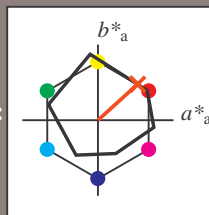
### Elementar-Bunttontext:

$$u^* = r25j$$

### Kontrastreduzierungsfaktor:

$$c_{\mathbf{R}} = 1.0$$

### Dreiecks-Helligkeit $t^*$



ORS19 96a; adaptierte CIELAB-Daten						
	$L^*_a$	$a^*_a$	$b^*_a$	$C^*_{ab,a}$	$h^*_{ab,a}$	
O <sub>Ma</sub>	48.75	65.07	39.43	76.08		31
Y <sub>Ma</sub>	90.92	-10.28	87.24	87.85		97
L <sub>Ma</sub>	52.69	-65.43	20.75	68.65		162
C <sub>Ma</sub>	59.61	-28.97	-46.21	54.56		238
V <sub>Ma</sub>	28.39	23.63	-44.12	50.06		298
M <sub>Ma</sub>	49.58	73.93	-9.55	74.55		353
N <sub>Ma</sub>	18.89	0.0	0.0	0.0		0
W <sub>Ma</sub>	96.9	0.0	0.0	0.0		0
R <sub>CIE</sub>	39.92	58.74	27.99	65.07		25
J <sub>CIE</sub>	81.26	-2.88	71.56	71.62		92
G <sub>CIE</sub>	52.23	-42.41	13.6	44.55		162
B <sub>CIE</sub>	30.57	1.41	-46.46	46.49		272

### Daten für Maximalfarbe (Ma):

*LAB\*LAB\*Me*: 56 52 47

LAD\*LCII\* 56 51 42

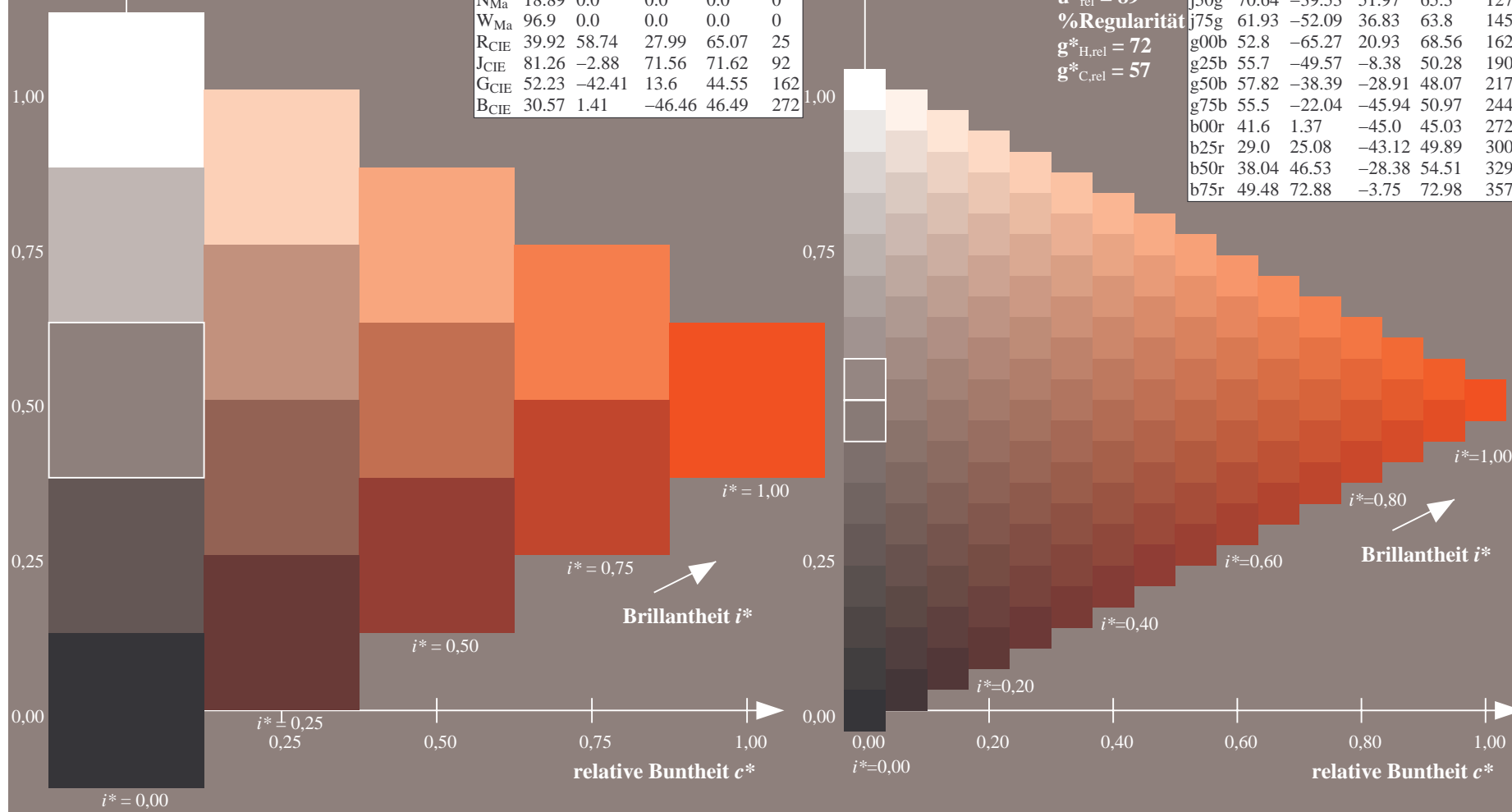
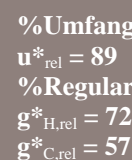
**LAB\**LCH*\*<sub>Ma</sub>: 56 71 42**

*lab\*rgb\*\_Ma: 1.0 0.25 0.0*

***lab\*olv\**Ma: 1.0 0.17 0.0**

### Dreiecks-Helligkeit $t^*$

ORS19_96a; adaptierte CIELAB-Daten					
	$L^*_a$	$a^*_a$	$b^*_a$	$C^*_{ab,a}$	$h^*_{ab,a}$
r00j	48.88	66.47	31.67	73.63	25
r25j	55.85	52.39	47.48	70.7	42
r50j	65.45	35.22	58.37	68.17	59
r75j	75.19	17.82	69.41	71.66	76
j00g	87.03	-3.34	82.83	82.9	92
j25g	80.72	-25.0	69.5	73.86	110
j50g	70.64	-39.53	51.97	65.3	127
j75g	61.93	-52.09	36.83	63.8	145
g00b	52.8	-65.27	20.93	68.56	162
g25b	55.7	-49.57	-8.38	50.28	190
g50b	57.82	-38.39	-28.91	48.07	217
g75b	55.5	-22.04	-45.94	50.97	244
b00r	49.6	1.37	-45.0	45.03	272
b25r	41.0	25.08	-43.12	49.89	300
b50r	38.04	46.53	-28.38	54.51	329
b75r	49.48	72.88	-3.75	72.98	357



Ein und Ausgabe: Farbmétrisches Drucker-Reflektiv-System ORS19\_96a für relativen CIELAB-Buntton  $h^* = lab^*h^* = h_{ab}/360 = 59/360 = 0.164$

### Daten für jede Farbe:

*lab\*tch\** und *lab\*icu\**

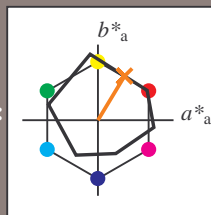
### Elementar-Bunttontext:

$$u^* = r50j$$

### Kontrastreduzierungsfaktor:

 $c_R = 1.0$ 

### K Dreiecks-Helligkeit $t^*$



ORS19 96a; adaptierte CIELAB-Daten					
	$L^*_{a*}$	$a^*_{a*}$	$b^*_{a*}$	$C^*_{ab,a*}$	$h^*_{ab,a*}$
O <sub>Ma</sub>	48.75	65.07	39.43	76.08	31
Y <sub>Ma</sub>	90.92	-10.28	87.24	87.85	97
L <sub>Ma</sub>	52.69	-65.43	20.75	68.65	162
C <sub>Ma</sub>	59.61	-28.97	-46.21	54.56	238
V <sub>Ma</sub>	28.39	23.63	-44.12	50.06	298
M <sub>Ma</sub>	49.58	73.93	-9.55	74.55	353
N <sub>Ma</sub>	18.89	0.0	0.0	0.0	0
W <sub>Ma</sub>	96.9	0.0	0.0	0.0	0
R <sub>CIE</sub>	39.92	58.74	27.99	65.07	25
J <sub>CIE</sub>	81.26	-2.88	71.56	71.62	92
G <sub>CIE</sub>	52.23	-42.41	13.6	44.55	162
B <sub>CIE</sub>	30.57	1.41	-46.46	46.49	272

### Daten für Maximalfarbe (Ma):

LAB\*LAB\*Mo: 65 35 58

LAD\*LCII\* 65 69 59

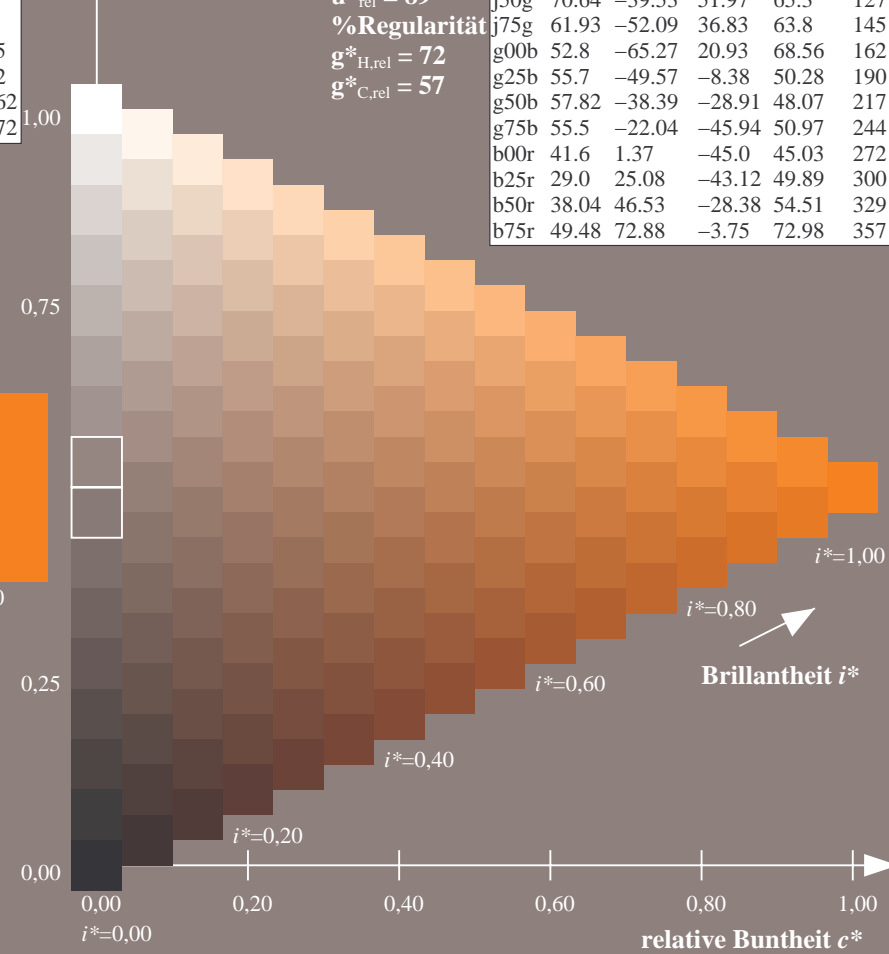
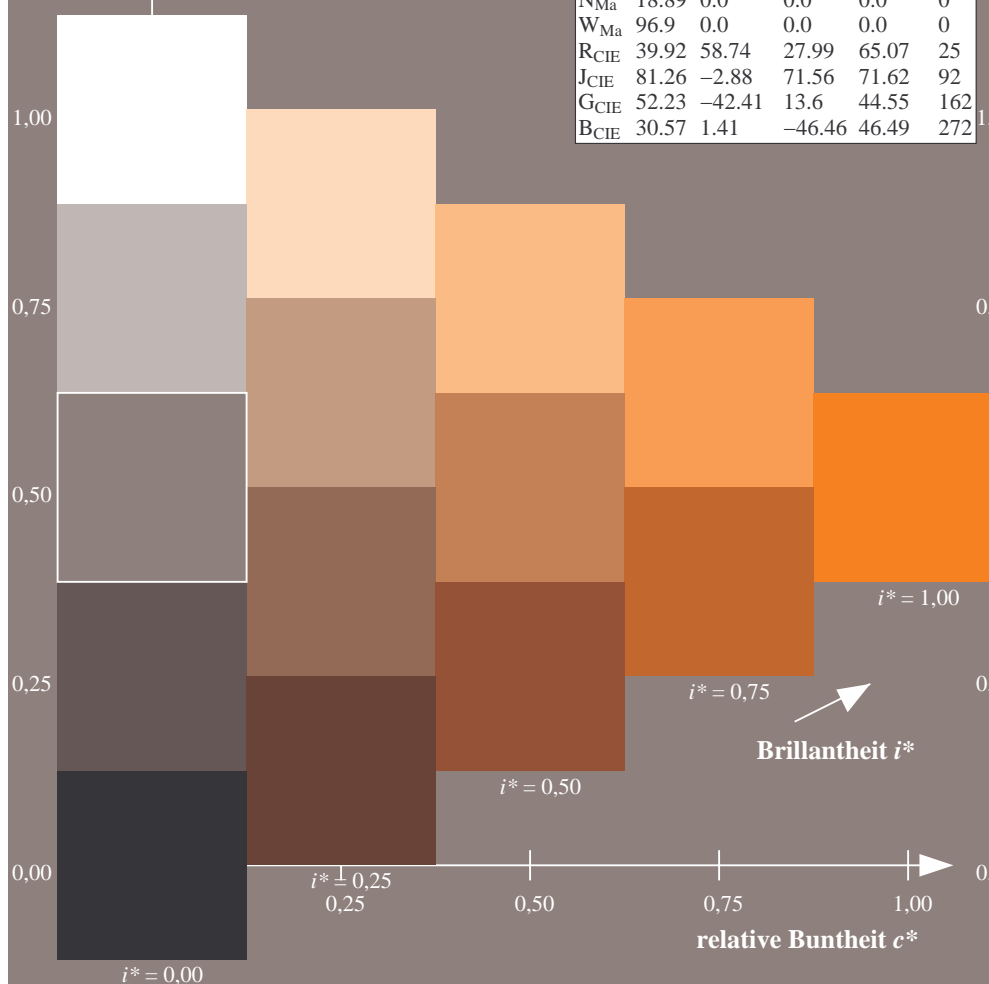
**LAB\*LCH\*Ma: 65 68 5**

*lab\*rgb\*\_Ma: 1.0 0.5 0.0*

*lab\*olv\**Ma: 1.0 0.4 0.0

### Dreiecks-Helligkeit $t^*$

ORS19_96a; adaptierte CIELAB-Daten					
	$L^*_a$	$a^*_a$	$b^*_a$	$C^*_{ab,a}$	$h^*_{ab,a}$
r00j	48.88	66.47	31.67	73.63	25
r25j	55.85	52.39	47.48	70.7	42
r50j	65.45	35.22	58.37	68.17	59
r75j	75.19	17.82	69.41	71.66	76
j00g	87.03	-3.34	82.83	82.9	92
j25g	80.72	-25.0	69.5	73.86	110
j50g	70.64	-39.53	51.97	65.3	127
j75g	61.93	-52.09	36.83	63.8	145
g00b	52.8	-65.27	20.93	68.56	162
g25b	55.7	-49.57	-8.38	50.28	190
g50b	57.82	-38.39	-28.91	48.07	217
g75b	55.5	-22.04	-45.94	50.97	244
b00r	41.6	1.37	-45.0	45.03	272
b25r	29.0	25.08	-43.12	49.89	300
b50r	38.04	46.53	-28.38	54.51	329
b75r	49.48	72.88	-3.75	72.98	357



Ein und Ausgabe: Farbmétrisches Drucker-Reflektiv-System ORS19\_96a für relativen CIELAB-Buntton  $h^* = lab^*h^* = h_{ab}/360 = 76/360 = 0.21$

### Daten für jede Farbe:

*lab\*tch\** und *lab\*icu\**

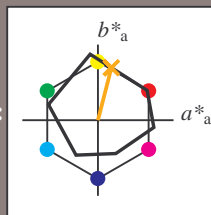
### Elementar-Bunttontext:

$$u^* = r75j$$

### Kontrastreduzierungsfaktor:

 $c_R = 1.0$ 

### Dreiecks-Helligkeit $t^*$



ORS19 96a; adaptierte CIELAB-Daten					
	$L^*_{-a}$	$a^*_{-a}$	$b^*_{-a}$	$C^*_{ab,a}$	$h^*_{ab,a}$
O <sub>Ma</sub>	48.75	65.07	39.43	76.08	31
Y <sub>Ma</sub>	90.92	-10.28	87.24	87.85	97
L <sub>Ma</sub>	52.69	-65.43	20.75	68.65	162
C <sub>Ma</sub>	59.61	-28.97	-46.21	54.56	238
V <sub>Ma</sub>	28.39	23.63	-44.12	50.06	298
M <sub>Ma</sub>	49.58	73.93	-9.55	74.55	353
N <sub>Ma</sub>	18.89	0.0	0.0	0.0	0
W <sub>Ma</sub>	96.9	0.0	0.0	0.0	0
R <sub>CIE</sub>	39.92	58.74	27.99	65.07	25
J <sub>CIE</sub>	81.26	-2.88	71.56	71.62	92
G <sub>CIE</sub>	52.23	-42.41	13.6	44.55	162
B <sub>CIE</sub>	30.57	1.41	-46.46	46.49	272

### Daten für Maximalfarbe (Ma):

*LAB\*LAB\**<sub>Me</sub>: 75 18 69

LAD\*LCII\* 75 72 76

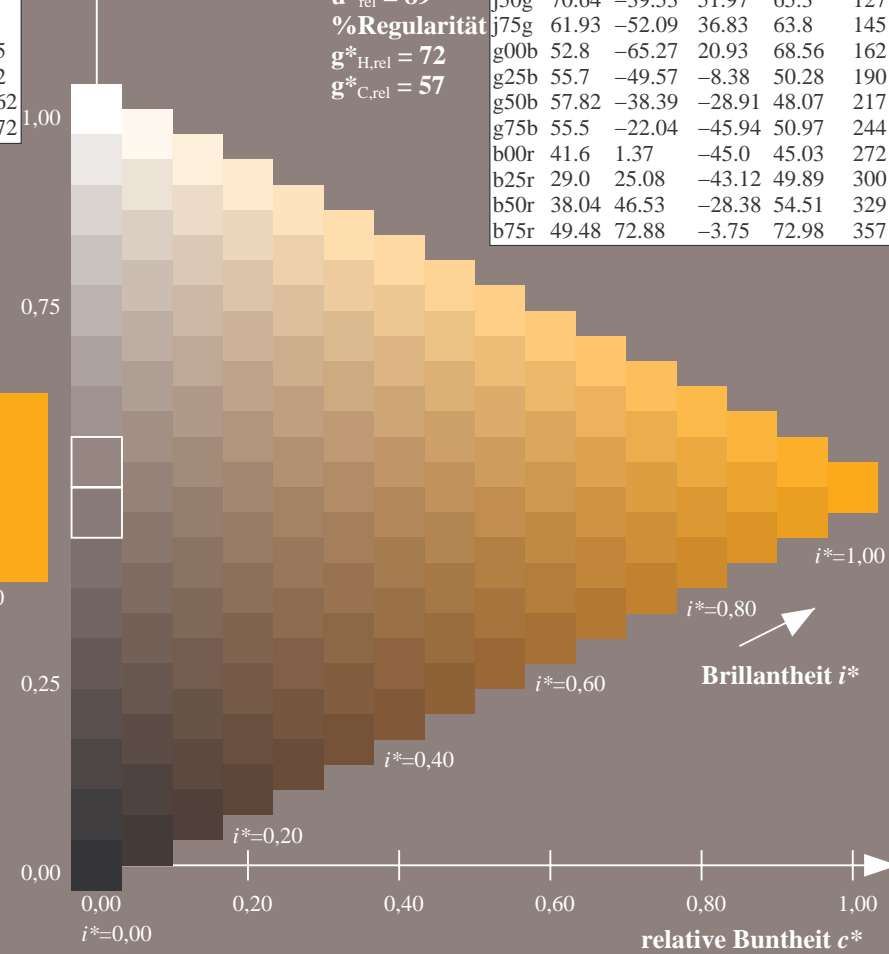
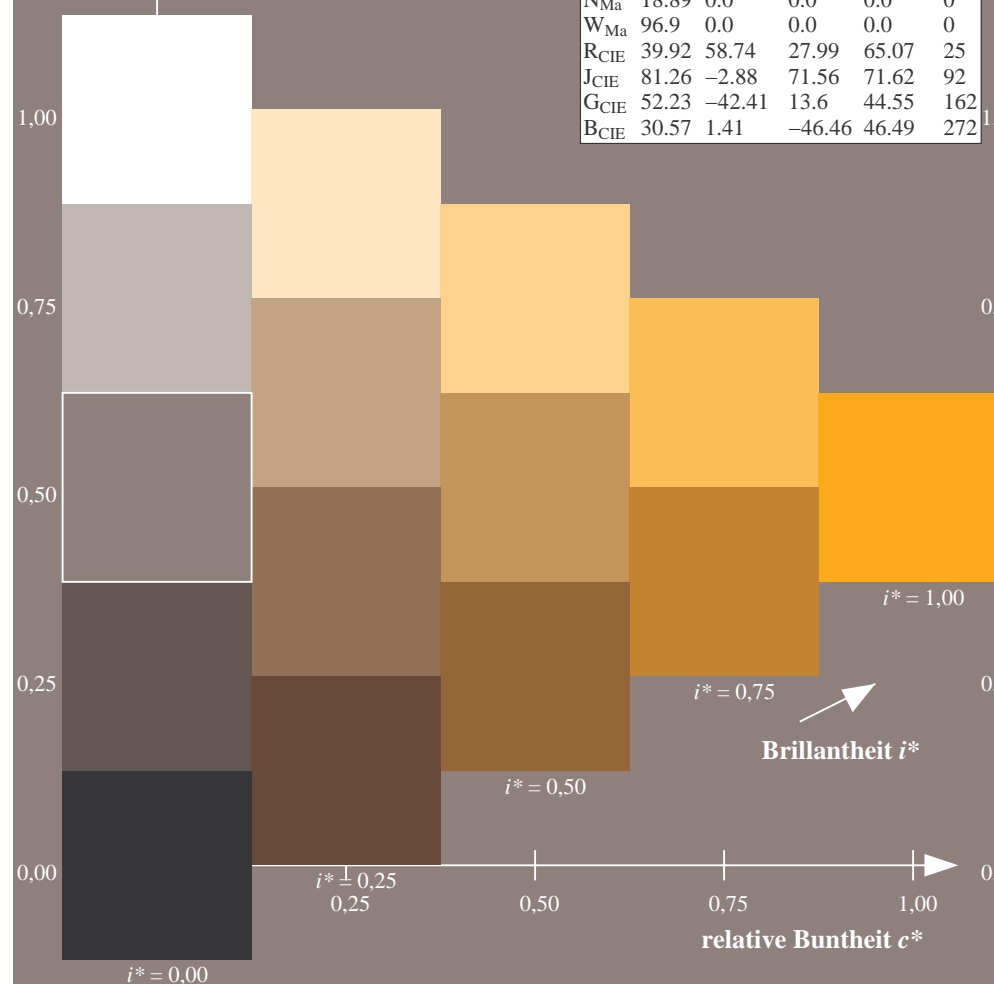
**LAB\**LCH*\*Ma: 75 72 76**

***lab\*rgb*<sub>Ma</sub>: 1.0 0.75 0.0**

*lab\*olv\**Ma: 1.0 0.63 0.0

### Dreiecks-Helligkeit $t^*$

ORS19_96a; adaptierte CIELAB-Daten					
	$L^* = L^*_a$	$a^*_a$	$b^*_a$	$C^*_{ab,a}$	$h^*_{ab,a}$
r00j	48.88	66.47	31.67	73.63	25.0
r25j	55.85	52.39	47.48	70.7	42.0
r50j	65.45	35.22	58.37	68.17	59.0
r75j	75.19	17.82	69.41	71.66	76.0
j00g	87.03	-3.34	82.83	82.9	92.0
j25g	80.72	-25.0	69.5	73.86	110.0
j50g	70.64	-39.53	51.97	65.3	127.0
j75g	61.93	-52.09	36.83	63.8	145.0
g00b	52.8	-65.27	20.93	68.56	162.0
g25b	55.7	-49.57	-8.38	50.28	190.0
g50b	57.82	-38.39	-28.91	48.07	217.0
g75b	55.5	-22.04	-45.94	50.97	244.0
b00r	41.6	1.37	-45.0	45.03	272.0
b25r	29.0	25.08	-43.12	49.89	300.0
b50r	38.04	46.53	-28.38	54.51	329.0
b75r	49.48	72.88	-3.75	72.98	357.0



Ein und Ausgabe: Farbmétrisches Drucker-Reflektiv-System ORS19\_96a für relativen CIELAB-Buntton  $h^* = lab^*h^* = h_{ab}/360 = 92/360 = 0.256$

### Daten für jede Farbe:

*lab\*tch\** und *lab\*icu\**

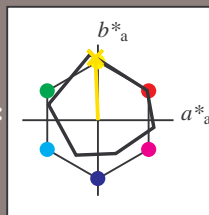
### Elementar-Bunttontext:

$$u^* = j00g$$

**Kontrastreduzierungsfaktor:**

$$c_R = 1.0$$

### Dreiecks-Helligkeit $t^*$



ORS19 96a; adaptierte CIELAB-Daten						
	$L^* - \bar{L}_a$	$a^*_a$	$b^*_a$	$C^*_{ab,a}$	$h^*_{ab,a}$	
O <sub>Ma</sub>	48.75	65.07	39.43	76.08		31
Y <sub>Ma</sub>	90.92	-10.28	87.24	87.85		97
L <sub>Ma</sub>	52.69	-65.43	20.75	68.65		162
C <sub>Ma</sub>	59.61	-28.97	-46.21	54.56		238
V <sub>Ma</sub>	28.39	23.63	-44.12	50.06		298
M <sub>Ma</sub>	49.58	73.93	-9.55	74.55		353
N <sub>Ma</sub>	18.89	0.0	0.0	0.0		0
W <sub>Ma</sub>	96.9	0.0	0.0	0.0		0
R <sub>CIE</sub>	39.92	58.74	27.99	65.07		25
J <sub>CIE</sub>	81.26	-2.88	71.56	71.62		92
G <sub>CIE</sub>	52.23	-42.41	13.6	44.55		162
B <sub>CIE</sub>	30.57	1.41	-46.46	46.49		272

### Daten für Maximalfarbe (Ma):

LAB\*LAB\*Mo: 87 -2 83

LAD\*LCII\* 87 82 82

**LAB\*LCH\*Ma: 8/ 83 92**

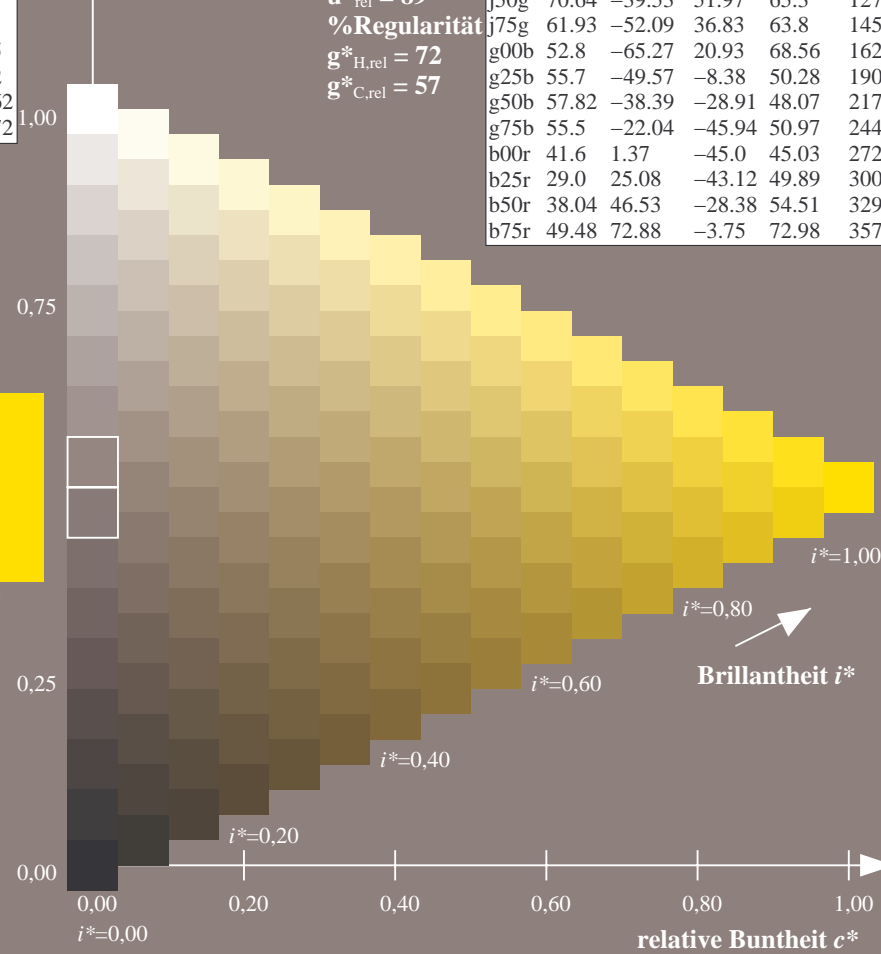
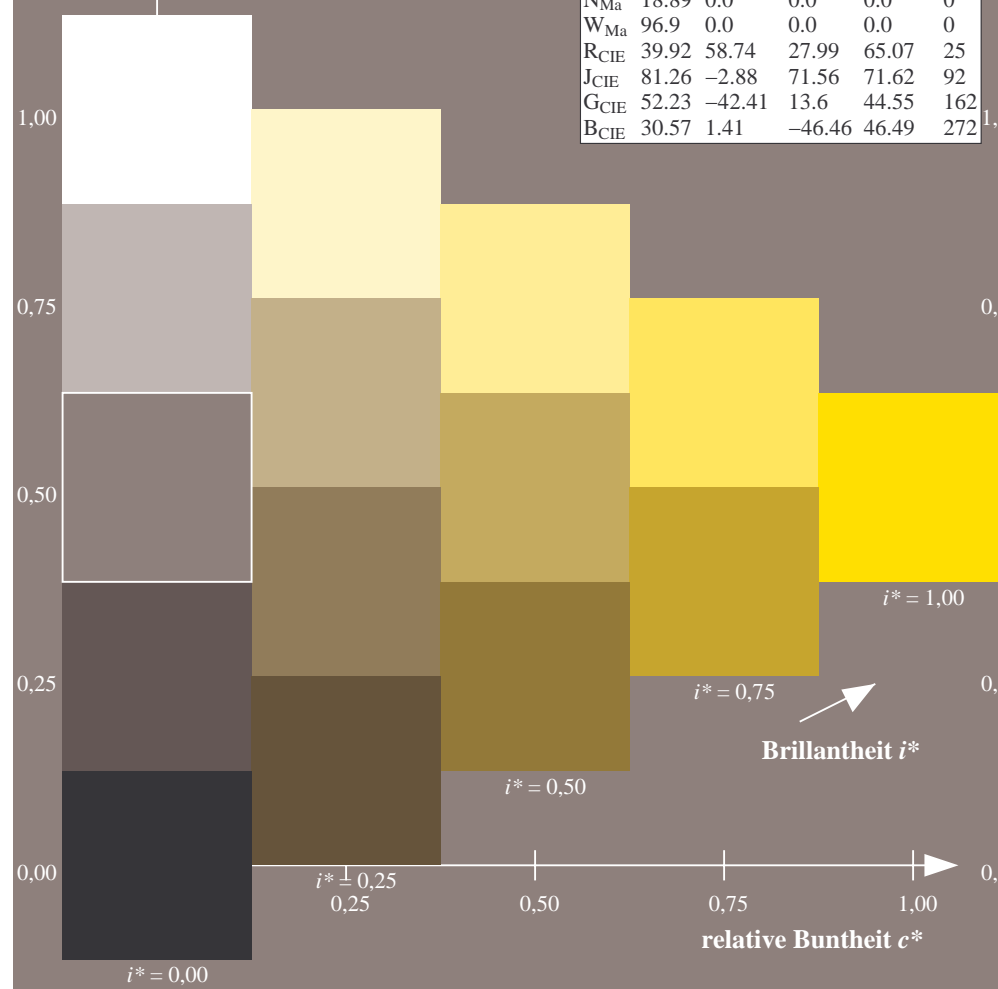
*lab\*rgb*<sub>Ma</sub>: 1.0 1.0 0.0

*lab\*olv\**Ma: 1.0 0.91 0.0

### Dreiecks-Helligkeit $t^*$

**Differences Amongst:**

ORS19_96a; adaptierte CIELAB-Daten					
	$L^*_a$	$a^*_a$	$b^*_a$	$C^*_{ab,a}$	$h^*_{ab,a}$
r00j	48.88	66.47	31.67	73.63	25
r25j	55.85	52.39	47.48	70.7	42
r50j	65.45	35.22	58.37	68.17	59
r75j	75.19	17.82	69.41	71.66	76
j00g	87.03	-3.34	82.83	82.9	92
j25g	80.72	-25.0	69.5	73.86	110
j50g	70.64	-39.53	51.97	65.3	127
j75g	61.93	-52.09	36.83	63.8	145
g00b	52.8	-65.27	20.93	68.56	162
g25b	55.7	-49.57	-8.38	50.28	190
g50b	57.82	-38.39	-28.91	48.07	217
g75b	55.5	-22.04	-45.94	50.97	244
b00r	41.6	1.37	-45.0	45.03	272
b25r	29.0	25.08	-43.12	49.89	300
b50r	38.04	46.53	-28.38	54.51	329
b75r	49.48	72.88	-3.75	72.98	357



Ein und Ausgabe: Farbmetrisches Drucker-Reflektiv-System ORS19\_96a für relativen CIELAB-Buntton  $h^* = lab^*h^* = h_{ab}/360 = 110/360 = 0.305$

Daten für jede Farbe:

$lab^*ch^*$  und  $lab^*icu^*$

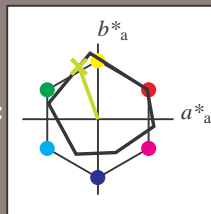
Elementar-Bunttonext:

$u^* = j25g$

Kontrastreduzierungsfaktor:

$c_R = 1.0$

Dreiecks-Helligkeit  $i^*$



ORS19\_96a; adaptierte CIELAB-Daten

	$L^* = L^*_a$	$a^*_a$	$b^*_a$	$C^*_{ab,a}$	$h^*_{ab,a}$
O <sub>Ma</sub>	48.75	65.07	39.43	76.08	31
Y <sub>Ma</sub>	90.92	-10.28	87.24	87.85	97
L <sub>Ma</sub>	52.69	-65.43	20.75	68.65	162
C <sub>Ma</sub>	59.61	-28.97	-46.21	54.56	238
V <sub>Ma</sub>	28.39	23.63	-44.12	50.06	298
M <sub>Ma</sub>	49.58	73.93	-9.55	74.55	353
N <sub>Ma</sub>	18.89	0.0	0.0	0.0	0
W <sub>Ma</sub>	96.9	0.0	0.0	0.0	0
R <sub>CIE</sub>	39.92	58.74	27.99	65.07	25
J <sub>CIE</sub>	81.26	-2.88	71.56	71.62	92
G <sub>CIE</sub>	52.23	-42.41	13.6	44.55	162
B <sub>CIE</sub>	30.57	1.41	-46.46	46.49	272

Daten für Maximalfarbe (Ma):

$LAB^*LAB^*_{Ma}$ : 81 -24 69

$LAB^*LCH^*_{Ma}$ : 81 74 110

$lab^*rgb^*_{Ma}$ : 0.75 1.0 0.0

$lab^*olv^*_{Ma}$ : 0.73 1.0 0.0

Dreiecks-Helligkeit  $i^*$

%Umfang

$u^*_{rel} = 89$

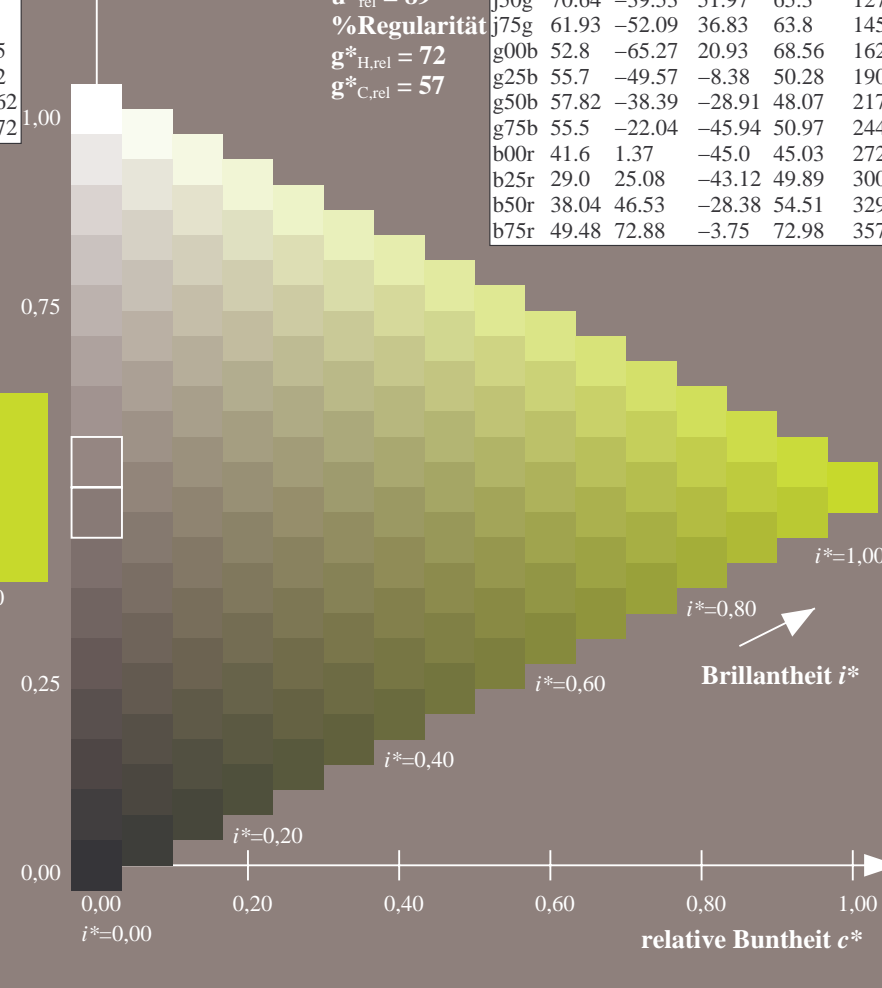
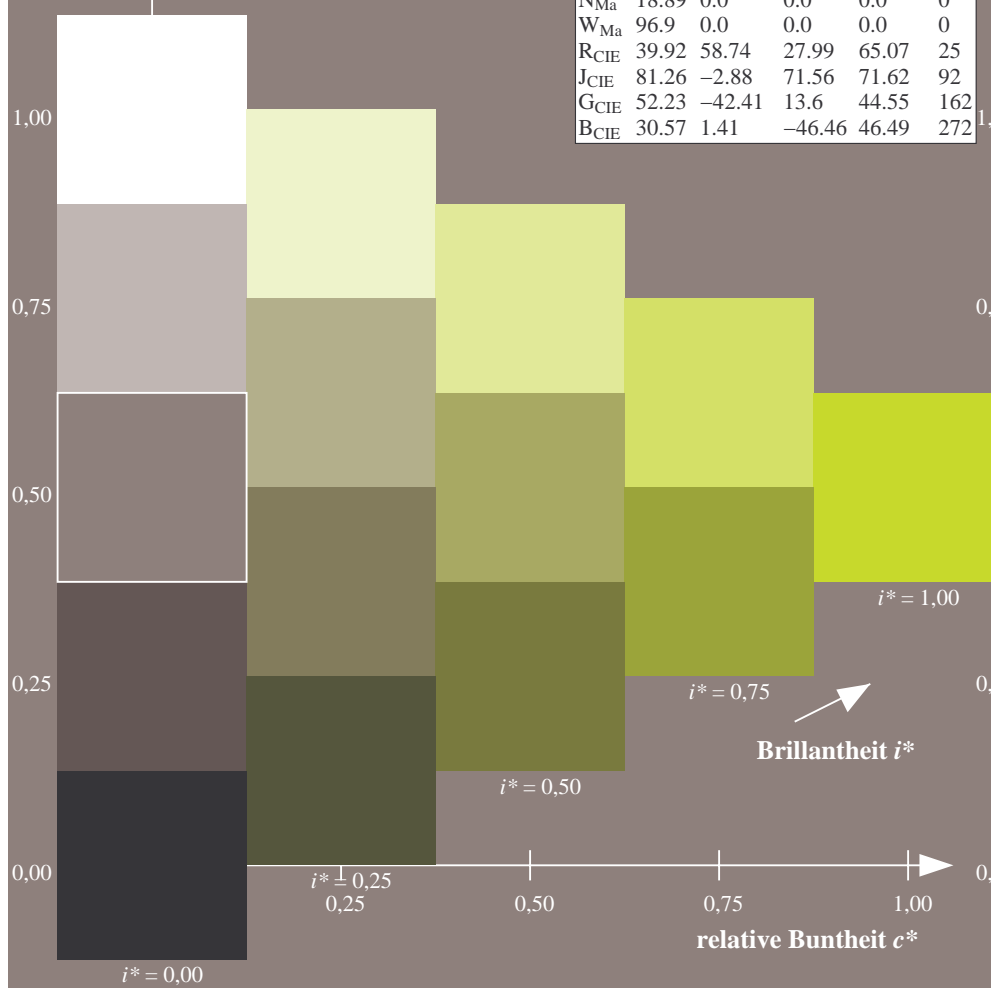
%Regularität

$g^*_{H,rel} = 72$

$g^*_{C,rel} = 57$

ORS19\_96a; adaptierte CIELAB-Daten

	$L^* = L^*_a$	$a^*_a$	$b^*_a$	$C^*_{ab,a}$	$h^*_{ab,a}$
r00j	48.88	66.47	31.67	73.63	25
r25j	55.85	52.39	47.48	70.7	42
r50j	65.45	35.22	58.37	68.17	59
r75j	75.19	17.82	69.41	71.66	76
j00g	87.03	-3.34	82.83	82.9	92
j25g	80.72	-25.0	69.5	73.86	110
j50g	70.64	-39.53	51.97	65.3	127
j75g	61.93	-52.09	36.83	63.8	145
g00b	52.8	-65.27	20.93	68.56	162
g25b	55.7	-49.57	-8.38	50.28	190
g50b	57.82	-38.39	-28.91	48.07	217
g75b	55.5	-22.04	-45.94	50.97	244
b00r	41.6	1.37	-45.0	45.03	272
b25r	29.0	25.08	-43.12	49.89	300
b50r	38.04	46.53	-28.38	54.51	329
b75r	49.48	72.88	-3.75	72.98	357



Ein und Ausgabe: Farbmetrisches Drucker-Reflektiv-System ORS19\_96a für relativen CIELAB-Buntton  $h^* = lab^*h^* = h_{ab}/360 = 127/360 = 0.354$

Daten für jede Farbe:

$lab^*ch^*$  und  $lab^*icu^*$

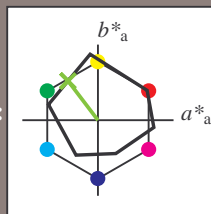
Elementar-Bunttontext:

$u^* = j50g$

Kontrastreduzierungsfaktor:

$c_R = 1.0$

Dreiecks-Helligkeit  $i^*$



ORS19_96a; adaptierte CIELAB-Daten					
	$L^*=L^*_a$	$a^*_a$	$b^*_a$	$C^*_{ab,a}$	$h^*_{ab,a}$
O <sub>Ma</sub>	48.75	65.07	39.43	76.08	31
Y <sub>Ma</sub>	90.92	-10.28	87.24	87.85	97
L <sub>Ma</sub>	52.69	-65.43	20.75	68.65	162
C <sub>Ma</sub>	59.61	-28.97	-46.21	54.56	238
V <sub>Ma</sub>	28.39	23.63	-44.12	50.06	298
M <sub>Ma</sub>	49.58	73.93	-9.55	74.55	353
N <sub>Ma</sub>	18.89	0.0	0.0	0.0	0
W <sub>Ma</sub>	96.9	0.0	0.0	0.0	0
R <sub>CIE</sub>	39.92	58.74	27.99	65.07	25
J <sub>CIE</sub>	81.26	-2.88	71.56	71.62	92
G <sub>CIE</sub>	52.23	-42.41	13.6	44.55	162
B <sub>CIE</sub>	30.57	1.41	-46.46	46.49	272

Daten für Maximalfarbe (Ma):

$LAB^*LAB^*_{Ma}$ : 71 -39 52

$LAB^*LCH^*_{Ma}$ : 71 65 127

$lab^*rgb^*_{Ma}$ : 0.5 1.0 0.0

$lab^*olv^*_{Ma}$ : 0.47 1.0 0.0

Dreiecks-Helligkeit  $i^*$

%Umfang

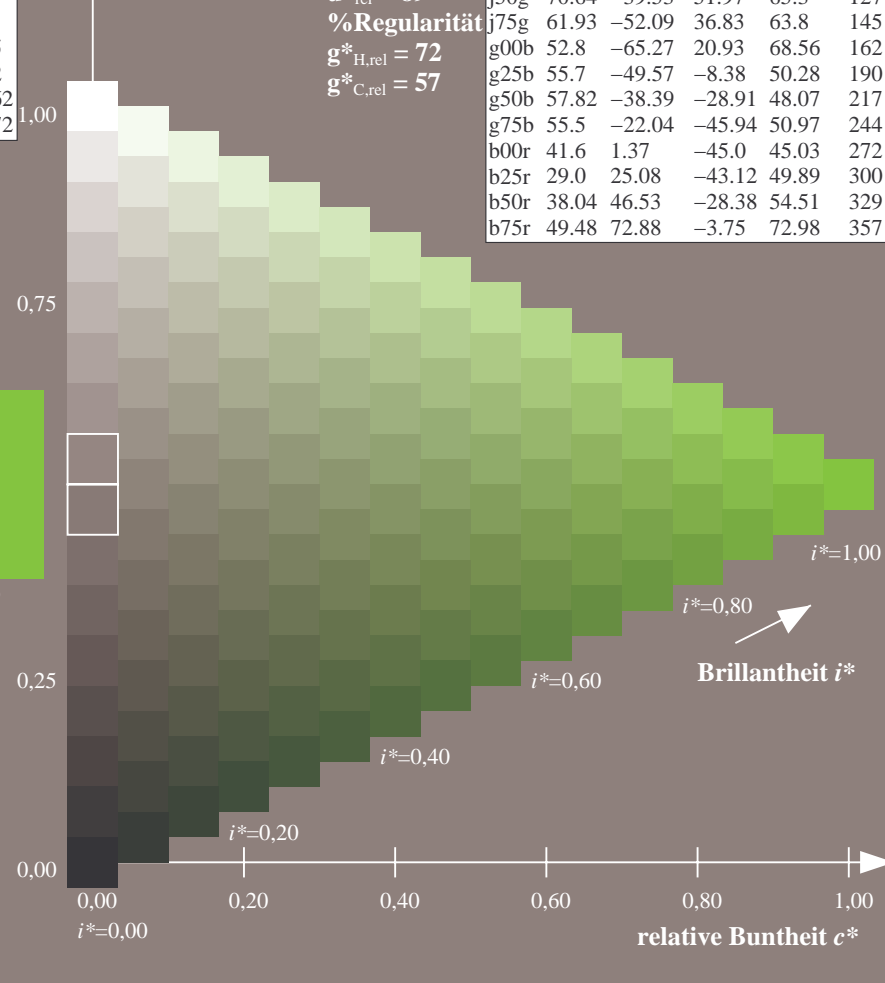
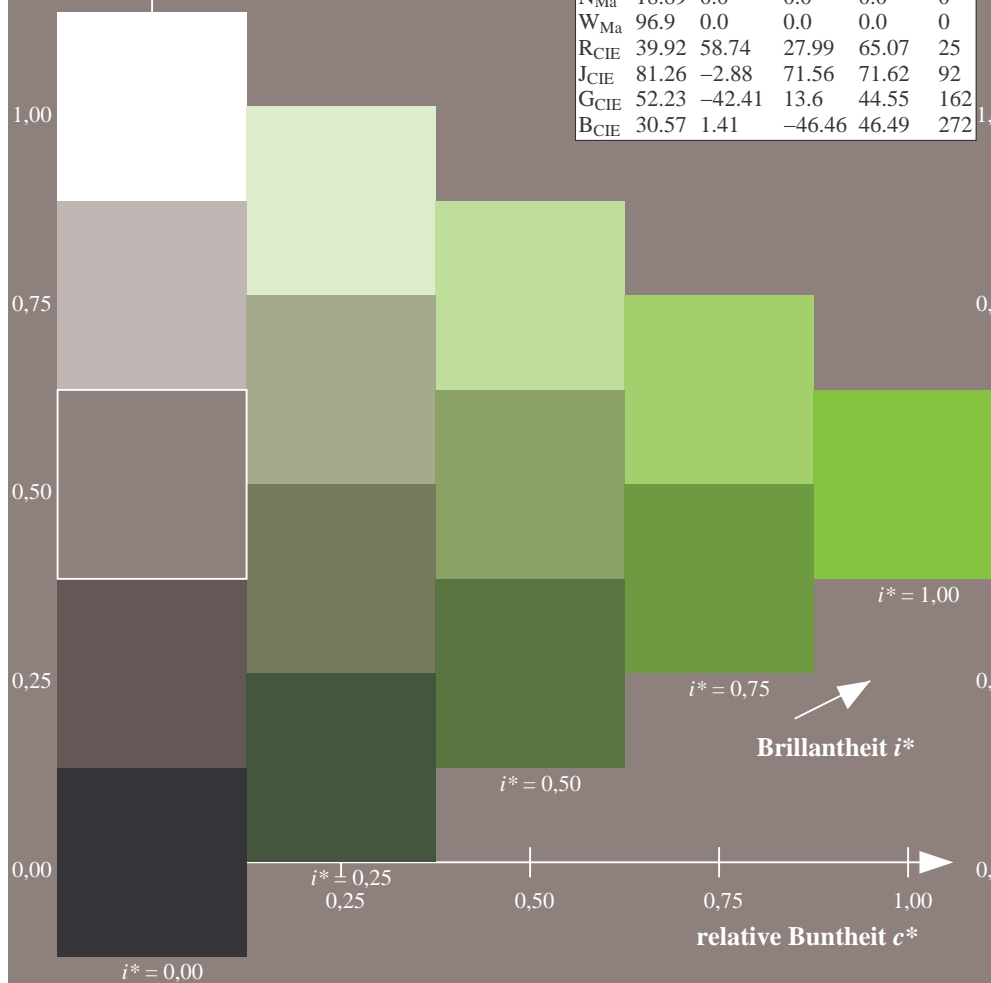
$u^*_{rel} = 89$

%Regularität

$g^*_{H,rel} = 72$

$g^*_{C,rel} = 57$

ORS19_96a; adaptierte CIELAB-Daten					
	$L^*=L^*_a$	$a^*_a$	$b^*_a$	$C^*_{ab,a}$	$h^*_{ab,a}$
r00j	48.88	66.47	31.67	73.63	25
r25j	55.85	52.39	47.48	70.7	42
r50j	65.45	35.22	58.37	68.17	59
r75j	75.19	17.82	69.41	71.66	76
j00g	87.03	-3.34	82.83	82.9	92
j25g	80.72	-25.0	69.5	73.86	110
j50g	70.64	-39.53	51.97	65.3	127
j75g	61.93	-52.09	36.83	63.8	145
g00b	52.8	-65.27	20.93	68.56	162
g25b	55.7	-49.57	-8.38	50.28	190
g50b	57.82	-38.39	-28.91	48.07	217
g75b	55.5	-22.04	-45.94	50.97	244
b00r	41.6	1.37	-45.0	45.03	272
b25r	29.0	25.08	-43.12	49.89	300
b50r	38.04	46.53	-28.38	54.51	329
b75r	49.48	72.88	-3.75	72.98	357





Ein und Ausgabe: Farbmetrisches Drucker-Reflektiv-System ORS19\_96a für relativen CIELAB-Buntton  $h^* = lab^*h^* = h_{ab}/360 = 145/360 = 0.402$

Daten für jede Farbe:

$lab^*ch^*$  und  $lab^*icu^*$

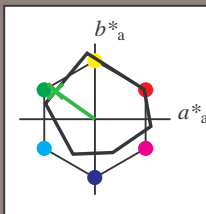
Elementar-Bunttontext:

$u^* = j75g$

Kontrastreduzierungsfaktor:

$c_R = 1.0$

Dreiecks-Helligkeit  $i^*$



ORS19\_96a; adaptierte CIELAB-Daten

	$L^* = \bar{L}^*_a$	$a^*_a$	$b^*_a$	$C^*_{ab,a}$	$h^*_{ab,a}$
O <sub>Ma</sub>	48.75	65.07	39.43	76.08	31
Y <sub>Ma</sub>	90.92	-10.28	87.24	87.85	97
L <sub>Ma</sub>	52.69	-65.43	20.75	68.65	162
C <sub>Ma</sub>	59.61	-28.97	-46.21	54.56	238
V <sub>Ma</sub>	28.39	23.63	-44.12	50.06	298
M <sub>Ma</sub>	49.58	73.93	-9.55	74.55	353
N <sub>Ma</sub>	18.89	0.0	0.0	0.0	0
W <sub>Ma</sub>	96.9	0.0	0.0	0.0	0
R <sub>CIE</sub>	39.92	58.74	27.99	65.07	25
J <sub>CIE</sub>	81.26	-2.88	71.56	71.62	92
G <sub>CIE</sub>	52.23	-42.41	13.6	44.55	162
B <sub>CIE</sub>	30.57	1.41	-46.46	46.49	272

Daten für Maximalfarbe (Ma):

$LAB^*LAB^*_{Ma}$ : 62 -51 37

$LAB^*LCH^*_{Ma}$ : 62 64 145

$lab^*rgb^*_{Ma}$ : 0.25 1.0 0.0

$lab^*olv^*_{Ma}$ : 0.24 1.0 0.0

Dreiecks-Helligkeit  $i^*$

%Umfang

$u^*_{rel} = 89$

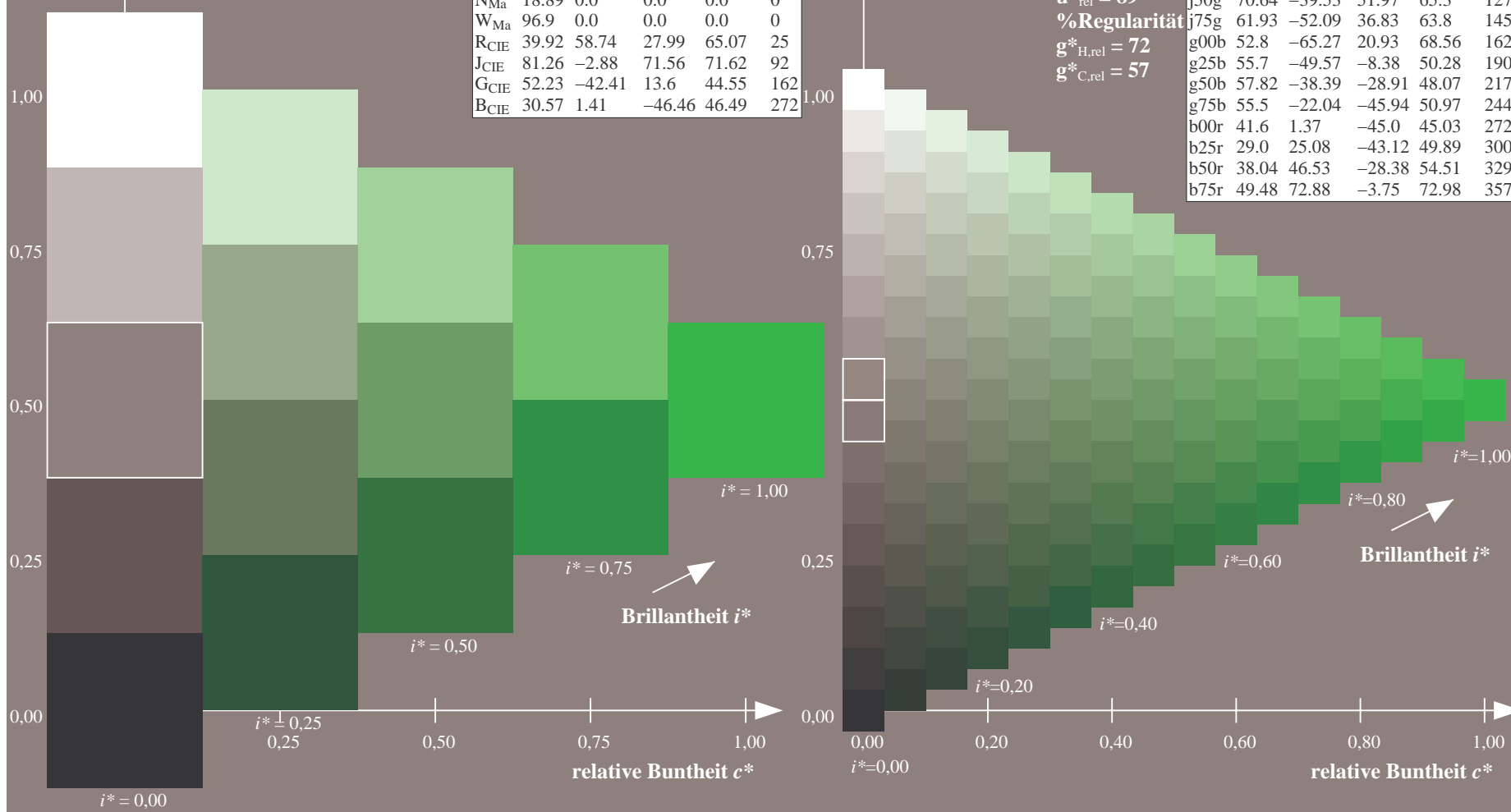
%Regularität

$g^*_{H,rel} = 72$

$g^*_{C,rel} = 57$

ORS19\_96a; adaptierte CIELAB-Daten

	$L^* = \bar{L}^*_a$	$a^*_a$	$b^*_a$	$C^*_{ab,a}$	$h^*_{ab,a}$
r00j	48.88	66.47	31.67	73.63	25
r25j	55.85	52.39	47.48	70.7	42
r50j	65.45	35.22	58.37	68.17	59
r75j	75.19	17.82	69.41	71.66	76
j00g	87.03	-3.34	82.83	82.9	92
j25g	80.72	-25.0	69.5	73.86	110
j50g	70.64	-39.53	51.97	65.3	127
j75g	61.93	-52.09	36.83	63.8	145
g00b	52.8	-65.27	20.93	68.56	162
g25b	55.7	-49.57	-8.38	50.28	190
g50b	57.82	-38.39	-28.91	48.07	217
g75b	55.5	-22.04	-45.94	50.97	244
b00r	41.6	1.37	-45.0	45.03	272
b25r	29.0	25.08	-43.12	49.89	300
b50r	38.04	46.53	-28.38	54.51	329
b75r	49.48	72.88	-3.75	72.98	357



Ein und Ausgabe: Farbmetrisches Drucker-Reflektiv-System ORS19\_96a für relativen CIELAB-Buntton  $h^* = lab^*h^* = h_{ab}/360 = 162/360 = 0.451$

Daten für jede Farbe:

$lab^*ch^*$  und  $lab^*icu^*$

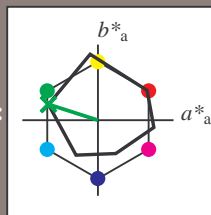
Elementar-Bunttontext:

$u^* = g00b$

Kontrastreduzierungsfaktor:

$c_R = 1.0$

Dreiecks-Helligkeit  $i^*$



ORS19\_96a; adaptierte CIELAB-Daten

	$L^* = \bar{L}^*_a$	$a^*_a$	$b^*_a$	$C^*_{ab,a}$	$h^*_{ab,a}$
O <sub>Ma</sub>	48.75	65.07	39.43	76.08	31
Y <sub>Ma</sub>	90.92	-10.28	87.24	87.85	97
L <sub>Ma</sub>	52.69	-65.43	20.75	68.65	162
C <sub>Ma</sub>	59.61	-28.97	-46.21	54.56	238
V <sub>Ma</sub>	28.39	23.63	-44.12	50.06	298
M <sub>Ma</sub>	49.58	73.93	-9.55	74.55	353
N <sub>Ma</sub>	18.89	0.0	0.0	0.0	0
W <sub>Ma</sub>	96.9	0.0	0.0	0.0	0
R <sub>CIE</sub>	39.92	58.74	27.99	65.07	25
J <sub>CIE</sub>	81.26	-2.88	71.56	71.62	92
G <sub>CIE</sub>	52.23	-42.41	13.6	44.55	162
B <sub>CIE</sub>	30.57	1.41	-46.46	46.49	272

Daten für Maximalfarbe (Ma):

$LAB^*LAB^*_{Ma}$ : 53 -64 21

$LAB^*LCH^*_{Ma}$ : 53 69 162

$lab^*rgb^*_{Ma}$ : 0.0 1.0 0.0

$lab^*olv^*_{Ma}$ : 0.0 1.0 0.0

Dreiecks-Helligkeit  $i^*$

%Umfang

$u^*_{rel} = 89$

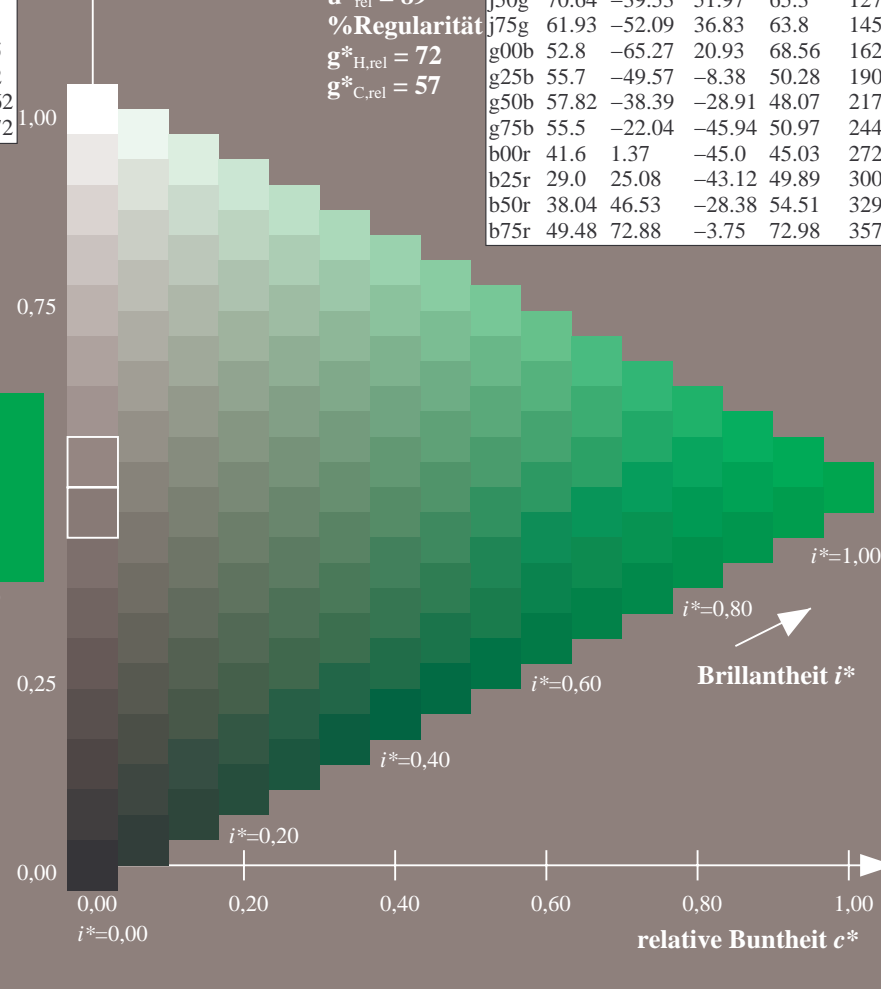
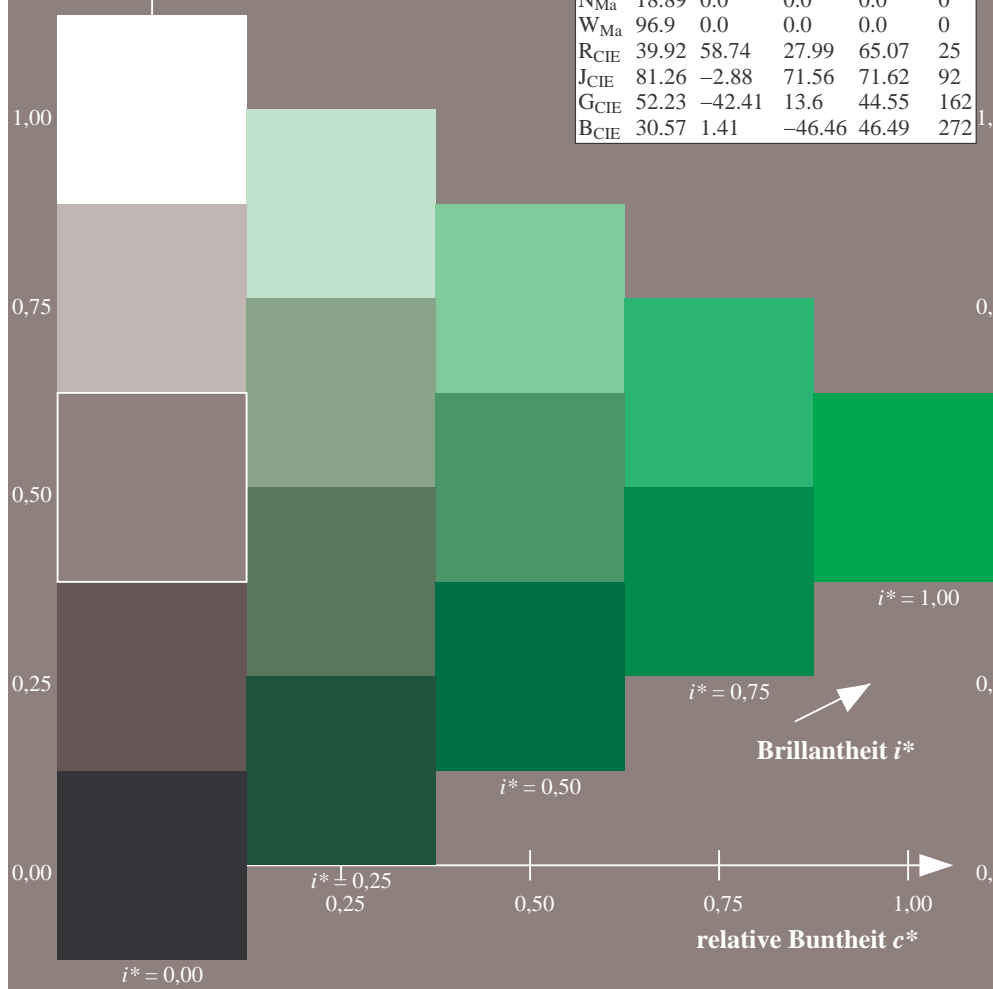
%Regularität

$g^*_{H,rel} = 72$

$g^*_{C,rel} = 57$

ORS19\_96a; adaptierte CIELAB-Daten

	$L^* = \bar{L}^*_a$	$a^*_a$	$b^*_a$	$C^*_{ab,a}$	$h^*_{ab,a}$
r00j	48.88	66.47	31.67	73.63	25
r25j	55.85	52.39	47.48	70.7	42
r50j	65.45	35.22	58.37	68.17	59
r75j	75.19	17.82	69.41	71.66	76
j00g	87.03	-3.34	82.83	82.9	92
j25g	80.72	-25.0	69.5	73.86	110
j50g	70.64	-39.53	51.97	65.3	127
j75g	61.93	-52.09	36.83	63.8	145
g00b	52.8	-65.27	20.93	68.56	162
g25b	55.7	-49.57	-8.38	50.28	190
g50b	57.82	-38.39	-28.91	48.07	217
g75b	55.5	-22.04	-45.94	50.97	244
b00r	41.6	1.37	-45.0	45.03	272
b25r	29.0	25.08	-43.12	49.89	300
b50r	38.04	46.53	-28.38	54.51	329
b75r	49.48	72.88	-3.75	72.98	357



Ein und Ausgabe: Farbmetrisches Drucker-Reflektiv-System ORS19\_96a für relativen CIELAB-Buntton  $h^* = lab^*h^* = h_{ab}/360 = 190/360 = 0.527$

Daten für jede Farbe:

$lab^*ch^*$  und  $lab^*icu^*$

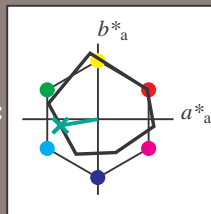
Elementar-Bunttontext:

$u^* = g25b$

Kontrastreduzierungsfaktor:

$c_R = 1.0$

Dreiecks-Helligkeit  $i^*$



ORS19\_96a; adaptierte CIELAB-Daten

	$L^* = \bar{L}^*_a$	$a^*_a$	$b^*_a$	$C^*_{ab,a}$	$h^*_{ab,a}$
O <sub>Ma</sub>	48.75	65.07	39.43	76.08	31
Y <sub>Ma</sub>	90.92	-10.28	87.24	87.85	97
L <sub>Ma</sub>	52.69	-65.43	20.75	68.65	162
C <sub>Ma</sub>	59.61	-28.97	-46.21	54.56	238
V <sub>Ma</sub>	28.39	23.63	-44.12	50.06	298
M <sub>Ma</sub>	49.58	73.93	-9.55	74.55	353
N <sub>Ma</sub>	18.89	0.0	0.0	0.0	0
W <sub>Ma</sub>	96.9	0.0	0.0	0.0	0
R <sub>CIE</sub>	39.92	58.74	27.99	65.07	25
J <sub>CIE</sub>	81.26	-2.88	71.56	71.62	92
G <sub>CIE</sub>	52.23	-42.41	13.6	44.55	162
B <sub>CIE</sub>	30.57	1.41	-46.46	46.49	272

Daten für Maximalfarbe (Ma):

$LAB^*LAB^*_{Ma}$ : 56 -49 -7

$LAB^*LCH^*_{Ma}$ : 56 50 190

$lab^*rgb^*_{Ma}$ : 0.0 1.0 0.5

$lab^*olv^*_{Ma}$ : 0.0 1.0 0.44

Dreiecks-Helligkeit  $i^*$

%Umfang

$u^*_{rel} = 89$

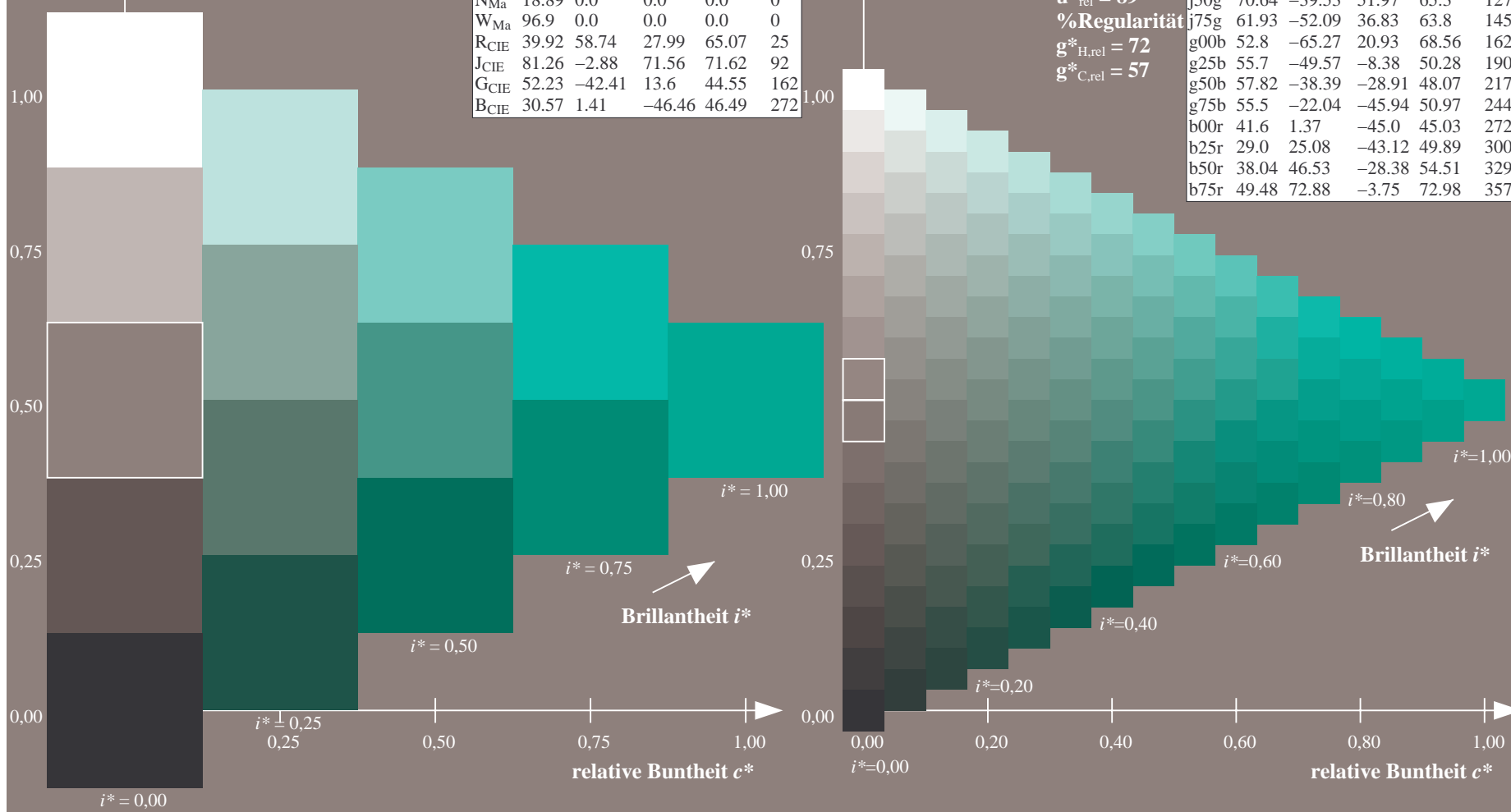
%Regularität

$g^*_{H,rel} = 72$

$g^*_{C,rel} = 57$

ORS19\_96a; adaptierte CIELAB-Daten

	$L^* = \bar{L}^*_a$	$a^*_a$	$b^*_a$	$C^*_{ab,a}$	$h^*_{ab,a}$
r00j	48.88	66.47	31.67	73.63	25
r25j	55.85	52.39	47.48	70.7	42
r50j	65.45	35.22	58.37	68.17	59
r75j	75.19	17.82	69.41	71.66	76
j00g	87.03	-3.34	82.83	82.9	92
j25g	80.72	-25.0	69.5	73.86	110
j50g	70.64	-39.53	51.97	65.3	127
j75g	61.93	-52.09	36.83	63.8	145
g00b	52.8	-65.27	20.93	68.56	162
g25b	55.7	-49.57	-8.38	50.28	190
g50b	57.82	-38.39	-28.91	48.07	217
g75b	55.5	-22.04	-45.94	50.97	244
b00r	41.6	1.37	-45.0	45.03	272
b25r	29.0	25.08	-43.12	49.89	300
b50r	38.04	46.53	-28.38	54.51	329
b75r	49.48	72.88	-3.75	72.98	357



Ein und Ausgabe: Farbmetrisches Drucker-Reflektiv-System ORS19\_96a für relativen CIELAB-Buntton  $h^* = lab^*h^* = h_{ab}/360 = 217/360 = 0.603$

Daten für jede Farbe:

$lab^*ch^*$  und  $lab^*icu^*$

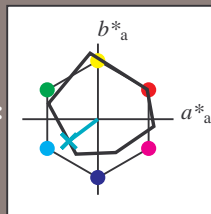
Elementar-Bunttontext:

$u^* = g50b$

Kontrastreduzierungsfaktor:

$c_R = 1.0$

Dreiecks-Helligkeit  $i^*$



ORS19\_96a; adaptierte CIELAB-Daten

	$L^* = \bar{L}^*_a$	$a^*_a$	$b^*_a$	$C^*_{ab,a}$	$h^*_{ab,a}$
O <sub>Ma</sub>	48.75	65.07	39.43	76.08	31
Y <sub>Ma</sub>	90.92	-10.28	87.24	87.85	97
L <sub>Ma</sub>	52.69	-65.43	20.75	68.65	162
C <sub>Ma</sub>	59.61	-28.97	-46.21	54.56	238
V <sub>Ma</sub>	28.39	23.63	-44.12	50.06	298
M <sub>Ma</sub>	49.58	73.93	-9.55	74.55	353
N <sub>Ma</sub>	18.89	0.0	0.0	0.0	0
W <sub>Ma</sub>	96.9	0.0	0.0	0.0	0
R <sub>CIE</sub>	39.92	58.74	27.99	65.07	25
J <sub>CIE</sub>	81.26	-2.88	71.56	71.62	92
G <sub>CIE</sub>	52.23	-42.41	13.6	44.55	162
B <sub>CIE</sub>	30.57	1.41	-46.46	46.49	272

Daten für Maximalfarbe (Ma):

$LAB^*LAB^*_{Ma}$ : 58 -37 -28

$LAB^*LCH^*_{Ma}$ : 58 48 217

$lab^*rgb^*_{Ma}$ : 0.0 1.0 1.0

$lab^*olv^*_{Ma}$ : 0.0 1.0 0.74

Dreiecks-Helligkeit  $i^*$

%Umfang

$u^*_{rel} = 89$

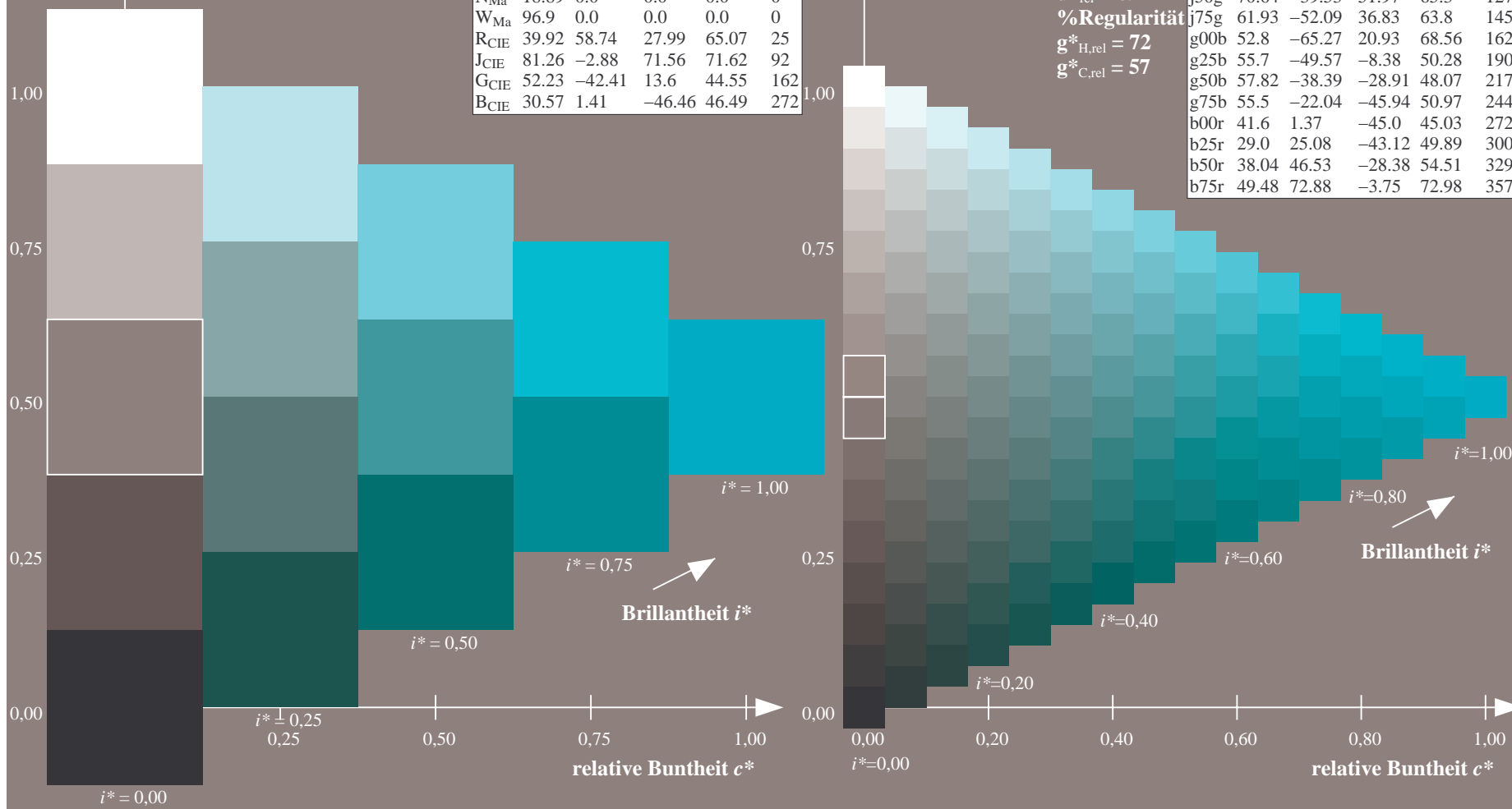
%Regularität

$g^*_{H,rel} = 72$

$g^*_{C,rel} = 57$

ORS19\_96a; adaptierte CIELAB-Daten

	$L^* = \bar{L}^*_a$	$a^*_a$	$b^*_a$	$C^*_{ab,a}$	$h^*_{ab,a}$
r00j	48.88	66.47	31.67	73.63	25
r25j	55.85	52.39	47.48	70.7	42
r50j	65.45	35.22	58.37	68.17	59
r75j	75.19	17.82	69.41	71.66	76
j00g	87.03	-3.34	82.83	82.9	92
j25g	80.72	-25.0	69.5	73.86	110
j50g	70.64	-39.53	51.97	65.3	127
j75g	61.93	-52.09	36.83	63.8	145
g00b	52.8	-65.27	20.93	68.56	162
g25b	55.7	-49.57	-8.38	50.28	190
g50b	57.82	-38.39	-28.91	48.07	217
g75b	55.5	-22.04	-45.94	50.97	244
b00r	41.6	1.37	-45.0	45.03	272
b25r	29.0	25.08	-43.12	49.89	300
b50r	38.04	46.53	-28.38	54.51	329
b75r	49.48	72.88	-3.75	72.98	357



Ein und Ausgabe: Farbmetrisches Drucker-Reflektiv-System ORS19\_96a für relativen CIELAB-Buntton  $h^* = lab^*h^* = h_{ab}/360 = 244/360 = 0.679$

Daten für jede Farbe:

$lab^*ch^*$  und  $lab^*icu^*$

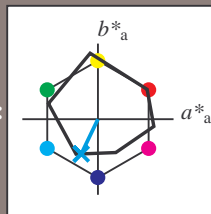
Elementar-Bunttontext:

$u^* = g75b$

Kontrastreduzierungsfaktor:

$c_R = 1.0$

Dreiecks-Helligkeit  $t^*$



ORS19\_96a; adaptierte CIELAB-Daten

	$L^* = \bar{L}^*_a$	$a^*_a$	$b^*_a$	$C^*_{ab,a}$	$h^*_{ab,a}$
O <sub>Ma</sub>	48.75	65.07	39.43	76.08	31
Y <sub>Ma</sub>	90.92	-10.28	87.24	87.85	97
L <sub>Ma</sub>	52.69	-65.43	20.75	68.65	162
C <sub>Ma</sub>	59.61	-28.97	-46.21	54.56	238
V <sub>Ma</sub>	28.39	23.63	-44.12	50.06	298
M <sub>Ma</sub>	49.58	73.93	-9.55	74.55	353
N <sub>Ma</sub>	18.89	0.0	0.0	0.0	0
W <sub>Ma</sub>	96.9	0.0	0.0	0.0	0
R <sub>CIE</sub>	39.92	58.74	27.99	65.07	25
J <sub>CIE</sub>	81.26	-2.88	71.56	71.62	92
G <sub>CIE</sub>	52.23	-42.41	13.6	44.55	162
B <sub>CIE</sub>	30.57	1.41	-46.46	46.49	272

Daten für Maximalfarbe (Ma):

$LAB^*LAB^*_{Ma}$ : 55 -21 -45

$LAB^*LCH^*_{Ma}$ : 55 51 244

$lab^*rgb^*_{Ma}$ : 0.0 0.5 1.0

$lab^*olv^*_{Ma}$ : 0.0 0.87 1.0

Dreiecks-Helligkeit  $t^*$

%Umfang

$u^*_{rel} = 89$

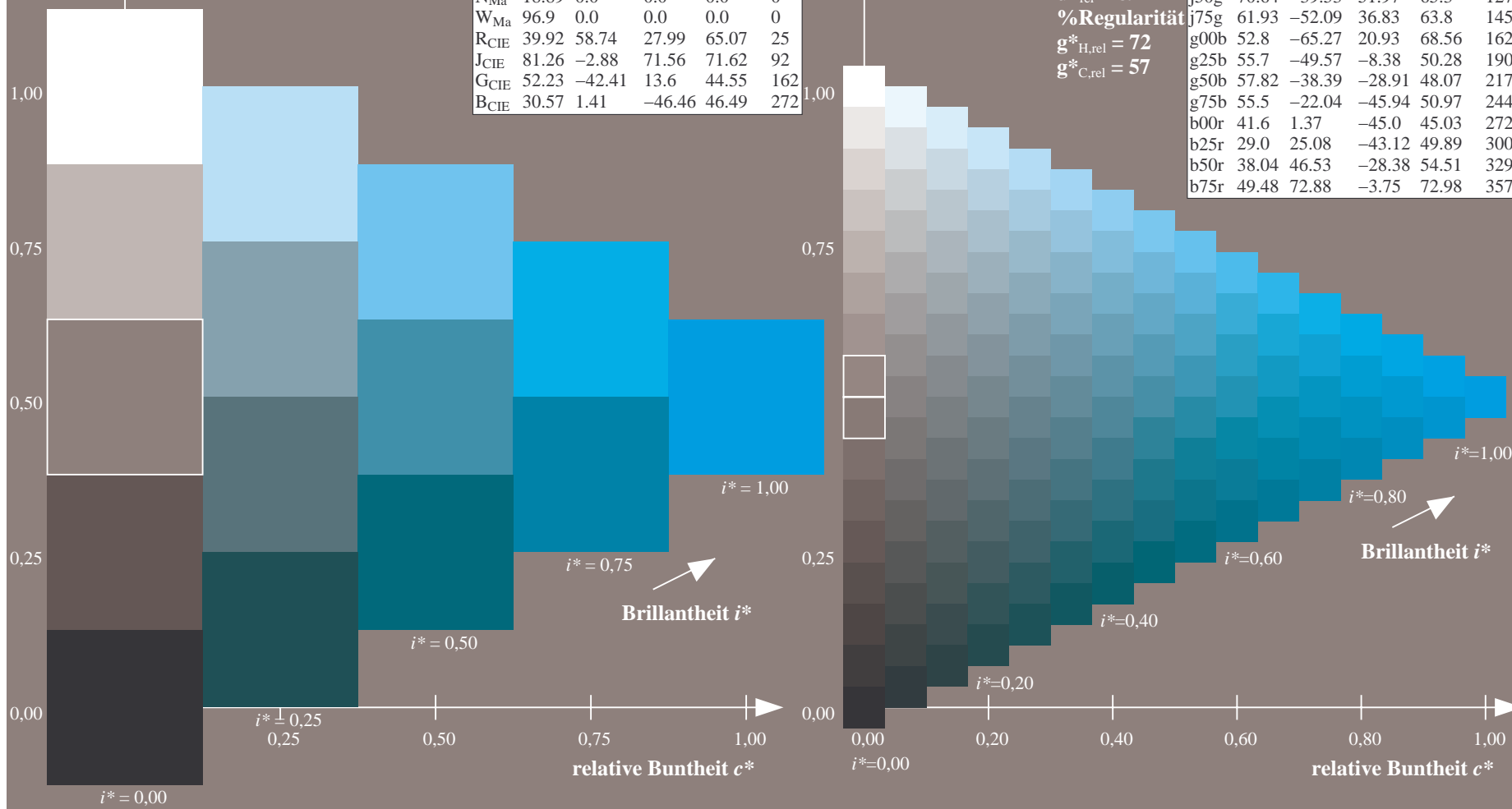
%Regularität

$g^*_{H,rel} = 72$

$g^*_{C,rel} = 57$

ORS19\_96a; adaptierte CIELAB-Daten

	$L^* = \bar{L}^*_a$	$a^*_a$	$b^*_a$	$C^*_{ab,a}$	$h^*_{ab,a}$
r00j	48.88	66.47	31.67	73.63	25
r25j	55.85	52.39	47.48	70.7	42
r50j	65.45	35.22	58.37	68.17	59
r75j	75.19	17.82	69.41	71.66	76
j00g	87.03	-3.34	82.83	82.9	92
j25g	80.72	-25.0	69.5	73.86	110
j50g	70.64	-39.53	51.97	65.3	127
j75g	61.93	-52.09	36.83	63.8	145
g00b	52.8	-65.27	20.93	68.56	162
g25b	55.7	-49.57	-8.38	50.28	190
g50b	57.82	-38.39	-28.91	48.07	217
g75b	55.5	-22.04	-45.94	50.97	244
b00r	41.6	1.37	-45.0	45.03	272
b25r	29.0	25.08	-43.12	49.89	300
b50r	38.04	46.53	-28.38	54.51	329
b75r	49.48	72.88	-3.75	72.98	357



Ein und Ausgabe: Farbmetrisches Drucker-Reflektiv-System ORS19\_96a für relativen CIELAB-Buntton  $h^* = lab^*h^* = h_{ab}/360 = 272/360 = 0.755$

Daten für jede Farbe:

$lab^*ch^*$  und  $lab^*icu^*$

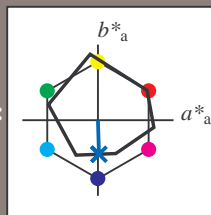
Elementar-Bunttontext:

$u^* = b00r$

Kontrastreduzierungsfaktor:

$c_R = 1.0$

Dreiecks-Helligkeit  $i^*$



ORS19_96a; adaptierte CIELAB-Daten					
	$L^* = \bar{L}^*_a$	$a^*_a$	$b^*_a$	$C^*_{ab,a}$	$h^*_{ab,a}$
O <sub>Ma</sub>	48.75	65.07	39.43	76.08	31
Y <sub>Ma</sub>	90.92	-10.28	87.24	87.85	97
L <sub>Ma</sub>	52.69	-65.43	20.75	68.65	162
C <sub>Ma</sub>	59.61	-28.97	-46.21	54.56	238
V <sub>Ma</sub>	28.39	23.63	-44.12	50.06	298
M <sub>Ma</sub>	49.58	73.93	-9.55	74.55	353
N <sub>Ma</sub>	18.89	0.0	0.0	0.0	0
W <sub>Ma</sub>	96.9	0.0	0.0	0.0	0
R <sub>CIE</sub>	39.92	58.74	27.99	65.07	25
J <sub>CIE</sub>	81.26	-2.88	71.56	71.62	92
G <sub>CIE</sub>	52.23	-42.41	13.6	44.55	162
B <sub>CIE</sub>	30.57	1.41	-46.46	46.49	272

Daten für Maximalfarbe (Ma):

$LAB^*LAB^*Ma$ : 42 1 -44

$LAB^*LCH^*Ma$ : 42 45 272

$lab^*rgb^*Ma$ : 0.0 0.0 1.0

$lab^*olv^*Ma$ : 0.0 0.42 1.0

Dreiecks-Helligkeit  $i^*$

%Umfang

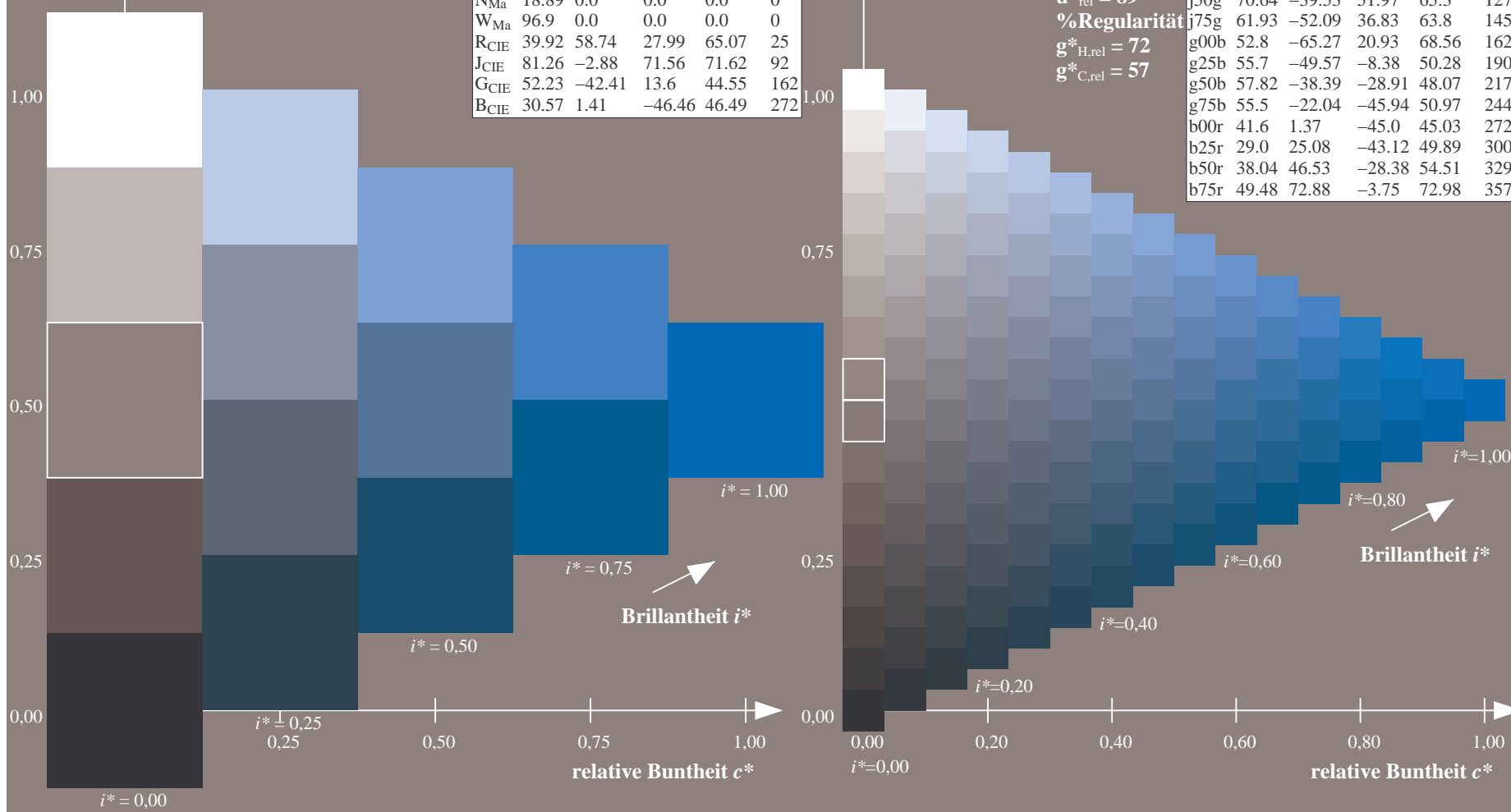
$u^*_{rel} = 89$

%Regelartigkeit

$g^*_{H,rel} = 72$

$g^*_{C,rel} = 57$

ORS19_96a; adaptierte CIELAB-Daten					
	$L^* = \bar{L}^*_a$	$a^*_a$	$b^*_a$	$C^*_{ab,a}$	$h^*_{ab,a}$
r00j	48.88	66.47	31.67	73.63	25
r25j	55.85	52.39	47.48	70.7	42
r50j	65.45	35.22	58.37	68.17	59
r75j	75.19	17.82	69.41	71.66	76
j00g	87.03	-3.34	82.83	82.9	92
j25g	80.72	-25.0	69.5	73.86	110
j50g	70.64	-39.53	51.97	65.3	127
j75g	61.93	-52.09	36.83	63.8	145
g00b	52.8	-65.27	20.93	68.56	162
g25b	55.7	-49.57	-8.38	50.28	190
g50b	57.82	-38.39	-28.91	48.07	217
g75b	55.5	-22.04	-45.94	50.97	244
b00r	41.6	1.37	-45.0	45.03	272
b25r	29.0	25.08	-43.12	49.89	300
b50r	38.04	46.53	-28.38	54.51	329
b75r	49.48	72.88	-3.75	72.98	357





Ein und Ausgabe: Farbmetrisches Drucker-Reflektiv-System ORS19\_96a für relativen CIELAB-Buntton  $h^* = lab^*h^* = h_{ab}/360 = 300/360 = 0.834$

Daten für jede Farbe:

$lab^*ch^*$  und  $lab^*icu^*$

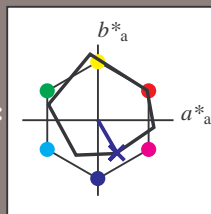
Elementar-Bunttontext:

$u^* = b25r$

Kontrastreduzierungsfaktor:

$c_R = 1.0$

Dreiecks-Helligkeit  $i^*$



ORS19\_96a; adaptierte CIELAB-Daten

	$L^* = \bar{L}^*_a$	$a^*_a$	$b^*_a$	$C^*_{ab,a}$	$h^*_{ab,a}$
O <sub>Ma</sub>	48.75	65.07	39.43	76.08	31
Y <sub>Ma</sub>	90.92	-10.28	87.24	87.85	97
L <sub>Ma</sub>	52.69	-65.43	20.75	68.65	162
C <sub>Ma</sub>	59.61	-28.97	-46.21	54.56	238
V <sub>Ma</sub>	28.39	23.63	-44.12	50.06	298
M <sub>Ma</sub>	49.58	73.93	-9.55	74.55	353
N <sub>Ma</sub>	18.89	0.0	0.0	0.0	0
W <sub>Ma</sub>	96.9	0.0	0.0	0.0	0
R <sub>CIE</sub>	39.92	58.74	27.99	65.07	25
J <sub>CIE</sub>	81.26	-2.88	71.56	71.62	92
G <sub>CIE</sub>	52.23	-42.41	13.6	44.55	162
B <sub>CIE</sub>	30.57	1.41	-46.46	46.49	272

Daten für Maximalfarbe (Ma):

$LAB^*LAB^*_{Ma}$ : 29 25 -42

$LAB^*LCH^*_{Ma}$ : 29 50 300

$lab^*rgb^*_{Ma}$ : 0.5 0.0 1.0

$lab^*olv^*_{Ma}$ : 0.03 0.0 1.0

Dreiecks-Helligkeit  $i^*$

%Umfang

$u^*_{rel} = 89$

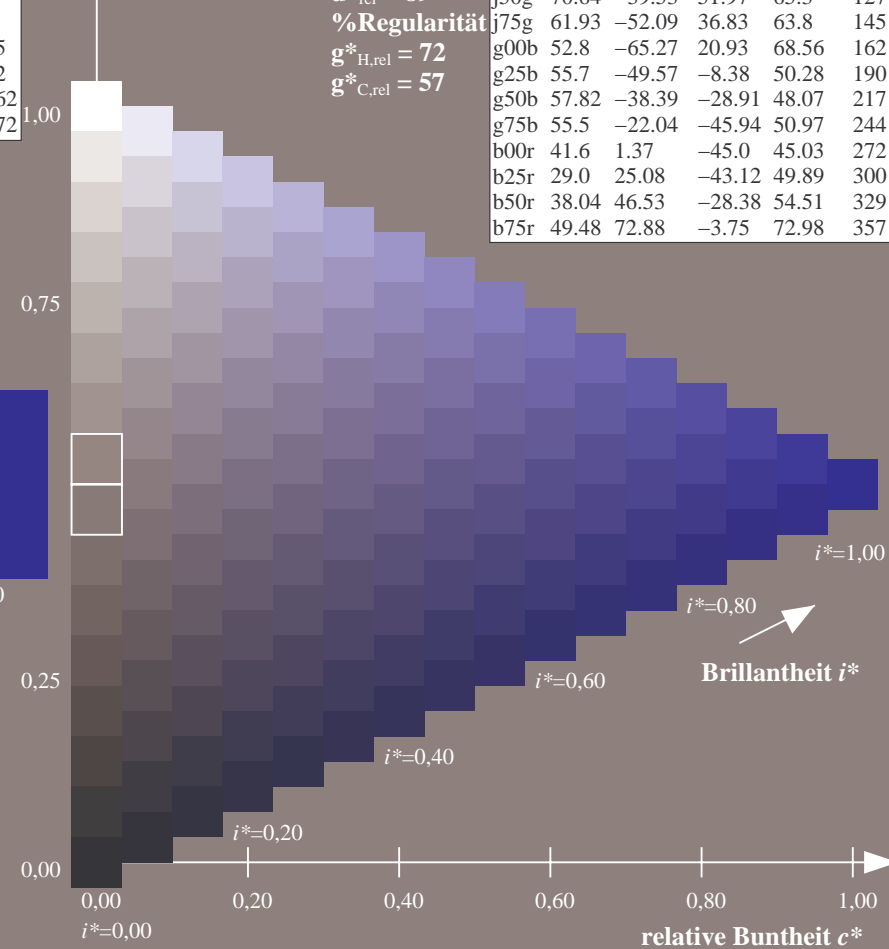
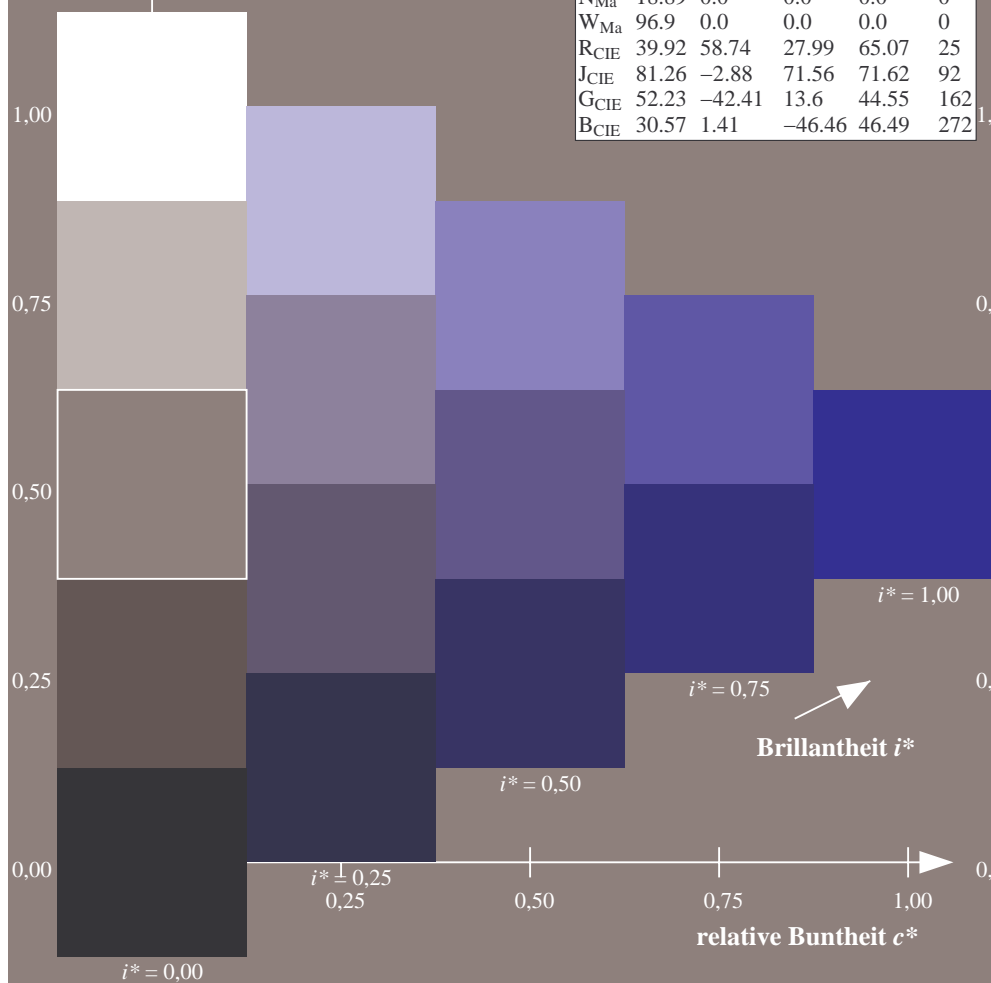
%Regularität

$g^*_{H,rel} = 72$

$g^*_{C,rel} = 57$

ORS19\_96a; adaptierte CIELAB-Daten

	$L^* = \bar{L}^*_a$	$a^*_a$	$b^*_a$	$C^*_{ab,a}$	$h^*_{ab,a}$
r00j	48.88	66.47	31.67	73.63	25
r25j	55.85	52.39	47.48	70.7	42
r50j	65.45	35.22	58.37	68.17	59
r75j	75.19	17.82	69.41	71.66	76
j00g	87.03	-3.34	82.83	82.9	92
j25g	80.72	-25.0	69.5	73.86	110
j50g	70.64	-39.53	51.97	65.3	127
j75g	61.93	-52.09	36.83	63.8	145
g00b	52.8	-65.27	20.93	68.56	162
g25b	55.7	-49.57	-8.38	50.28	190
g50b	57.82	-38.39	-28.91	48.07	217
g75b	55.5	-22.04	-45.94	50.97	244
b00r	41.6	1.37	-45.0	45.03	272
b25r	29.0	25.08	-43.12	49.89	300
b50r	38.04	46.53	-28.38	54.51	329
b75r	49.48	72.88	-3.75	72.98	357



Ein und Ausgabe: Farbmetrisches Drucker-Reflektiv-System ORS19\_96a für relativen CIELAB-Buntton  $h^* = lab^*h^* = h_{ab}/360 = 329/360 = 0.913$

Daten für jede Farbe:

$lab^*ch^*$  und  $lab^*icu^*$

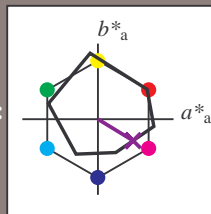
Elementar-Bunttontext:

$u^* = b50r$

Kontrastreduzierungsfaktor:

$c_R = 1.0$

Dreiecks-Helligkeit  $i^*$



ORS19\_96a; adaptierte CIELAB-Daten

	$L^* = \bar{L}^*_a$	$a^*_a$	$b^*_a$	$C^*_{ab,a}$	$h^*_{ab,a}$
O <sub>Ma</sub>	48.75	65.07	39.43	76.08	31
Y <sub>Ma</sub>	90.92	-10.28	87.24	87.85	97
L <sub>Ma</sub>	52.69	-65.43	20.75	68.65	162
C <sub>Ma</sub>	59.61	-28.97	-46.21	54.56	238
V <sub>Ma</sub>	28.39	23.63	-44.12	50.06	298
M <sub>Ma</sub>	49.58	73.93	-9.55	74.55	353
N <sub>Ma</sub>	18.89	0.0	0.0	0.0	0
W <sub>Ma</sub>	96.9	0.0	0.0	0.0	0
R <sub>CIE</sub>	39.92	58.74	27.99	65.07	25
J <sub>CIE</sub>	81.26	-2.88	71.56	71.62	92
G <sub>CIE</sub>	52.23	-42.41	13.6	44.55	162
B <sub>CIE</sub>	30.57	1.41	-46.46	46.49	272

Daten für Maximalfarbe (Ma):

$LAB^*LAB^*_{Ma}$ : 38 47 -27

$LAB^*LCH^*_{Ma}$ : 38 55 329

$lab^*rgb^*_{Ma}$ : 1.0 0.0 1.0

$lab^*olv^*_{Ma}$ : 0.46 0.0 1.0

Dreiecks-Helligkeit  $i^*$

%Umfang

$u^*_{rel} = 89$

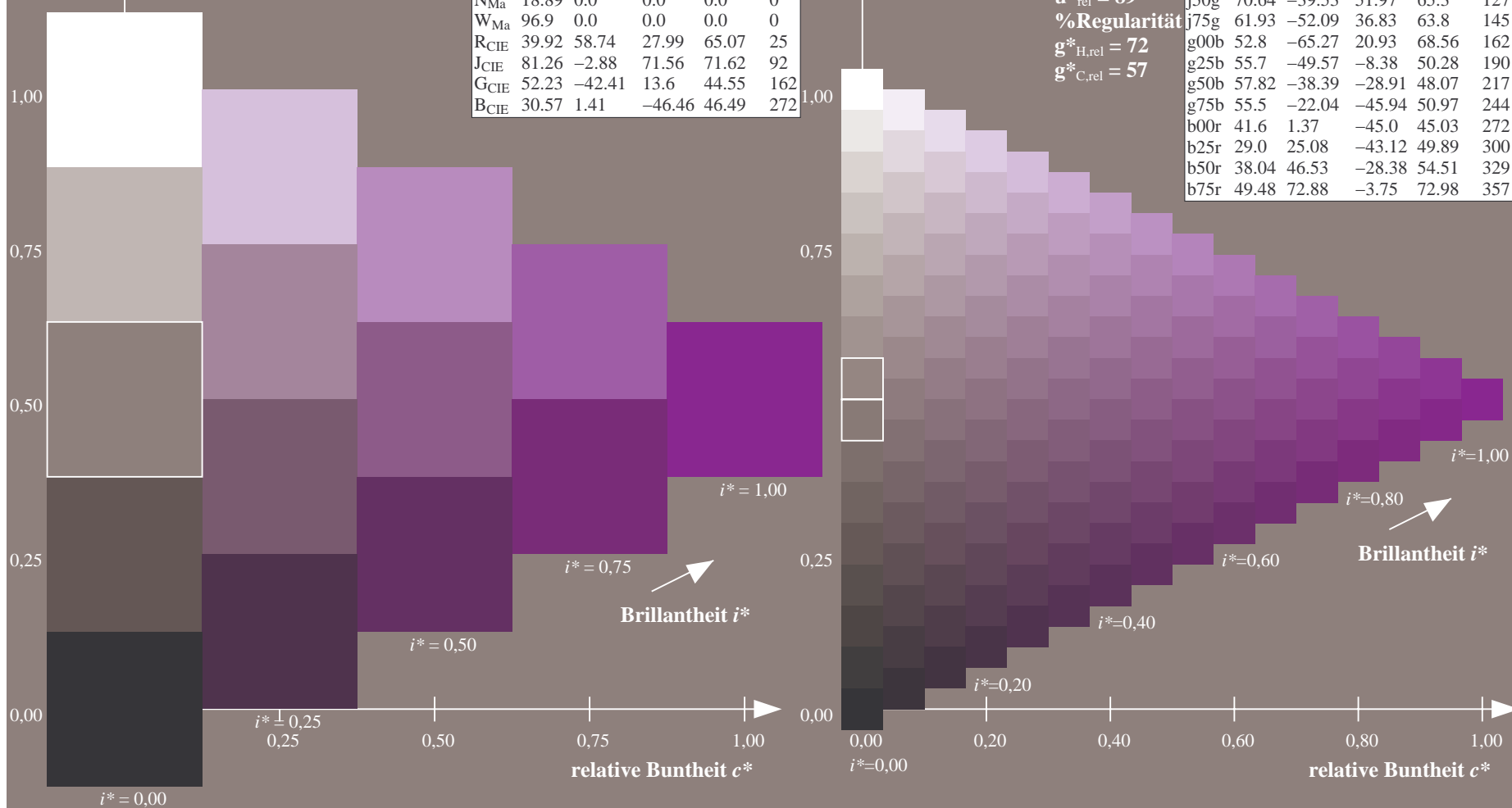
%Regularität

$g^*_{H,rel} = 72$

$g^*_{C,rel} = 57$

ORS19\_96a; adaptierte CIELAB-Daten

	$L^* = \bar{L}^*_a$	$a^*_a$	$b^*_a$	$C^*_{ab,a}$	$h^*_{ab,a}$
r00j	48.88	66.47	31.67	73.63	25
r25j	55.85	52.39	47.48	70.7	42
r50j	65.45	35.22	58.37	68.17	59
r75j	75.19	17.82	69.41	71.66	76
j00g	87.03	-3.34	82.83	82.9	92
j25g	80.72	-25.0	69.5	73.86	110
j50g	70.64	-39.53	51.97	65.3	127
j75g	61.93	-52.09	36.83	63.8	145
g00b	52.8	-65.27	20.93	68.56	162
g25b	55.7	-49.57	-8.38	50.28	190
g50b	57.82	-38.39	-28.91	48.07	217
g75b	55.5	-22.04	-45.94	50.97	244
b00r	41.6	1.37	-45.0	45.03	272
b25r	29.0	25.08	-43.12	49.89	300
b50r	38.04	46.53	-28.38	54.51	329
b75r	49.48	72.88	-3.75	72.98	357



Ein und Ausgabe: Farbmetrisches Drucker-Reflektiv-System ORS19\_96a für relativen CIELAB-Buntton  $h^* = lab^*h^* = h_{ab}/360 = 357/360 = 0.992$

Daten für jede Farbe:

$lab^*ch^*$  und  $lab^*icu^*$

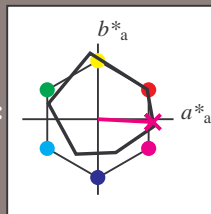
Elementar-Bunttontext:

$u^* = b75r$

Kontrastreduzierungsfaktor:

$c_R = 1.0$

Dreiecks-Helligkeit  $t^*$



ORS19\_96a; adaptierte CIELAB-Daten

	$L^* = L^*_a$	$a^*_a$	$b^*_a$	$C^*_{ab,a}$	$h^*_{ab,a}$
O <sub>Ma</sub>	48.75	65.07	39.43	76.08	31
Y <sub>Ma</sub>	90.92	-10.28	87.24	87.85	97
L <sub>Ma</sub>	52.69	-65.43	20.75	68.65	162
C <sub>Ma</sub>	59.61	-28.97	-46.21	54.56	238
V <sub>Ma</sub>	28.39	23.63	-44.12	50.06	298
M <sub>Ma</sub>	49.58	73.93	-9.55	74.55	353
N <sub>Ma</sub>	18.89	0.0	0.0	0.0	0
W <sub>Ma</sub>	96.9	0.0	0.0	0.0	0
R <sub>CIE</sub>	39.92	58.74	27.99	65.07	25
J <sub>CIE</sub>	81.26	-2.88	71.56	71.62	92
G <sub>CIE</sub>	52.23	-42.41	13.6	44.55	162
B <sub>CIE</sub>	30.57	1.41	-46.46	46.49	272

Daten für Maximalfarbe (Ma):

$LAB^*LAB^*_{Ma}$ : 49 73 -3

$LAB^*LCH^*_{Ma}$ : 49 73 357

$lab^*rgb^*_{Ma}$ : 1.0 0.0 0.5

$lab^*olv^*_{Ma}$ : 1.0 0.0 0.88

Dreiecks-Helligkeit  $t^*$

%Umfang

$u^*_{rel} = 89$

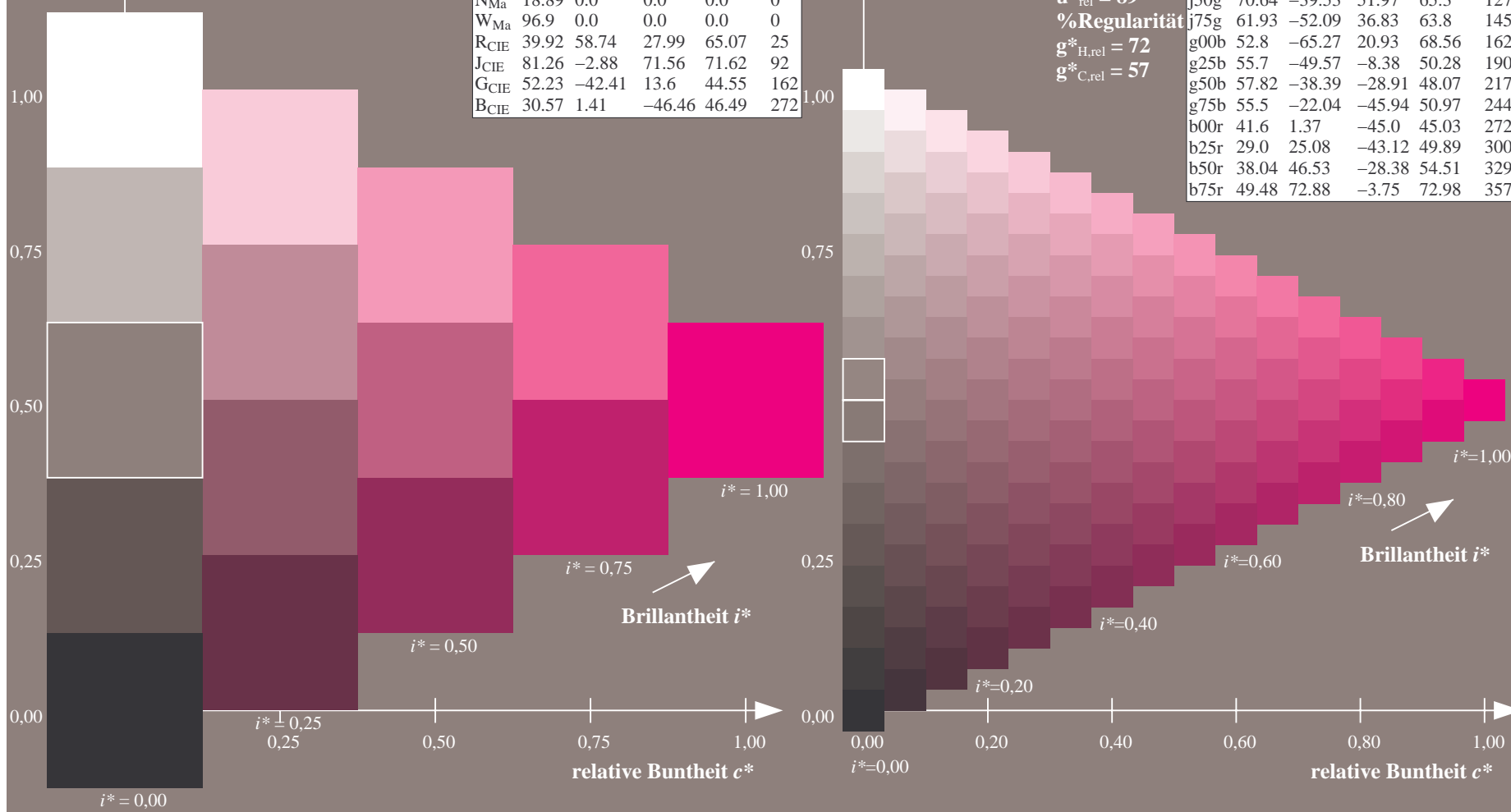
%Regularität

$g^*_{H,rel} = 72$

$g^*_{C,rel} = 57$

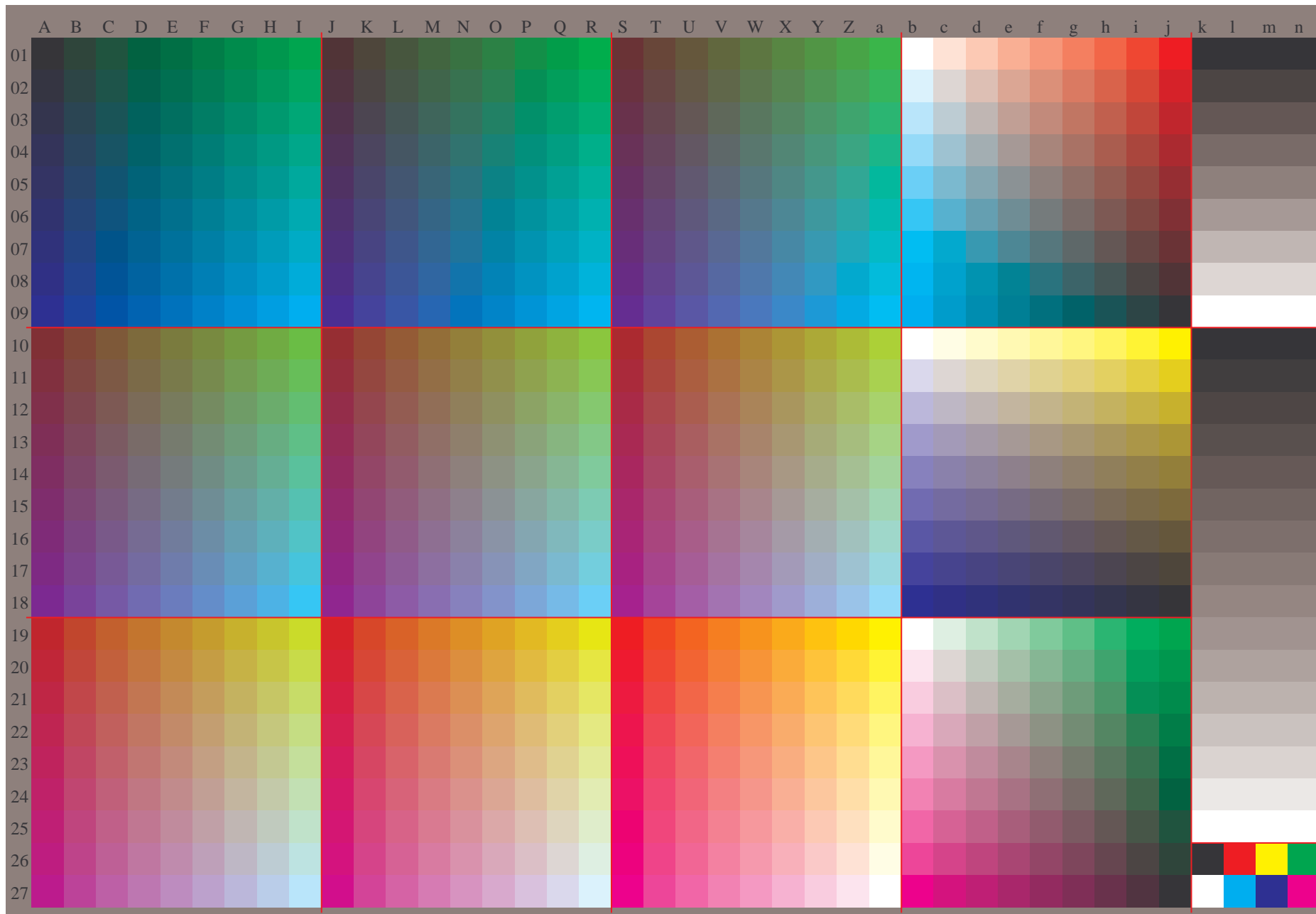
ORS19\_96a; adaptierte CIELAB-Daten

	$L^* = L^*_a$	$a^*_a$	$b^*_a$	$C^*_{ab,a}$	$h^*_{ab,a}$
r00j	48.88	66.47	31.67	73.63	25
r25j	55.85	52.39	47.48	70.7	42
r50j	65.45	35.22	58.37	68.17	59
r75j	75.19	17.82	69.41	71.66	76
j00g	87.03	-3.34	82.83	82.9	92
j25g	80.72	-25.0	69.5	73.86	110
j50g	70.64	-39.53	51.97	65.3	127
j75g	61.93	-52.09	36.83	63.8	145
g00b	52.8	-65.27	20.93	68.56	162
g25b	55.7	-49.57	-8.38	50.28	190
g50b	57.82	-38.39	-28.91	48.07	217
g75b	55.5	-22.04	-45.94	50.97	244
b00r	41.6	1.37	-45.0	45.03	272
b25r	29.0	25.08	-43.12	49.89	300
b50r	38.04	46.53	-28.38	54.51	329
b75r	49.48	72.88	-3.75	72.98	357



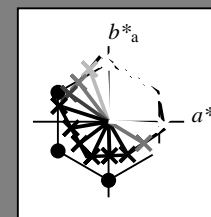
Siehe ähnliche Dateien: <http://www.ps.bam.de/Dg74/>; [www.ps.bam.de/Dg74/10L/L74G00NP.PS/.PDF](http://www.ps.bam.de/Dg74/10L/L74G00NP.PS/.PDF) BAM-Material: Code=rh4ta  
Technische Information: <http://www.ps.bam.de> Version 2.1, io=1,1, ColSpx=0

BAM-Registrierung: 20080701-Dg74/10L/L74G00NP.PS/.PDF BAM-Material: Code=rh4ta  
Anwendung für Beurteilung und Messung von Drucker- oder Monitorsystemen



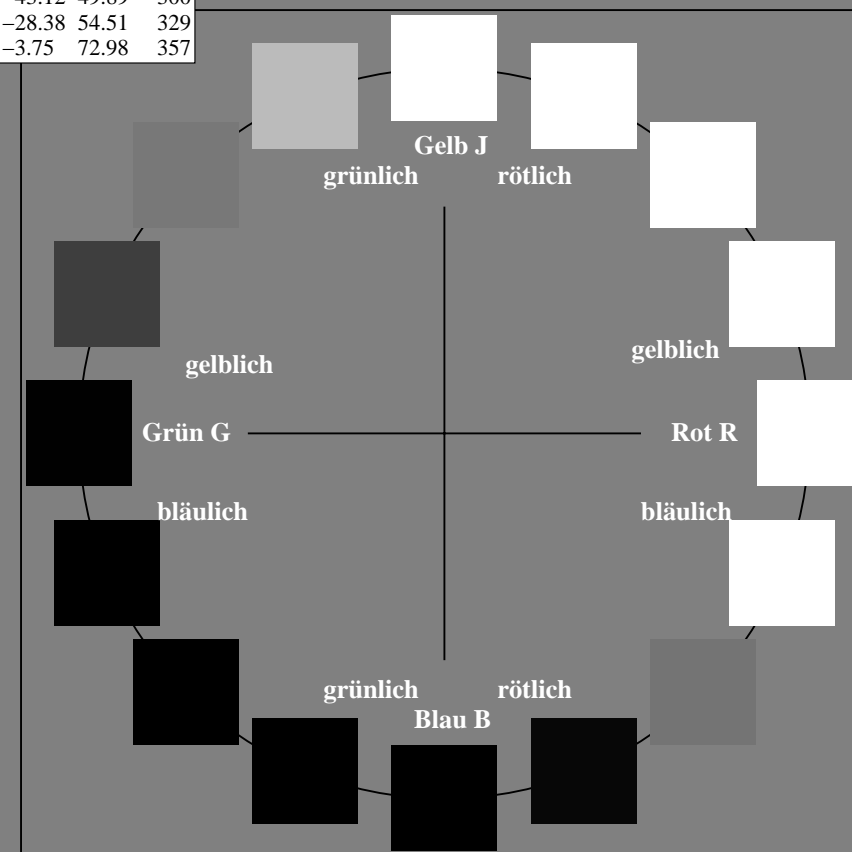
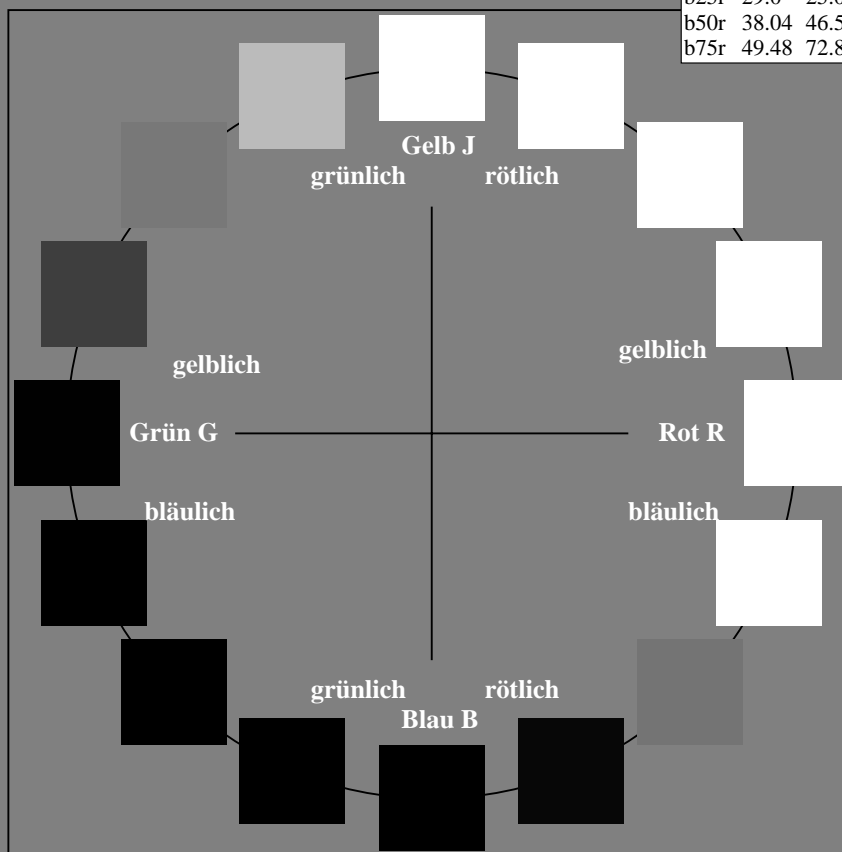
Ein und Ausgabe:  
Farbmetrisches Drucker-Reflektiv-System ORS19\_96a  
Daten für jede Farbe:  
*lab\*<sub>ich</sub>*\* und *lab\*<sub>icu</sub>*\*  
Elementar-Bunttontext:  
*u\** = 16 Bunttöne *r00j*, *r25j*, ..., *b75r*  
Kontrastreduzierungsfaktor:  
*c<sub>R</sub>* = 1.0

ORS19_96a; adaptierte CIELAB-Daten					
	<i>L*</i> = <i>L*</i> <sub>a</sub>	<i>a*</i> <sub>a</sub>	<i>b*</i> <sub>a</sub>	<i>C*</i> <sub>ab,a</sub>	<i>h*</i> <sub>ab,a</sub>
r00j	48.88	66.47	31.67	73.63	25
r25j	55.85	52.39	47.48	70.7	42
r50j	65.45	35.22	58.37	68.17	59
r75j	75.19	17.82	69.41	71.66	76
j00g	87.03	-3.34	82.83	82.9	92
j25g	80.72	-25.0	69.5	73.86	110
j50g	70.64	-39.53	51.97	65.3	127
j75g	61.93	-52.09	36.83	63.8	145
g00b	52.8	-65.27	20.93	68.56	162
g25b	55.7	-49.57	-8.38	50.28	190
g50b	57.82	-38.39	-28.91	48.07	217
g75b	55.5	-22.04	-45.94	50.97	244
b00r	41.6	1.37	-45.0	45.03	272
b25r	29.0	25.08	-43.12	49.89	300
b50r	38.04	46.53	-28.38	54.51	329
b75r	49.48	72.88	-3.75	72.98	357



%Umfang  
*u\**<sub>rel</sub> = 89  
%Regularität  
*g\**<sub>H,rel</sub> = 72  
*g\**<sub>C,rel</sub> = 57

ORS19_96a; adaptierte CIELAB-Daten					
	<i>L*</i> = <i>L*</i> <sub>a</sub>	<i>a*</i> <sub>a</sub>	<i>b*</i> <sub>a</sub>	<i>C*</i> <sub>ab,a</sub>	<i>h*</i> <sub>ab,a</sub>
OMa	48.75	65.07	39.43	76.08	31
YMa	90.92	-10.28	87.24	87.85	97
LMa	52.69	-65.43	20.75	68.65	162
CMa	59.61	-28.97	-46.21	54.56	238
VMa	28.39	23.63	-44.12	50.06	298
MMa	49.58	73.93	-9.55	74.55	353
NMa	18.89	0.0	0.0	0.0	0
WMa	96.9	0.0	0.0	0.0	0
RCIE	39.92	58.74	27.99	65.07	25
JCIE	81.26	-2.88	71.56	71.62	92
GCIE	52.23	-42.41	13.6	44.55	162
BCIE	30.57	1.41	-46.46	46.49	272



Ein und Ausgabe: Farbmetrisches Drucker-Reflektiv-System ORS19\_96a für relativen CIELAB-Buntton  $h^* = lab^*h^* = h_{ab}/360 = 25/360 = 0.071$

Daten für jede Farbe:

$lab^*ch^*$  und  $lab^*icu^*$

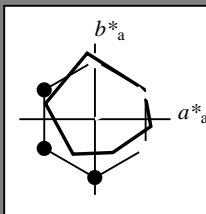
Elementar-Bunttonext:

$u^* = r00j$

Kontrastreduzierungsfaktor:

$c_R = 1.0$

Dreiecks-Helligkeit  $i^*$



ORS19_96a; adaptierte CIELAB-Daten					
	$L^*=L^*_a$	$a^*_a$	$b^*_a$	$C^*_{ab,a}$	$h^*_{ab,a}$
O <sub>Ma</sub>	48.75	65.07	39.43	76.08	31
Y <sub>Ma</sub>	90.92	-10.28	87.24	87.85	97
L <sub>Ma</sub>	52.69	-65.43	20.75	68.65	162
C <sub>Ma</sub>	59.61	-28.97	-46.21	54.56	238
V <sub>Ma</sub>	28.39	23.63	-44.12	50.06	298
M <sub>Ma</sub>	49.58	73.93	-9.55	74.55	353
N <sub>Ma</sub>	18.89	0.0	0.0	0.0	0
W <sub>Ma</sub>	96.9	0.0	0.0	0.0	0
R <sub>CIE</sub>	39.92	58.74	27.99	65.07	25
J <sub>CIE</sub>	81.26	-2.88	71.56	71.62	92
G <sub>CIE</sub>	52.23	-42.41	13.6	44.55	162
B <sub>CIE</sub>	30.57	1.41	-46.46	46.49	272

Daten für Maximalfarbe (Ma):

$LAB^*LAB^*_{Ma}$ : 49 66 32

$LAB^*LCH^*_{Ma}$ : 49 74 25

$lab^*rgb^*_{Ma}$ : 1.0 0.0 0.0

$lab^*olv^*_{Ma}$ : 1.0 0.0 0.16

Dreiecks-Helligkeit  $i^*$

%Umfang

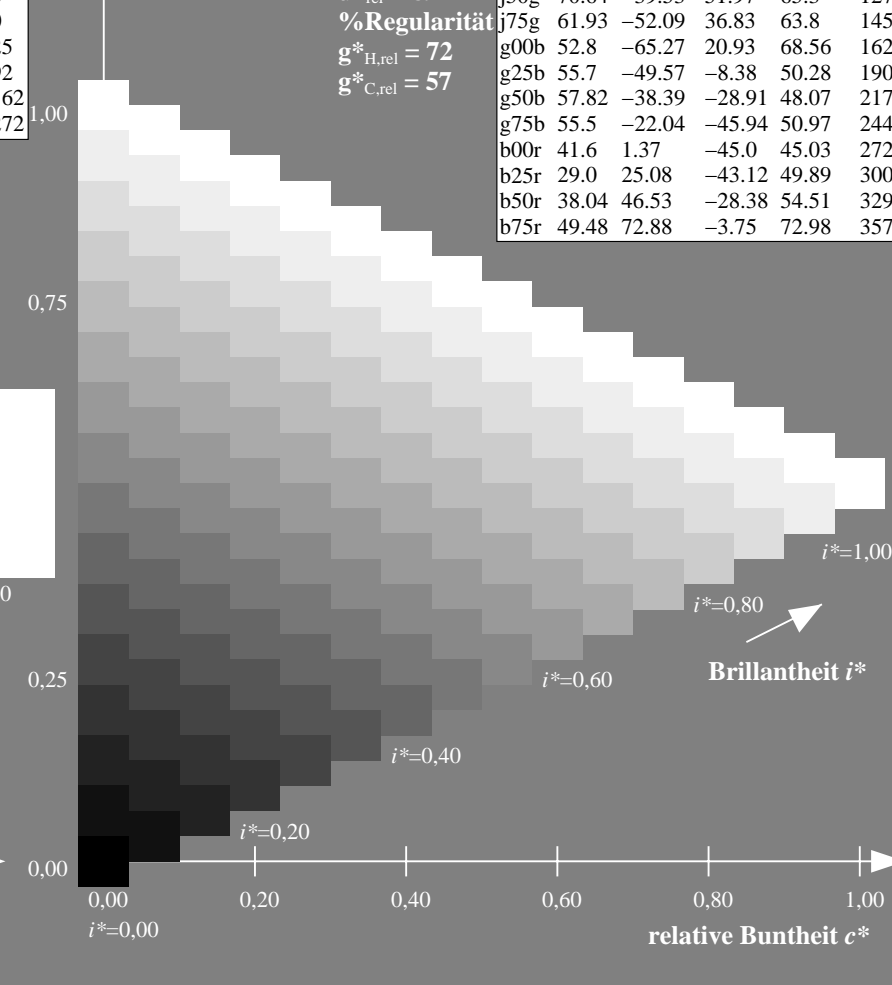
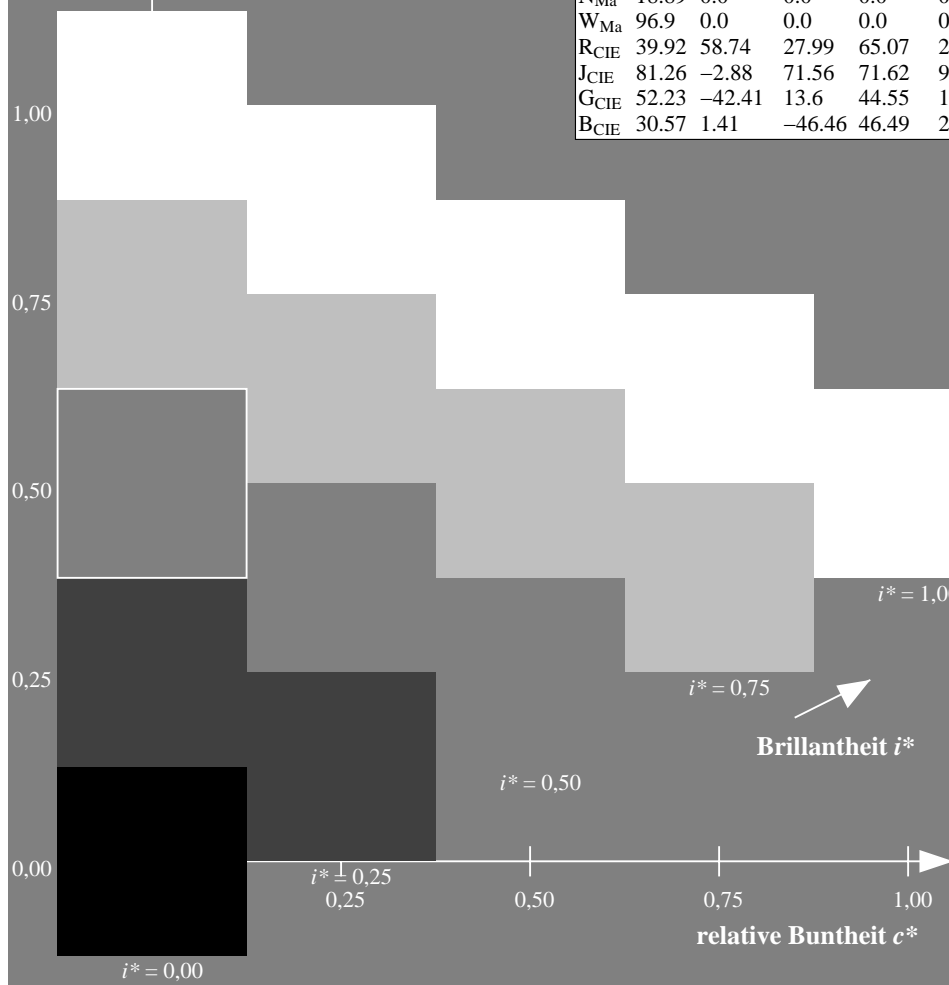
$u^*_{rel} = 89$

%Regularität

$g^*_{H,rel} = 72$

$g^*_{C,rel} = 57$

ORS19_96a; adaptierte CIELAB-Daten					
	$L^*=L^*_a$	$a^*_a$	$b^*_a$	$C^*_{ab,a}$	$h^*_{ab,a}$
r00j	48.88	66.47	31.67	73.63	25
r25j	55.85	52.39	47.48	70.7	42
r50j	65.45	35.22	58.37	68.17	59
r75j	75.19	17.82	69.41	71.66	76
j00g	87.03	-3.34	82.83	82.9	92
j25g	80.72	-25.0	69.5	73.86	110
j50g	70.64	-39.53	51.97	65.3	127
j75g	61.93	-52.09	36.83	63.8	145
g00b	52.8	-65.27	20.93	68.56	162
g25b	55.7	-49.57	-8.38	50.28	190
g50b	57.82	-38.39	-28.91	48.07	217
g75b	55.5	-22.04	-45.94	50.97	244
b00r	41.6	1.37	-45.0	45.03	272
b25r	29.0	25.08	-43.12	49.89	300
b50r	38.04	46.53	-28.38	54.51	329
b75r	49.48	72.88	-3.75	72.98	357





Ein und Ausgabe: Farbmetrisches Drucker-Reflektiv-System ORS19\_96a für relativen CIELAB-Buntton  $h^* = lab^*h^* = h_{ab}/360 = 42/360 = 0.117$

Daten für jede Farbe:

$lab^*ch^*$  und  $lab^*icu^*$

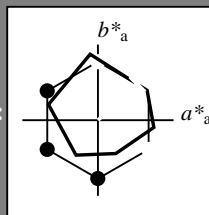
Elementar-Bunttonext:

$u^* = r25j$

Kontrastreduzierungsfaktor:

$c_R = 1.0$

Dreiecks-Helligkeit  $i^*$



ORS19\_96a; adaptierte CIELAB-Daten

	$L^*=L^*_a$	$a^*_a$	$b^*_a$	$C^*_{ab,a}$	$h^*_{ab,a}$
O <sub>Ma</sub>	48.75	65.07	39.43	76.08	31
Y <sub>Ma</sub>	90.92	-10.28	87.24	87.85	97
L <sub>Ma</sub>	52.69	-65.43	20.75	68.65	162
C <sub>Ma</sub>	59.61	-28.97	-46.21	54.56	238
V <sub>Ma</sub>	28.39	23.63	-44.12	50.06	298
M <sub>Ma</sub>	49.58	73.93	-9.55	74.55	353
N <sub>Ma</sub>	18.89	0.0	0.0	0.0	0
W <sub>Ma</sub>	96.9	0.0	0.0	0.0	0
R <sub>CIE</sub>	39.92	58.74	27.99	65.07	25
J <sub>CIE</sub>	81.26	-2.88	71.56	71.62	92
G <sub>CIE</sub>	52.23	-42.41	13.6	44.55	162
B <sub>CIE</sub>	30.57	1.41	-46.46	46.49	272

Daten für Maximalfarbe (Ma):

$LAB^*LAB^*_{Ma}$ : 56 52 47

$LAB^*LCH^*_{Ma}$ : 56 71 42

$lab^*rgb^*_{Ma}$ : 1.0 0.25 0.0

$lab^*olv^*_{Ma}$ : 1.0 0.17 0.0

Dreiecks-Helligkeit  $i^*$

%Umfang

$u^*_{rel} = 89$

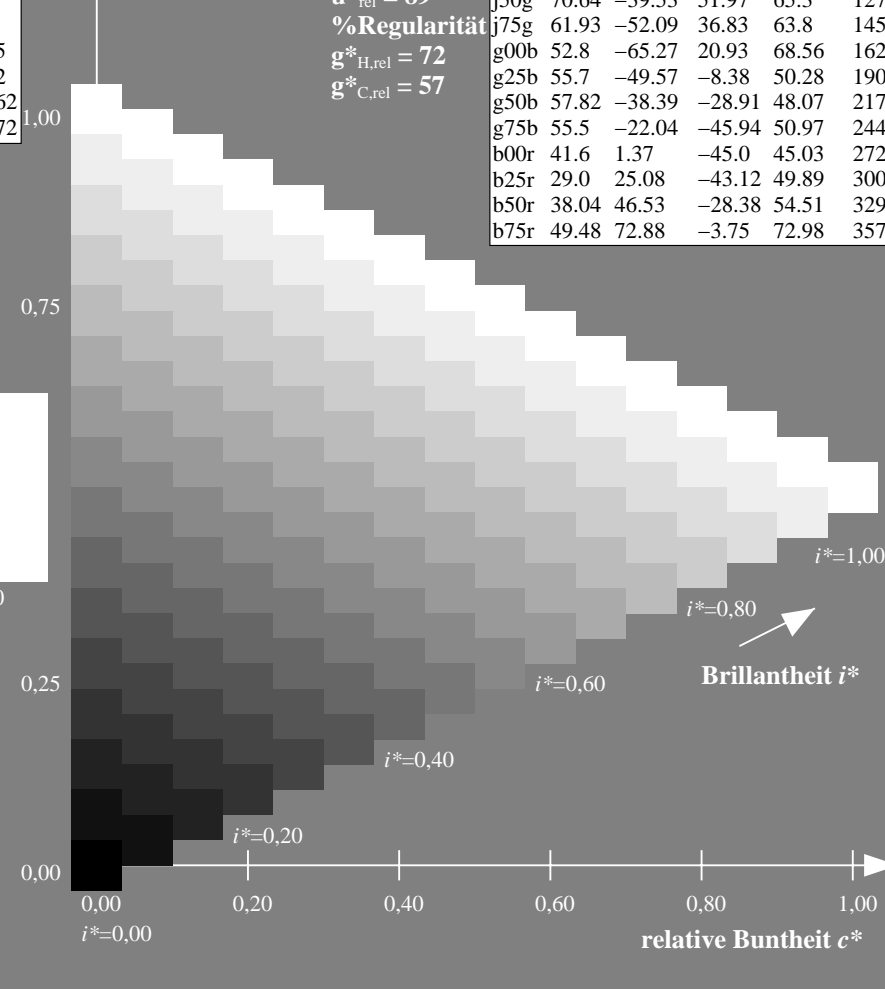
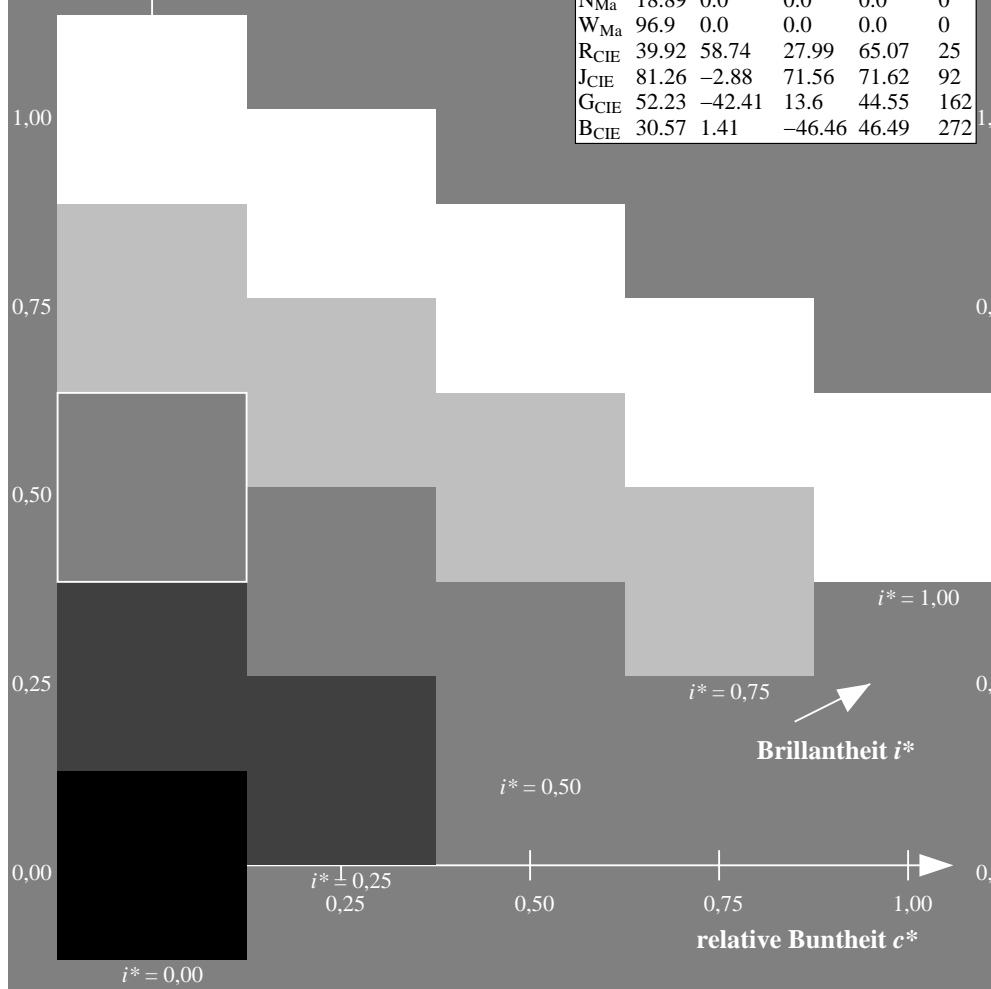
%Regularität

$g^*_{H,rel} = 72$

$g^*_{C,rel} = 57$

ORS19\_96a; adaptierte CIELAB-Daten

	$L^*=L^*_a$	$a^*_a$	$b^*_a$	$C^*_{ab,a}$	$h^*_{ab,a}$
r00j	48.88	66.47	31.67	73.63	25
r25j	55.85	52.39	47.48	70.7	42
r50j	65.45	35.22	58.37	68.17	59
r75j	75.19	17.82	69.41	71.66	76
j00g	87.03	-3.34	82.83	82.9	92
j25g	80.72	-25.0	69.5	73.86	110
j50g	70.64	-39.53	51.97	65.3	127
j75g	61.93	-52.09	36.83	63.8	145
g00b	52.8	-65.27	20.93	68.56	162
g25b	55.7	-49.57	-8.38	50.28	190
g50b	57.82	-38.39	-28.91	48.07	217
g75b	55.5	-22.04	-45.94	50.97	244
b00r	41.6	1.37	-45.0	45.03	272
b25r	29.0	25.08	-43.12	49.89	300
b50r	38.04	46.53	-28.38	54.51	329
b75r	49.48	72.88	-3.75	72.98	357



Ein und Ausgabe: Farbmetrisches Drucker-Reflektiv-System ORS19\_96a für relativen CIELAB-Buntton  $h^* = lab^*h^* = h_{ab}/360 = 59/360 = 0.164$

Daten für jede Farbe:

$lab^*ch^*$  und  $lab^*icu^*$

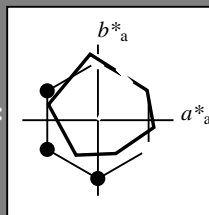
Elementar-Bunttonext:

$u^* = r50j$

Kontrastreduzierungsfaktor:

$c_R = 1.0$

Dreiecks-Helligkeit  $i^*$



ORS19\_96a; adaptierte CIELAB-Daten

	$L^*=L^*_a$	$a^*_a$	$b^*_a$	$C^*_{ab,a}$	$h^*_{ab,a}$
O <sub>Ma</sub>	48.75	65.07	39.43	76.08	31
Y <sub>Ma</sub>	90.92	-10.28	87.24	87.85	97
L <sub>Ma</sub>	52.69	-65.43	20.75	68.65	162
C <sub>Ma</sub>	59.61	-28.97	-46.21	54.56	238
V <sub>Ma</sub>	28.39	23.63	-44.12	50.06	298
M <sub>Ma</sub>	49.58	73.93	-9.55	74.55	353
N <sub>Ma</sub>	18.89	0.0	0.0	0.0	0
W <sub>Ma</sub>	96.9	0.0	0.0	0.0	0
R <sub>CIE</sub>	39.92	58.74	27.99	65.07	25
J <sub>CIE</sub>	81.26	-2.88	71.56	71.62	92
G <sub>CIE</sub>	52.23	-42.41	13.6	44.55	162
B <sub>CIE</sub>	30.57	1.41	-46.46	46.49	272

Daten für Maximalfarbe (Ma):

$LAB^*LAB^*_{Ma}$ : 65 35 58

$LAB^*LCH^*_{Ma}$ : 65 68 59

$lab^*rgb^*_{Ma}$ : 1.0 0.5 0.0

$lab^*olv^*_{Ma}$ : 1.0 0.4 0.0

Dreiecks-Helligkeit  $i^*$

%Umfang

$u^*_{rel} = 89$

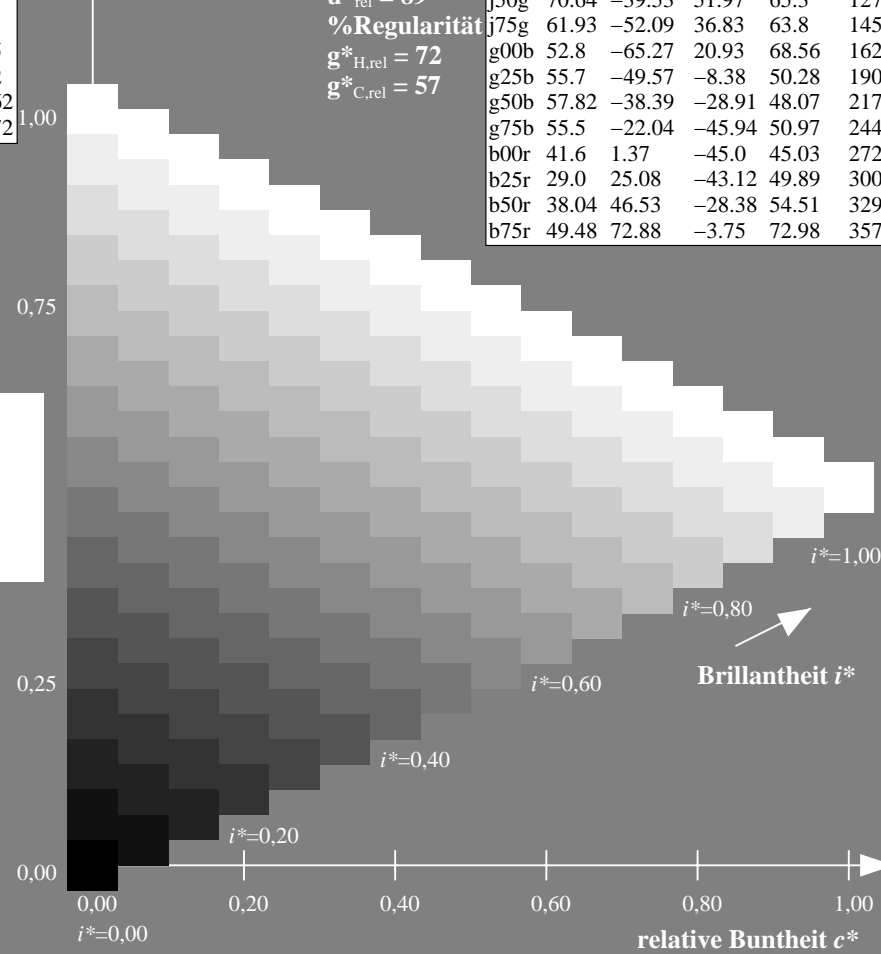
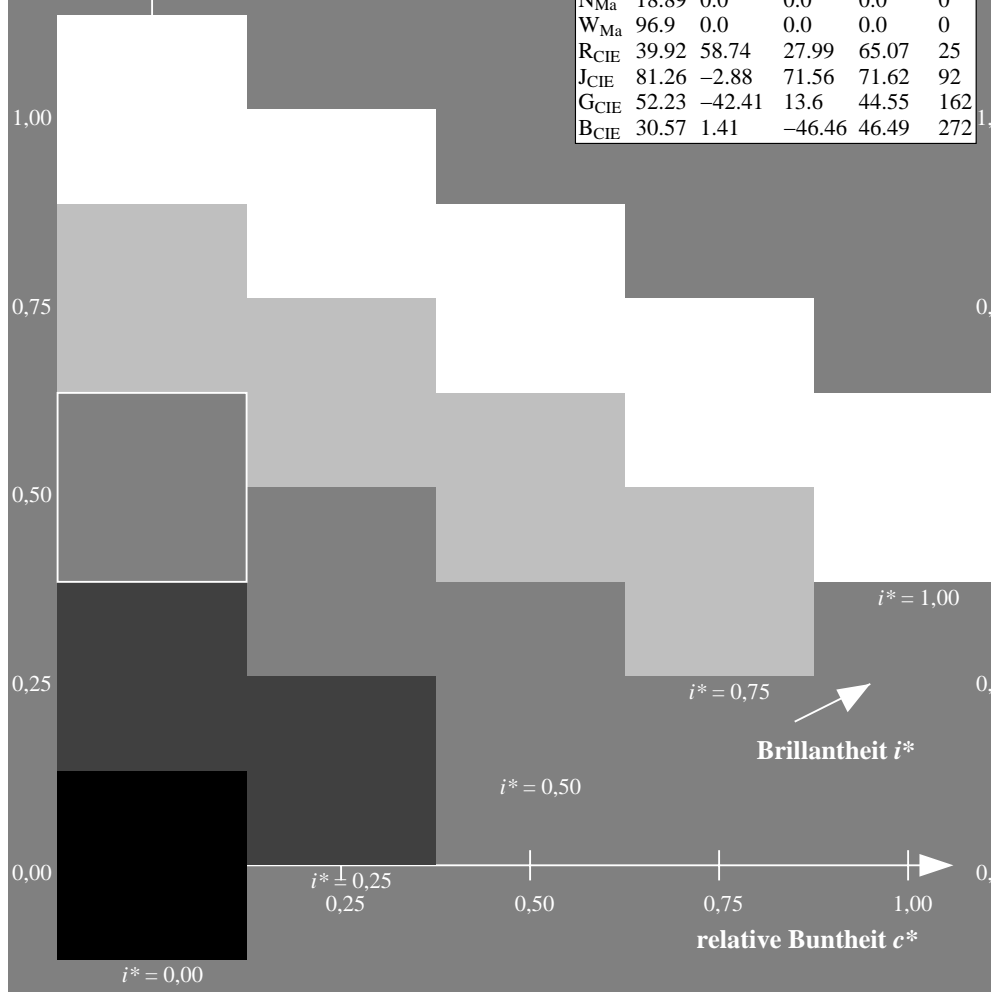
%Regularität

$g^*_{H,rel} = 72$

$g^*_{C,rel} = 57$

ORS19\_96a; adaptierte CIELAB-Daten

	$L^*=L^*_a$	$a^*_a$	$b^*_a$	$C^*_{ab,a}$	$h^*_{ab,a}$
r00j	48.88	66.47	31.67	73.63	25
r25j	55.85	52.39	47.48	70.7	42
r50j	65.45	35.22	58.37	68.17	59
r75j	75.19	17.82	69.41	71.66	76
j00g	87.03	-3.34	82.83	82.9	92
j25g	80.72	-25.0	69.5	73.86	110
j50g	70.64	-39.53	51.97	65.3	127
j75g	61.93	-52.09	36.83	63.8	145
g00b	52.8	-65.27	20.93	68.56	162
g25b	55.7	-49.57	-8.38	50.28	190
g50b	57.82	-38.39	-28.91	48.07	217
g75b	55.5	-22.04	-45.94	50.97	244
b00r	41.6	1.37	-45.0	45.03	272
b25r	29.0	25.08	-43.12	49.89	300
b50r	38.04	46.53	-28.38	54.51	329
b75r	49.48	72.88	-3.75	72.98	357



Ein und Ausgabe: Farbmetrisches Drucker-Reflektiv-System ORS19\_96a für relativen CIELAB-Buntton  $h^* = lab^*h^* = h_{ab}/360 = 76/360 = 0.21$

Daten für jede Farbe:

$lab^*ch^*$  und  $lab^*icu^*$

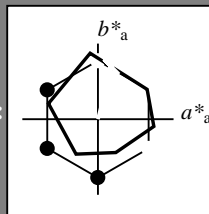
Elementar-Bunttonext:

$u^* = r75j$

Kontrastreduzierungsfaktor:

$c_R = 1.0$

Dreiecks-Helligkeit  $i^*$



ORS19\_96a; adaptierte CIELAB-Daten

	$L^*=L_a^*$	$a_a^*$	$b_a^*$	$C_{ab,a}^*$	$h_{ab,a}^*$
O <sub>Ma</sub>	48.75	65.07	39.43	76.08	31
Y <sub>Ma</sub>	90.92	-10.28	87.24	87.85	97
L <sub>Ma</sub>	52.69	-65.43	20.75	68.65	162
C <sub>Ma</sub>	59.61	-28.97	-46.21	54.56	238
V <sub>Ma</sub>	28.39	23.63	-44.12	50.06	298
M <sub>Ma</sub>	49.58	73.93	-9.55	74.55	353
N <sub>Ma</sub>	18.89	0.0	0.0	0.0	0
W <sub>Ma</sub>	96.9	0.0	0.0	0.0	0
R <sub>CIE</sub>	39.92	58.74	27.99	65.07	25
J <sub>CIE</sub>	81.26	-2.88	71.56	71.62	92
G <sub>CIE</sub>	52.23	-42.41	13.6	44.55	162
B <sub>CIE</sub>	30.57	1.41	-46.46	46.49	272

Daten für Maximalfarbe (Ma):

$LAB^*LAB^*Ma$ : 75 18 69

$LAB^*LCH^*Ma$ : 75 72 76

$lab^*rgb^*Ma$ : 1.0 0.75 0.0

$lab^*olv^*Ma$ : 1.0 0.63 0.0

Dreiecks-Helligkeit  $i^*$

%Umfang

$u^*_{rel} = 89$

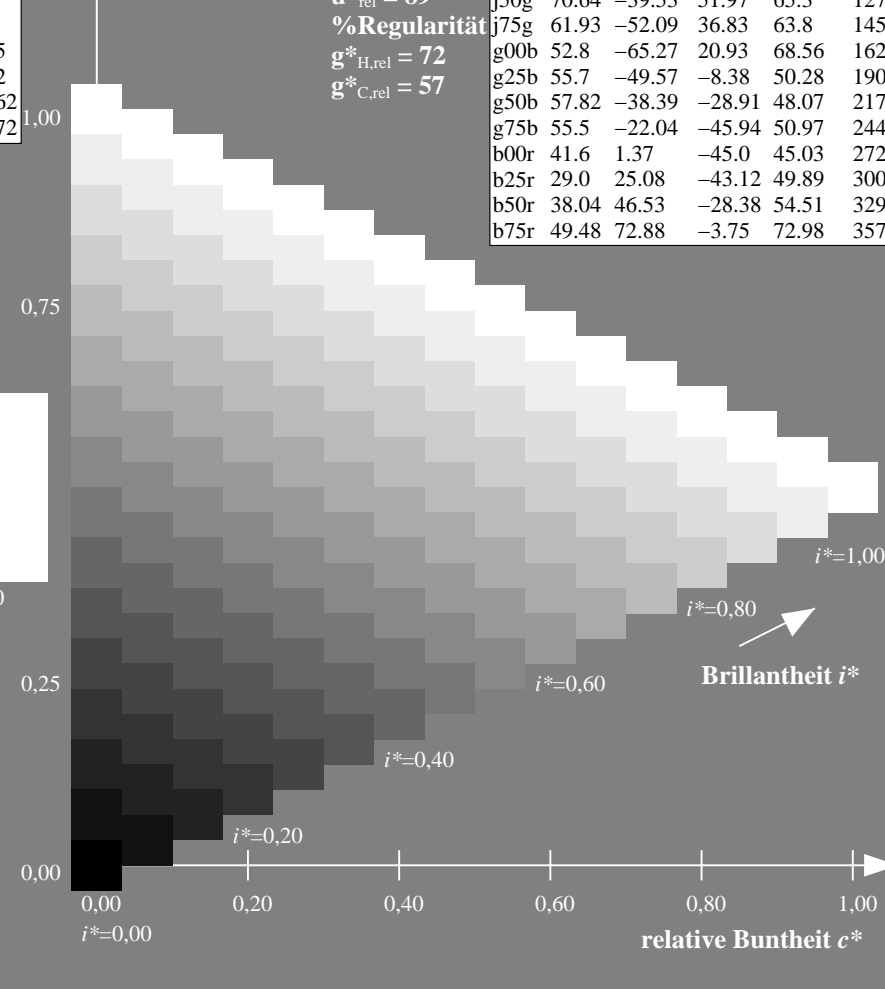
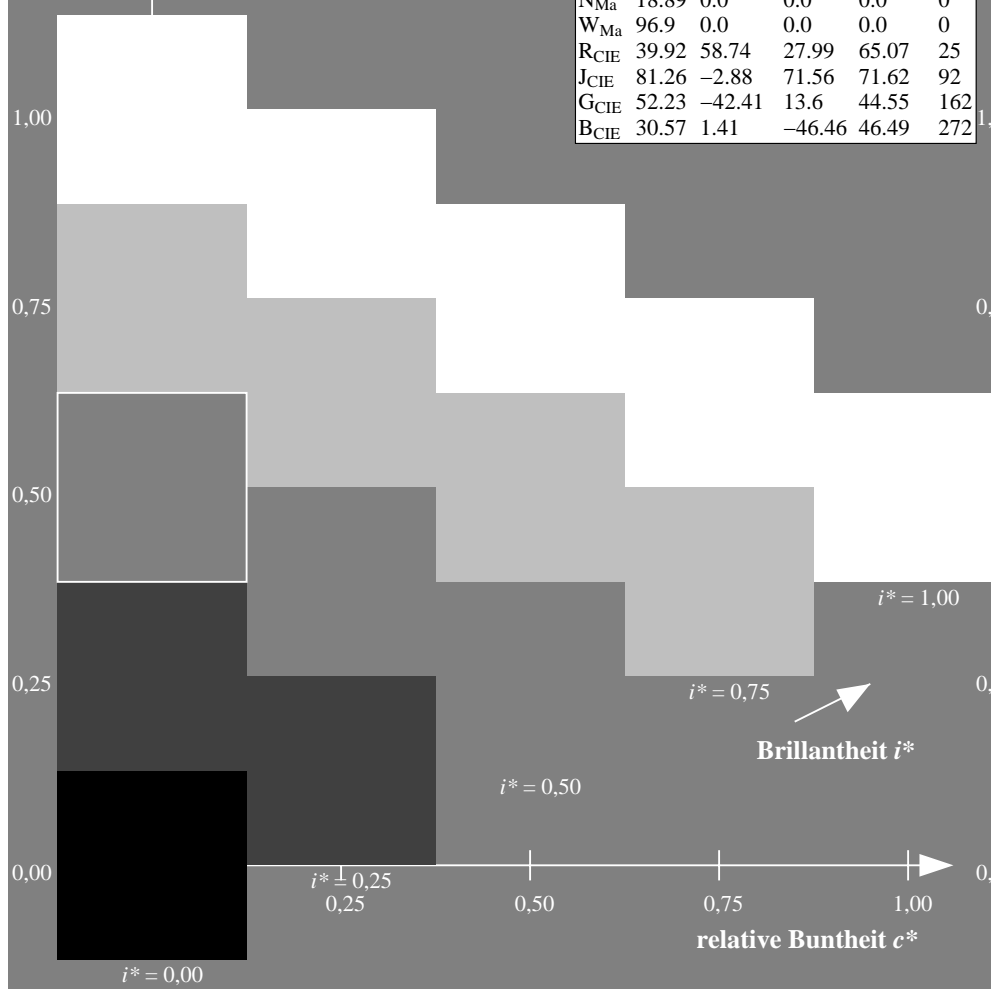
%Regularität

$g^*_{H,rel} = 72$

$g^*_{C,rel} = 57$

ORS19\_96a; adaptierte CIELAB-Daten

	$L^*=L_a^*$	$a_a^*$	$b_a^*$	$C_{ab,a}^*$	$h_{ab,a}^*$
r00j	48.88	66.47	31.67	73.63	25
r25j	55.85	52.39	47.48	70.7	42
r50j	65.45	35.22	58.37	68.17	59
r75j	75.19	17.82	69.41	71.66	76
j00g	87.03	-3.34	82.83	82.9	92
j25g	80.72	-25.0	69.5	73.86	110
j50g	70.64	-39.53	51.97	65.3	127
j75g	61.93	-52.09	36.83	63.8	145
g00b	52.8	-65.27	20.93	68.56	162
g25b	55.7	-49.57	-8.38	50.28	190
g50b	57.82	-38.39	-28.91	48.07	217
g75b	55.5	-22.04	-45.94	50.97	244
b00r	41.6	1.37	-45.0	45.03	272
b25r	29.0	25.08	-43.12	49.89	300
b50r	38.04	46.53	-28.38	54.51	329
b75r	49.48	72.88	-3.75	72.98	357



Ein und Ausgabe: Farbmetrisches Drucker-Reflektiv-System ORS19\_96a für relativen CIELAB-Buntton  $h^* = lab^*h^* = h_{ab}/360 = 92/360 = 0.256$

Daten für jede Farbe:

$lab^*ch^*$  und  $lab^*icu^*$

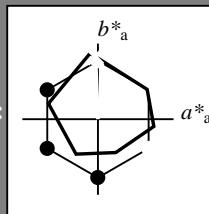
Elementar-Bunttonext:

$u^* = j00g$

Kontrastreduzierungsfaktor:

$c_R = 1.0$

Dreiecks-Helligkeit  $i^*$



ORS19\_96a; adaptierte CIELAB-Daten

	$L^* = L^*_a$	$a^*_a$	$b^*_a$	$C^*_{ab,a}$	$h^*_{ab,a}$
O <sub>Ma</sub>	48.75	65.07	39.43	76.08	31
Y <sub>Ma</sub>	90.92	-10.28	87.24	87.85	97
L <sub>Ma</sub>	52.69	-65.43	20.75	68.65	162
C <sub>Ma</sub>	59.61	-28.97	-46.21	54.56	238
V <sub>Ma</sub>	28.39	23.63	-44.12	50.06	298
M <sub>Ma</sub>	49.58	73.93	-9.55	74.55	353
N <sub>Ma</sub>	18.89	0.0	0.0	0.0	0
W <sub>Ma</sub>	96.9	0.0	0.0	0.0	0
R <sub>CIE</sub>	39.92	58.74	27.99	65.07	25
J <sub>CIE</sub>	81.26	-2.88	71.56	71.62	92
G <sub>CIE</sub>	52.23	-42.41	13.6	44.55	162
B <sub>CIE</sub>	30.57	1.41	-46.46	46.49	272

Daten für Maximalfarbe (Ma):

$LAB^*LAB^*_{Ma}$ : 87 -2 83

$LAB^*LCH^*_{Ma}$ : 87 83 92

$lab^*rgb^*_{Ma}$ : 1.0 1.0 0.0

$lab^*olv^*_{Ma}$ : 1.0 0.91 0.0

Dreiecks-Helligkeit  $i^*$

%Umfang

$u^*_{rel} = 89$

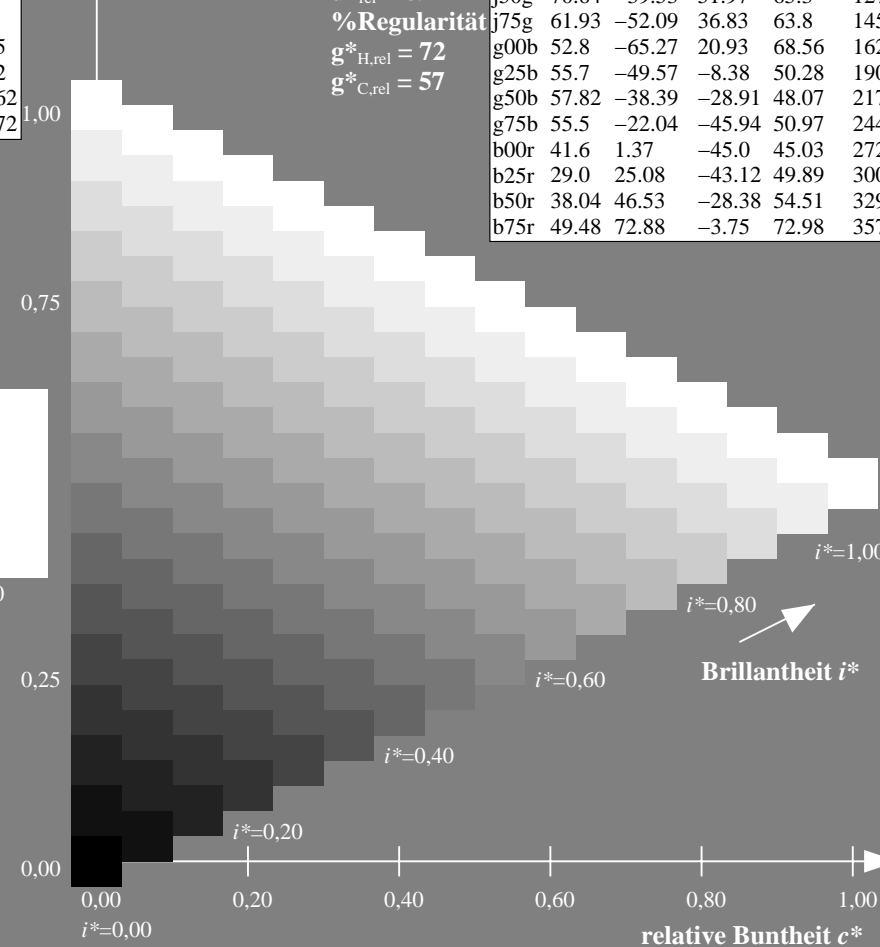
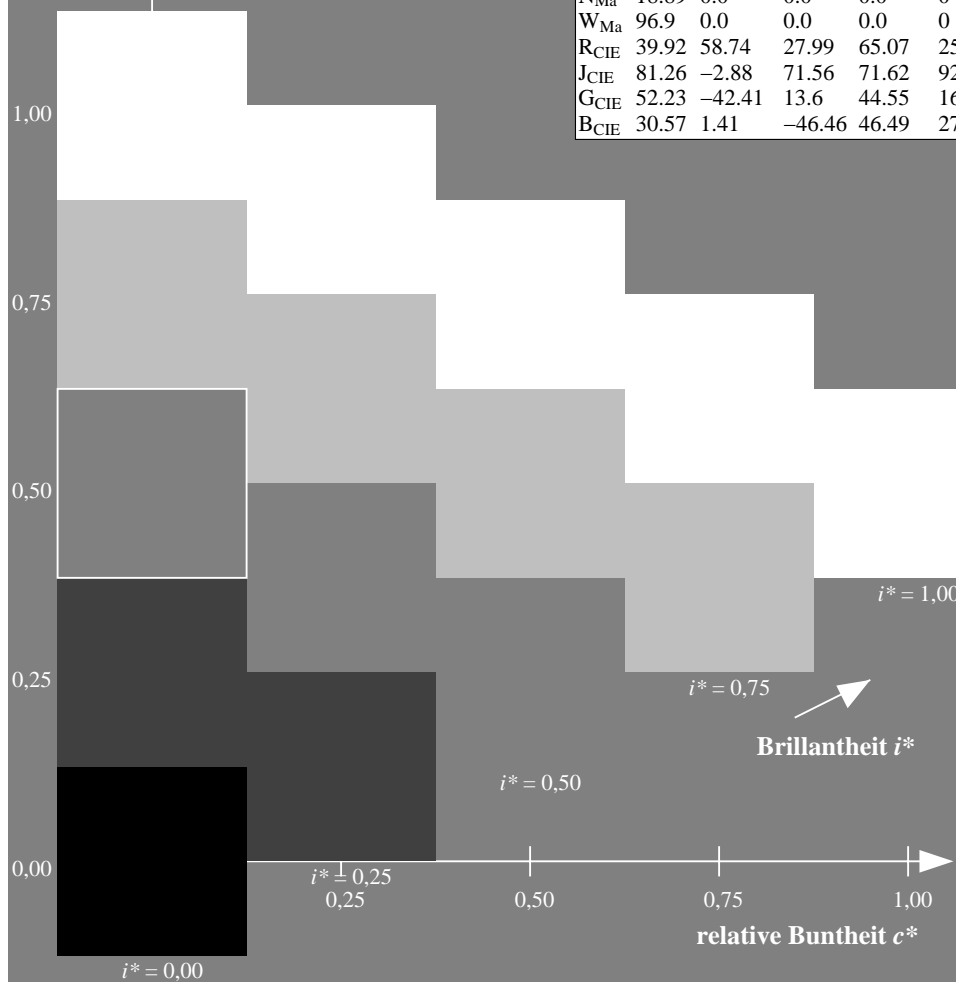
%Regularität

$g^*_{H,rel} = 72$

$g^*_{C,rel} = 57$

ORS19\_96a; adaptierte CIELAB-Daten

	$L^* = L^*_a$	$a^*_a$	$b^*_a$	$C^*_{ab,a}$	$h^*_{ab,a}$
r00j	48.88	66.47	31.67	73.63	25
r25j	55.85	52.39	47.48	70.7	42
r50j	65.45	35.22	58.37	68.17	59
r75j	75.19	17.82	69.41	71.66	76
j00g	87.03	-3.34	82.83	82.9	92
j25g	80.72	-25.0	69.5	73.86	110
j50g	70.64	-39.53	51.97	65.3	127
j75g	61.93	-52.09	36.83	63.8	145
g00b	52.8	-65.27	20.93	68.56	162
g25b	55.7	-49.57	-8.38	50.28	190
g50b	57.82	-38.39	-28.91	48.07	217
g75b	55.5	-22.04	-45.94	50.97	244
b00r	41.6	1.37	-45.0	45.03	272
b25r	29.0	25.08	-43.12	49.89	300
b50r	38.04	46.53	-28.38	54.51	329
b75r	49.48	72.88	-3.75	72.98	357



Ein und Ausgabe: Farbmetrisches Drucker-Reflektiv-System ORS19\_96a für relativen CIELAB-Buntton  $h^* = lab^*h^* = h_{ab}/360 = 110/360 = 0.305$

Daten für jede Farbe:

$lab^*ch^*$  und  $lab^*icu^*$

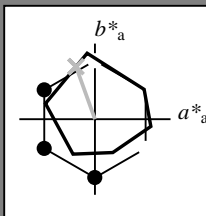
Elementar-Bunttonext:

$u^* = j25g$

Kontrastreduzierungsfaktor:

$c_R = 1.0$

Dreiecks-Helligkeit  $i^*$



ORS19_96a; adaptierte CIELAB-Daten					
	$L^*=L^*_a$	$a^*_a$	$b^*_a$	$C^*_{ab,a}$	$h^*_{ab,a}$
O <sub>Ma</sub>	48.75	65.07	39.43	76.08	31
Y <sub>Ma</sub>	90.92	-10.28	87.24	87.85	97
L <sub>Ma</sub>	52.69	-65.43	20.75	68.65	162
C <sub>Ma</sub>	59.61	-28.97	-46.21	54.56	238
V <sub>Ma</sub>	28.39	23.63	-44.12	50.06	298
M <sub>Ma</sub>	49.58	73.93	-9.55	74.55	353
N <sub>Ma</sub>	18.89	0.0	0.0	0.0	0
W <sub>Ma</sub>	96.9	0.0	0.0	0.0	0
R <sub>CIE</sub>	39.92	58.74	27.99	65.07	25
J <sub>CIE</sub>	81.26	-2.88	71.56	71.62	92
G <sub>CIE</sub>	52.23	-42.41	13.6	44.55	162
B <sub>CIE</sub>	30.57	1.41	-46.46	46.49	272

Daten für Maximalfarbe (Ma):

$LAB^*LAB^*_{Ma}$ : 81 -24 69

$LAB^*LCH^*_{Ma}$ : 81 74 110

$lab^*rgb^*_{Ma}$ : 0.75 1.0 0.0

$lab^*olv^*_{Ma}$ : 0.73 1.0 0.0

Dreiecks-Helligkeit  $i^*$

%Umfang

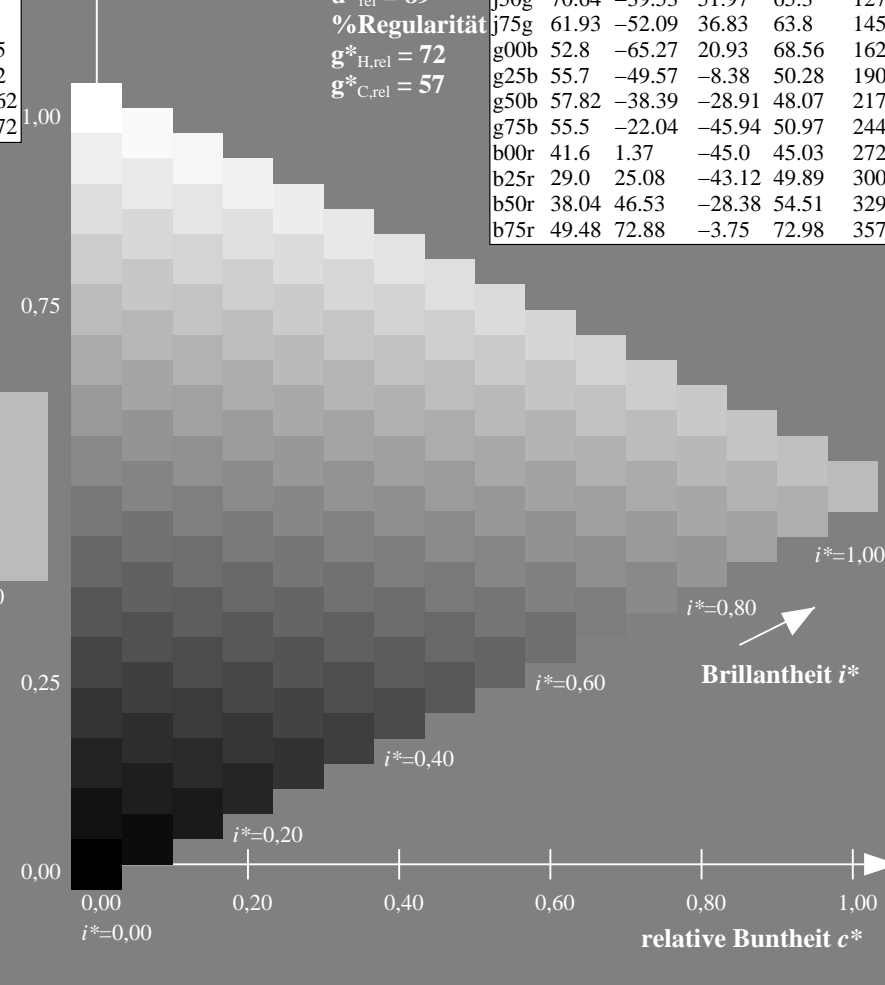
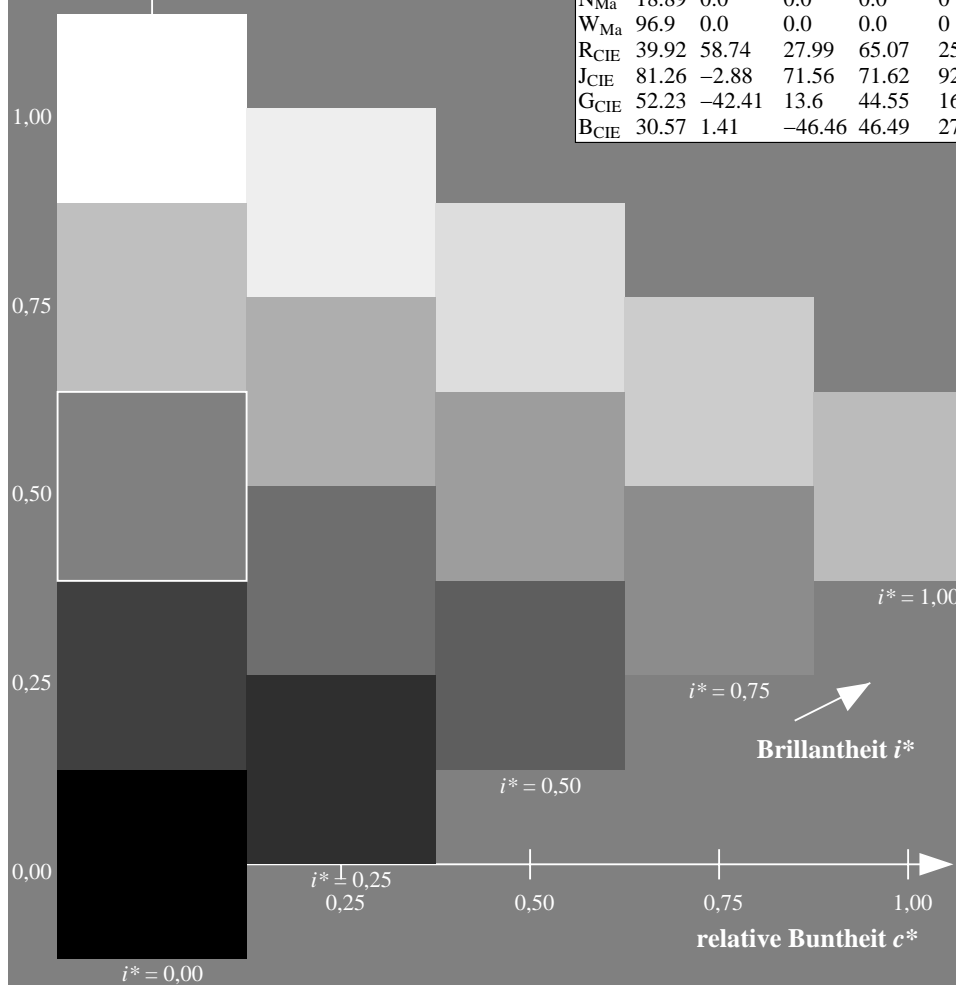
$u^*_{rel} = 89$

%Regularität

$g^*_{H,rel} = 72$

$g^*_{C,rel} = 57$

ORS19_96a; adaptierte CIELAB-Daten					
	$L^*=L^*_a$	$a^*_a$	$b^*_a$	$C^*_{ab,a}$	$h^*_{ab,a}$
r00j	48.88	66.47	31.67	73.63	25
r25j	55.85	52.39	47.48	70.7	42
r50j	65.45	35.22	58.37	68.17	59
r75j	75.19	17.82	69.41	71.66	76
j00g	87.03	-3.34	82.83	82.9	92
j25g	80.72	-25.0	69.5	73.86	110
j50g	70.64	-39.53	51.97	65.3	127
j75g	61.93	-52.09	36.83	63.8	145
g00b	52.8	-65.27	20.93	68.56	162
g25b	55.7	-49.57	-8.38	50.28	190
g50b	57.82	-38.39	-28.91	48.07	217
g75b	55.5	-22.04	-45.94	50.97	244
b00r	41.6	1.37	-45.0	45.03	272
b25r	29.0	25.08	-43.12	49.89	300
b50r	38.04	46.53	-28.38	54.51	329
b75r	49.48	72.88	-3.75	72.98	357



Ein und Ausgabe: Farbmetrisches Drucker-Reflektiv-System ORS19\_96a für relativen CIELAB-Buntton  $h^* = lab^*h^* = h_{ab}/360 = 127/360 = 0.354$

Daten für jede Farbe:

$lab^*ch^*$  und  $lab^*icu^*$

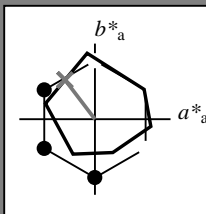
Elementar-Bunttontext:

$u^* = j50g$

Kontrastreduzierungsfaktor:

$c_R = 1.0$

Dreiecks-Helligkeit  $i^*$



ORS19_96a; adaptierte CIELAB-Daten					
	$L^* = \bar{L}_a^*$	$a_a^*$	$b_a^*$	$C_{ab,a}^*$	$h_{ab,a}^*$
O <sub>Ma</sub>	48.75	65.07	39.43	76.08	31
Y <sub>Ma</sub>	90.92	-10.28	87.24	87.85	97
L <sub>Ma</sub>	52.69	-65.43	20.75	68.65	162
C <sub>Ma</sub>	59.61	-28.97	-46.21	54.56	238
V <sub>Ma</sub>	28.39	23.63	-44.12	50.06	298
M <sub>Ma</sub>	49.58	73.93	-9.55	74.55	353
N <sub>Ma</sub>	18.89	0.0	0.0	0.0	0
W <sub>Ma</sub>	96.9	0.0	0.0	0.0	0
R <sub>CIE</sub>	39.92	58.74	27.99	65.07	25
J <sub>CIE</sub>	81.26	-2.88	71.56	71.62	92
G <sub>CIE</sub>	52.23	-42.41	13.6	44.55	162
B <sub>CIE</sub>	30.57	1.41	-46.46	46.49	272

Daten für Maximalfarbe (Ma):

$LAB^*LAB^*Ma$ : 71 -39 52

$LAB^*LCH^*Ma$ : 71 65 127

$lab^*rgb^*Ma$ : 0.5 1.0 0.0

$lab^*olv^*Ma$ : 0.47 1.0 0.0

Dreiecks-Helligkeit  $i^*$

%Umfang

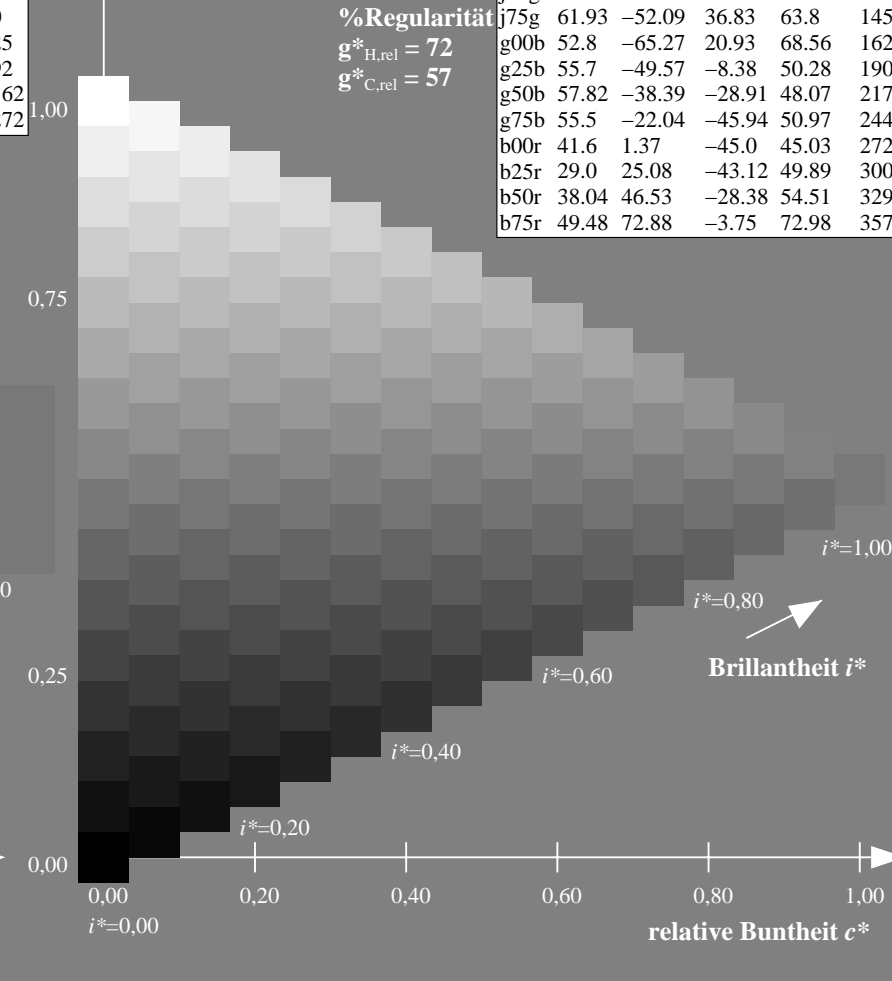
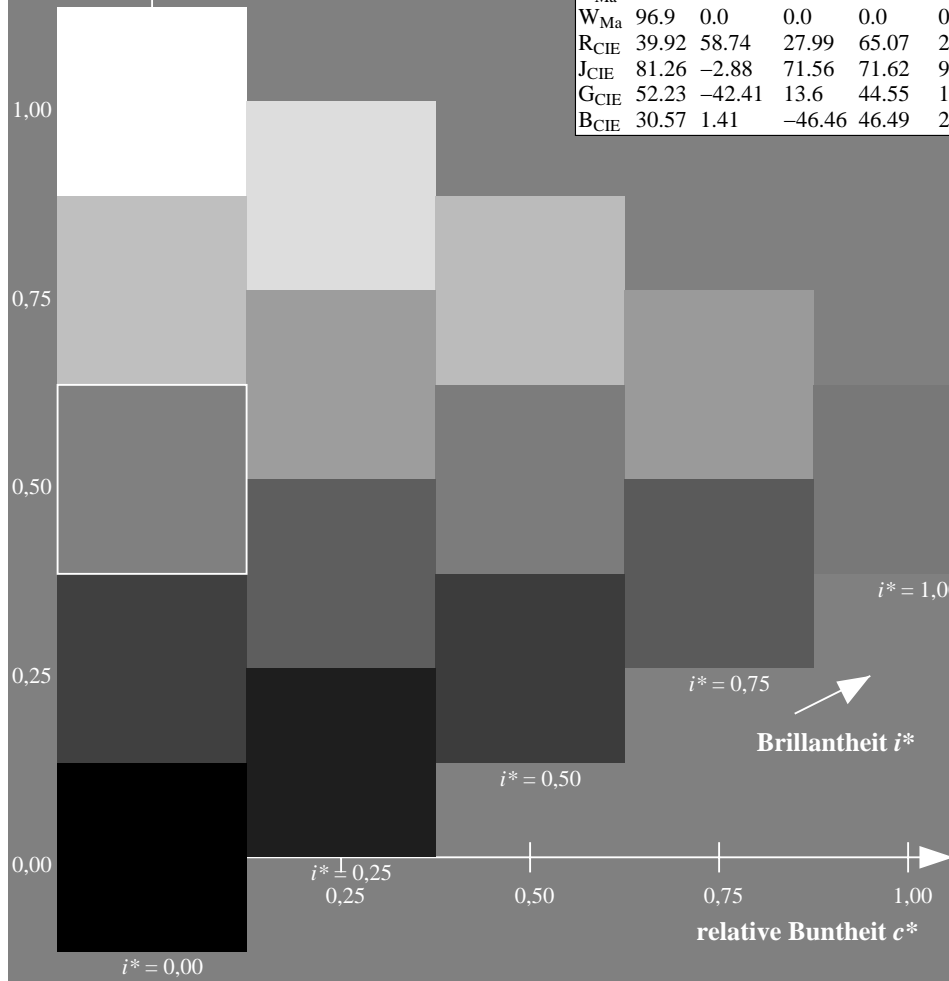
$u^*_{rel} = 89$

%Regularität

$g^*_{H,rel} = 72$

$g^*_{C,rel} = 57$

ORS19_96a; adaptierte CIELAB-Daten					
	$L^* = \bar{L}_a^*$	$a_a^*$	$b_a^*$	$C_{ab,a}^*$	$h_{ab,a}^*$
r00j	48.88	66.47	31.67	73.63	25
r25j	55.85	52.39	47.48	70.7	42
r50j	65.45	35.22	58.37	68.17	59
r75j	75.19	17.82	69.41	71.66	76
j00g	87.03	-3.34	82.83	82.9	92
j25g	80.72	-25.0	69.5	73.86	110
j50g	70.64	-39.53	51.97	65.3	127
j75g	61.93	-52.09	36.83	63.8	145
g00b	52.8	-65.27	20.93	68.56	162
g25b	55.7	-49.57	-8.38	50.28	190
g50b	57.82	-38.39	-28.91	48.07	217
g75b	55.5	-22.04	-45.94	50.97	244
b00r	41.6	1.37	-45.0	45.03	272
b25r	29.0	25.08	-43.12	49.89	300
b50r	38.04	46.53	-28.38	54.51	329
b75r	49.48	72.88	-3.75	72.98	357





Ein und Ausgabe: Farbmetrisches Drucker-Reflektiv-System ORS19\_96a für relativen CIELAB-Buntton  $h^* = lab^*h^* = h_{ab}/360 = 145/360 = 0.402$

Daten für jede Farbe:

$lab^*ch^*$  und  $lab^*icu^*$

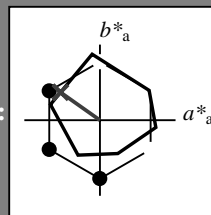
Elementar-Bunttontext:

$u^* = j75g$

Kontrastreduzierungsfaktor:

$c_R = 1.0$

Dreiecks-Helligkeit  $i^*$



ORS19\_96a; adaptierte CIELAB-Daten

	$L^* = \bar{L}_a^*$	$a_a^*$	$b_a^*$	$C_{ab,a}^*$	$h_{ab,a}^*$
O <sub>Ma</sub>	48.75	65.07	39.43	76.08	31
Y <sub>Ma</sub>	90.92	-10.28	87.24	87.85	97
L <sub>Ma</sub>	52.69	-65.43	20.75	68.65	162
C <sub>Ma</sub>	59.61	-28.97	-46.21	54.56	238
V <sub>Ma</sub>	28.39	23.63	-44.12	50.06	298
M <sub>Ma</sub>	49.58	73.93	-9.55	74.55	353
N <sub>Ma</sub>	18.89	0.0	0.0	0.0	0
W <sub>Ma</sub>	96.9	0.0	0.0	0.0	0
R <sub>CIE</sub>	39.92	58.74	27.99	65.07	25
J <sub>CIE</sub>	81.26	-2.88	71.56	71.62	92
G <sub>CIE</sub>	52.23	-42.41	13.6	44.55	162
B <sub>CIE</sub>	30.57	1.41	-46.46	46.49	272

Daten für Maximalfarbe (Ma):

$LAB^*LAB^*Ma$ : 62 -51 37

$LAB^*LCH^*Ma$ : 62 64 145

$lab^*rgb^*Ma$ : 0.25 1.0 0.0

$lab^*olv^*Ma$ : 0.24 1.0 0.0

Dreiecks-Helligkeit  $i^*$

%Umfang

$u^*_{rel} = 89$

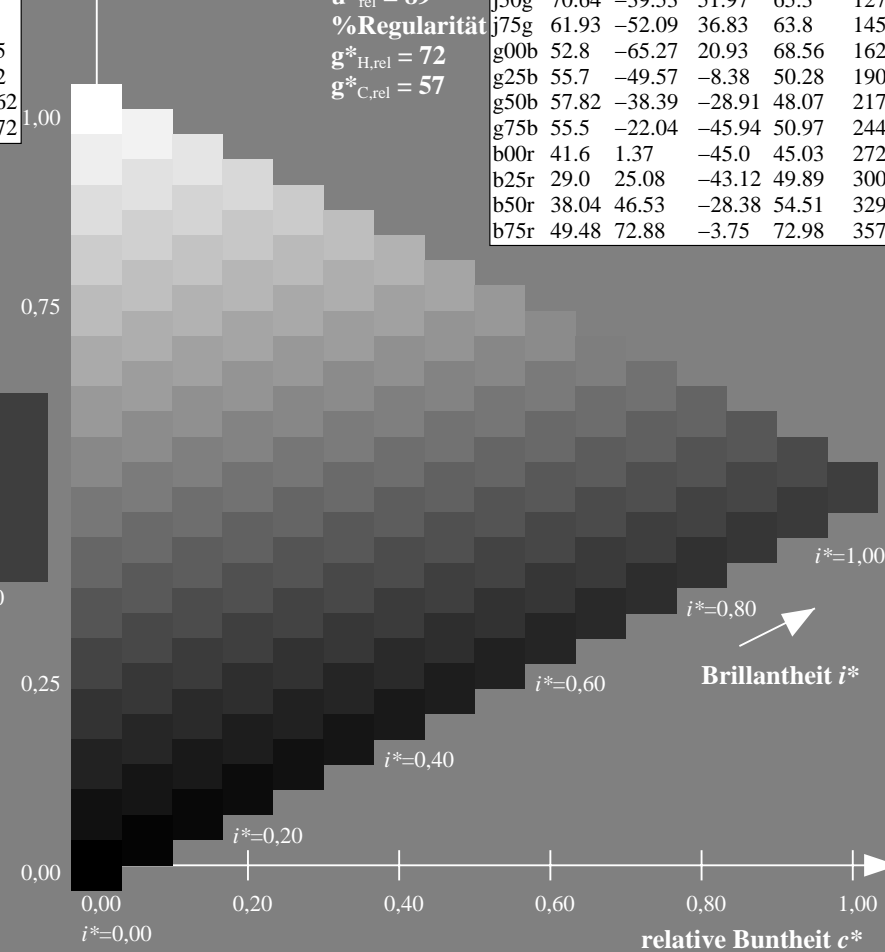
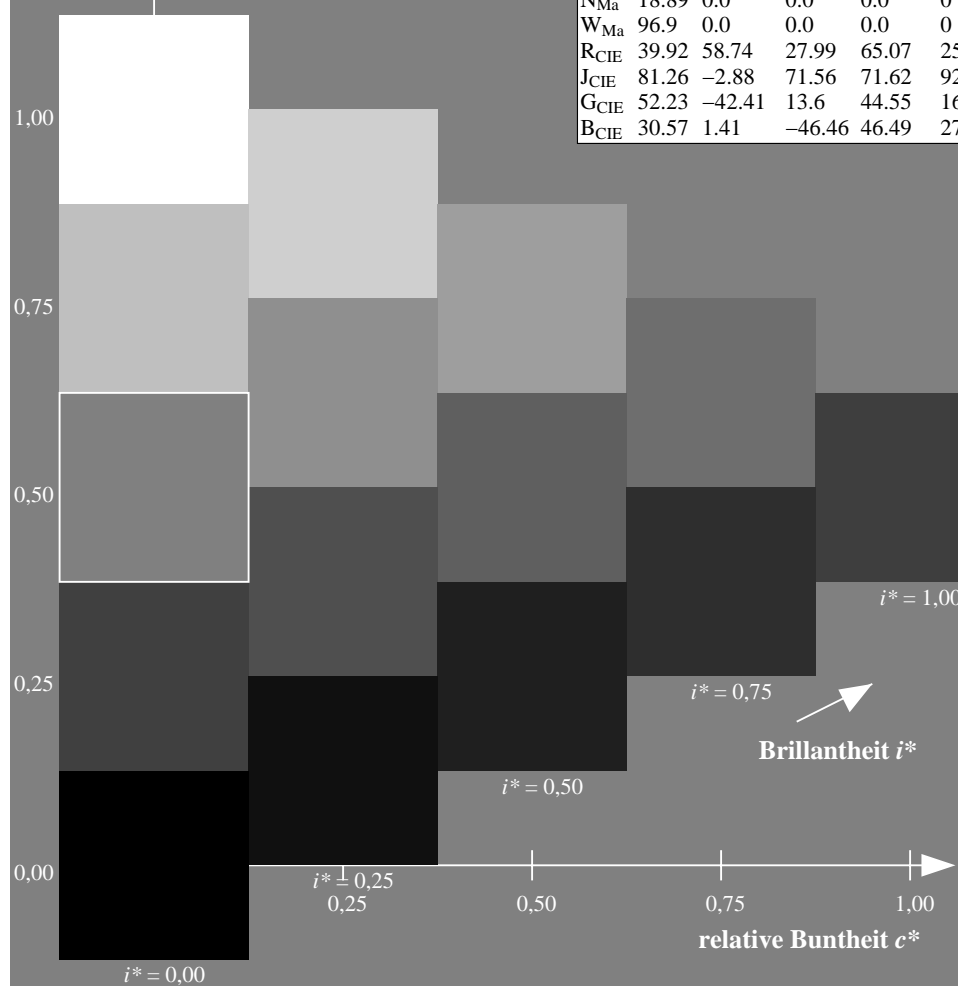
%Regularität

$g^*_{H,rel} = 72$

$g^*_{C,rel} = 57$

ORS19\_96a; adaptierte CIELAB-Daten

	$L^* = \bar{L}_a^*$	$a_a^*$	$b_a^*$	$C_{ab,a}^*$	$h_{ab,a}^*$
r00j	48.88	66.47	31.67	73.63	25
r25j	55.85	52.39	47.48	70.7	42
r50j	65.45	35.22	58.37	68.17	59
r75j	75.19	17.82	69.41	71.66	76
j00g	87.03	-3.34	82.83	82.9	92
j25g	80.72	-25.0	69.5	73.86	110
j50g	70.64	-39.53	51.97	65.3	127
j75g	61.93	-52.09	36.83	63.8	145
g00b	52.8	-65.27	20.93	68.56	162
g25b	55.7	-49.57	-8.38	50.28	190
g50b	57.82	-38.39	-28.91	48.07	217
g75b	55.5	-22.04	-45.94	50.97	244
b00r	41.6	1.37	-45.0	45.03	272
b25r	29.0	25.08	-43.12	49.89	300
b50r	38.04	46.53	-28.38	54.51	329
b75r	49.48	72.88	-3.75	72.98	357



Ein und Ausgabe: Farbmétrisches Drucker-Reflektiv-System ORS19\_96a für relativen CIELAB-Buntton  $h^* = lab^*h^* = h_{ab}/360 = 162/360 = 0.451$

Daten für jede Farbe:

$lab^*ch^*$  und  $lab^*icu^*$

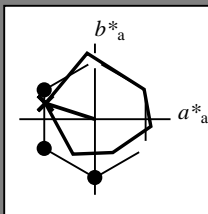
Elementar-Bunttoncontext:

$u^* = g00b$

Kontrastreduzierungsfaktor:

$c_R = 1.0$

Dreiecks-Helligkeit  $i^*$



ORS19\_96a; adaptierte CIELAB-Daten

	$L^* = \bar{L}_a^*$	$a_a^*$	$b_a^*$	$C_{ab,a}^*$	$h_{ab,a}^*$
O <sub>Ma</sub>	48.75	65.07	39.43	76.08	31
Y <sub>Ma</sub>	90.92	-10.28	87.24	87.85	97
L <sub>Ma</sub>	52.69	-65.43	20.75	68.65	162
C <sub>Ma</sub>	59.61	-28.97	-46.21	54.56	238
V <sub>Ma</sub>	28.39	23.63	-44.12	50.06	298
M <sub>Ma</sub>	49.58	73.93	-9.55	74.55	353
N <sub>Ma</sub>	18.89	0.0	0.0	0.0	0
W <sub>Ma</sub>	96.9	0.0	0.0	0.0	0
R <sub>CIE</sub>	39.92	58.74	27.99	65.07	25
J <sub>CIE</sub>	81.26	-2.88	71.56	71.62	92
G <sub>CIE</sub>	52.23	-42.41	13.6	44.55	162
B <sub>CIE</sub>	30.57	1.41	-46.46	46.49	272

Daten für Maximalfarbe (Ma):

$LAB^*LAB^*Ma$ : 53 -64 21

$LAB^*LCH^*Ma$ : 53 69 162

$lab^*rgb^*Ma$ : 0.0 1.0 0.0

$lab^*olv^*Ma$ : 0.0 1.0 0.0

Dreiecks-Helligkeit  $i^*$

%Umfang

$u^*_{rel} = 89$

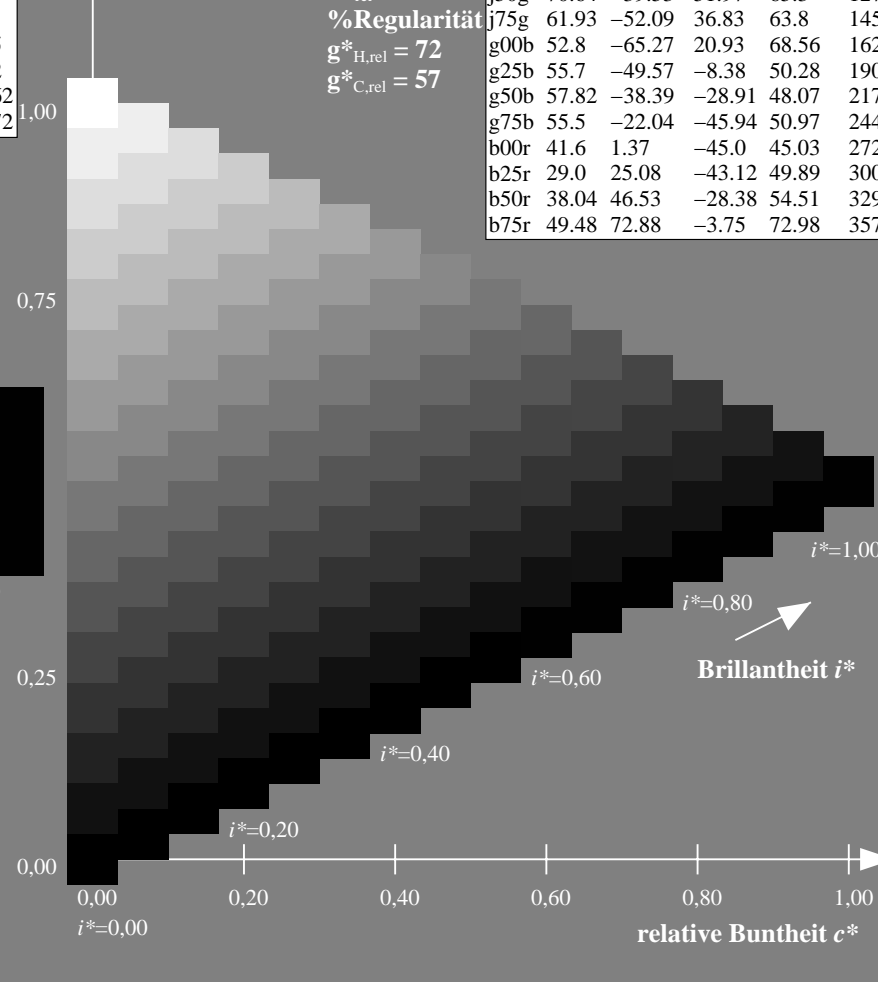
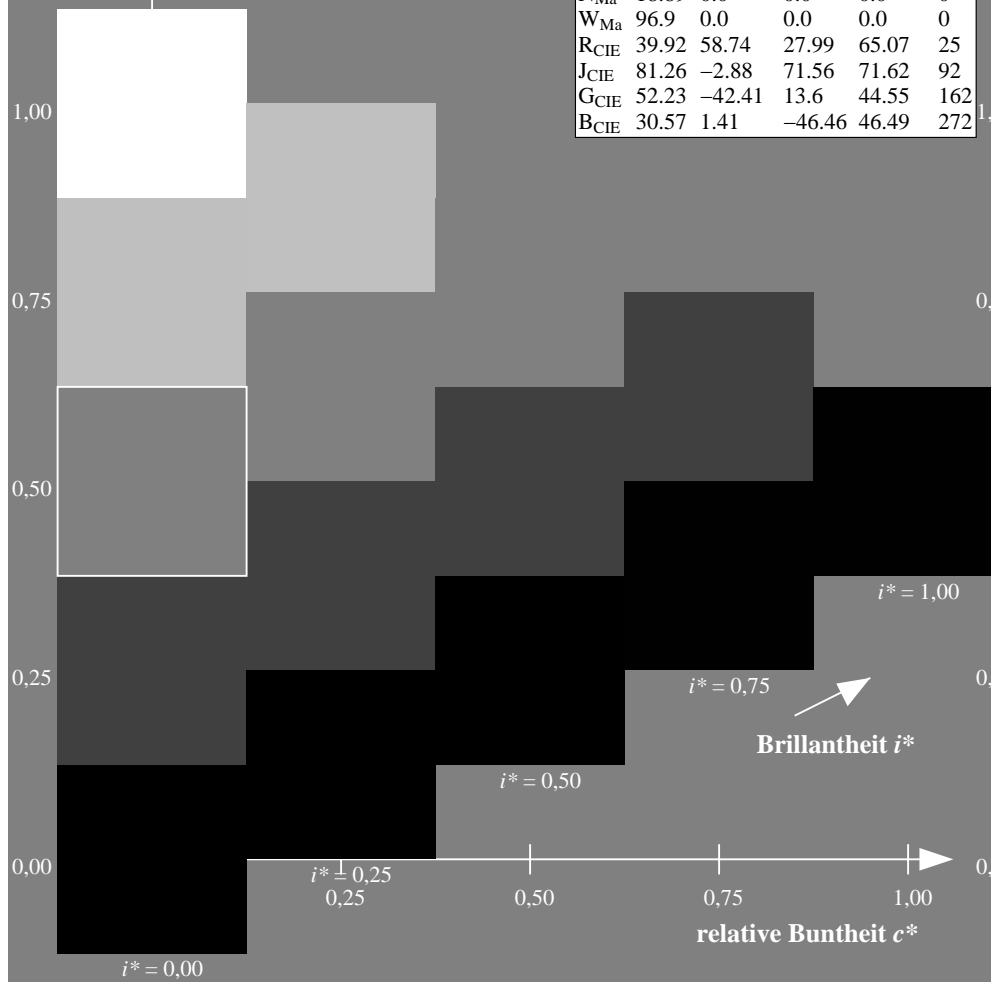
%Regularität

$g^*_{H,rel} = 72$

$g^*_{C,rel} = 57$

ORS19\_96a; adaptierte CIELAB-Daten

	$L^* = \bar{L}_a^*$	$a_a^*$	$b_a^*$	$C_{ab,a}^*$	$h_{ab,a}^*$
r00j	48.88	66.47	31.67	73.63	25
r25j	55.85	52.39	47.48	70.7	42
r50j	65.45	35.22	58.37	68.17	59
r75j	75.19	17.82	69.41	71.66	76
j00g	87.03	-3.34	82.83	82.9	92
j25g	80.72	-25.0	69.5	73.86	110
j50g	70.64	-39.53	51.97	65.3	127
j75g	61.93	-52.09	36.83	63.8	145
g00b	52.8	-65.27	20.93	68.56	162
g25b	55.7	-49.57	-8.38	50.28	190
g50b	57.82	-38.39	-28.91	48.07	217
g75b	55.5	-22.04	-45.94	50.97	244
b00r	41.6	1.37	-45.0	45.03	272
b25r	29.0	25.08	-43.12	49.89	300
b50r	38.04	46.53	-28.38	54.51	329
b75r	49.48	72.88	-3.75	72.98	357



Ein und Ausgabe: Farbmetrisches Drucker-Reflektiv-System ORS19\_96a für relativen CIELAB-Buntton  $h^* = lab^*h^* = h_{ab}/360 = 190/360 = 0.527$

Daten für jede Farbe:

$lab^*ch^*$  und  $lab^*icu^*$

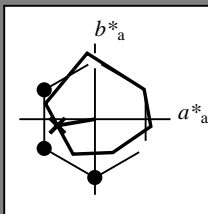
Elementar-Bunttoncontext:

$u^* = g25b$

Kontrastreduzierungsfaktor:

$c_R = 1.0$

Dreiecks-Helligkeit  $i^*$



ORS19\_96a; adaptierte CIELAB-Daten

	$L^* = \bar{L}_a^*$	$a_a^*$	$b_a^*$	$C_{ab,a}^*$	$h_{ab,a}^*$
O <sub>Ma</sub>	48.75	65.07	39.43	76.08	31
Y <sub>Ma</sub>	90.92	-10.28	87.24	87.85	97
L <sub>Ma</sub>	52.69	-65.43	20.75	68.65	162
C <sub>Ma</sub>	59.61	-28.97	-46.21	54.56	238
V <sub>Ma</sub>	28.39	23.63	-44.12	50.06	298
M <sub>Ma</sub>	49.58	73.93	-9.55	74.55	353
N <sub>Ma</sub>	18.89	0.0	0.0	0.0	0
W <sub>Ma</sub>	96.9	0.0	0.0	0.0	0
R <sub>CIE</sub>	39.92	58.74	27.99	65.07	25
J <sub>CIE</sub>	81.26	-2.88	71.56	71.62	92
G <sub>CIE</sub>	52.23	-42.41	13.6	44.55	162
B <sub>CIE</sub>	30.57	1.41	-46.46	46.49	272

Daten für Maximalfarbe (Ma):

$LAB^*LAB^*Ma$ : 56 -49 -7

$LAB^*LCH^*Ma$ : 56 50 190

$lab^*rgb^*Ma$ : 0.0 1.0 0.5

$lab^*olv^*Ma$ : 0.0 1.0 0.44

Dreiecks-Helligkeit  $i^*$

%Umfang

$u^*_{rel} = 89$

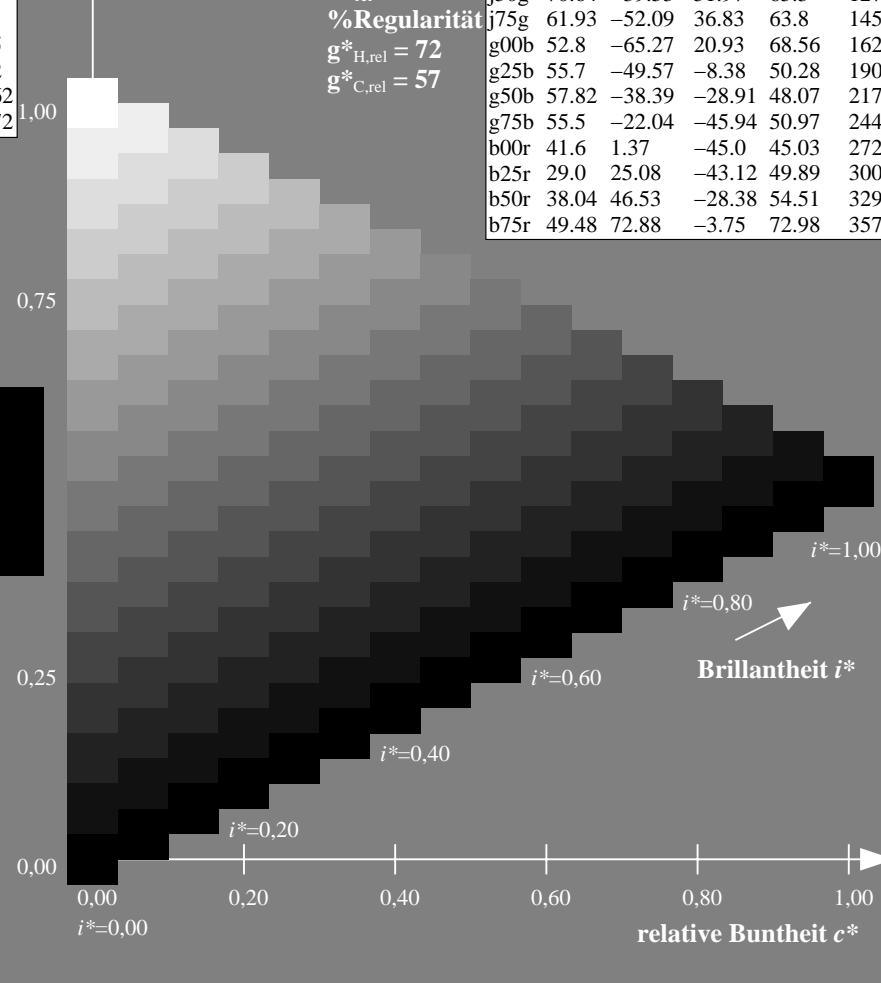
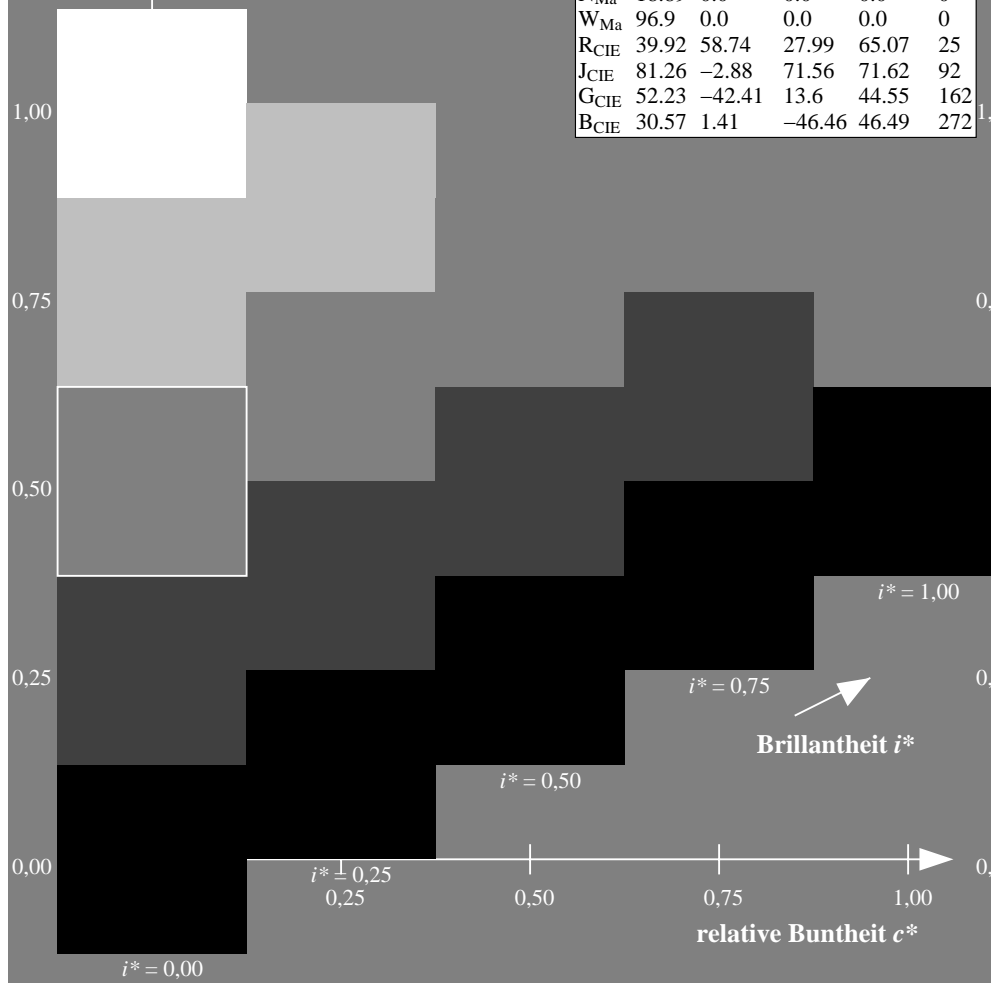
%Regularität

$g^*_{H,rel} = 72$

$g^*_{C,rel} = 57$

ORS19\_96a; adaptierte CIELAB-Daten

	$L^* = \bar{L}_a^*$	$a_a^*$	$b_a^*$	$C_{ab,a}^*$	$h_{ab,a}^*$
r00j	48.88	66.47	31.67	73.63	25
r25j	55.85	52.39	47.48	70.7	42
r50j	65.45	35.22	58.37	68.17	59
r75j	75.19	17.82	69.41	71.66	76
j00g	87.03	-3.34	82.83	82.9	92
j25g	80.72	-25.0	69.5	73.86	110
j50g	70.64	-39.53	51.97	65.3	127
j75g	61.93	-52.09	36.83	63.8	145
g00b	52.8	-65.27	20.93	68.56	162
g25b	55.7	-49.57	-8.38	50.28	190
g50b	57.82	-38.39	-28.91	48.07	217
g75b	55.5	-22.04	-45.94	50.97	244
b00r	41.6	1.37	-45.0	45.03	272
b25r	29.0	25.08	-43.12	49.89	300
b50r	38.04	46.53	-28.38	54.51	329
b75r	49.48	72.88	-3.75	72.98	357



Ein und Ausgabe: Farbmetrisches Drucker-Reflektiv-System ORS19\_96a für relativen CIELAB-Buntton  $h^* = lab^*h^* = h_{ab}/360 = 217/360 = 0.603$

Daten für jede Farbe:

$lab^*ch^*$  und  $lab^*icu^*$

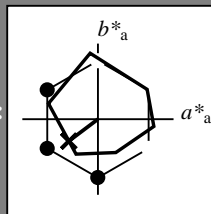
Elementar-Bunttoncontext:

$u^* = g50b$

Kontrastreduzierungsfaktor:

$c_R = 1.0$

Dreiecks-Helligkeit  $t^*$



ORS19\_96a; adaptierte CIELAB-Daten

	$L^* = \bar{L}_a^*$	$a_a^*$	$b_a^*$	$C_{ab,a}^*$	$h_{ab,a}^*$
O <sub>Ma</sub>	48.75	65.07	39.43	76.08	31
Y <sub>Ma</sub>	90.92	-10.28	87.24	87.85	97
L <sub>Ma</sub>	52.69	-65.43	20.75	68.65	162
C <sub>Ma</sub>	59.61	-28.97	-46.21	54.56	238
V <sub>Ma</sub>	28.39	23.63	-44.12	50.06	298
M <sub>Ma</sub>	49.58	73.93	-9.55	74.55	353
N <sub>Ma</sub>	18.89	0.0	0.0	0.0	0
W <sub>Ma</sub>	96.9	0.0	0.0	0.0	0
R <sub>CIE</sub>	39.92	58.74	27.99	65.07	25
J <sub>CIE</sub>	81.26	-2.88	71.56	71.62	92
G <sub>CIE</sub>	52.23	-42.41	13.6	44.55	162
B <sub>CIE</sub>	30.57	1.41	-46.46	46.49	272

Daten für Maximalfarbe (Ma):

$LAB^*LAB^*Ma$ : 58 -37 -28

$LAB^*LCH^*Ma$ : 58 48 217

$lab^*rgb^*Ma$ : 0.0 1.0 1.0

$lab^*olv^*Ma$ : 0.0 1.0 0.74

Dreiecks-Helligkeit  $t^*$

%Umfang

$u^*_{rel} = 89$

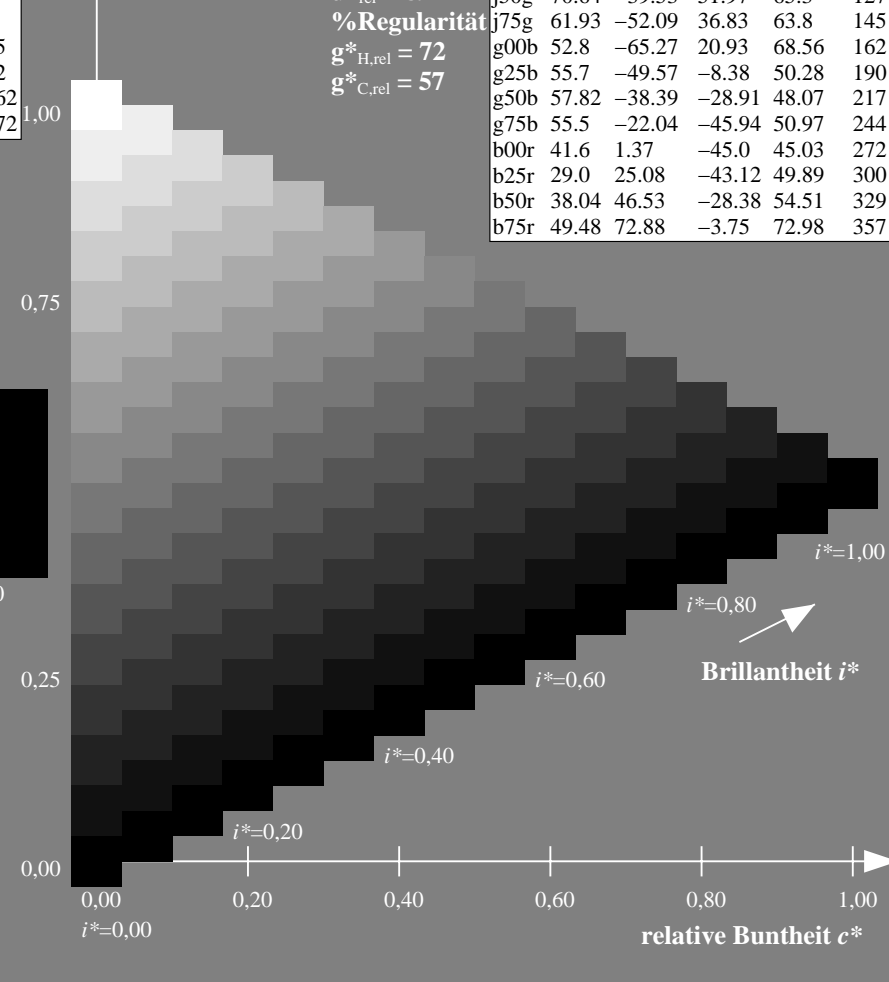
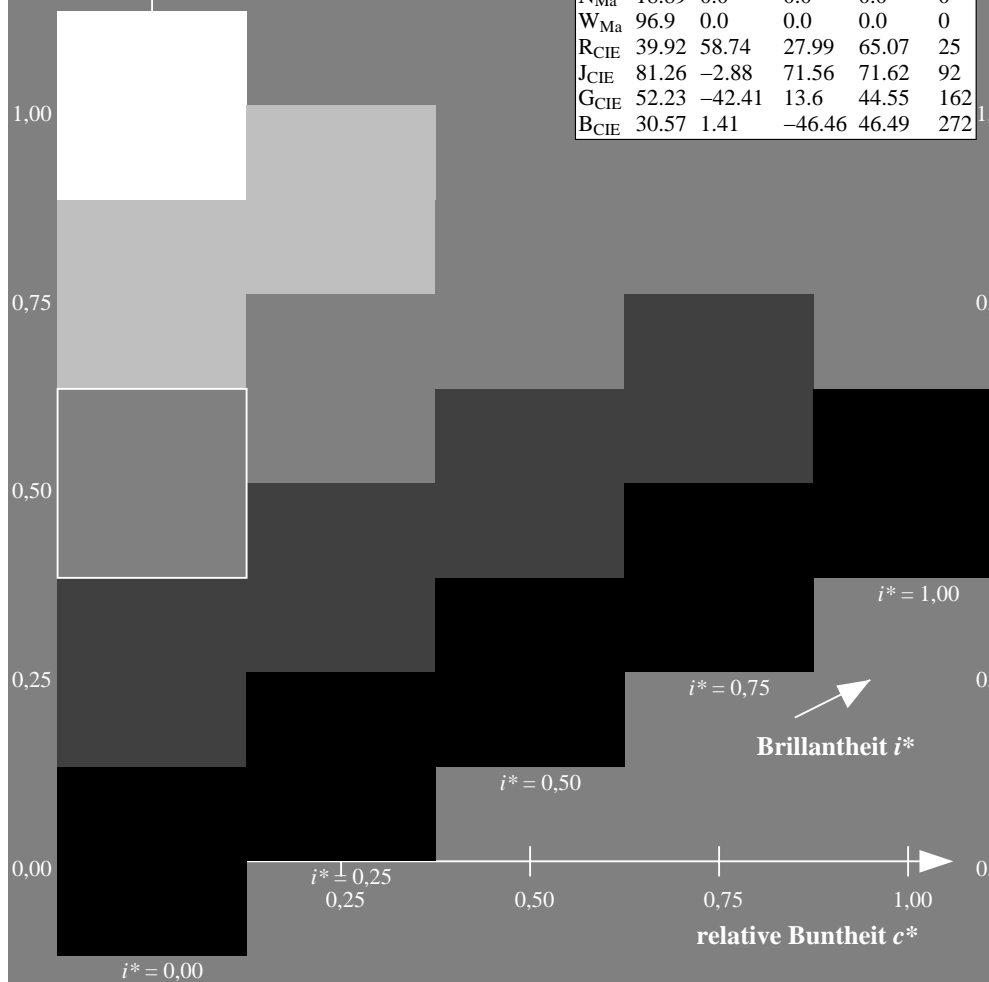
%Regularität

$g^*_{H,rel} = 72$

$g^*_{C,rel} = 57$

ORS19\_96a; adaptierte CIELAB-Daten

	$L^* = \bar{L}_a^*$	$a_a^*$	$b_a^*$	$C_{ab,a}^*$	$h_{ab,a}^*$
r00j	48.88	66.47	31.67	73.63	25
r25j	55.85	52.39	47.48	70.7	42
r50j	65.45	35.22	58.37	68.17	59
r75j	75.19	17.82	69.41	71.66	76
j00g	87.03	-3.34	82.83	82.9	92
j25g	80.72	-25.0	69.5	73.86	110
j50g	70.64	-39.53	51.97	65.3	127
j75g	61.93	-52.09	36.83	63.8	145
g00b	52.8	-65.27	20.93	68.56	162
g25b	55.7	-49.57	-8.38	50.28	190
g50b	57.82	-38.39	-28.91	48.07	217
g75b	55.5	-22.04	-45.94	50.97	244
b00r	41.6	1.37	-45.0	45.03	272
b25r	29.0	25.08	-43.12	49.89	300
b50r	38.04	46.53	-28.38	54.51	329
b75r	49.48	72.88	-3.75	72.98	357



Ein und Ausgabe: Farbmetrisches Drucker-Reflektiv-System ORS19\_96a für relativen CIELAB-Buntton  $h^* = lab^*h^* = h_{ab}/360 = 244/360 = 0.679$

Daten für jede Farbe:

$lab^*ch^*$  und  $lab^*icu^*$

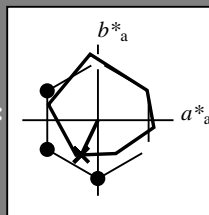
Elementar-Bunttoncontext:

$u^* = g75b$

Kontrastreduzierungsfaktor:

$c_R = 1.0$

Dreiecks-Helligkeit  $i^*$



ORS19_96a; adaptierte CIELAB-Daten					
	$L^* = \bar{L}_a^*$	$a_a^*$	$b_a^*$	$C_{ab,a}^*$	$h_{ab,a}^*$
O <sub>Ma</sub>	48.75	65.07	39.43	76.08	31
Y <sub>Ma</sub>	90.92	-10.28	87.24	87.85	97
L <sub>Ma</sub>	52.69	-65.43	20.75	68.65	162
C <sub>Ma</sub>	59.61	-28.97	-46.21	54.56	238
V <sub>Ma</sub>	28.39	23.63	-44.12	50.06	298
M <sub>Ma</sub>	49.58	73.93	-9.55	74.55	353
N <sub>Ma</sub>	18.89	0.0	0.0	0.0	0
W <sub>Ma</sub>	96.9	0.0	0.0	0.0	0
R <sub>CIE</sub>	39.92	58.74	27.99	65.07	25
J <sub>CIE</sub>	81.26	-2.88	71.56	71.62	92
G <sub>CIE</sub>	52.23	-42.41	13.6	44.55	162
B <sub>CIE</sub>	30.57	1.41	-46.46	46.49	272

Daten für Maximalfarbe (Ma):

$LAB^*LAB^*Ma$ : 55 -21 -45

$LAB^*LCH^*Ma$ : 55 51 244

$lab^*rgb^*Ma$ : 0.0 0.5 1.0

$lab^*olv^*Ma$ : 0.0 0.87 1.0

Dreiecks-Helligkeit  $i^*$

%Umfang

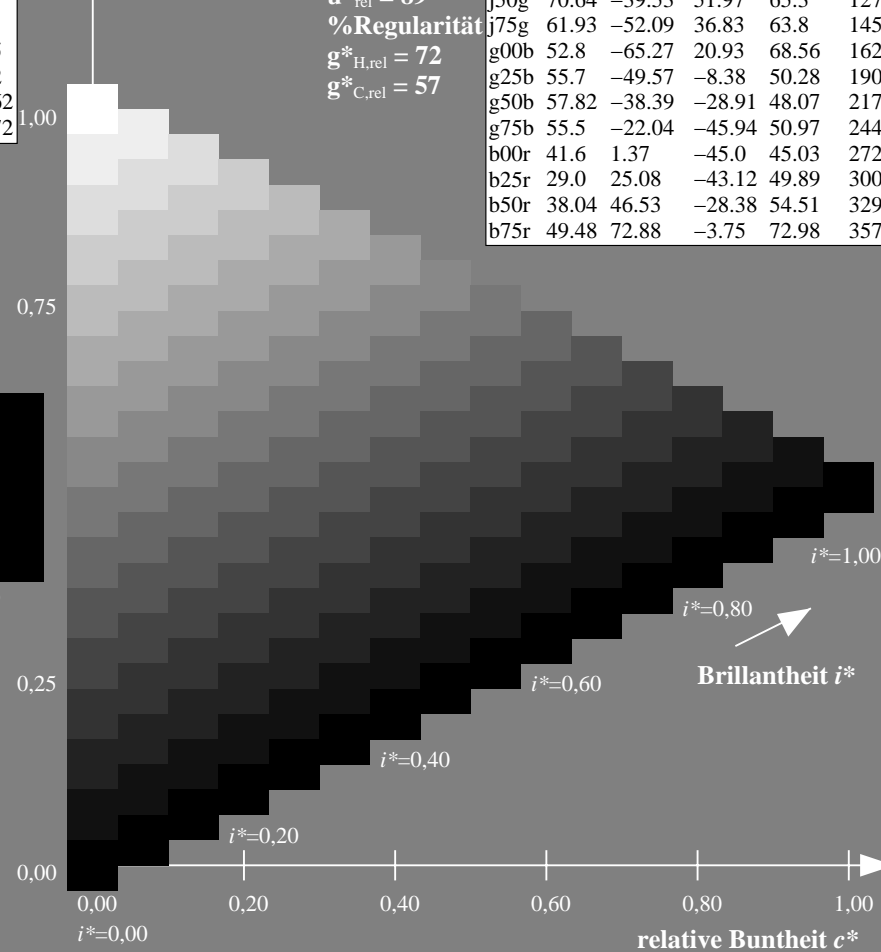
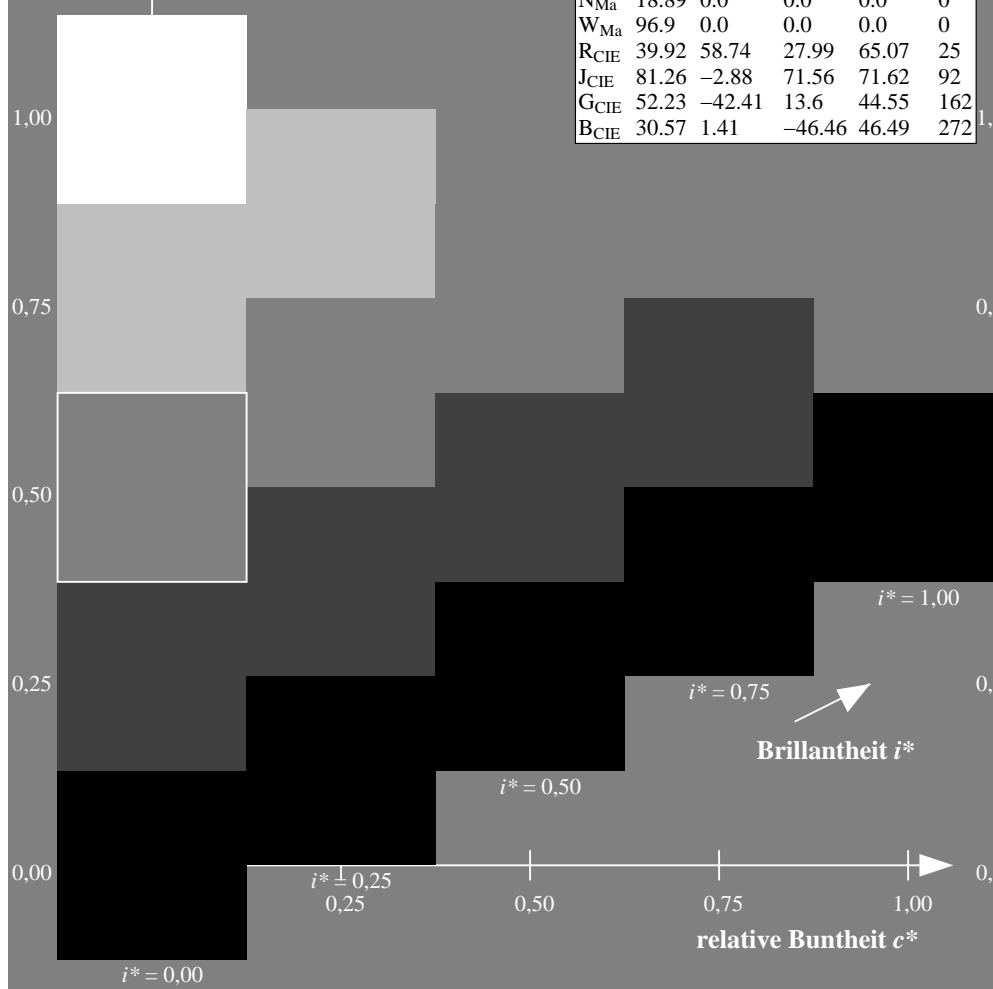
$u^*_{rel} = 89$

%Regularität

$g^*_{H,rel} = 72$

$g^*_{C,rel} = 57$

ORS19_96a; adaptierte CIELAB-Daten					
	$L^* = \bar{L}_a^*$	$a_a^*$	$b_a^*$	$C_{ab,a}^*$	$h_{ab,a}^*$
r00j	48.88	66.47	31.67	73.63	25
r25j	55.85	52.39	47.48	70.7	42
r50j	65.45	35.22	58.37	68.17	59
r75j	75.19	17.82	69.41	71.66	76
j00g	87.03	-3.34	82.83	82.9	92
j25g	80.72	-25.0	69.5	73.86	110
j50g	70.64	-39.53	51.97	65.3	127
j75g	61.93	-52.09	36.83	63.8	145
g00b	52.8	-65.27	20.93	68.56	162
g25b	55.7	-49.57	-8.38	50.28	190
g50b	57.82	-38.39	-28.91	48.07	217
g75b	55.5	-22.04	-45.94	50.97	244
b00r	41.6	1.37	-45.0	45.03	272
b25r	29.0	25.08	-43.12	49.89	300
b50r	38.04	46.53	-28.38	54.51	329
b75r	49.48	72.88	-3.75	72.98	357



Ein und Ausgabe: Farbmétrisches Drucker-Reflektiv-System ORS19\_96a für relativen CIELAB-Buntton  $h^* = lab^*h^* = h_{ab}/360 = 272/360 = 0.755$

Daten für jede Farbe:

$lab^*ch^*$  und  $lab^*icu^*$

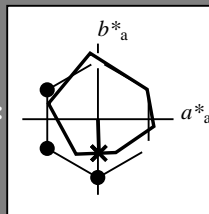
Elementar-Bunttoncontext:

$u^* = b00r$

Kontrastreduzierungsfaktor:

$c_R = 1.0$

Dreiecks-Helligkeit  $i^*$



ORS19\_96a; adaptierte CIELAB-Daten

	$L^* = \bar{L}_a^*$	$a_a^*$	$b_a^*$	$C_{ab,a}^*$	$h_{ab,a}^*$
O <sub>Ma</sub>	48.75	65.07	39.43	76.08	31
Y <sub>Ma</sub>	90.92	-10.28	87.24	87.85	97
L <sub>Ma</sub>	52.69	-65.43	20.75	68.65	162
C <sub>Ma</sub>	59.61	-28.97	-46.21	54.56	238
V <sub>Ma</sub>	28.39	23.63	-44.12	50.06	298
M <sub>Ma</sub>	49.58	73.93	-9.55	74.55	353
N <sub>Ma</sub>	18.89	0.0	0.0	0.0	0
W <sub>Ma</sub>	96.9	0.0	0.0	0.0	0
R <sub>CIE</sub>	39.92	58.74	27.99	65.07	25
J <sub>CIE</sub>	81.26	-2.88	71.56	71.62	92
G <sub>CIE</sub>	52.23	-42.41	13.6	44.55	162
B <sub>CIE</sub>	30.57	1.41	-46.46	46.49	272

Daten für Maximalfarbe (Ma):

$LAB^*LAB^*Ma$ : 42 1 -44

$LAB^*LCH^*Ma$ : 42 45 272

$lab^*rgb^*Ma$ : 0.0 0.0 1.0

$lab^*olv^*Ma$ : 0.0 0.42 1.0

Dreiecks-Helligkeit  $i^*$

%Umfang

$u^*_{rel} = 89$

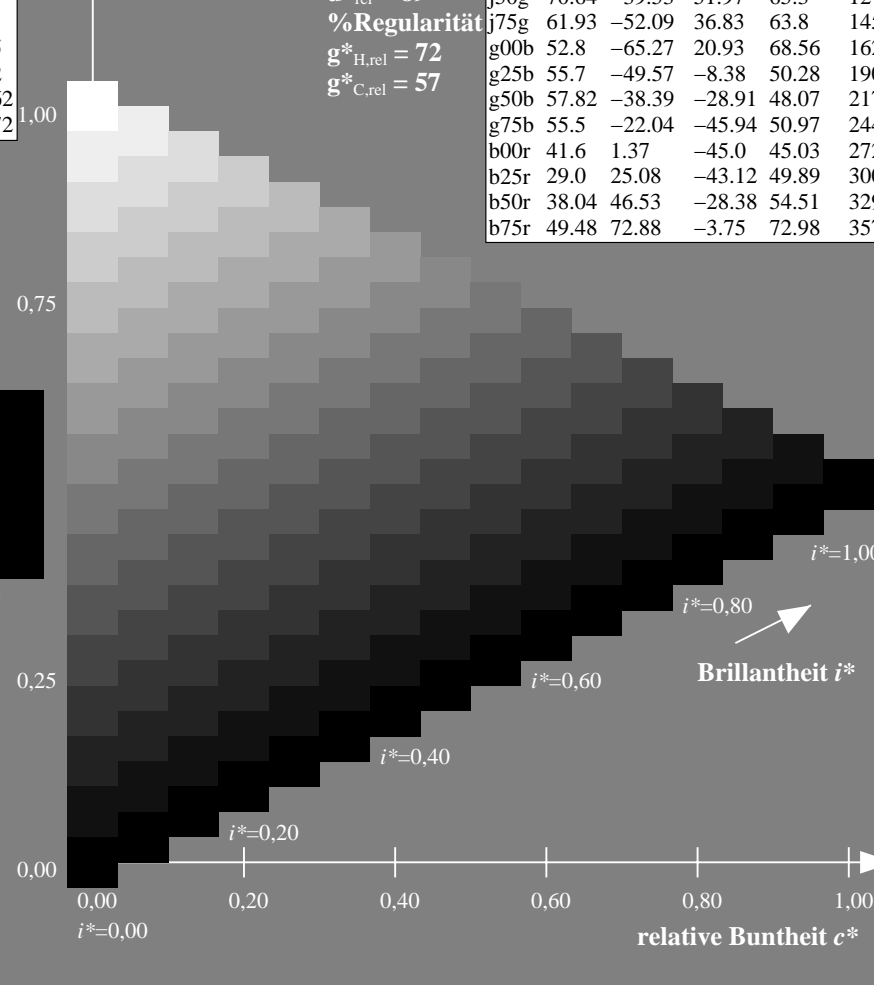
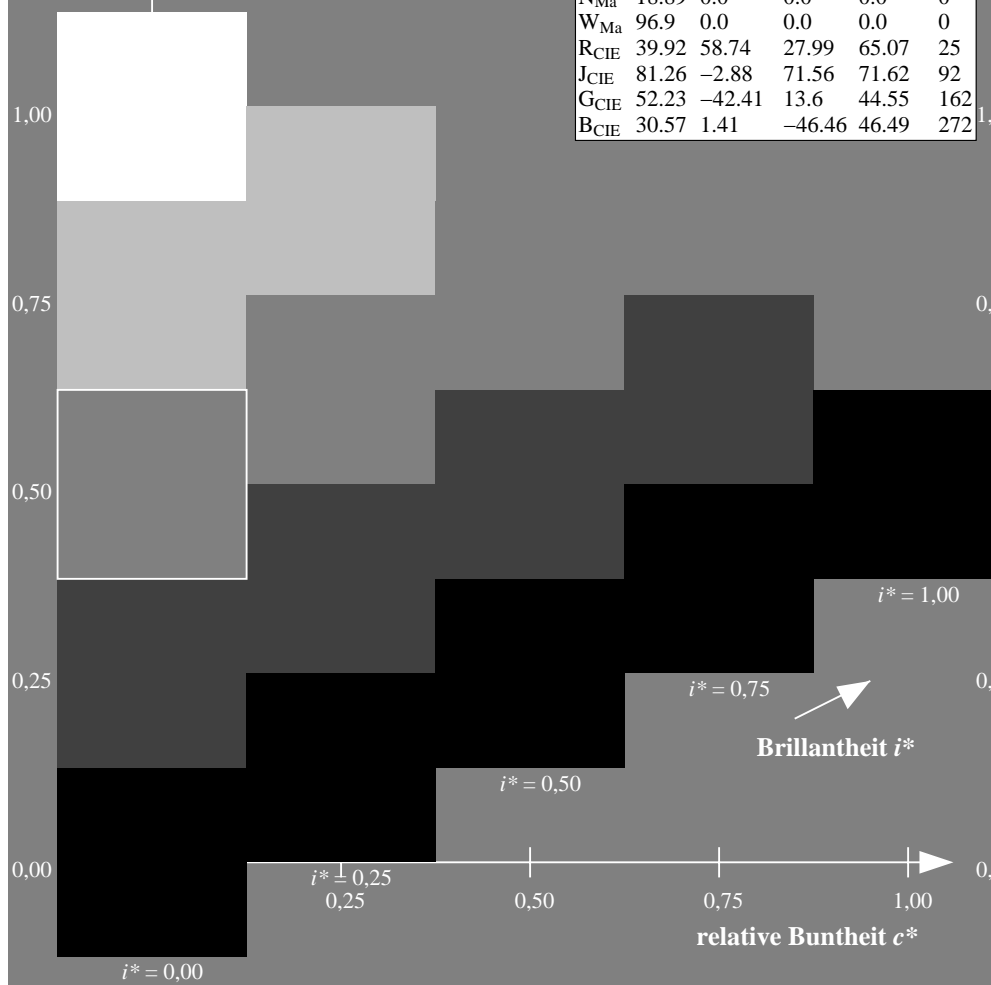
%Regularität

$g^*_{H,rel} = 72$

$g^*_{C,rel} = 57$

ORS19\_96a; adaptierte CIELAB-Daten

	$L^* = \bar{L}_a^*$	$a_a^*$	$b_a^*$	$C_{ab,a}^*$	$h_{ab,a}^*$
r00j	48.88	66.47	31.67	73.63	25
r25j	55.85	52.39	47.48	70.7	42
r50j	65.45	35.22	58.37	68.17	59
r75j	75.19	17.82	69.41	71.66	76
j00g	87.03	-3.34	82.83	82.9	92
j25g	80.72	-25.0	69.5	73.86	110
j50g	70.64	-39.53	51.97	65.3	127
j75g	61.93	-52.09	36.83	63.8	145
g00b	52.8	-65.27	20.93	68.56	162
g25b	55.7	-49.57	-8.38	50.28	190
g50b	57.82	-38.39	-28.91	48.07	217
g75b	55.5	-22.04	-45.94	50.97	244
b00r	41.6	1.37	-45.0	45.03	272
b25r	29.0	25.08	-43.12	49.89	300
b50r	38.04	46.53	-28.38	54.51	329
b75r	49.48	72.88	-3.75	72.98	357





Ein und Ausgabe: Farbmetrisches Drucker-Reflektiv-System ORS19\_96a für relativen CIELAB-Buntton  $h^* = lab^*h^* = h_{ab}/360 = 300/360 = 0.834$

Daten für jede Farbe:

$lab^*ch^*$  und  $lab^*icu^*$

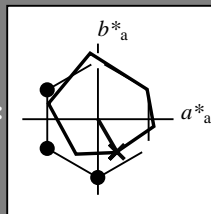
Elementar-Bunttoncontext:

$u^* = b25r$

Kontrastreduzierungsfaktor:

$c_R = 1.0$

Dreiecks-Helligkeit  $i^*$



ORS19\_96a; adaptierte CIELAB-Daten

	$L^* = \bar{L}^*_a$	$a^*_a$	$b^*_a$	$C^*_{ab,a}$	$h^*_{ab,a}$
O <sub>Ma</sub>	48.75	65.07	39.43	76.08	31
Y <sub>Ma</sub>	90.92	-10.28	87.24	87.85	97
L <sub>Ma</sub>	52.69	-65.43	20.75	68.65	162
C <sub>Ma</sub>	59.61	-28.97	-46.21	54.56	238
V <sub>Ma</sub>	28.39	23.63	-44.12	50.06	298
M <sub>Ma</sub>	49.58	73.93	-9.55	74.55	353
N <sub>Ma</sub>	18.89	0.0	0.0	0.0	0
W <sub>Ma</sub>	96.9	0.0	0.0	0.0	0
R <sub>CIE</sub>	39.92	58.74	27.99	65.07	25
J <sub>CIE</sub>	81.26	-2.88	71.56	71.62	92
G <sub>CIE</sub>	52.23	-42.41	13.6	44.55	162
B <sub>CIE</sub>	30.57	1.41	-46.46	46.49	272

Daten für Maximalfarbe (Ma):

$LAB^*LAB^*_{Ma}$ : 29 25 -42

$LAB^*LCH^*_{Ma}$ : 29 50 300

$lab^*rgb^*_{Ma}$ : 0.5 0.0 1.0

$lab^*olv^*_{Ma}$ : 0.03 0.0 1.0

Dreiecks-Helligkeit  $i^*$

%Umfang

$u^*_{rel} = 89$

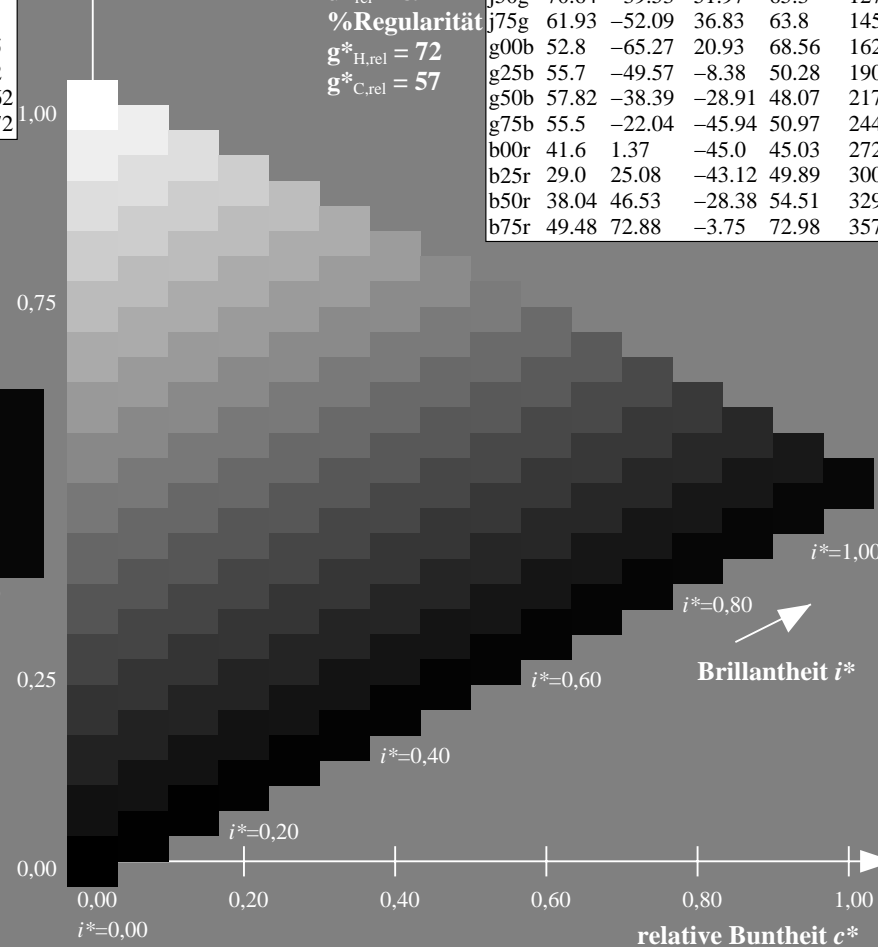
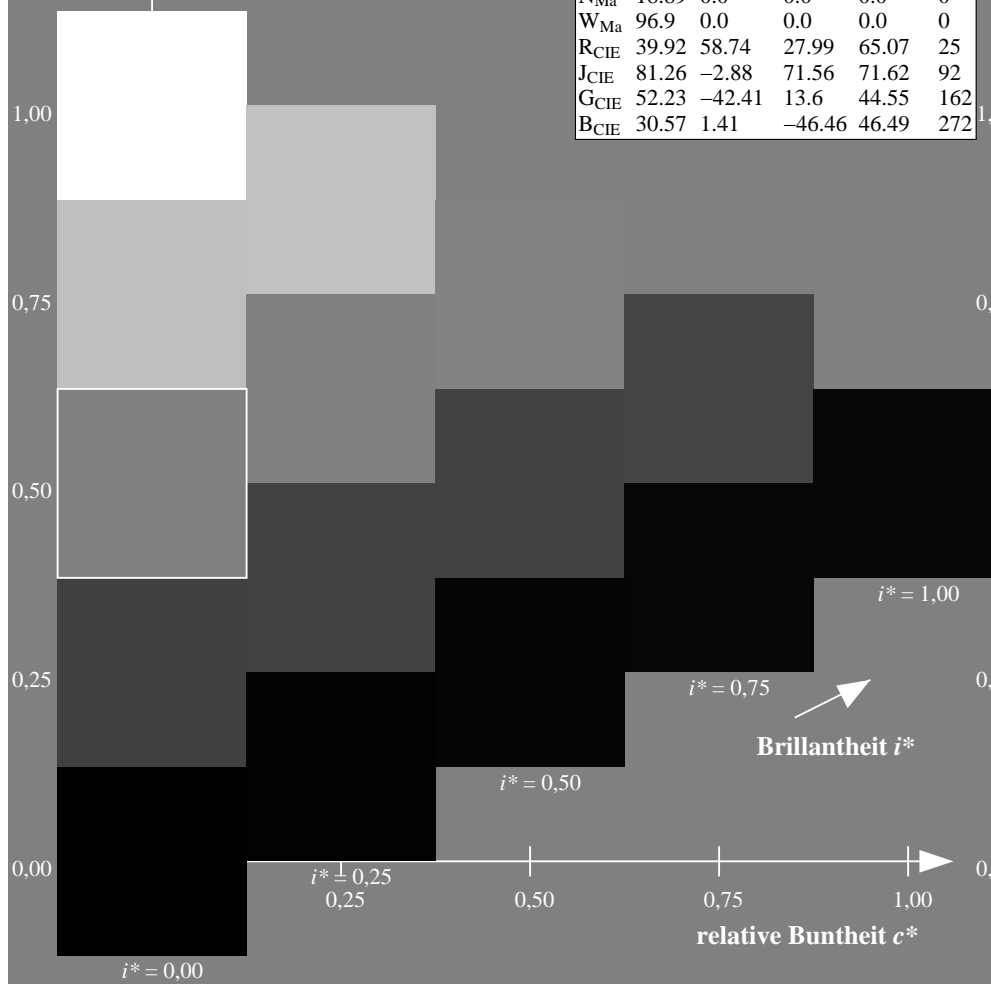
%Regularität

$g^*_{H,rel} = 72$

$g^*_{C,rel} = 57$

ORS19\_96a; adaptierte CIELAB-Daten

	$L^* = \bar{L}^*_a$	$a^*_a$	$b^*_a$	$C^*_{ab,a}$	$h^*_{ab,a}$
r00j	48.88	66.47	31.67	73.63	25
r25j	55.85	52.39	47.48	70.7	42
r50j	65.45	35.22	58.37	68.17	59
r75j	75.19	17.82	69.41	71.66	76
j00g	87.03	-3.34	82.83	82.9	92
j25g	80.72	-25.0	69.5	73.86	110
j50g	70.64	-39.53	51.97	65.3	127
j75g	61.93	-52.09	36.83	63.8	145
g00b	52.8	-65.27	20.93	68.56	162
g25b	55.7	-49.57	-8.38	50.28	190
g50b	57.82	-38.39	-28.91	48.07	217
g75b	55.5	-22.04	-45.94	50.97	244
b00r	41.6	1.37	-45.0	45.03	272
b25r	29.0	25.08	-43.12	49.89	300
b50r	38.04	46.53	-28.38	54.51	329
b75r	49.48	72.88	-3.75	72.98	357



Ein und Ausgabe: Farbmetrisches Drucker-Reflektiv-System ORS19\_96a für relativen CIELAB-Buntton  $h^* = lab^*h^* = h_{ab}/360 = 329/360 = 0.913$

Daten für jede Farbe:

$lab^*ch^*$  und  $lab^*icu^*$

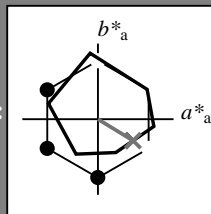
Elementar-Bunttontext:

$u^* = b50r$

Kontrastreduzierungsfaktor:

$c_R = 1.0$

Dreiecks-Helligkeit  $t^*$



ORS19\_96a; adaptierte CIELAB-Daten

	$L^*=\bar{L}_a^*$	$a_a^*$	$b_a^*$	$C_{ab,a}^*$	$h_{ab,a}^*$
O <sub>Ma</sub>	48.75	65.07	39.43	76.08	31
Y <sub>Ma</sub>	90.92	-10.28	87.24	87.85	97
L <sub>Ma</sub>	52.69	-65.43	20.75	68.65	162
C <sub>Ma</sub>	59.61	-28.97	-46.21	54.56	238
V <sub>Ma</sub>	28.39	23.63	-44.12	50.06	298
M <sub>Ma</sub>	49.58	73.93	-9.55	74.55	353
N <sub>Ma</sub>	18.89	0.0	0.0	0.0	0
W <sub>Ma</sub>	96.9	0.0	0.0	0.0	0
R <sub>CIE</sub>	39.92	58.74	27.99	65.07	25
J <sub>CIE</sub>	81.26	-2.88	71.56	71.62	92
G <sub>CIE</sub>	52.23	-42.41	13.6	44.55	162
B <sub>CIE</sub>	30.57	1.41	-46.46	46.49	272

Daten für Maximalfarbe (Ma):

$LAB^*LAB^*Ma$ : 38 47 -27

$LAB^*LCH^*Ma$ : 38 55 329

$lab^*rgb^*Ma$ : 1.0 0.0 1.0

$lab^*olv^*Ma$ : 0.46 0.0 1.0

Dreiecks-Helligkeit  $t^*$

%Umfang

$u^*_{rel} = 89$

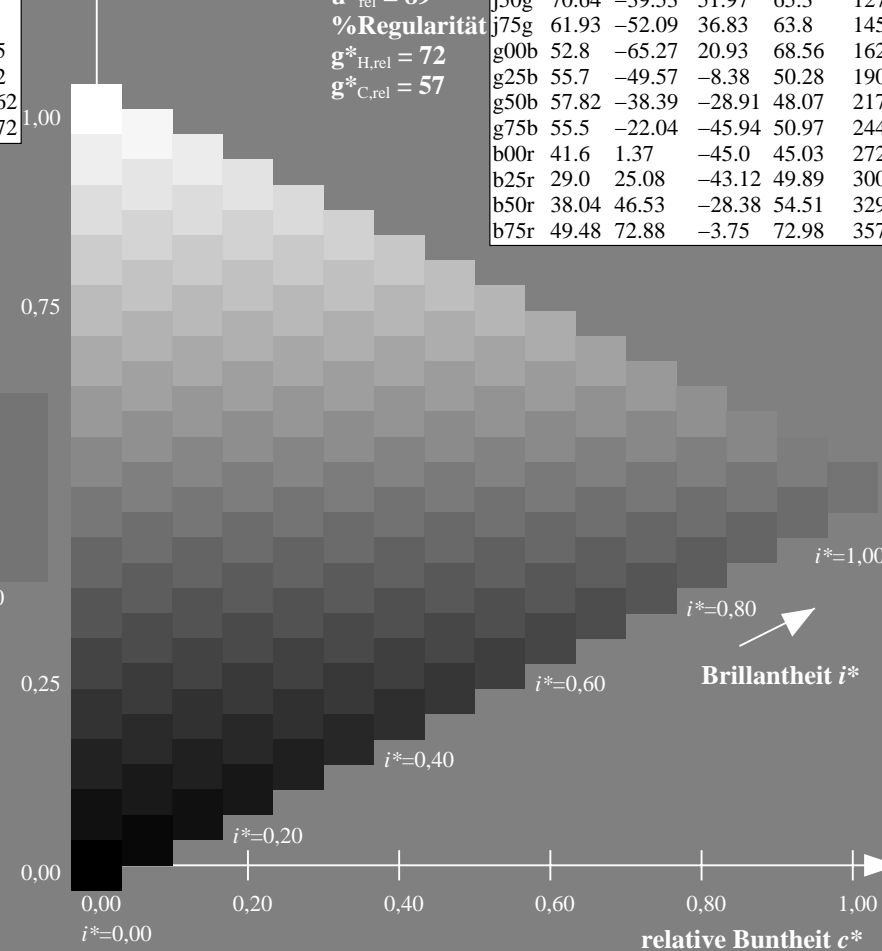
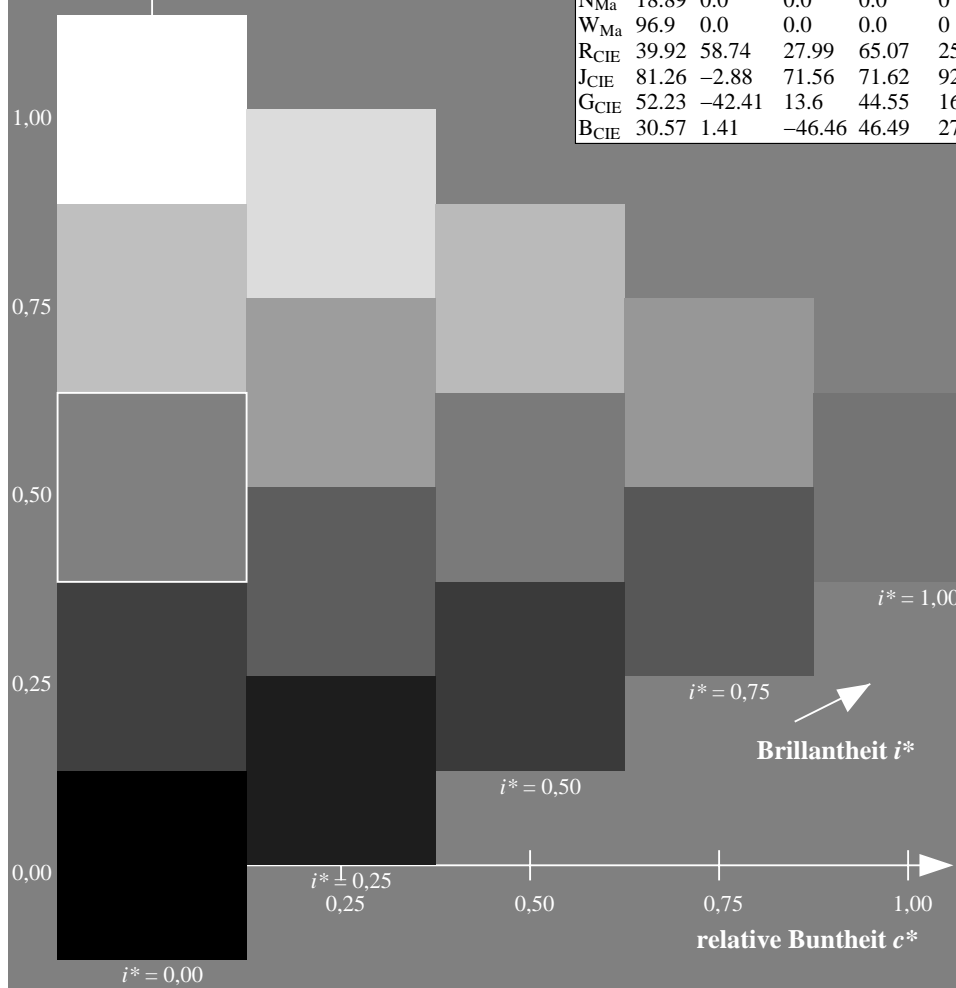
%Regularität

$g^*_{H,rel} = 72$

$g^*_{C,rel} = 57$

ORS19\_96a; adaptierte CIELAB-Daten

	$L^*=\bar{L}_a^*$	$a_a^*$	$b_a^*$	$C_{ab,a}^*$	$h_{ab,a}^*$
r00j	48.88	66.47	31.67	73.63	25
r25j	55.85	52.39	47.48	70.7	42
r50j	65.45	35.22	58.37	68.17	59
r75j	75.19	17.82	69.41	71.66	76
j00g	87.03	-3.34	82.83	82.9	92
j25g	80.72	-25.0	69.5	73.86	110
j50g	70.64	-39.53	51.97	65.3	127
j75g	61.93	-52.09	36.83	63.8	145
g00b	52.8	-65.27	20.93	68.56	162
g25b	55.7	-49.57	-8.38	50.28	190
g50b	57.82	-38.39	-28.91	48.07	217
g75b	55.5	-22.04	-45.94	50.97	244
b00r	41.6	1.37	-45.0	45.03	272
b25r	29.0	25.08	-43.12	49.89	300
b50r	38.04	46.53	-28.38	54.51	329
b75r	49.48	72.88	-3.75	72.98	357



Ein und Ausgabe: Farbmetrisches Drucker-Reflektiv-System ORS19\_96a für relativen CIELAB-Buntton  $h^* = lab^*h^* = h_{ab}/360 = 357/360 = 0.992$

Daten für jede Farbe:

$lab^*ch^*$  und  $lab^*icu^*$

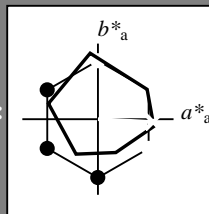
Elementar-Bunttonextext:

$u^* = b75r$

Kontrastreduzierungsfaktor:

$c_R = 1.0$

Dreiecks-Helligkeit  $i^*$



ORS19\_96a; adaptierte CIELAB-Daten

	$L^*=L_a^*$	$a_a^*$	$b_a^*$	$C_{ab,a}^*$	$h_{ab,a}^*$
O <sub>Ma</sub>	48.75	65.07	39.43	76.08	31
Y <sub>Ma</sub>	90.92	-10.28	87.24	87.85	97
L <sub>Ma</sub>	52.69	-65.43	20.75	68.65	162
C <sub>Ma</sub>	59.61	-28.97	-46.21	54.56	238
V <sub>Ma</sub>	28.39	23.63	-44.12	50.06	298
M <sub>Ma</sub>	49.58	73.93	-9.55	74.55	353
N <sub>Ma</sub>	18.89	0.0	0.0	0.0	0
W <sub>Ma</sub>	96.9	0.0	0.0	0.0	0
R <sub>CIE</sub>	39.92	58.74	27.99	65.07	25
J <sub>CIE</sub>	81.26	-2.88	71.56	71.62	92
G <sub>CIE</sub>	52.23	-42.41	13.6	44.55	162
B <sub>CIE</sub>	30.57	1.41	-46.46	46.49	272

Daten für Maximalfarbe (Ma):

$LAB^*LAB^*_{Ma}$ : 49 73 -3

$LAB^*LCH^*_{Ma}$ : 49 73 357

$lab^*rgb^*_{Ma}$ : 1.0 0.0 0.5

$lab^*olv^*_{Ma}$ : 1.0 0.0 0.88

Dreiecks-Helligkeit  $i^*$

%Umfang

$u^*_{rel} = 89$

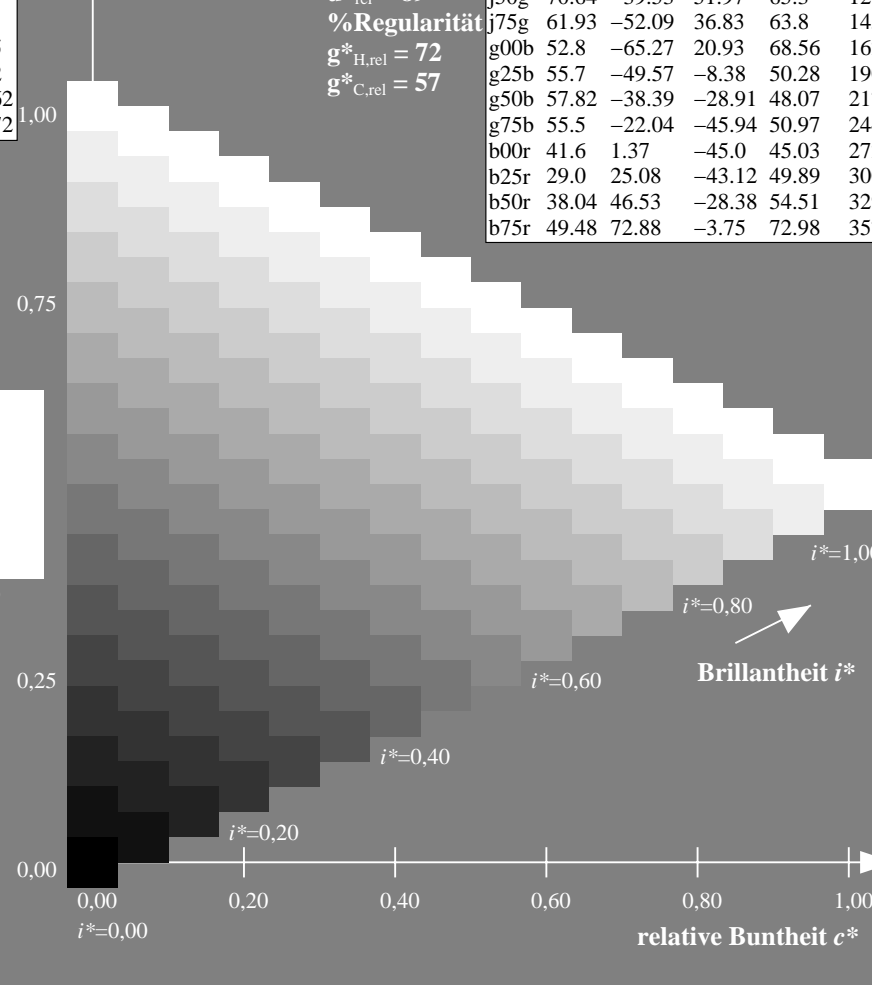
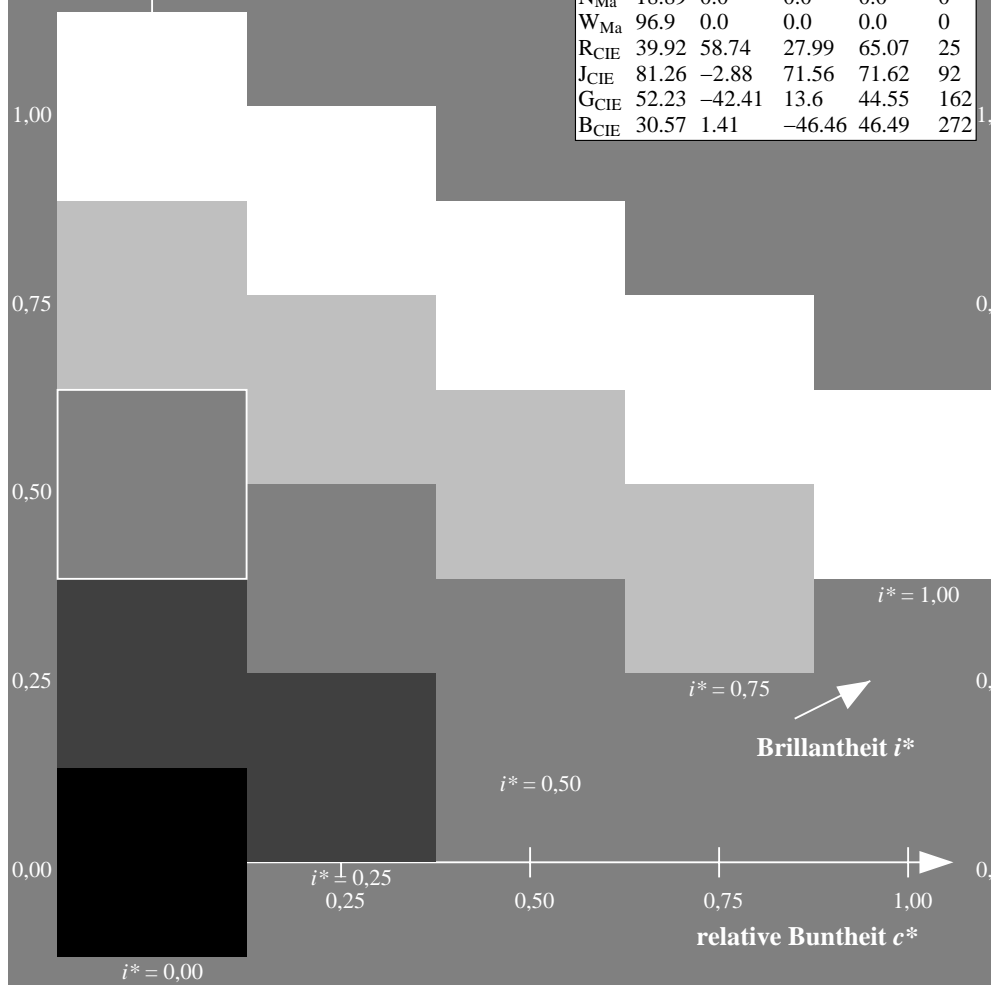
%Regularität

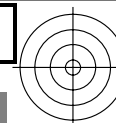
$g^*_{H,rel} = 72$

$g^*_{C,rel} = 57$

ORS19\_96a; adaptierte CIELAB-Daten

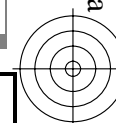
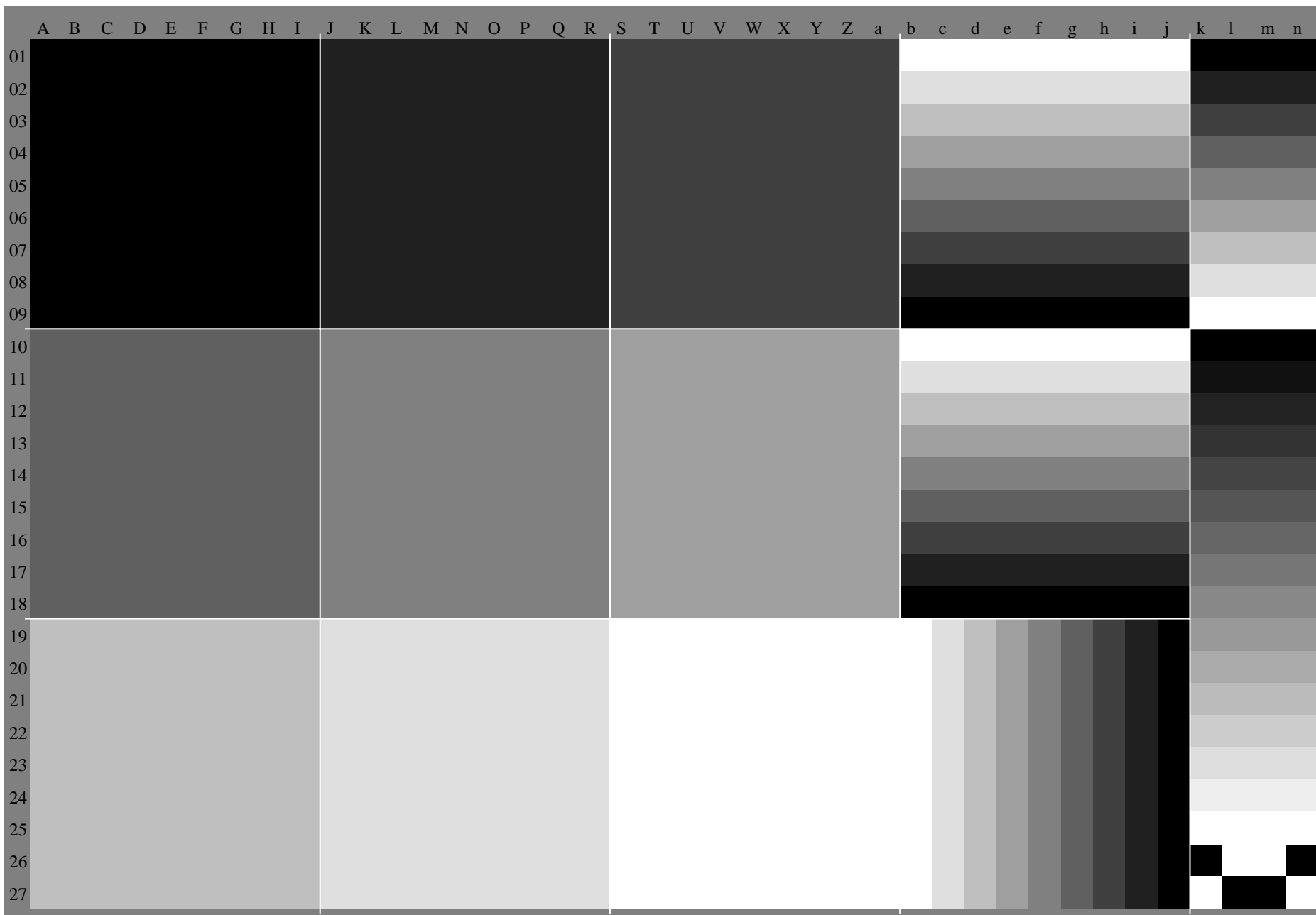
	$L^*=L_a^*$	$a_a^*$	$b_a^*$	$C_{ab,a}^*$	$h_{ab,a}^*$
r00j	48.88	66.47	31.67	73.63	25
r25j	55.85	52.39	47.48	70.7	42
r50j	65.45	35.22	58.37	68.17	59
r75j	75.19	17.82	69.41	71.66	76
j00g	87.03	-3.34	82.83	82.9	92
j25g	80.72	-25.0	69.5	73.86	110
j50g	70.64	-39.53	51.97	65.3	127
j75g	61.93	-52.09	36.83	63.8	145
g00b	52.8	-65.27	20.93	68.56	162
g25b	55.7	-49.57	-8.38	50.28	190
g50b	57.82	-38.39	-28.91	48.07	217
g75b	55.5	-22.04	-45.94	50.97	244
b00r	41.6	1.37	-45.0	45.03	272
b25r	29.0	25.08	-43.12	49.89	300
b50r	38.04	46.53	-28.38	54.51	329
b75r	49.48	72.88	-3.75	72.98	357





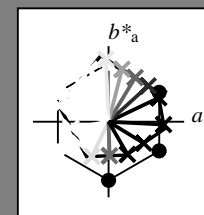
BAM-Registrierung: 20080701-Dg74/10L/L74G00NP.PS/.PDF BAM-Material: Code=rha4ta  
+ Anwendung für Beurteilung und Messung von Drucker- oder Monitorsystemen

Stiehe ähnliche Dateien: <http://www.ps.bam.de/Dg74/>; [www.ps.bam.de/Dg.HTM](http://www.ps.bam.de/Dg.HTM)  
Technische Information: <http://www.ps.bam.de> Version 2.1, io=1,1, Col\$px=0



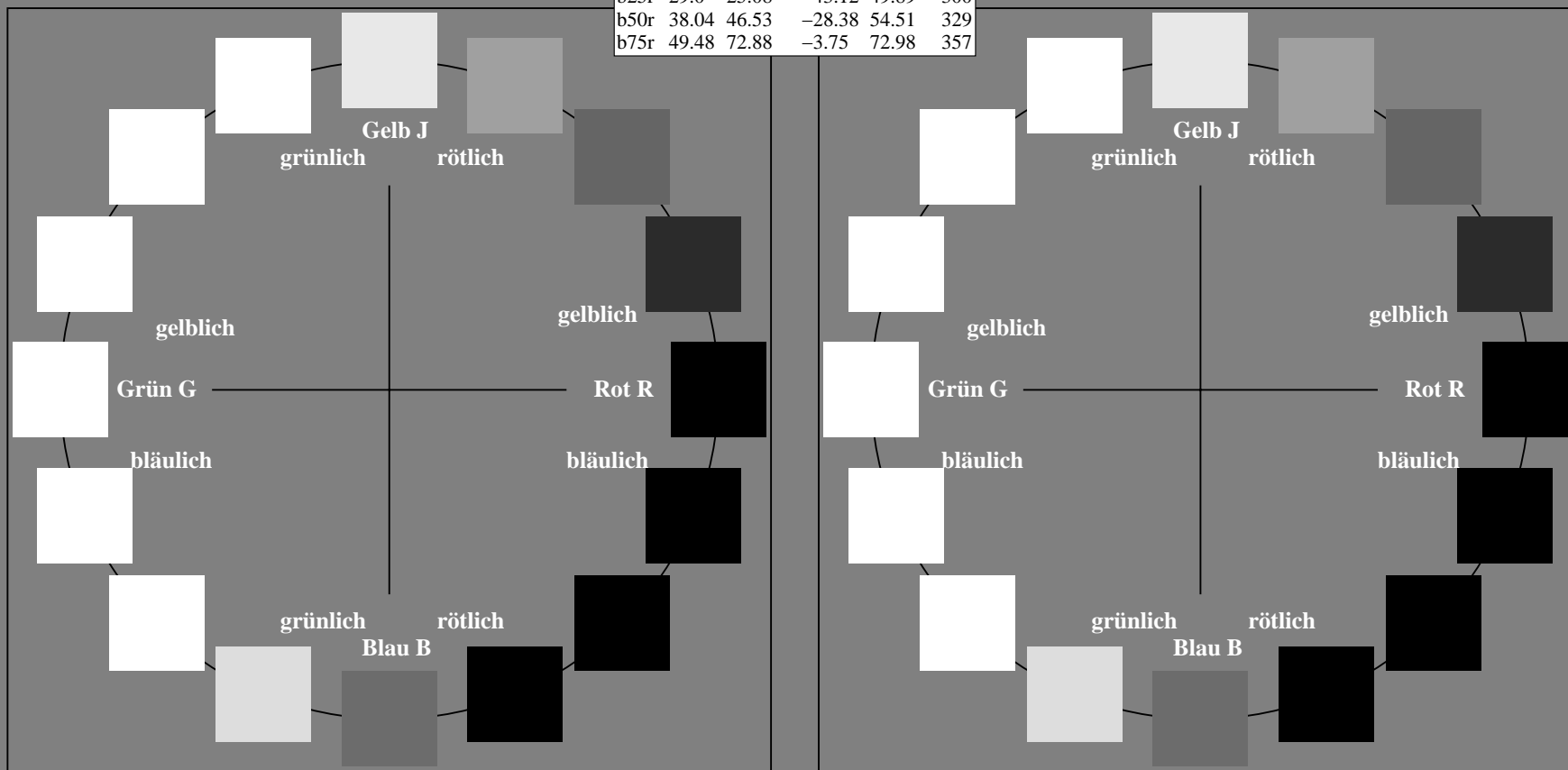
Ein und Ausgabe:  
Farbmetrisches Drucker-Reflektiv-System ORS19\_96a  
Daten für jede Farbe:  
*lab\*<sub>ich</sub>*\* und *lab\*<sub>icu</sub>*\*  
Elementar-Bunttontext:  
*u\** = 16 Buntttöne *r00j*, *r25j*, ..., *b75r*  
Kontrastreduzierungsfaktor:  
*c<sub>R</sub>* = 1.0

ORS19_96a; adaptierte CIELAB-Daten					
	<i>L*</i> = <i>L*</i> <sub>a</sub>	<i>a*</i> <sub>a</sub>	<i>b*</i> <sub>a</sub>	<i>C*</i> <sub>ab,a</sub>	<i>h*</i> <sub>ab,a</sub>
r00j	48.88	66.47	31.67	73.63	25
r25j	55.85	52.39	47.48	70.7	42
r50j	65.45	35.22	58.37	68.17	59
r75j	75.19	17.82	69.41	71.66	76
j00g	87.03	-3.34	82.83	82.9	92
j25g	80.72	-25.0	69.5	73.86	110
j50g	70.64	-39.53	51.97	65.3	127
j75g	61.93	-52.09	36.83	63.8	145
g00b	52.8	-65.27	20.93	68.56	162
g25b	55.7	-49.57	-8.38	50.28	190
g50b	57.82	-38.39	-28.91	48.07	217
g75b	55.5	-22.04	-45.94	50.97	244
b00r	41.6	1.37	-45.0	45.03	272
b25r	29.0	25.08	-43.12	49.89	300
b50r	38.04	46.53	-28.38	54.51	329
b75r	49.48	72.88	-3.75	72.98	357



%Umfang  
*u\**<sub>rel</sub> = 89  
%Regularität  
*g\**<sub>H,rel</sub> = 72  
*g\**<sub>C,rel</sub> = 57

ORS19_96a; adaptierte CIELAB-Daten					
	<i>L*</i> = <i>L*</i> <sub>a</sub>	<i>a*</i> <sub>a</sub>	<i>b*</i> <sub>a</sub>	<i>C*</i> <sub>ab,a</sub>	<i>h*</i> <sub>ab,a</sub>
O <sub>Ma</sub>	48.75	65.07	39.43	76.08	31
Y <sub>Ma</sub>	90.92	-10.28	87.24	87.85	97
L <sub>Ma</sub>	52.69	-65.43	20.75	68.65	162
C <sub>Ma</sub>	59.61	-28.97	-46.21	54.56	238
V <sub>Ma</sub>	28.39	23.63	-44.12	50.06	298
M <sub>Ma</sub>	49.58	73.93	-9.55	74.55	353
N <sub>Ma</sub>	18.89	0.0	0.0	0.0	0
W <sub>Ma</sub>	96.9	0.0	0.0	0.0	0
R <sub>CIE</sub>	39.92	58.74	27.99	65.07	25
J <sub>CIE</sub>	81.26	-2.88	71.56	71.62	92
G <sub>CIE</sub>	52.23	-42.41	13.6	44.55	162
B <sub>CIE</sub>	30.57	1.41	-46.46	46.49	272



Ein und Ausgabe: Farbmétrisches Drucker-Reflektiv-System ORS19\_96a für relativen CIELAB-Buntton  $h^* = lab^*h^* = h_{ab}/360 = 25/360 = 0.071$

Daten für jede Farbe:

$lab^*ch^*$  und  $lab^*icu^*$

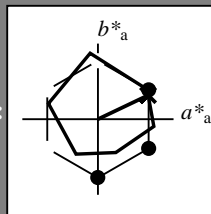
Elementar-Bunttoncontext:

$u^* = r00j$

Kontrastreduzierungsfaktor:

$c_R = 1.0$

Dreiecks-Helligkeit  $i^*$



ORS19\_96a; adaptierte CIELAB-Daten

	$L^* = \bar{L}^*_a$	$a^*_a$	$b^*_a$	$C^*_{ab,a}$	$h^*_{ab,a}$
O <sub>Ma</sub>	48.75	65.07	39.43	76.08	31
Y <sub>Ma</sub>	90.92	-10.28	87.24	87.85	97
L <sub>Ma</sub>	52.69	-65.43	20.75	68.65	162
C <sub>Ma</sub>	59.61	-28.97	-46.21	54.56	238
V <sub>Ma</sub>	28.39	23.63	-44.12	50.06	298
M <sub>Ma</sub>	49.58	73.93	-9.55	74.55	353
N <sub>Ma</sub>	18.89	0.0	0.0	0.0	0
W <sub>Ma</sub>	96.9	0.0	0.0	0.0	0
R <sub>CIE</sub>	39.92	58.74	27.99	65.07	25
J <sub>CIE</sub>	81.26	-2.88	71.56	71.62	92
G <sub>CIE</sub>	52.23	-42.41	13.6	44.55	162
B <sub>CIE</sub>	30.57	1.41	-46.46	46.49	272

Daten für Maximalfarbe (Ma):

$LAB^*LAB^*_{Ma}$ : 49 66 32

$LAB^*LCH^*_{Ma}$ : 49 74 25

$lab^*rgb^*_{Ma}$ : 1.0 0.0 0.0

$lab^*olv^*_{Ma}$ : 1.0 0.0 0.16

Dreiecks-Helligkeit  $i^*$

%Umfang

$u^*_{rel} = 89$

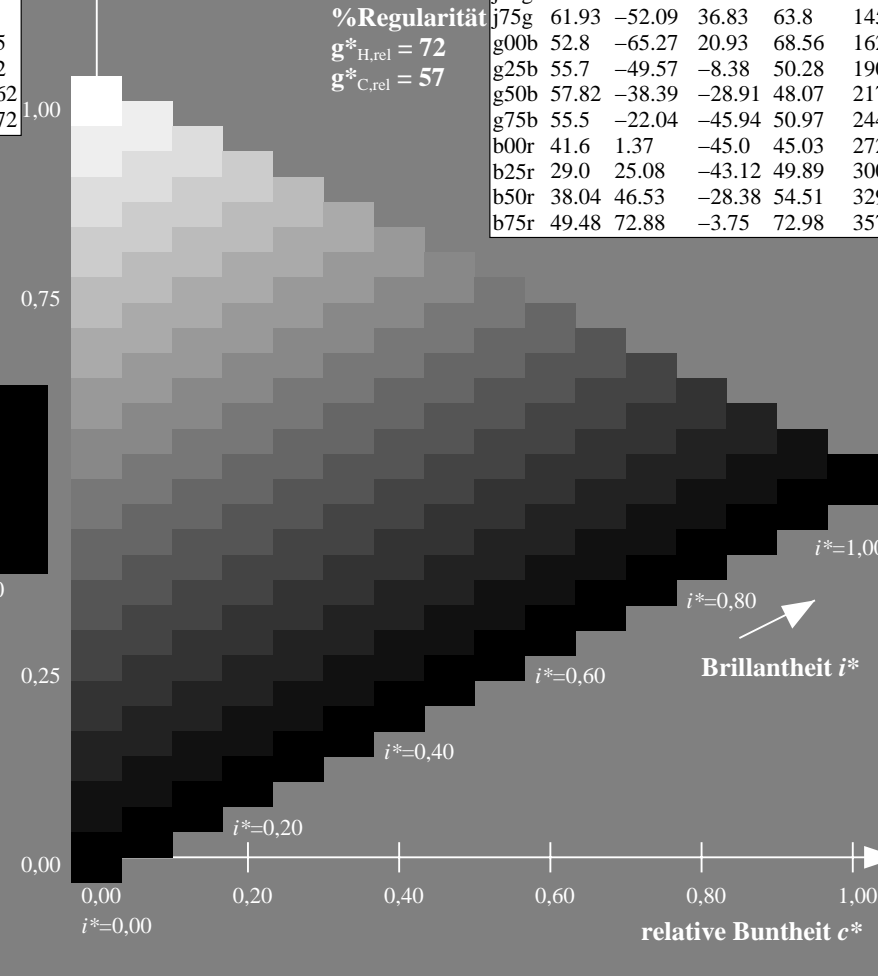
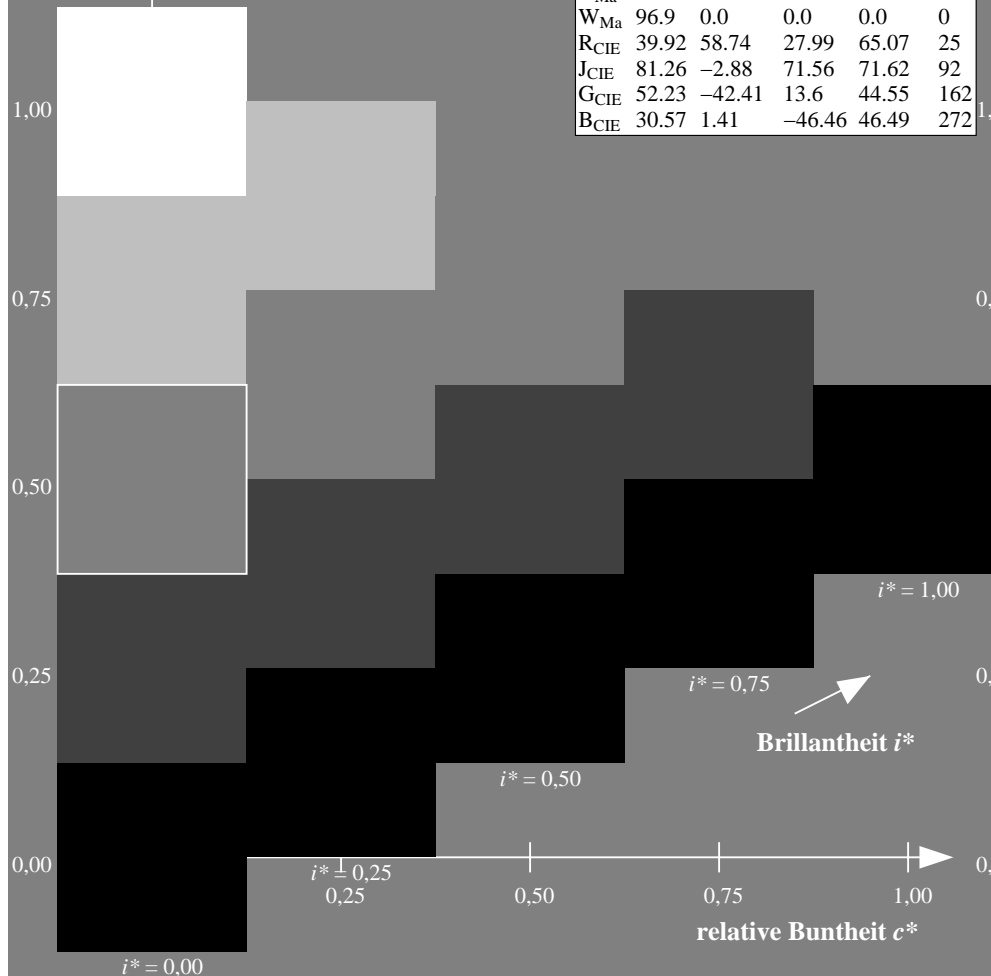
%Regularität

$g^*_{H,rel} = 72$

$g^*_{C,rel} = 57$

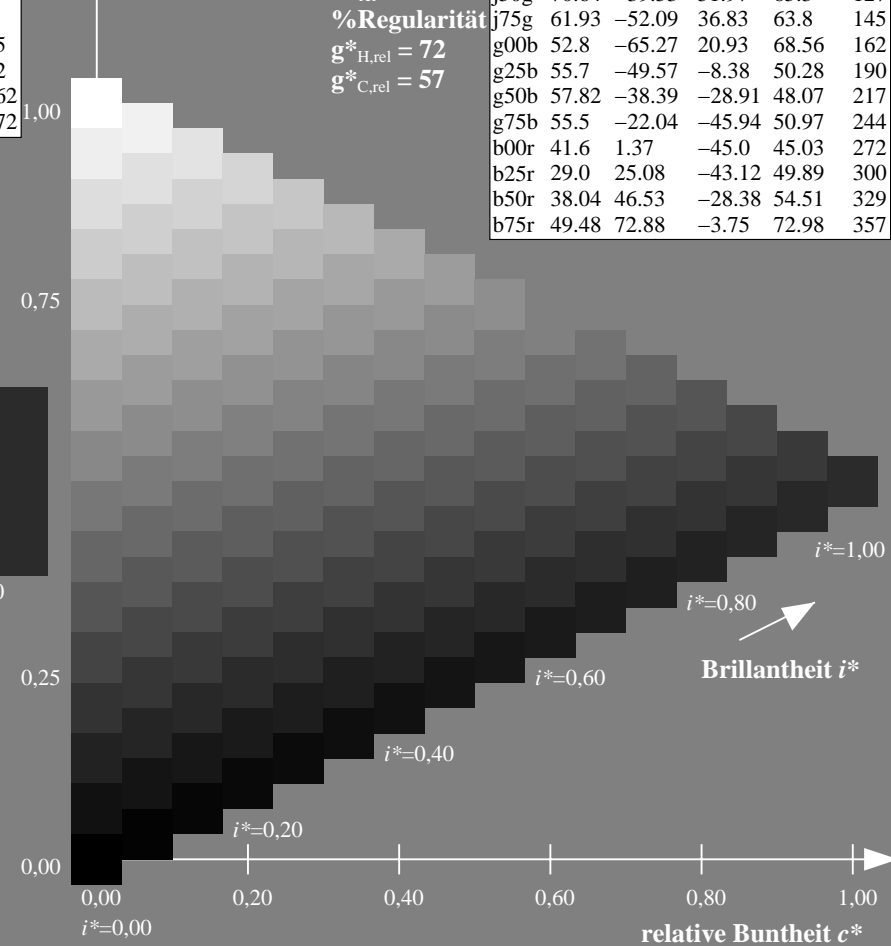
ORS19\_96a; adaptierte CIELAB-Daten

	$L^* = \bar{L}^*_a$	$a^*_a$	$b^*_a$	$C^*_{ab,a}$	$h^*_{ab,a}$
r00j	48.88	66.47	31.67	73.63	25
r25j	55.85	52.39	47.48	70.7	42
r50j	65.45	35.22	58.37	68.17	59
r75j	75.19	17.82	69.41	71.66	76
j00g	87.03	-3.34	82.83	82.9	92
j25g	80.72	-25.0	69.5	73.86	110
j50g	70.64	-39.53	51.97	65.3	127
j75g	61.93	-52.09	36.83	63.8	145
g00b	52.8	-65.27	20.93	68.56	162
g25b	55.7	-49.57	-8.38	50.28	190
g50b	57.82	-38.39	-28.91	48.07	217
g75b	55.5	-22.04	-45.94	50.97	244
b00r	41.6	1.37	-45.0	45.03	272
b25r	29.0	25.08	-43.12	49.89	300
b50r	38.04	46.53	-28.38	54.51	329
b75r	49.48	72.88	-3.75	72.98	357





### Dreiecks-Helligkeit $t^*$


$$g^*_{C,rel} = 57$$


Eingabe: 000n / w / nnn0 / www set...  
Ausgabe: ->cmyn5\* setcmykcolor

BAM-Registrierung: 20080701-Dg74/10L/L74G00NP.PS/.PDF BAM-Material: Code=rhata  
Anwendung für Beurteilung und Messung von Drucker- oder Monitorsystemen

Ein und Ausgabe: Farbmetrisches Drucker-Reflektiv-System ORS19\_96a für relativen CIELAB-Buntton  $h^* = lab^*h^* = h_{ab}/360 = 59/360 = 0.164$

Daten für jede Farbe:

$lab^*ch^*$  und  $lab^*icu^*$

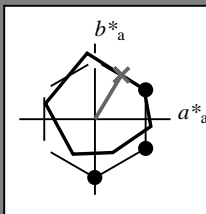
Elementar-Bunttontext:

$u^* = r50j$

Kontrastreduzierungsfaktor:

$c_R = 1.0$

Dreiecks-Helligkeit  $i^*$



ORS19\_96a; adaptierte CIELAB-Daten

	$L^*=\bar{L}_a^*$	$a_a^*$	$b_a^*$	$C_{ab,a}^*$	$h_{ab,a}^*$
O <sub>Ma</sub>	48.75	65.07	39.43	76.08	31
Y <sub>Ma</sub>	90.92	-10.28	87.24	87.85	97
L <sub>Ma</sub>	52.69	-65.43	20.75	68.65	162
C <sub>Ma</sub>	59.61	-28.97	-46.21	54.56	238
V <sub>Ma</sub>	28.39	23.63	-44.12	50.06	298
M <sub>Ma</sub>	49.58	73.93	-9.55	74.55	353
N <sub>Ma</sub>	18.89	0.0	0.0	0.0	0
W <sub>Ma</sub>	96.9	0.0	0.0	0.0	0
R <sub>CIE</sub>	39.92	58.74	27.99	65.07	25
J <sub>CIE</sub>	81.26	-2.88	71.56	71.62	92
G <sub>CIE</sub>	52.23	-42.41	13.6	44.55	162
B <sub>CIE</sub>	30.57	1.41	-46.46	46.49	272

Daten für Maximalfarbe (Ma):

$LAB^*LAB^*Ma$ : 65 35 58

$LAB^*LCH^*Ma$ : 65 68 59

$lab^*rgb^*Ma$ : 1.0 0.5 0.0

$lab^*olv^*Ma$ : 1.0 0.4 0.0

Dreiecks-Helligkeit  $i^*$

%Umfang

$u^*_{rel} = 89$

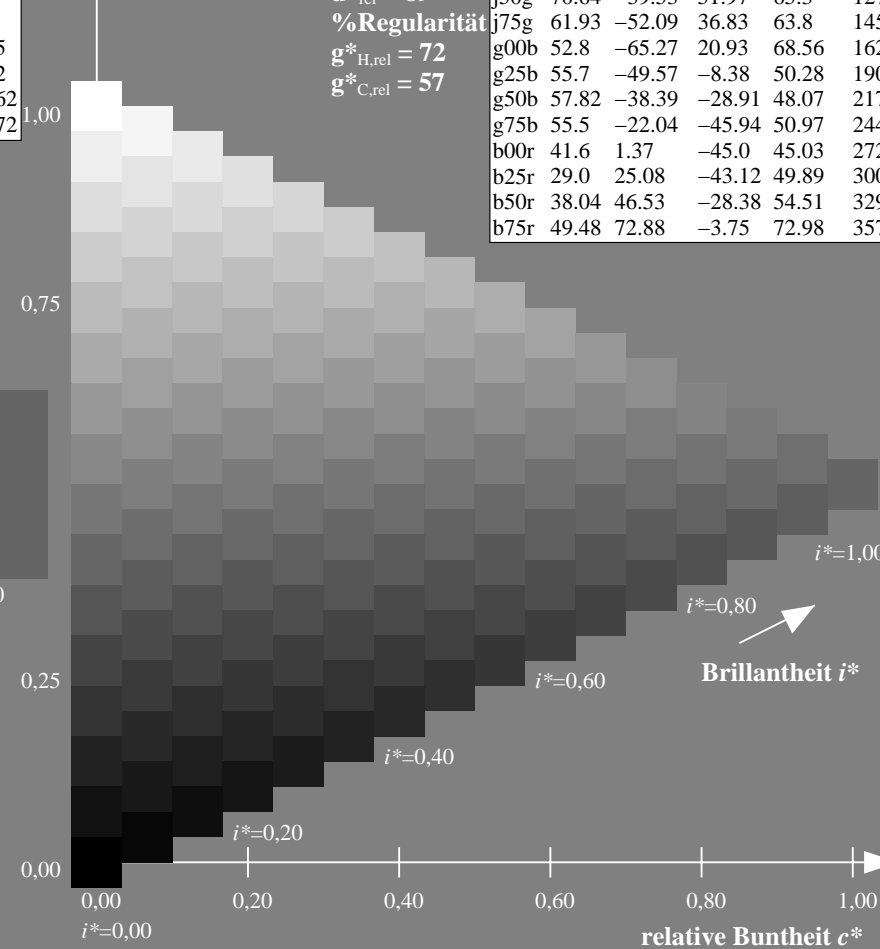
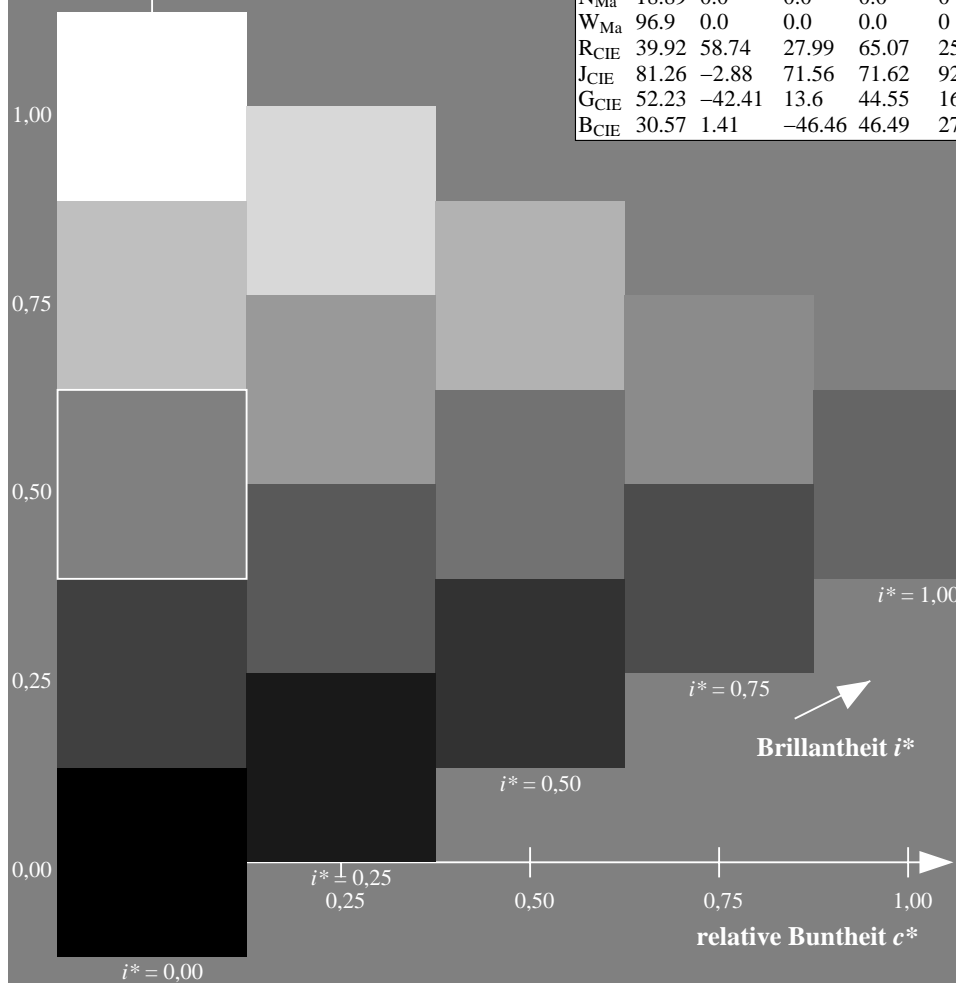
%Regularität

$g^*_{H,rel} = 72$

$g^*_{C,rel} = 57$

ORS19\_96a; adaptierte CIELAB-Daten

	$L^*=\bar{L}_a^*$	$a_a^*$	$b_a^*$	$C_{ab,a}^*$	$h_{ab,a}^*$
r00j	48.88	66.47	31.67	73.63	25
r25j	55.85	52.39	47.48	70.7	42
r50j	65.45	35.22	58.37	68.17	59
r75j	75.19	17.82	69.41	71.66	76
j00g	87.03	-3.34	82.83	82.9	92
j25g	80.72	-25.0	69.5	73.86	110
j50g	70.64	-39.53	51.97	65.3	127
j75g	61.93	-52.09	36.83	63.8	145
g00b	52.8	-65.27	20.93	68.56	162
g25b	55.7	-49.57	-8.38	50.28	190
g50b	57.82	-38.39	-28.91	48.07	217
g75b	55.5	-22.04	-45.94	50.97	244
b00r	41.6	1.37	-45.0	45.03	272
b25r	29.0	25.08	-43.12	49.89	300
b50r	38.04	46.53	-28.38	54.51	329
b75r	49.48	72.88	-3.75	72.98	357



Siehe ähnliche Dateien: <http://www.ps.bam.de/Dg74/>; [www.ps.bam.de/Dg74.HTM](http://www.ps.bam.de/Dg74.HTM)  
Technische Information: <http://www.ps.bam.de> Version 2.1, io=1,1, ColSpx=0

Ein und Ausgabe: Farbmetrisches Drucker-Reflektiv-System ORS19\_96a für relativen CIELAB-Buntton  $h^* = lab^*h^* = h_{ab}/360 = 76/360 = 0.21$

Daten für jede Farbe:

$lab^*ch^*$  und  $lab^*icu^*$

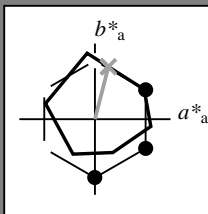
Elementar-Bunttontext:

$u^* = r75j$

Kontrastreduzierungsfaktor:

$c_R = 1.0$

Dreiecks-Helligkeit  $i^*$



ORS19\_96a; adaptierte CIELAB-Daten

	$L^*=L^*_a$	$a^*_a$	$b^*_a$	$C^*_{ab,a}$	$h^*_{ab,a}$
O <sub>Ma</sub>	48.75	65.07	39.43	76.08	31
Y <sub>Ma</sub>	90.92	-10.28	87.24	87.85	97
L <sub>Ma</sub>	52.69	-65.43	20.75	68.65	162
C <sub>Ma</sub>	59.61	-28.97	-46.21	54.56	238
V <sub>Ma</sub>	28.39	23.63	-44.12	50.06	298
M <sub>Ma</sub>	49.58	73.93	-9.55	74.55	353
N <sub>Ma</sub>	18.89	0.0	0.0	0.0	0
W <sub>Ma</sub>	96.9	0.0	0.0	0.0	0
R <sub>CIE</sub>	39.92	58.74	27.99	65.07	25
J <sub>CIE</sub>	81.26	-2.88	71.56	71.62	92
G <sub>CIE</sub>	52.23	-42.41	13.6	44.55	162
B <sub>CIE</sub>	30.57	1.41	-46.46	46.49	272

Daten für Maximalfarbe (Ma):

$LAB^*LAB^*_{Ma}$ : 75 18 69

$LAB^*LCH^*_{Ma}$ : 75 72 76

$lab^*rgb^*_{Ma}$ : 1.0 0.75 0.0

$lab^*olv^*_{Ma}$ : 1.0 0.63 0.0

Dreiecks-Helligkeit  $i^*$

%Umfang

$u^*_{rel} = 89$

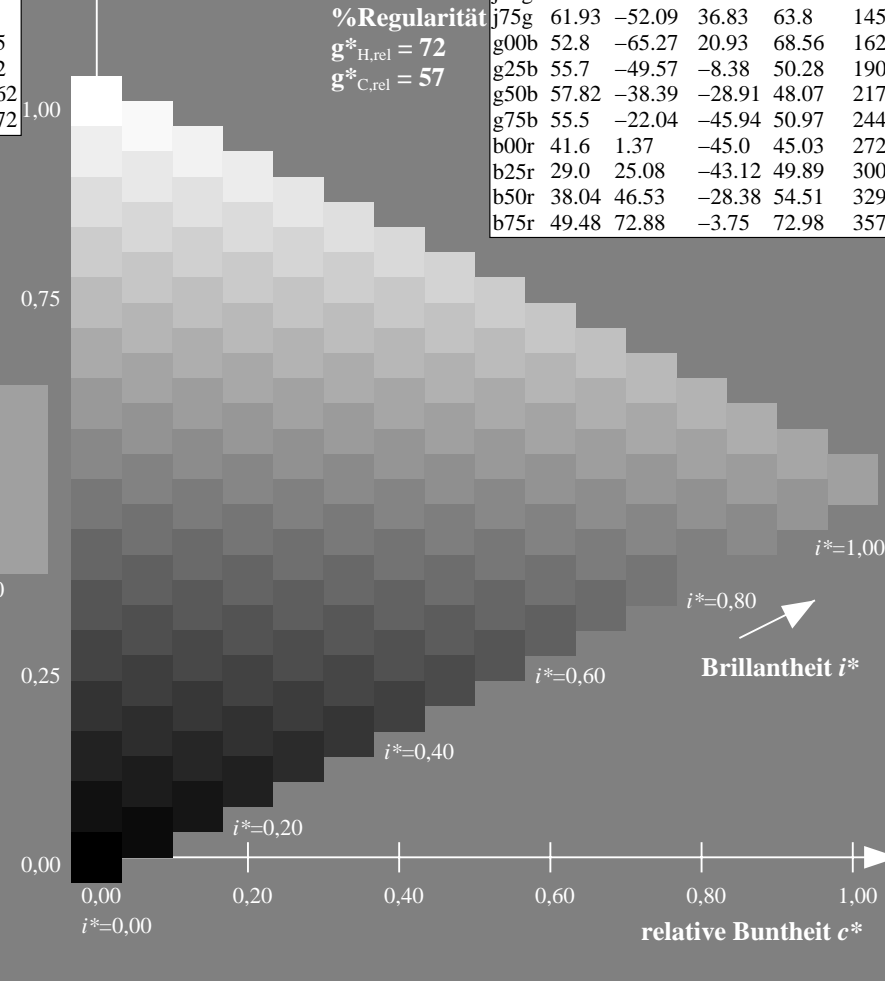
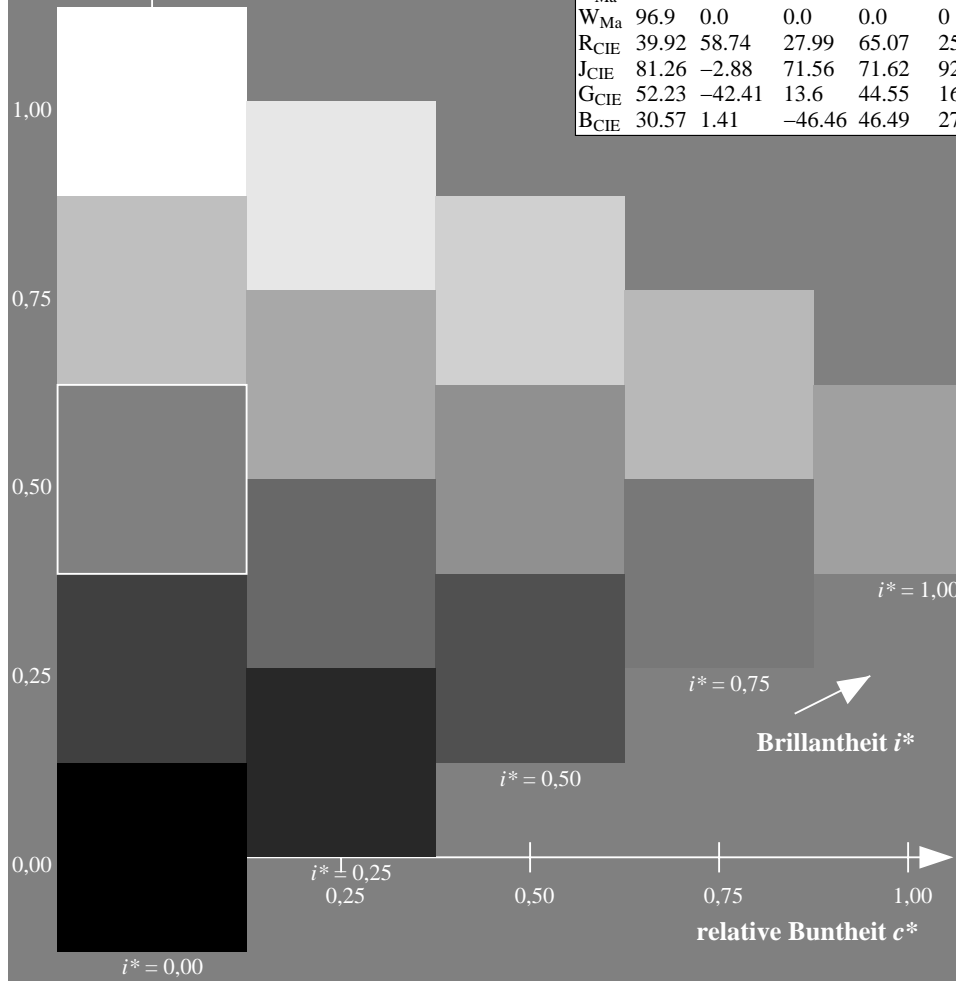
%Regularität

$g^*_{H,rel} = 72$

$g^*_{C,rel} = 57$

ORS19\_96a; adaptierte CIELAB-Daten

	$L^*=L^*_a$	$a^*_a$	$b^*_a$	$C^*_{ab,a}$	$h^*_{ab,a}$
r00j	48.88	66.47	31.67	73.63	25
r25j	55.85	52.39	47.48	70.7	42
r50j	65.45	35.22	58.37	68.17	59
r75j	75.19	17.82	69.41	71.66	76
j00g	87.03	-3.34	82.83	82.9	92
j25g	80.72	-25.0	69.5	73.86	110
j50g	70.64	-39.53	51.97	65.3	127
j75g	61.93	-52.09	36.83	63.8	145
g00b	52.8	-65.27	20.93	68.56	162
g25b	55.7	-49.57	-8.38	50.28	190
g50b	57.82	-38.39	-28.91	48.07	217
g75b	55.5	-22.04	-45.94	50.97	244
b00r	41.6	1.37	-45.0	45.03	272
b25r	29.0	25.08	-43.12	49.89	300
b50r	38.04	46.53	-28.38	54.51	329
b75r	49.48	72.88	-3.75	72.98	357



BAM-Registrierung: 20080701-Dg74/10L/L74G00NP.PS/ .PDF BAM-Material: Code=rh4ta  
Anwendung für Beurteilung und Messung von Drucker- oder Monitorsystemen

Ein und Ausgabe: Farbmetrisches Drucker-Reflektiv-System ORS19\_96a für relativen CIELAB-Buntton  $h^* = lab^*h^* = h_{ab}/360 = 92/360 = 0.256$

Daten für jede Farbe:

$lab^*ch^*$  und  $lab^*icu^*$

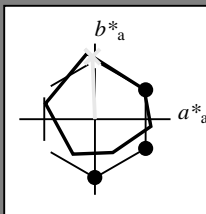
Elementar-Bunttonext:

$u^* = j00g$

Kontrastreduzierungsfaktor:

$c_R = 1.0$

Dreiecks-Helligkeit  $i^*$



ORS19\_96a; adaptierte CIELAB-Daten

	$L^*=L^*_a$	$a^*_a$	$b^*_a$	$C^*_{ab,a}$	$h^*_{ab,a}$
O <sub>Ma</sub>	48.75	65.07	39.43	76.08	31
Y <sub>Ma</sub>	90.92	-10.28	87.24	87.85	97
L <sub>Ma</sub>	52.69	-65.43	20.75	68.65	162
C <sub>Ma</sub>	59.61	-28.97	-46.21	54.56	238
V <sub>Ma</sub>	28.39	23.63	-44.12	50.06	298
M <sub>Ma</sub>	49.58	73.93	-9.55	74.55	353
N <sub>Ma</sub>	18.89	0.0	0.0	0.0	0
W <sub>Ma</sub>	96.9	0.0	0.0	0.0	0
R <sub>CIE</sub>	39.92	58.74	27.99	65.07	25
J <sub>CIE</sub>	81.26	-2.88	71.56	71.62	92
G <sub>CIE</sub>	52.23	-42.41	13.6	44.55	162
B <sub>CIE</sub>	30.57	1.41	-46.46	46.49	272

Daten für Maximalfarbe (Ma):

$LAB^*LAB^*_{Ma}$ : 87 -2 83

$LAB^*LCH^*_{Ma}$ : 87 83 92

$lab^*rgb^*_{Ma}$ : 1.0 1.0 0.0

$lab^*olv^*_{Ma}$ : 1.0 0.91 0.0

Dreiecks-Helligkeit  $i^*$

%Umfang

$u^*_{rel} = 89$

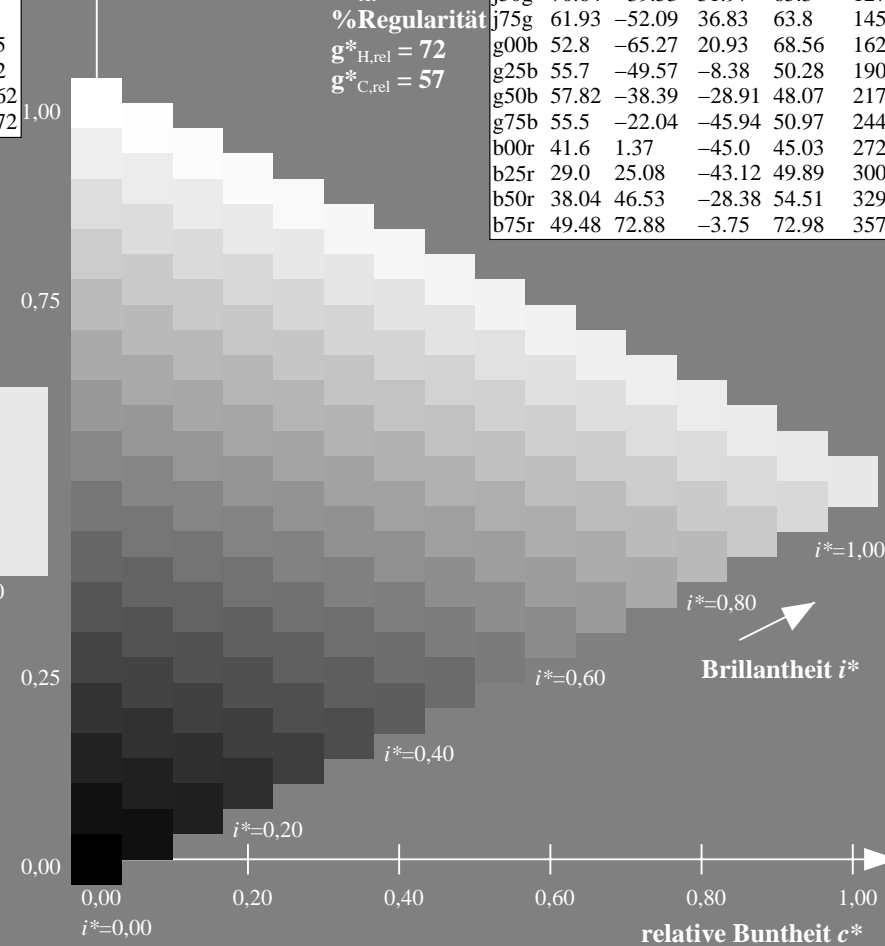
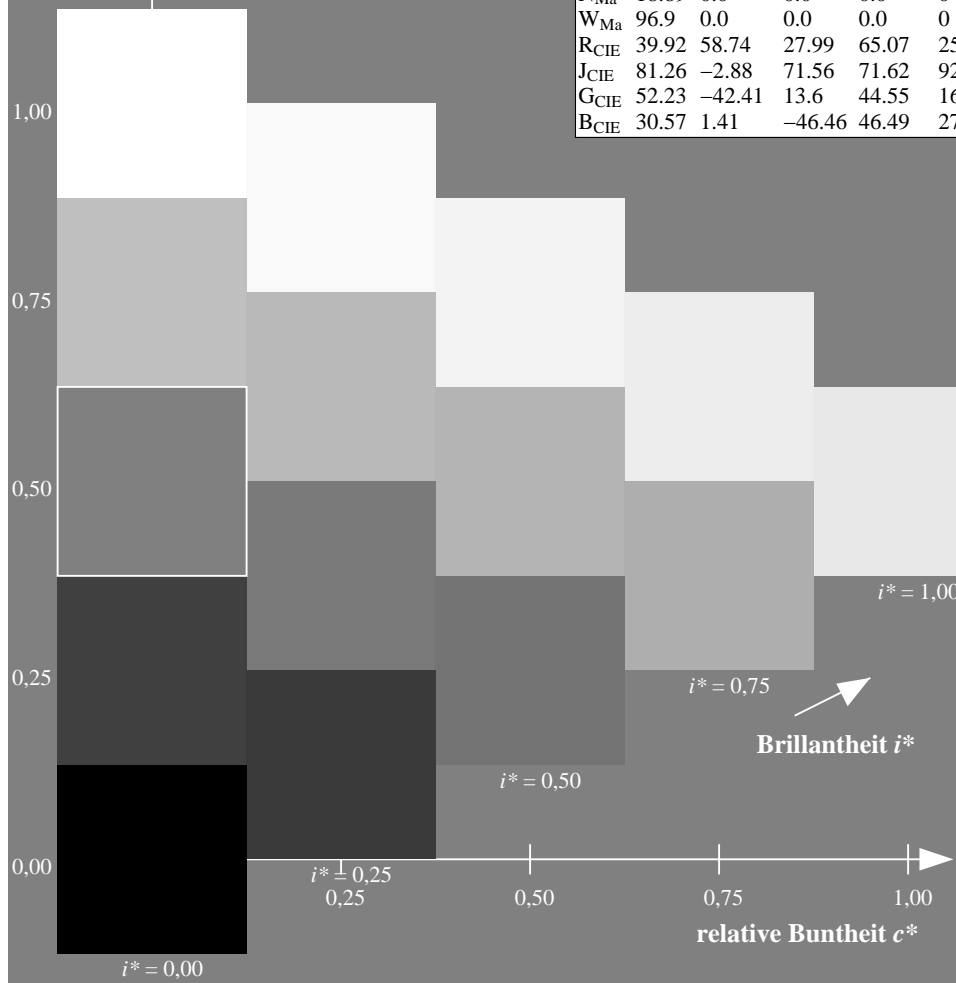
%Regularität

$g^*_{H,rel} = 72$

$g^*_{C,rel} = 57$

ORS19\_96a; adaptierte CIELAB-Daten

	$L^*=L^*_a$	$a^*_a$	$b^*_a$	$C^*_{ab,a}$	$h^*_{ab,a}$
r00j	48.88	66.47	31.67	73.63	25
r25j	55.85	52.39	47.48	70.7	42
r50j	65.45	35.22	58.37	68.17	59
r75j	75.19	17.82	69.41	71.66	76
j00g	87.03	-3.34	82.83	82.9	92
j25g	80.72	-25.0	69.5	73.86	110
j50g	70.64	-39.53	51.97	65.3	127
j75g	61.93	-52.09	36.83	63.8	145
g00b	52.8	-65.27	20.93	68.56	162
g25b	55.7	-49.57	-8.38	50.28	190
g50b	57.82	-38.39	-28.91	48.07	217
g75b	55.5	-22.04	-45.94	50.97	244
b00r	41.6	1.37	-45.0	45.03	272
b25r	29.0	25.08	-43.12	49.89	300
b50r	38.04	46.53	-28.38	54.51	329
b75r	49.48	72.88	-3.75	72.98	357



Ein und Ausgabe: Farbmétrisches Drucker-Reflektiv-System ORS19\_96a für relativen CIELAB-Buntton  $h^* = lab^*h^* = h_{ab}/360 = 110/360 = 0.305$

Daten für jede Farbe:

$lab^*ch^*$  und  $lab^*icu^*$

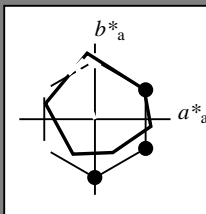
Elementar-Bunttonext:

$u^* = j25g$

Kontrastreduzierungsfaktor:

$c_R = 1.0$

Dreiecks-Helligkeit  $i^*$



ORS19_96a; adaptierte CIELAB-Daten					
	$L^*=L^*_a$	$a^*_a$	$b^*_a$	$C^*_{ab,a}$	$h^*_{ab,a}$
O <sub>Ma</sub>	48.75	65.07	39.43	76.08	31
Y <sub>Ma</sub>	90.92	-10.28	87.24	87.85	97
L <sub>Ma</sub>	52.69	-65.43	20.75	68.65	162
C <sub>Ma</sub>	59.61	-28.97	-46.21	54.56	238
V <sub>Ma</sub>	28.39	23.63	-44.12	50.06	298
M <sub>Ma</sub>	49.58	73.93	-9.55	74.55	353
N <sub>Ma</sub>	18.89	0.0	0.0	0.0	0
W <sub>Ma</sub>	96.9	0.0	0.0	0.0	0
R <sub>CIE</sub>	39.92	58.74	27.99	65.07	25
J <sub>CIE</sub>	81.26	-2.88	71.56	71.62	92
G <sub>CIE</sub>	52.23	-42.41	13.6	44.55	162
B <sub>CIE</sub>	30.57	1.41	-46.46	46.49	272

Daten für Maximalfarbe (Ma):

$LAB^*LAB^*_{Ma}$ : 81 -24 69

$LAB^*LCH^*_{Ma}$ : 81 74 110

$lab^*rgb^*_{Ma}$ : 0.75 1.0 0.0

$lab^*olv^*_{Ma}$ : 0.73 1.0 0.0

Dreiecks-Helligkeit  $i^*$

%Umfang

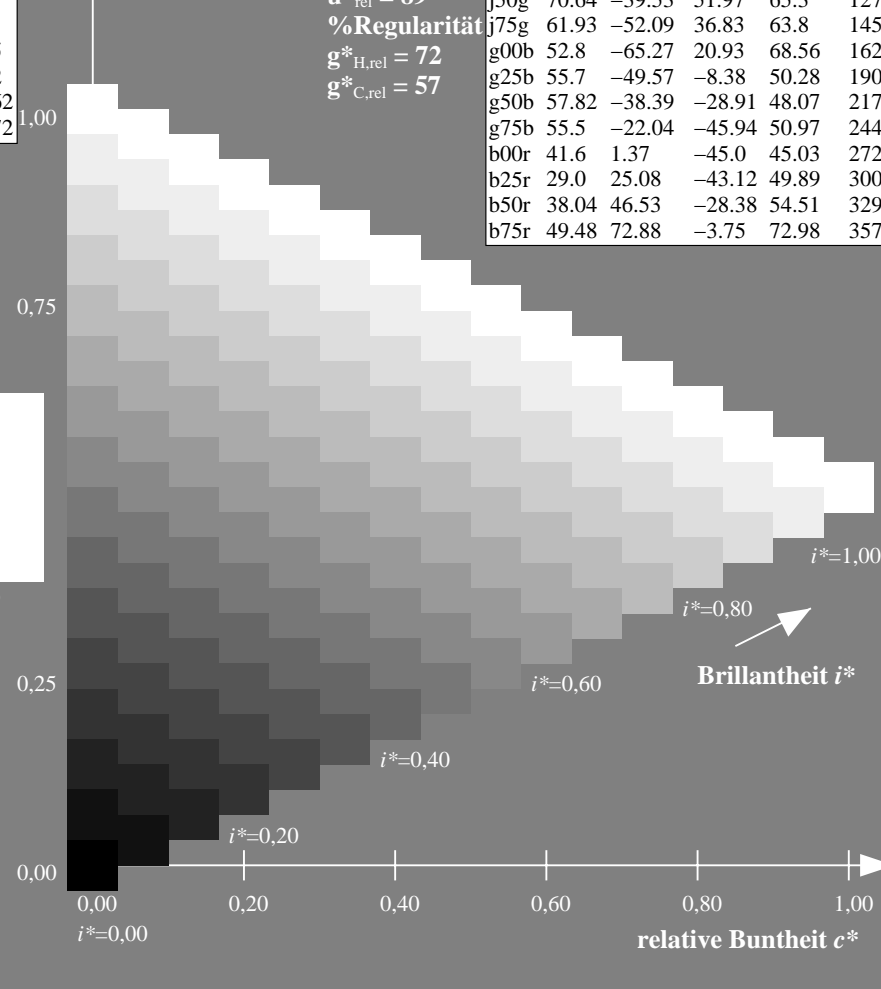
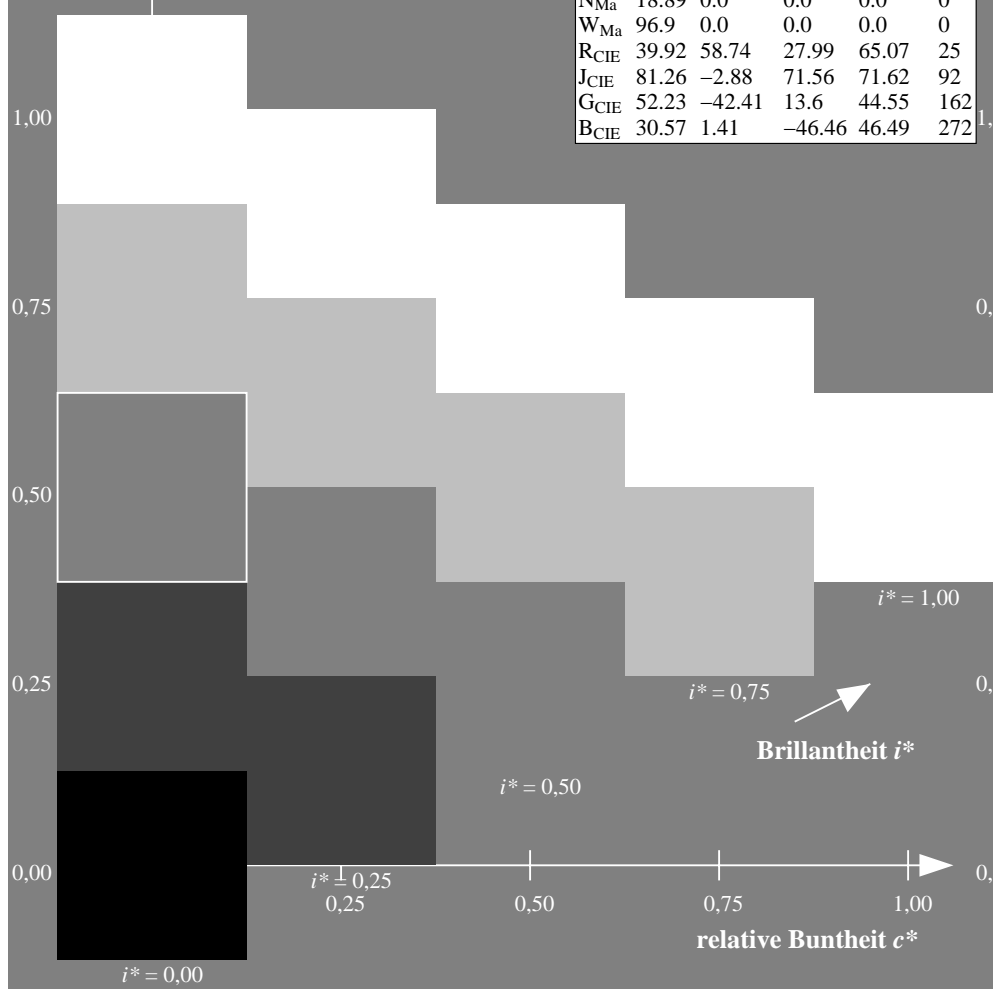
$u^*_{rel} = 89$

%Regularität

$g^*_{H,rel} = 72$

$g^*_{C,rel} = 57$

ORS19_96a; adaptierte CIELAB-Daten					
	$L^*=L^*_a$	$a^*_a$	$b^*_a$	$C^*_{ab,a}$	$h^*_{ab,a}$
r00j	48.88	66.47	31.67	73.63	25
r25j	55.85	52.39	47.48	70.7	42
r50j	65.45	35.22	58.37	68.17	59
r75j	75.19	17.82	69.41	71.66	76
j00g	87.03	-3.34	82.83	82.9	92
j25g	80.72	-25.0	69.5	73.86	110
j50g	70.64	-39.53	51.97	65.3	127
j75g	61.93	-52.09	36.83	63.8	145
g00b	52.8	-65.27	20.93	68.56	162
g25b	55.7	-49.57	-8.38	50.28	190
g50b	57.82	-38.39	-28.91	48.07	217
g75b	55.5	-22.04	-45.94	50.97	244
b00r	41.6	1.37	-45.0	45.03	272
b25r	29.0	25.08	-43.12	49.89	300
b50r	38.04	46.53	-28.38	54.51	329
b75r	49.48	72.88	-3.75	72.98	357



Ein und Ausgabe: Farbmetrisches Drucker-Reflektiv-System ORS19\_96a für relativen CIELAB-Buntton  $h^* = lab^*h^* = h_{ab}/360 = 127/360 = 0.354$

Daten für jede Farbe:

$lab^*ch^*$  und  $lab^*icu^*$

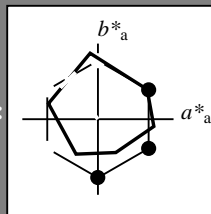
Elementar-Bunttonext:

$u^* = j50g$

Kontrastreduzierungsfaktor:

$c_R = 1.0$

Dreiecks-Helligkeit  $i^*$



ORS19\_96a; adaptierte CIELAB-Daten

	$L^*=L^*_a$	$a^*_a$	$b^*_a$	$C^*_{ab,a}$	$h^*_{ab,a}$
O <sub>Ma</sub>	48.75	65.07	39.43	76.08	31
Y <sub>Ma</sub>	90.92	-10.28	87.24	87.85	97
L <sub>Ma</sub>	52.69	-65.43	20.75	68.65	162
C <sub>Ma</sub>	59.61	-28.97	-46.21	54.56	238
V <sub>Ma</sub>	28.39	23.63	-44.12	50.06	298
M <sub>Ma</sub>	49.58	73.93	-9.55	74.55	353
N <sub>Ma</sub>	18.89	0.0	0.0	0.0	0
W <sub>Ma</sub>	96.9	0.0	0.0	0.0	0
R <sub>CIE</sub>	39.92	58.74	27.99	65.07	25
J <sub>CIE</sub>	81.26	-2.88	71.56	71.62	92
G <sub>CIE</sub>	52.23	-42.41	13.6	44.55	162
B <sub>CIE</sub>	30.57	1.41	-46.46	46.49	272

Daten für Maximalfarbe (Ma):

$LAB^*LAB^*_{Ma}$ : 71 -39 52

$LAB^*LCH^*_{Ma}$ : 71 65 127

$lab^*rgb^*_{Ma}$ : 0.5 1.0 0.0

$lab^*olv^*_{Ma}$ : 0.47 1.0 0.0

Dreiecks-Helligkeit  $i^*$

%Umfang

$u^*_{rel} = 89$

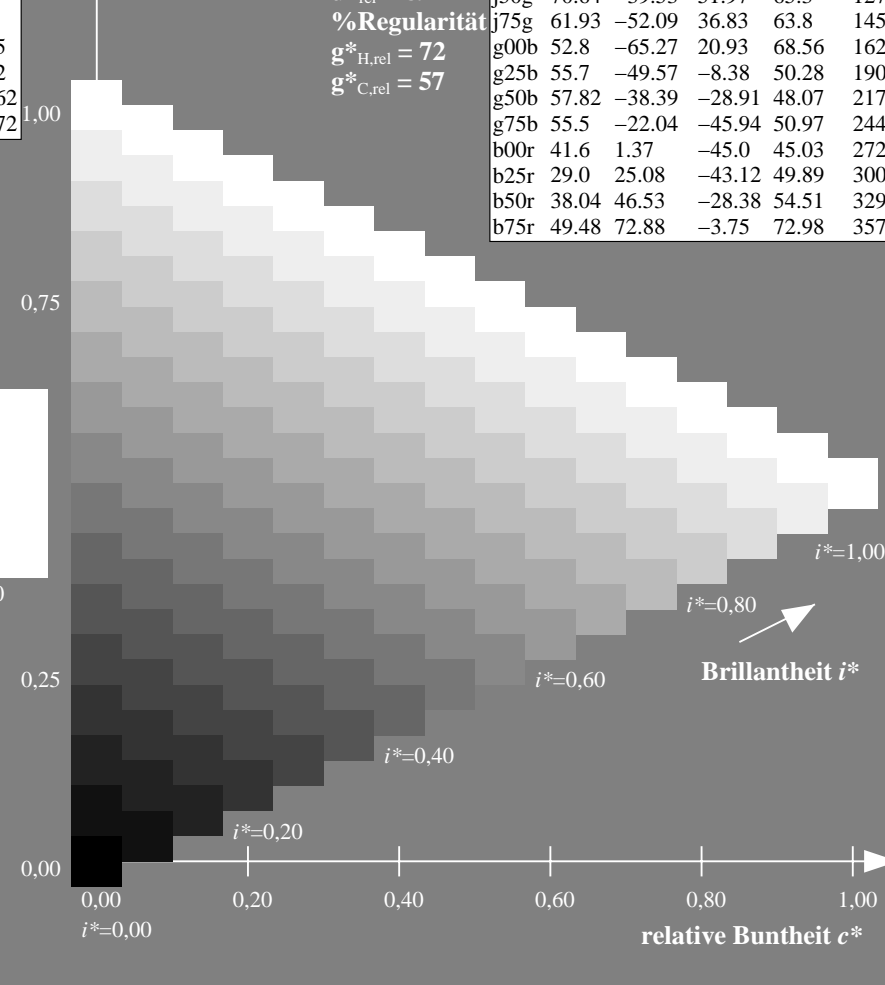
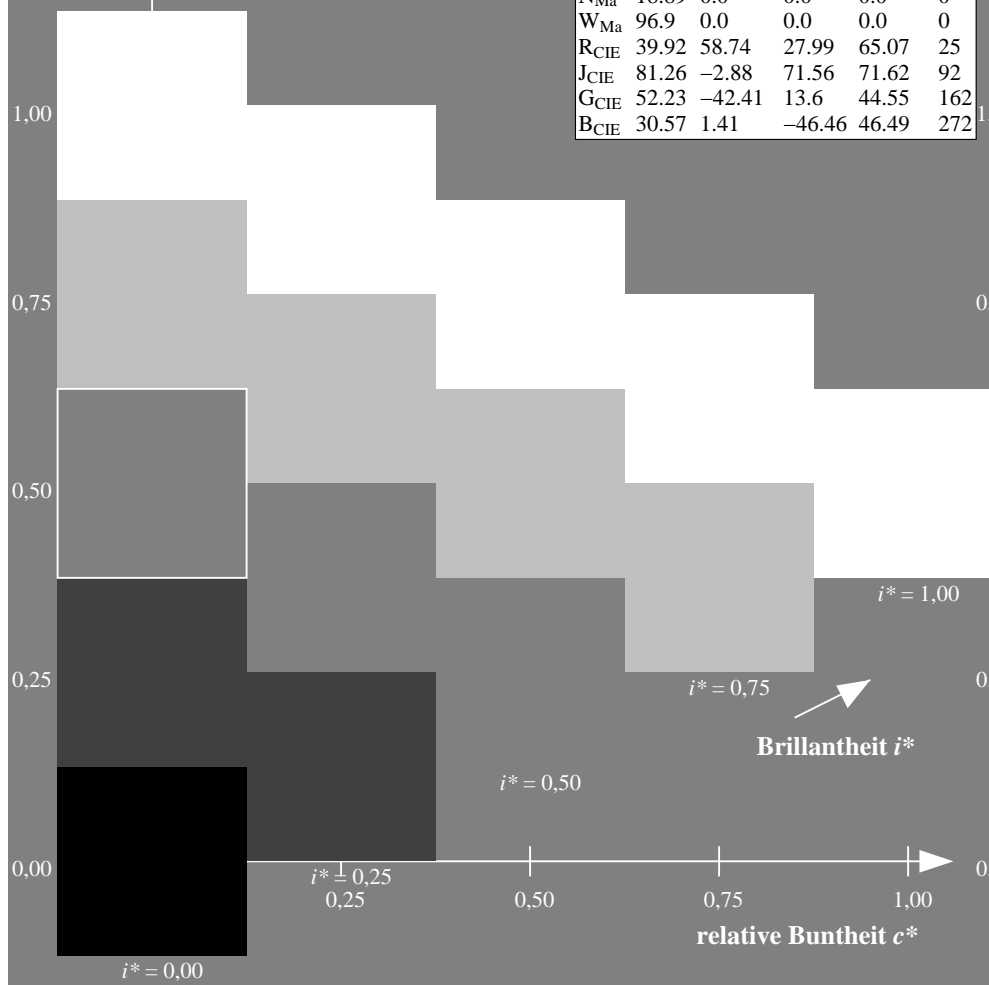
%Regularität

$g^*_{H,rel} = 72$

$g^*_{C,rel} = 57$

ORS19\_96a; adaptierte CIELAB-Daten

	$L^*=L^*_a$	$a^*_a$	$b^*_a$	$C^*_{ab,a}$	$h^*_{ab,a}$
r00j	48.88	66.47	31.67	73.63	25
r25j	55.85	52.39	47.48	70.7	42
r50j	65.45	35.22	58.37	68.17	59
r75j	75.19	17.82	69.41	71.66	76
j00g	87.03	-3.34	82.83	82.9	92
j25g	80.72	-25.0	69.5	73.86	110
j50g	70.64	-39.53	51.97	65.3	127
j75g	61.93	-52.09	36.83	63.8	145
g00b	52.8	-65.27	20.93	68.56	162
g25b	55.7	-49.57	-8.38	50.28	190
g50b	57.82	-38.39	-28.91	48.07	217
g75b	55.5	-22.04	-45.94	50.97	244
b00r	41.6	1.37	-45.0	45.03	272
b25r	29.0	25.08	-43.12	49.89	300
b50r	38.04	46.53	-28.38	54.51	329
b75r	49.48	72.88	-3.75	72.98	357





Ein und Ausgabe: Farbmetrisches Drucker-Reflektiv-System ORS19\_96a für relativen CIELAB-Buntton  $h^* = lab^*h^* = h_{ab}/360 = 145/360 = 0.402$

Daten für jede Farbe:

$lab^*ch^*$  und  $lab^*icu^*$

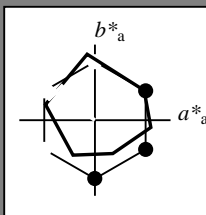
Elementar-Bunttonext:

$u^* = j75g$

Kontrastreduzierungsfaktor:

$c_R = 1.0$

Dreiecks-Helligkeit  $i^*$



ORS19\_96a; adaptierte CIELAB-Daten

	$L^*=L^*_a$	$a^*_a$	$b^*_a$	$C^*_{ab,a}$	$h^*_{ab,a}$
O <sub>Ma</sub>	48.75	65.07	39.43	76.08	31
Y <sub>Ma</sub>	90.92	-10.28	87.24	87.85	97
L <sub>Ma</sub>	52.69	-65.43	20.75	68.65	162
C <sub>Ma</sub>	59.61	-28.97	-46.21	54.56	238
V <sub>Ma</sub>	28.39	23.63	-44.12	50.06	298
M <sub>Ma</sub>	49.58	73.93	-9.55	74.55	353
N <sub>Ma</sub>	18.89	0.0	0.0	0.0	0
W <sub>Ma</sub>	96.9	0.0	0.0	0.0	0
R <sub>CIE</sub>	39.92	58.74	27.99	65.07	25
J <sub>CIE</sub>	81.26	-2.88	71.56	71.62	92
G <sub>CIE</sub>	52.23	-42.41	13.6	44.55	162
B <sub>CIE</sub>	30.57	1.41	-46.46	46.49	272

Daten für Maximalfarbe (Ma):

$LAB^*LAB^*_{Ma}$ : 62 -51 37

$LAB^*LCH^*_{Ma}$ : 62 64 145

$lab^*rgb^*_{Ma}$ : 0.25 1.0 0.0

$lab^*olv^*_{Ma}$ : 0.24 1.0 0.0

Dreiecks-Helligkeit  $i^*$

%Umfang

$u^*_{rel} = 89$

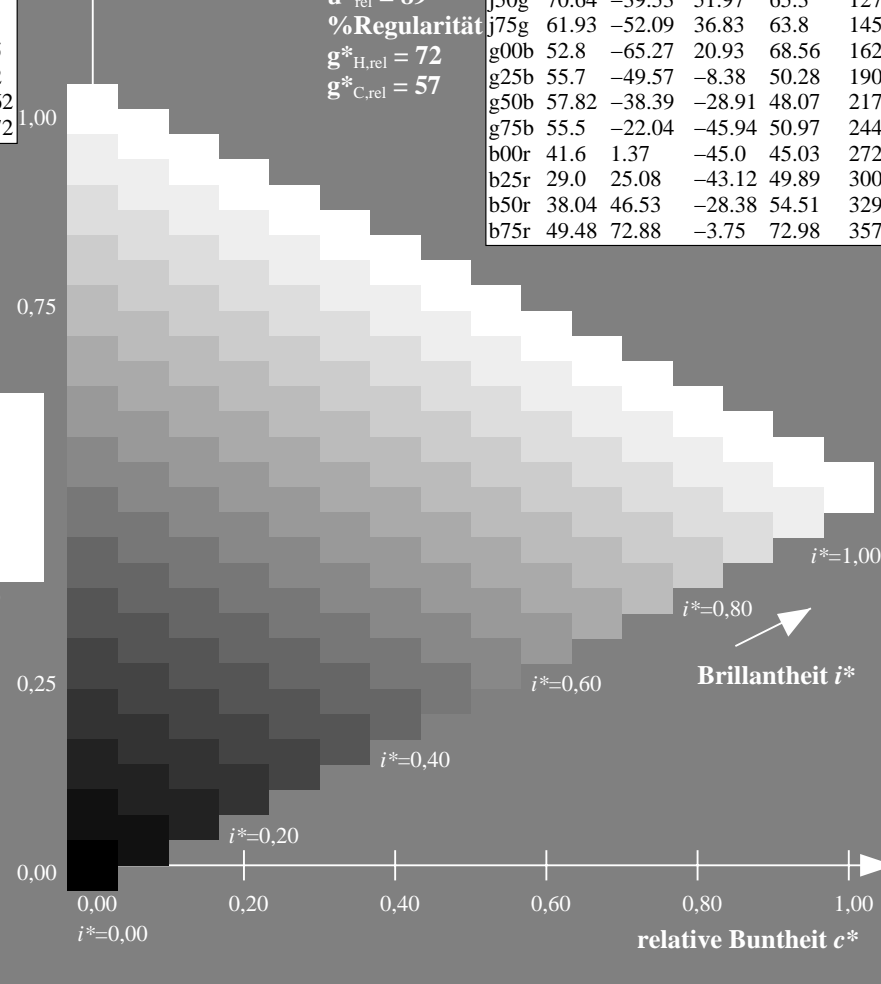
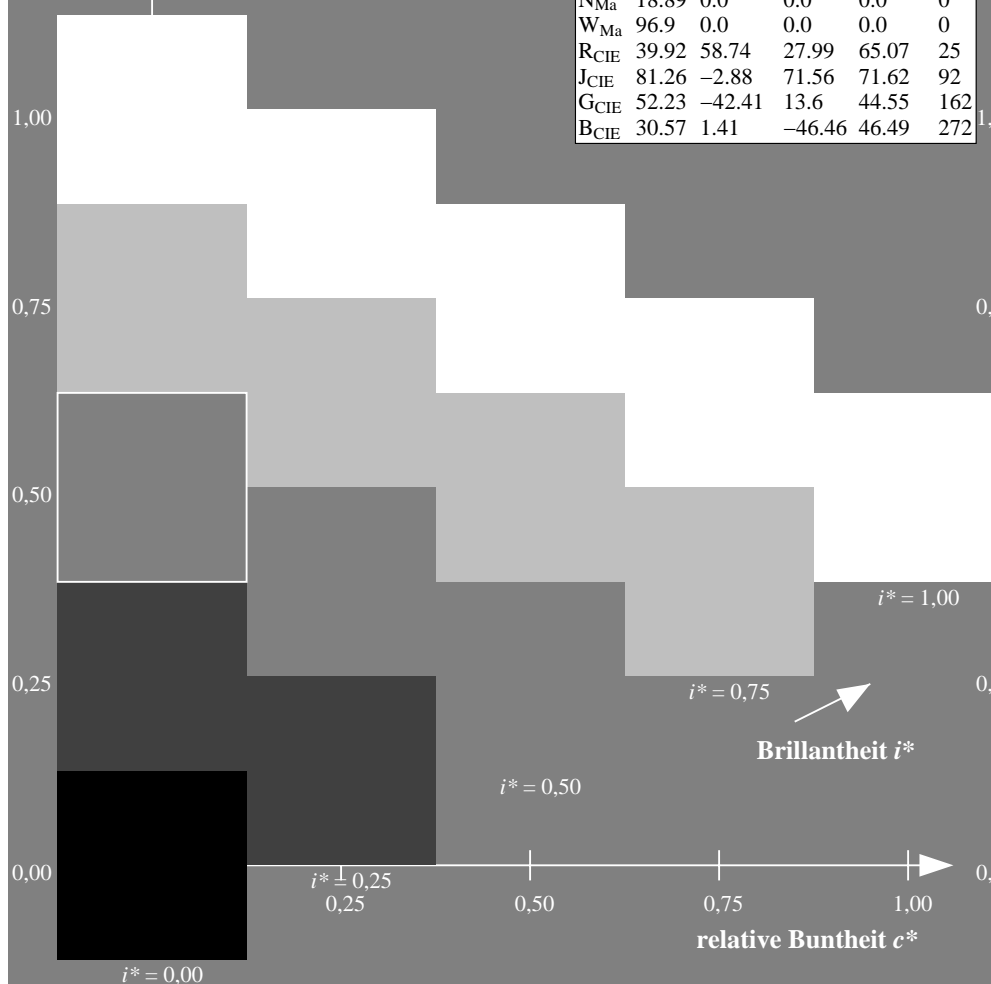
%Regularität

$g^*_{H,rel} = 72$

$g^*_{C,rel} = 57$

ORS19\_96a; adaptierte CIELAB-Daten

	$L^*=L^*_a$	$a^*_a$	$b^*_a$	$C^*_{ab,a}$	$h^*_{ab,a}$
r00j	48.88	66.47	31.67	73.63	25
r25j	55.85	52.39	47.48	70.7	42
r50j	65.45	35.22	58.37	68.17	59
r75j	75.19	17.82	69.41	71.66	76
j00g	87.03	-3.34	82.83	82.9	92
j25g	80.72	-25.0	69.5	73.86	110
j50g	70.64	-39.53	51.97	65.3	127
j75g	61.93	-52.09	36.83	63.8	145
g00b	52.8	-65.27	20.93	68.56	162
g25b	55.7	-49.57	-8.38	50.28	190
g50b	57.82	-38.39	-28.91	48.07	217
g75b	55.5	-22.04	-45.94	50.97	244
b00r	41.6	1.37	-45.0	45.03	272
b25r	29.0	25.08	-43.12	49.89	300
b50r	38.04	46.53	-28.38	54.51	329
b75r	49.48	72.88	-3.75	72.98	357



Ein und Ausgabe: Farbmetrisches Drucker-Reflektiv-System ORS19\_96a für relativen CIELAB-Buntton  $h^* = lab^*h^* = h_{ab}/360 = 162/360 = 0.451$

Daten für jede Farbe:

$lab^*ch^*$  und  $lab^*icu^*$

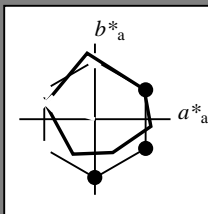
Elementar-Bunttonext:

$u^* = g00b$

Kontrastreduzierungsfaktor:

$c_R = 1.0$

Dreiecks-Helligkeit  $i^*$



ORS19\_96a; adaptierte CIELAB-Daten

	$L^*=L^*_a$	$a^*_a$	$b^*_a$	$C^*_{ab,a}$	$h^*_{ab,a}$
O <sub>Ma</sub>	48.75	65.07	39.43	76.08	31
Y <sub>Ma</sub>	90.92	-10.28	87.24	87.85	97
L <sub>Ma</sub>	52.69	-65.43	20.75	68.65	162
C <sub>Ma</sub>	59.61	-28.97	-46.21	54.56	238
V <sub>Ma</sub>	28.39	23.63	-44.12	50.06	298
M <sub>Ma</sub>	49.58	73.93	-9.55	74.55	353
N <sub>Ma</sub>	18.89	0.0	0.0	0.0	0
W <sub>Ma</sub>	96.9	0.0	0.0	0.0	0
R <sub>CIE</sub>	39.92	58.74	27.99	65.07	25
J <sub>CIE</sub>	81.26	-2.88	71.56	71.62	92
G <sub>CIE</sub>	52.23	-42.41	13.6	44.55	162
B <sub>CIE</sub>	30.57	1.41	-46.46	46.49	272

Daten für Maximalfarbe (Ma):

$LAB^*LAB^*_{Ma}$ : 53 -64 21

$LAB^*LCH^*_{Ma}$ : 53 69 162

$lab^*rgb^*_{Ma}$ : 0.0 1.0 0.0

$lab^*olv^*_{Ma}$ : 0.0 1.0 0.0

Dreiecks-Helligkeit  $i^*$

%Umfang

$u^*_{rel} = 89$

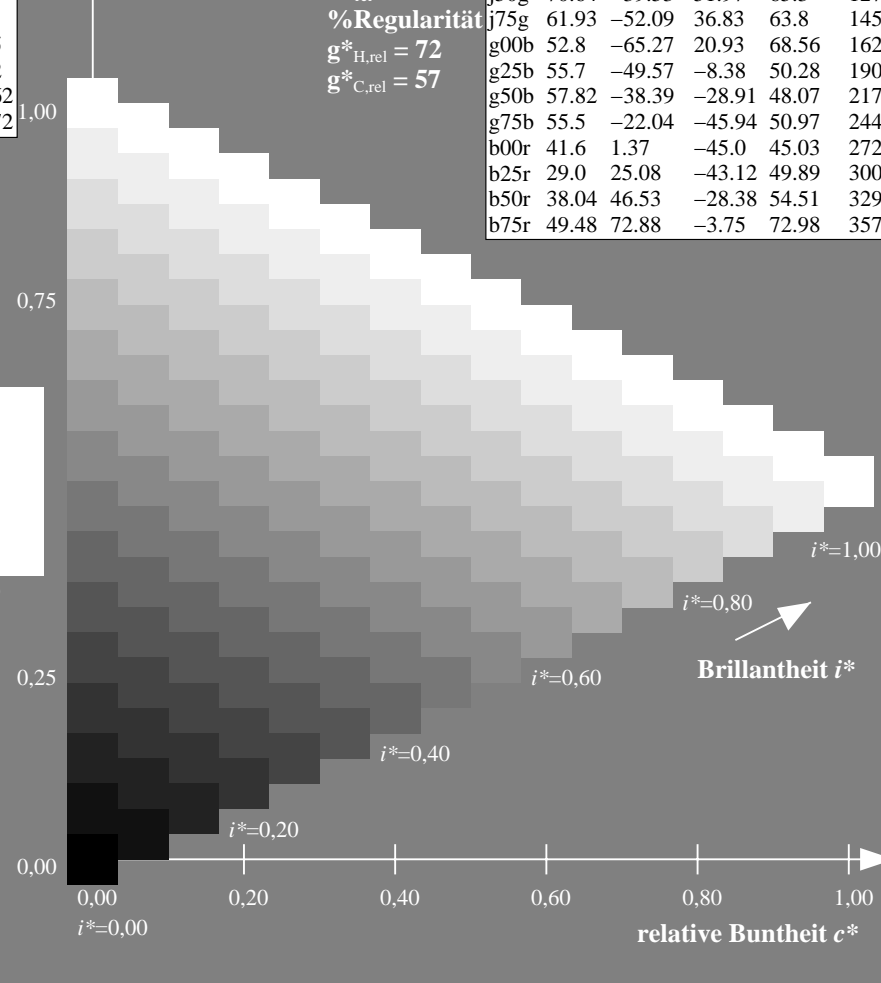
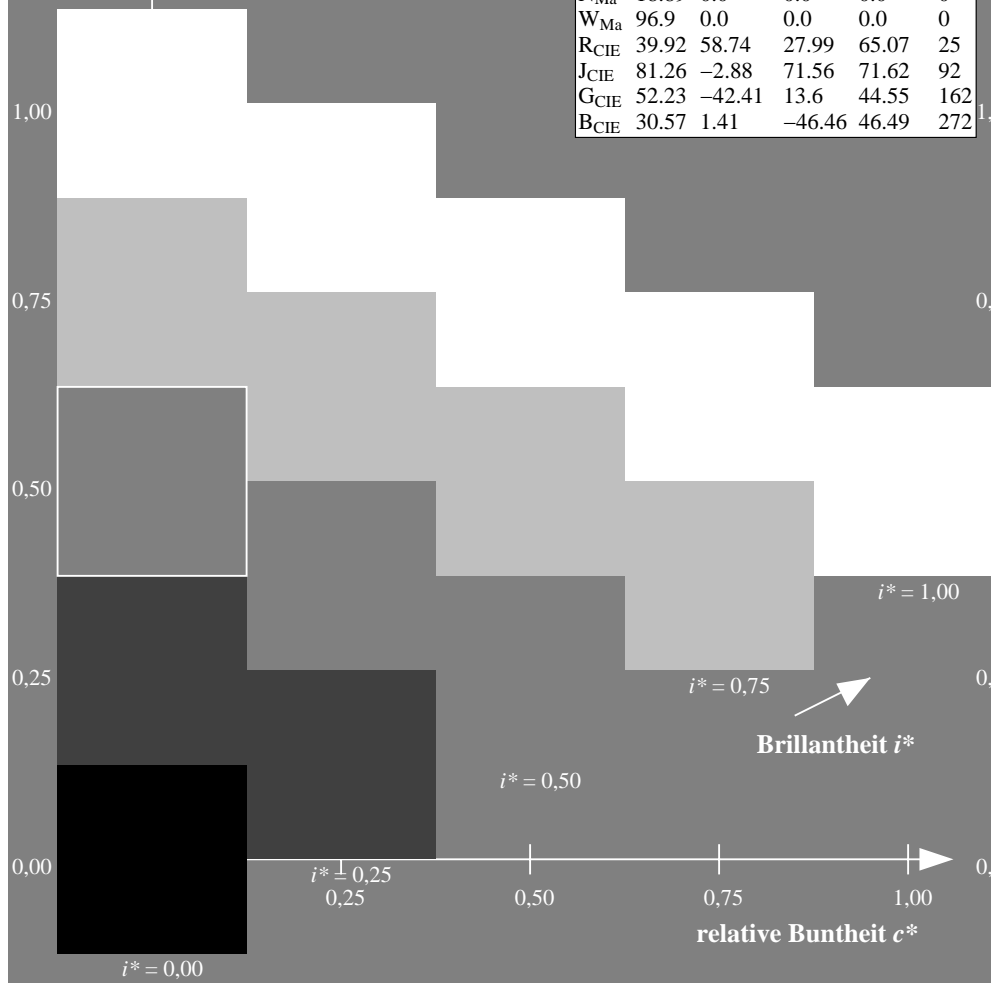
%Regularität

$g^*_{H,rel} = 72$

$g^*_{C,rel} = 57$

ORS19\_96a; adaptierte CIELAB-Daten

	$L^*=L^*_a$	$a^*_a$	$b^*_a$	$C^*_{ab,a}$	$h^*_{ab,a}$
r00j	48.88	66.47	31.67	73.63	25
r25j	55.85	52.39	47.48	70.7	42
r50j	65.45	35.22	58.37	68.17	59
r75j	75.19	17.82	69.41	71.66	76
j00g	87.03	-3.34	82.83	82.9	92
j25g	80.72	-25.0	69.5	73.86	110
j50g	70.64	-39.53	51.97	65.3	127
j75g	61.93	-52.09	36.83	63.8	145
g00b	52.8	-65.27	20.93	68.56	162
g25b	55.7	-49.57	-8.38	50.28	190
g50b	57.82	-38.39	-28.91	48.07	217
g75b	55.5	-22.04	-45.94	50.97	244
b00r	41.6	1.37	-45.0	45.03	272
b25r	29.0	25.08	-43.12	49.89	300
b50r	38.04	46.53	-28.38	54.51	329
b75r	49.48	72.88	-3.75	72.98	357



Ein und Ausgabe: Farbmetrisches Drucker-Reflektiv-System ORS19\_96a für relativen CIELAB-Buntton  $h^* = lab^*h^* = h_{ab}/360 = 190/360 = 0.527$

Daten für jede Farbe:

$lab^*ch^*$  und  $lab^*icu^*$

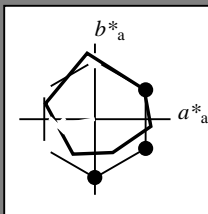
Elementar-Bunttonext:

$u^* = g25b$

Kontrastreduzierungsfaktor:

$c_R = 1.0$

Dreiecks-Helligkeit  $i^*$



ORS19\_96a; adaptierte CIELAB-Daten

	$L^*=L_a^*$	$a_a^*$	$b_a^*$	$C_{ab,a}^*$	$h_{ab,a}^*$
O <sub>Ma</sub>	48.75	65.07	39.43	76.08	31
Y <sub>Ma</sub>	90.92	-10.28	87.24	87.85	97
L <sub>Ma</sub>	52.69	-65.43	20.75	68.65	162
C <sub>Ma</sub>	59.61	-28.97	-46.21	54.56	238
V <sub>Ma</sub>	28.39	23.63	-44.12	50.06	298
M <sub>Ma</sub>	49.58	73.93	-9.55	74.55	353
N <sub>Ma</sub>	18.89	0.0	0.0	0.0	0
W <sub>Ma</sub>	96.9	0.0	0.0	0.0	0
R <sub>CIE</sub>	39.92	58.74	27.99	65.07	25
J <sub>CIE</sub>	81.26	-2.88	71.56	71.62	92
G <sub>CIE</sub>	52.23	-42.41	13.6	44.55	162
B <sub>CIE</sub>	30.57	1.41	-46.46	46.49	272

Daten für Maximalfarbe (Ma):

$LAB^*LAB^*_{Ma}$ : 56 -49 -7

$LAB^*LCH^*_{Ma}$ : 56 50 190

$lab^*rgb^*_{Ma}$ : 0.0 1.0 0.5

$lab^*olv^*_{Ma}$ : 0.0 1.0 0.44

Dreiecks-Helligkeit  $i^*$

%Umfang

$u^*_{rel} = 89$

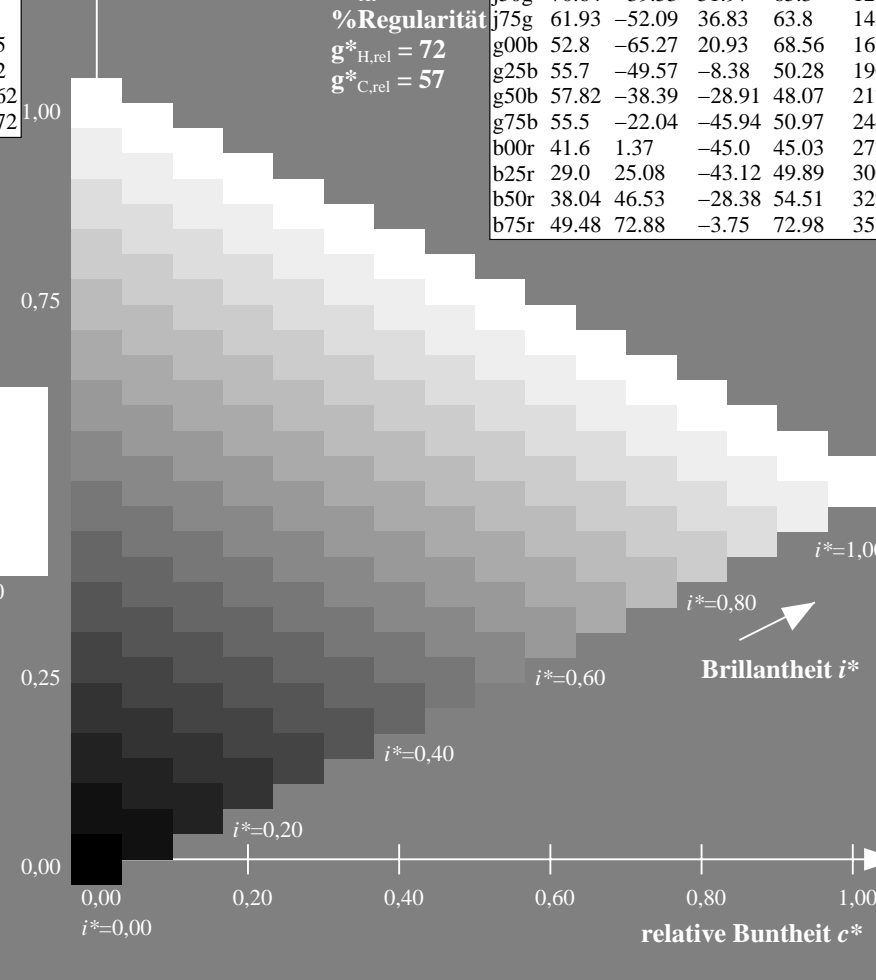
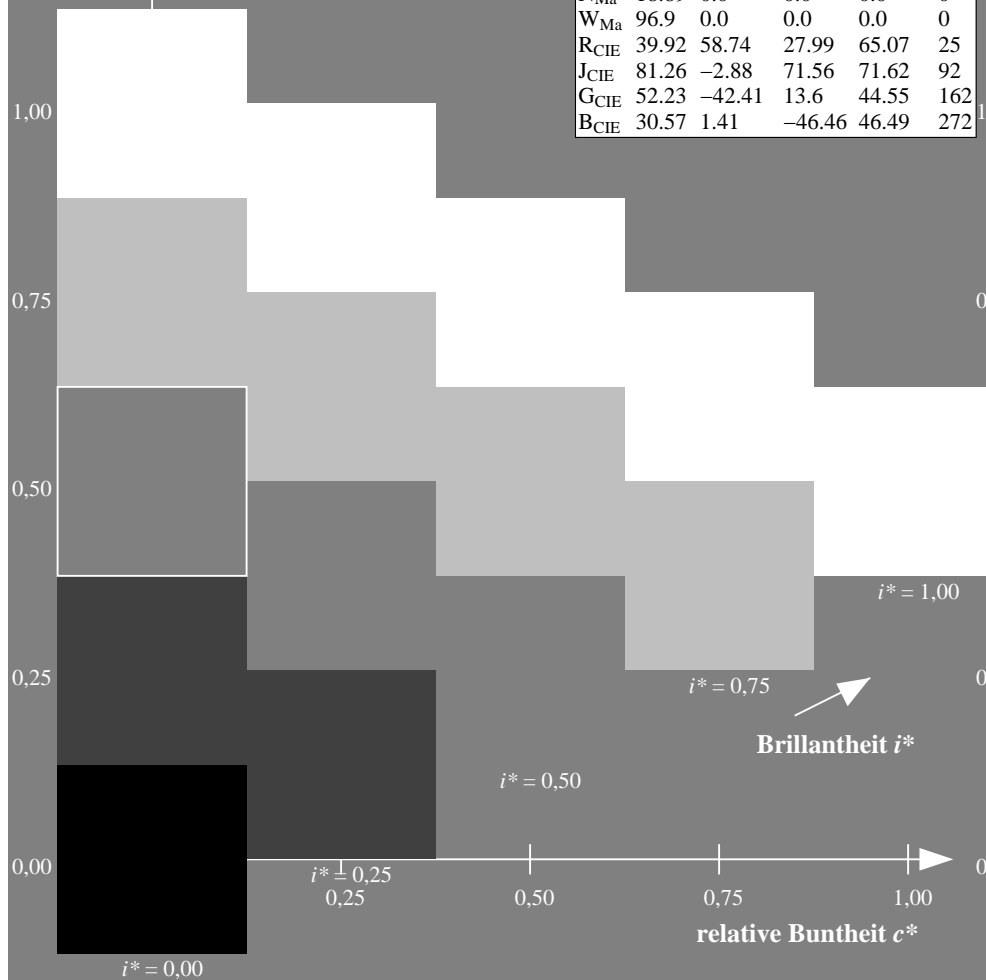
%Regularität

$g^*_{H,rel} = 72$

$g^*_{C,rel} = 57$

ORS19\_96a; adaptierte CIELAB-Daten

	$L^*=L_a^*$	$a_a^*$	$b_a^*$	$C_{ab,a}^*$	$h_{ab,a}^*$
r00j	48.88	66.47	31.67	73.63	25
r25j	55.85	52.39	47.48	70.7	42
r50j	65.45	35.22	58.37	68.17	59
r75j	75.19	17.82	69.41	71.66	76
j00g	87.03	-3.34	82.83	82.9	92
j25g	80.72	-25.0	69.5	73.86	110
j50g	70.64	-39.53	51.97	65.3	127
j75g	61.93	-52.09	36.83	63.8	145
g00b	52.8	-65.27	20.93	68.56	162
g25b	55.7	-49.57	-8.38	50.28	190
g50b	57.82	-38.39	-28.91	48.07	217
g75b	55.5	-22.04	-45.94	50.97	244
b00r	41.6	1.37	-45.0	45.03	272
b25r	29.0	25.08	-43.12	49.89	300
b50r	38.04	46.53	-28.38	54.51	329
b75r	49.48	72.88	-3.75	72.98	357



Ein und Ausgabe: Farbmetrisches Drucker-Reflektiv-System ORS19\_96a für relativen CIELAB-Buntton  $h^* = lab^*h^* = h_{ab}/360 = 217/360 = 0.603$

Daten für jede Farbe:

$lab^*ch^*$  und  $lab^*icu^*$

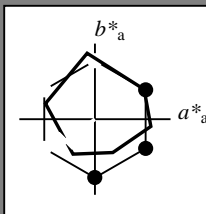
Elementar-Bunttonext:

$u^* = g50b$

Kontrastreduzierungsfaktor:

$c_R = 1.0$

Dreiecks-Helligkeit  $i^*$



ORS19\_96a; adaptierte CIELAB-Daten

	$L^*=L^*_a$	$a^*_a$	$b^*_a$	$C^*_{ab,a}$	$h^*_{ab,a}$
O <sub>Ma</sub>	48.75	65.07	39.43	76.08	31
Y <sub>Ma</sub>	90.92	-10.28	87.24	87.85	97
L <sub>Ma</sub>	52.69	-65.43	20.75	68.65	162
C <sub>Ma</sub>	59.61	-28.97	-46.21	54.56	238
V <sub>Ma</sub>	28.39	23.63	-44.12	50.06	298
M <sub>Ma</sub>	49.58	73.93	-9.55	74.55	353
N <sub>Ma</sub>	18.89	0.0	0.0	0.0	0
W <sub>Ma</sub>	96.9	0.0	0.0	0.0	0
R <sub>CIE</sub>	39.92	58.74	27.99	65.07	25
J <sub>CIE</sub>	81.26	-2.88	71.56	71.62	92
G <sub>CIE</sub>	52.23	-42.41	13.6	44.55	162
B <sub>CIE</sub>	30.57	1.41	-46.46	46.49	272

Daten für Maximalfarbe (Ma):

$LAB^*LAB^*_{Ma}$ : 58 -37 -28

$LAB^*LCH^*_{Ma}$ : 58 48 217

$lab^*rgb^*_{Ma}$ : 0.0 1.0 1.0

$lab^*olv^*_{Ma}$ : 0.0 1.0 0.74

Dreiecks-Helligkeit  $i^*$

%Umfang

$u^*_{rel} = 89$

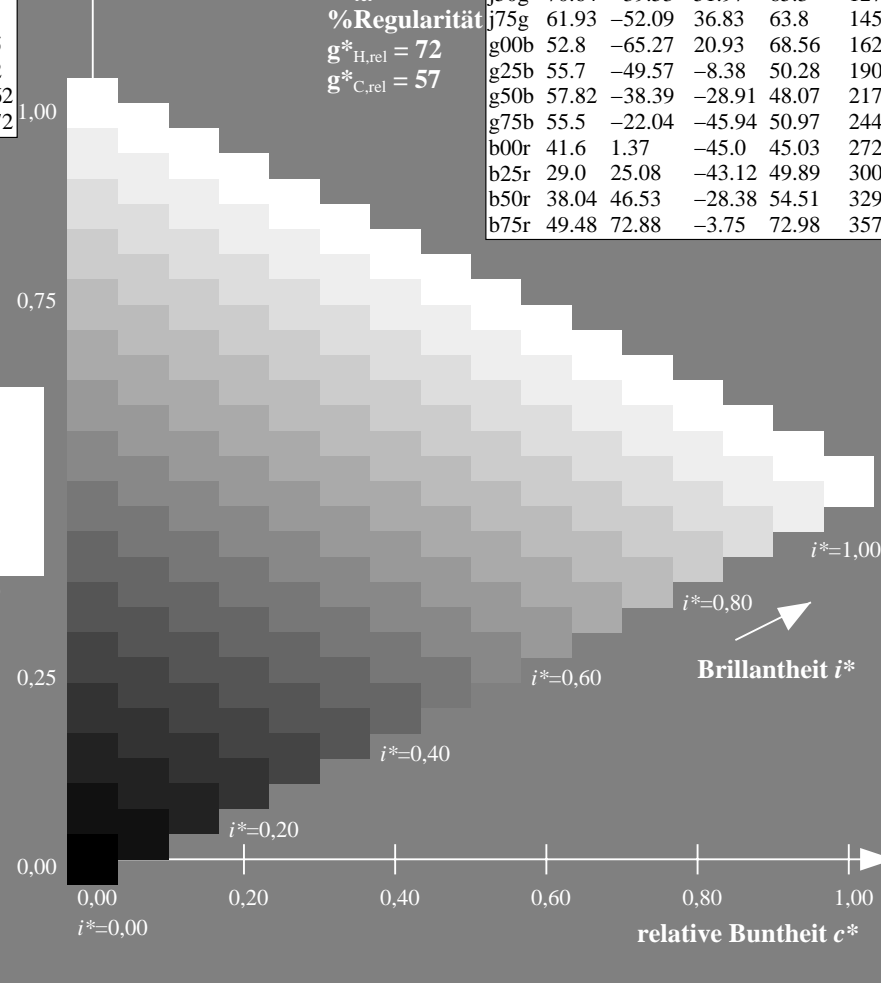
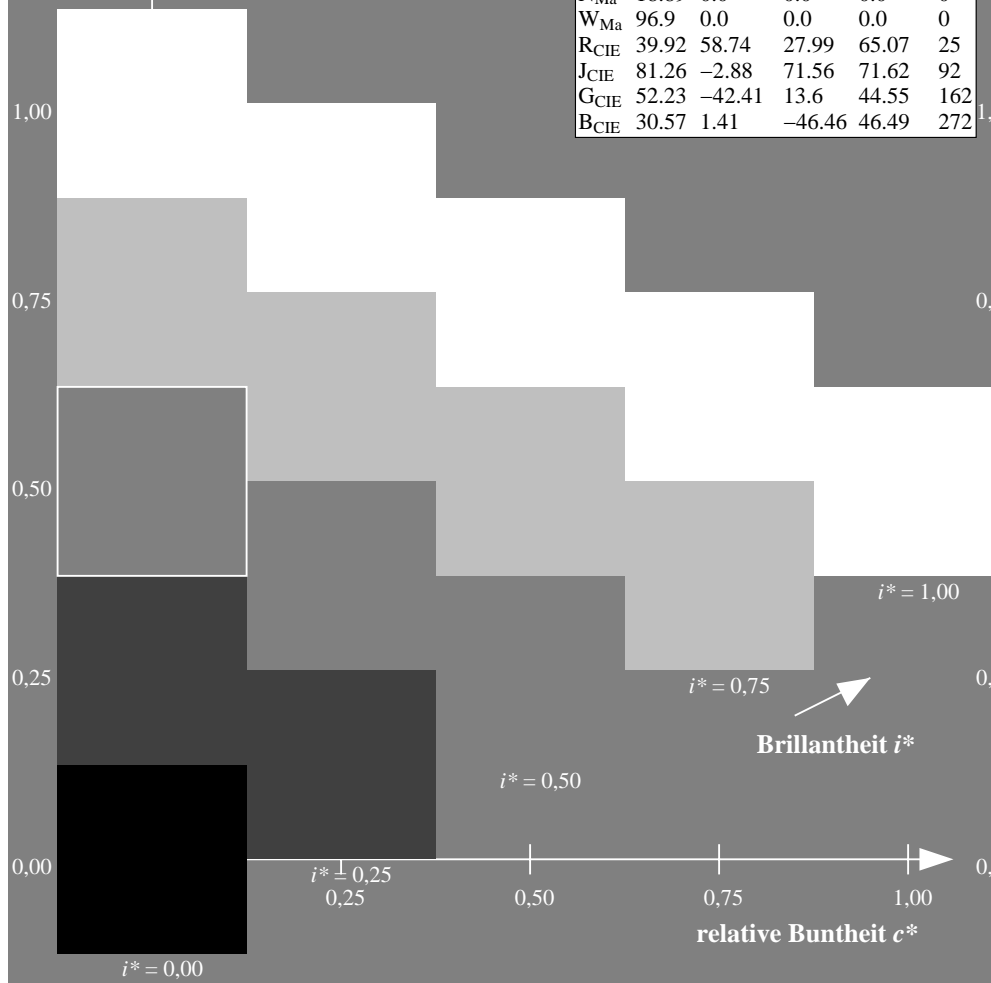
%Regularität

$g^*_{H,rel} = 72$

$g^*_{C,rel} = 57$

ORS19\_96a; adaptierte CIELAB-Daten

	$L^*=L^*_a$	$a^*_a$	$b^*_a$	$C^*_{ab,a}$	$h^*_{ab,a}$
r00j	48.88	66.47	31.67	73.63	25
r25j	55.85	52.39	47.48	70.7	42
r50j	65.45	35.22	58.37	68.17	59
r75j	75.19	17.82	69.41	71.66	76
j00g	87.03	-3.34	82.83	82.9	92
j25g	80.72	-25.0	69.5	73.86	110
j50g	70.64	-39.53	51.97	65.3	127
j75g	61.93	-52.09	36.83	63.8	145
g00b	52.8	-65.27	20.93	68.56	162
g25b	55.7	-49.57	-8.38	50.28	190
g50b	57.82	-38.39	-28.91	48.07	217
g75b	55.5	-22.04	-45.94	50.97	244
b00r	41.6	1.37	-45.0	45.03	272
b25r	29.0	25.08	-43.12	49.89	300
b50r	38.04	46.53	-28.38	54.51	329
b75r	49.48	72.88	-3.75	72.98	357



Ein und Ausgabe: Farbmetrisches Drucker-Reflektiv-System ORS19\_96a für relativen CIELAB-Buntton  $h^* = lab^*h^* = h_{ab}/360 = 244/360 = 0.679$

Daten für jede Farbe:

$lab^*ch^*$  und  $lab^*icu^*$

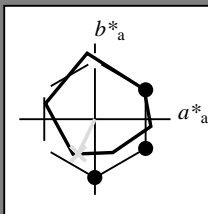
Elementar-Bunttonext:

$u^* = g75b$

Kontrastreduzierungsfaktor:

$c_R = 1.0$

Dreiecks-Helligkeit  $i^*$



ORS19\_96a; adaptierte CIELAB-Daten

	$L^*=L^*_a$	$a^*_a$	$b^*_a$	$C^*_{ab,a}$	$h^*_{ab,a}$
O <sub>Ma</sub>	48.75	65.07	39.43	76.08	31
Y <sub>Ma</sub>	90.92	-10.28	87.24	87.85	97
L <sub>Ma</sub>	52.69	-65.43	20.75	68.65	162
C <sub>Ma</sub>	59.61	-28.97	-46.21	54.56	238
V <sub>Ma</sub>	28.39	23.63	-44.12	50.06	298
M <sub>Ma</sub>	49.58	73.93	-9.55	74.55	353
N <sub>Ma</sub>	18.89	0.0	0.0	0.0	0
W <sub>Ma</sub>	96.9	0.0	0.0	0.0	0
R <sub>CIE</sub>	39.92	58.74	27.99	65.07	25
J <sub>CIE</sub>	81.26	-2.88	71.56	71.62	92
G <sub>CIE</sub>	52.23	-42.41	13.6	44.55	162
B <sub>CIE</sub>	30.57	1.41	-46.46	46.49	272

Daten für Maximalfarbe (Ma):

$LAB^*LAB^*_{Ma}$ : 55 -21 -45

$LAB^*LCH^*_{Ma}$ : 55 51 244

$lab^*rgb^*_{Ma}$ : 0.0 0.5 1.0

$lab^*olv^*_{Ma}$ : 0.0 0.87 1.0

Dreiecks-Helligkeit  $i^*$

%Umfang

$u^*_{rel} = 89$

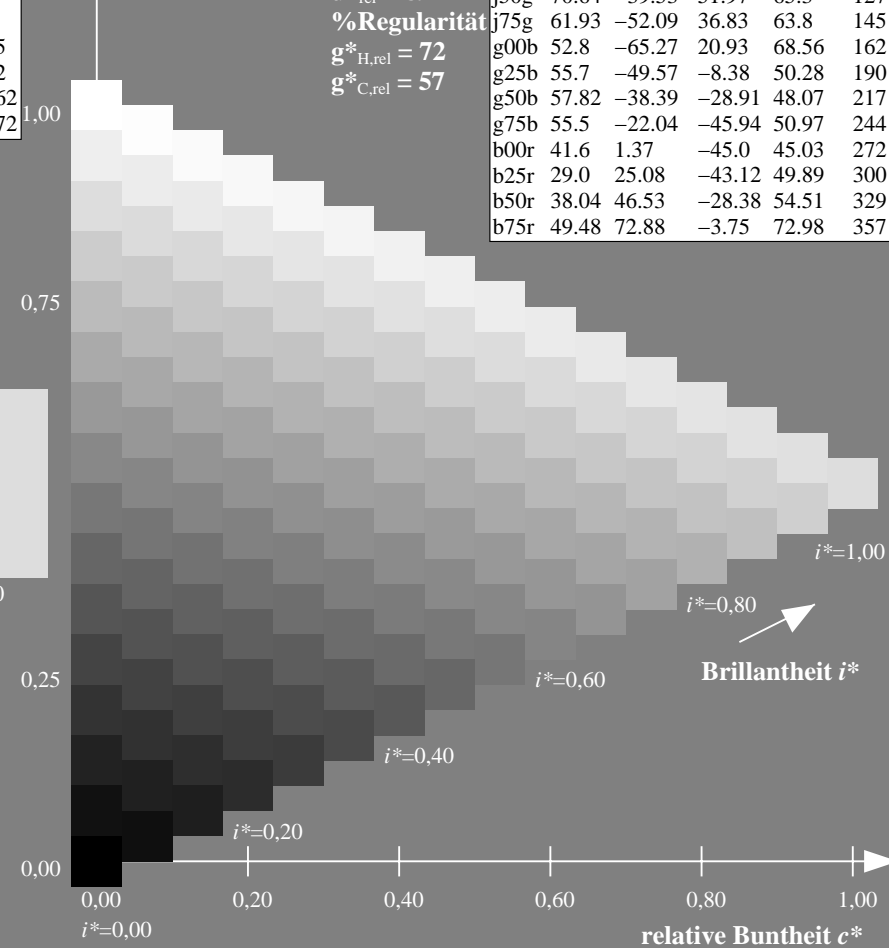
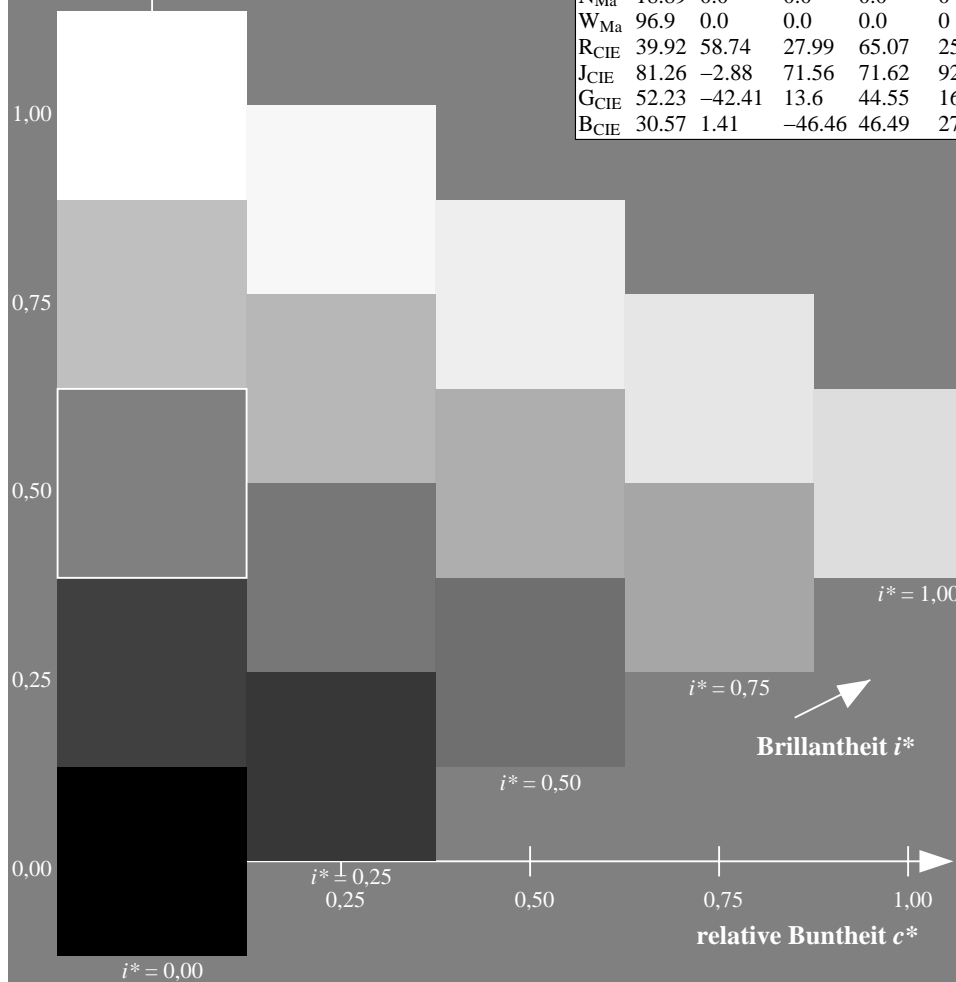
%Regularität

$g^*_{H,rel} = 72$

$g^*_{C,rel} = 57$

ORS19\_96a; adaptierte CIELAB-Daten

	$L^*=L^*_a$	$a^*_a$	$b^*_a$	$C^*_{ab,a}$	$h^*_{ab,a}$
r00j	48.88	66.47	31.67	73.63	25
r25j	55.85	52.39	47.48	70.7	42
r50j	65.45	35.22	58.37	68.17	59
r75j	75.19	17.82	69.41	71.66	76
j00g	87.03	-3.34	82.83	82.9	92
j25g	80.72	-25.0	69.5	73.86	110
j50g	70.64	-39.53	51.97	65.3	127
j75g	61.93	-52.09	36.83	63.8	145
g00b	52.8	-65.27	20.93	68.56	162
g25b	55.7	-49.57	-8.38	50.28	190
g50b	57.82	-38.39	-28.91	48.07	217
g75b	55.5	-22.04	-45.94	50.97	244
b00r	41.6	1.37	-45.0	45.03	272
b25r	29.0	25.08	-43.12	49.89	300
b50r	38.04	46.53	-28.38	54.51	329
b75r	49.48	72.88	-3.75	72.98	357



Ein und Ausgabe: Farbmetrisches Drucker-Reflektiv-System ORS19\_96a für relativen CIELAB-Buntton  $h^* = lab^*h^* = h_{ab}/360 = 272/360 = 0.755$

Daten für jede Farbe:

$lab^*ch^*$  und  $lab^*icu^*$

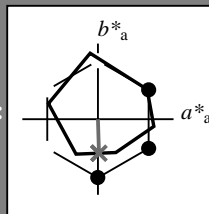
Elementar-Bunttontext:

$u^* = b00r$

Kontrastreduzierungsfaktor:

$c_R = 1.0$

Dreiecks-Helligkeit  $i^*$



ORS19\_96a; adaptierte CIELAB-Daten

	$L^*=\bar{L}^*_a$	$a^*_a$	$b^*_a$	$C^*_{ab,a}$	$h^*_{ab,a}$
O <sub>Ma</sub>	48.75	65.07	39.43	76.08	31
Y <sub>Ma</sub>	90.92	-10.28	87.24	87.85	97
L <sub>Ma</sub>	52.69	-65.43	20.75	68.65	162
C <sub>Ma</sub>	59.61	-28.97	-46.21	54.56	238
V <sub>Ma</sub>	28.39	23.63	-44.12	50.06	298
M <sub>Ma</sub>	49.58	73.93	-9.55	74.55	353
N <sub>Ma</sub>	18.89	0.0	0.0	0.0	0
W <sub>Ma</sub>	96.9	0.0	0.0	0.0	0
R <sub>CIE</sub>	39.92	58.74	27.99	65.07	25
J <sub>CIE</sub>	81.26	-2.88	71.56	71.62	92
G <sub>CIE</sub>	52.23	-42.41	13.6	44.55	162
B <sub>CIE</sub>	30.57	1.41	-46.46	46.49	272

Daten für Maximalfarbe (Ma):

$LAB^*LAB^*Ma$ : 42 1 -44

$LAB^*LCH^*Ma$ : 42 45 272

$lab^*rgb^*Ma$ : 0.0 0.0 1.0

$lab^*olv^*Ma$ : 0.0 0.42 1.0

Dreiecks-Helligkeit  $i^*$

%Umfang

$u^*_{rel} = 89$

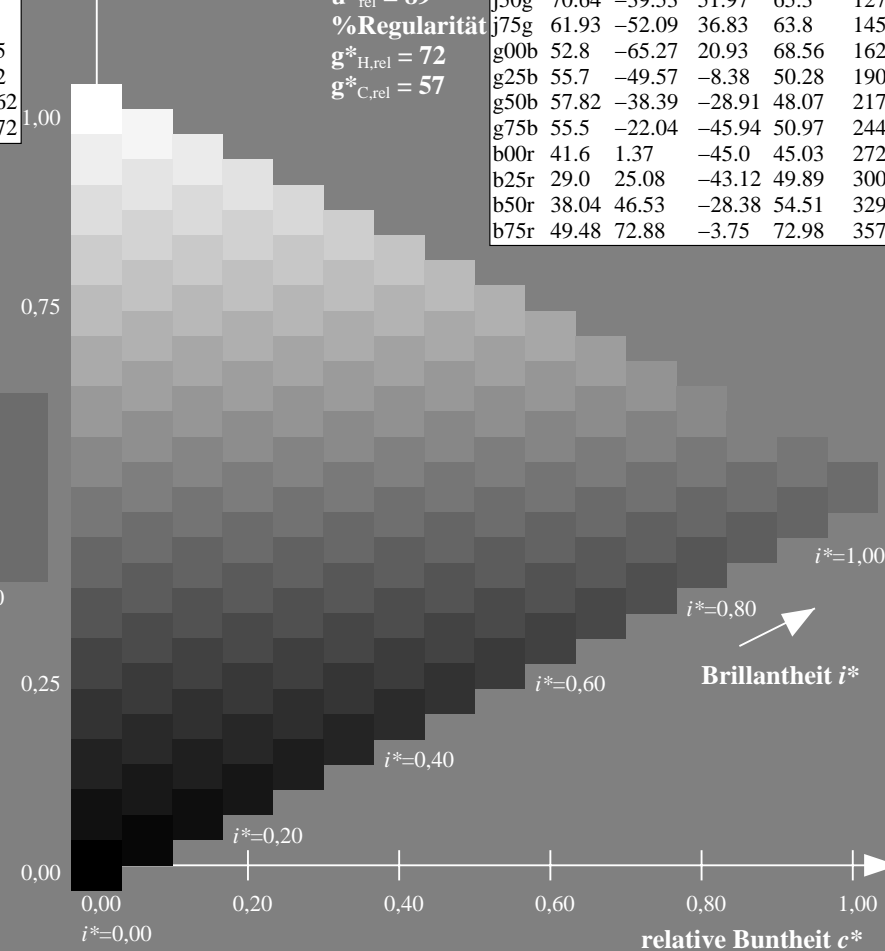
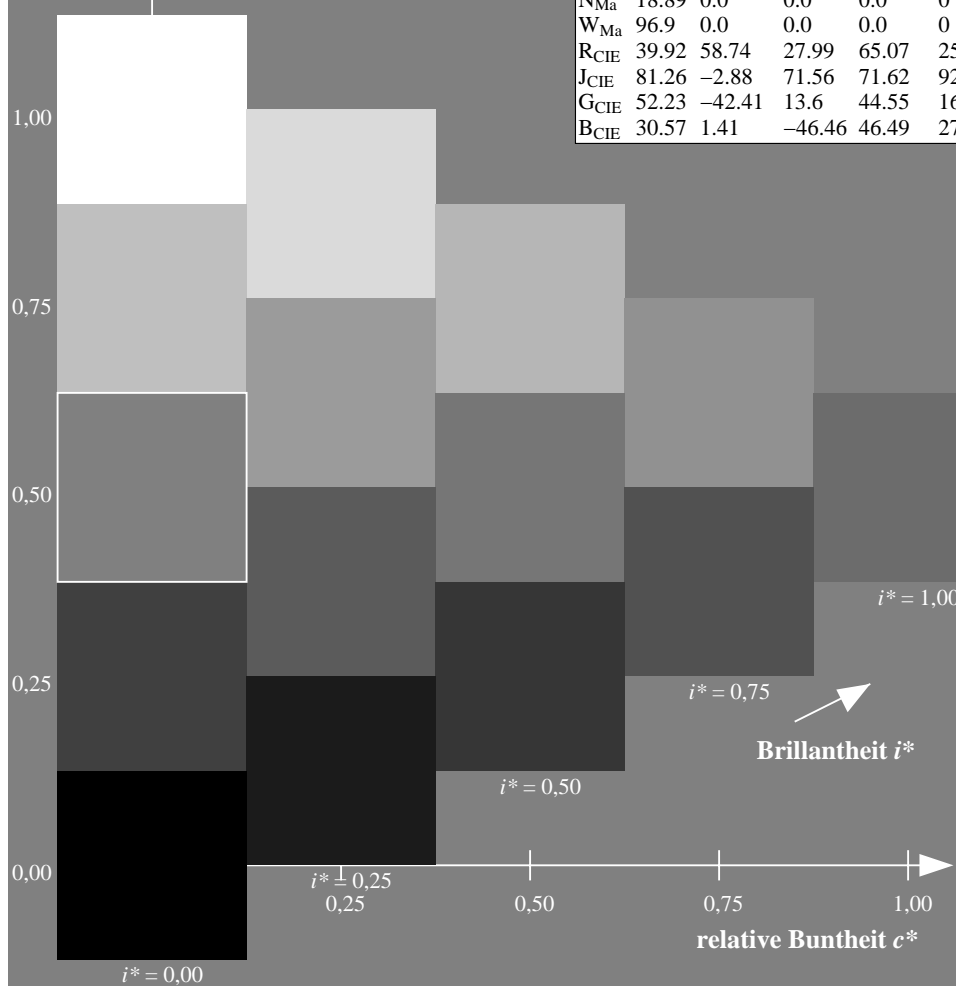
%Regularität

$g^*_{H,rel} = 72$

$g^*_{C,rel} = 57$

ORS19\_96a; adaptierte CIELAB-Daten

	$L^*=\bar{L}^*_a$	$a^*_a$	$b^*_a$	$C^*_{ab,a}$	$h^*_{ab,a}$
r00j	48.88	66.47	31.67	73.63	25
r25j	55.85	52.39	47.48	70.7	42
r50j	65.45	35.22	58.37	68.17	59
r75j	75.19	17.82	69.41	71.66	76
j00g	87.03	-3.34	82.83	82.9	92
j25g	80.72	-25.0	69.5	73.86	110
j50g	70.64	-39.53	51.97	65.3	127
j75g	61.93	-52.09	36.83	63.8	145
g00b	52.8	-65.27	20.93	68.56	162
g25b	55.7	-49.57	-8.38	50.28	190
g50b	57.82	-38.39	-28.91	48.07	217
g75b	55.5	-22.04	-45.94	50.97	244
b00r	41.6	1.37	-45.0	45.03	272
b25r	29.0	25.08	-43.12	49.89	300
b50r	38.04	46.53	-28.38	54.51	329
b75r	49.48	72.88	-3.75	72.98	357





Ein und Ausgabe: Farbmétrisches Drucker-Reflektiv-System ORS19\_96a für relativen CIELAB-Buntton  $h^* = lab^*h^* = h_{ab}/360 = 300/360 = 0.834$

Daten für jede Farbe:

$lab^*ch^*$  und  $lab^*icu^*$

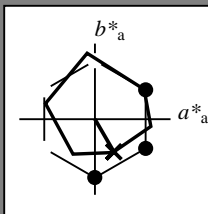
Elementar-Bunttoncontext:

$u^* = b25r$

Kontrastreduzierungsfaktor:

$c_R = 1.0$

Dreiecks-Helligkeit  $i^*$



ORS19_96a; adaptierte CIELAB-Daten					
	$L^* = \bar{L}_a^*$	$a_a^*$	$b_a^*$	$C_{ab,a}^*$	$h_{ab,a}^*$
O <sub>Ma</sub>	48.75	65.07	39.43	76.08	31
Y <sub>Ma</sub>	90.92	-10.28	87.24	87.85	97
L <sub>Ma</sub>	52.69	-65.43	20.75	68.65	162
C <sub>Ma</sub>	59.61	-28.97	-46.21	54.56	238
V <sub>Ma</sub>	28.39	23.63	-44.12	50.06	298
M <sub>Ma</sub>	49.58	73.93	-9.55	74.55	353
N <sub>Ma</sub>	18.89	0.0	0.0	0.0	0
W <sub>Ma</sub>	96.9	0.0	0.0	0.0	0
R <sub>CIE</sub>	39.92	58.74	27.99	65.07	25
J <sub>CIE</sub>	81.26	-2.88	71.56	71.62	92
G <sub>CIE</sub>	52.23	-42.41	13.6	44.55	162
B <sub>CIE</sub>	30.57	1.41	-46.46	46.49	272

Daten für Maximalfarbe (Ma):

$LAB^*LAB^*Ma$ : 29 25 -42

$LAB^*LCH^*Ma$ : 29 50 300

$lab^*rgb^*Ma$ : 0.5 0.0 1.0

$lab^*olv^*Ma$ : 0.03 0.0 1.0

Dreiecks-Helligkeit  $i^*$

%Umfang

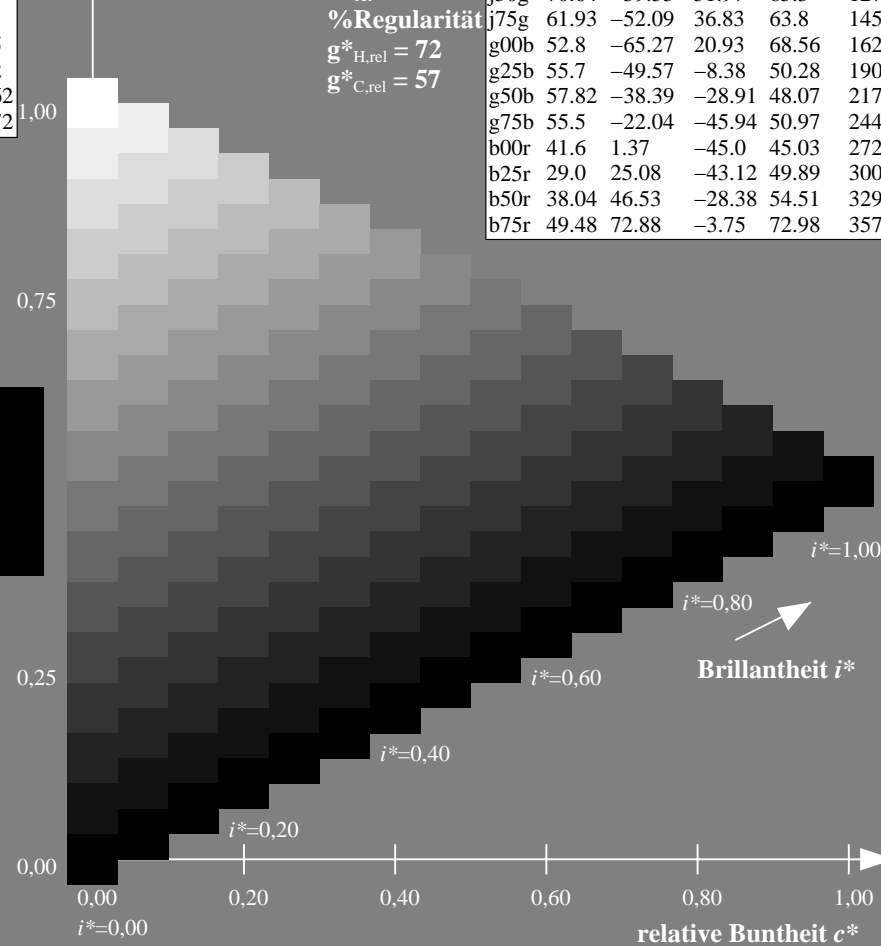
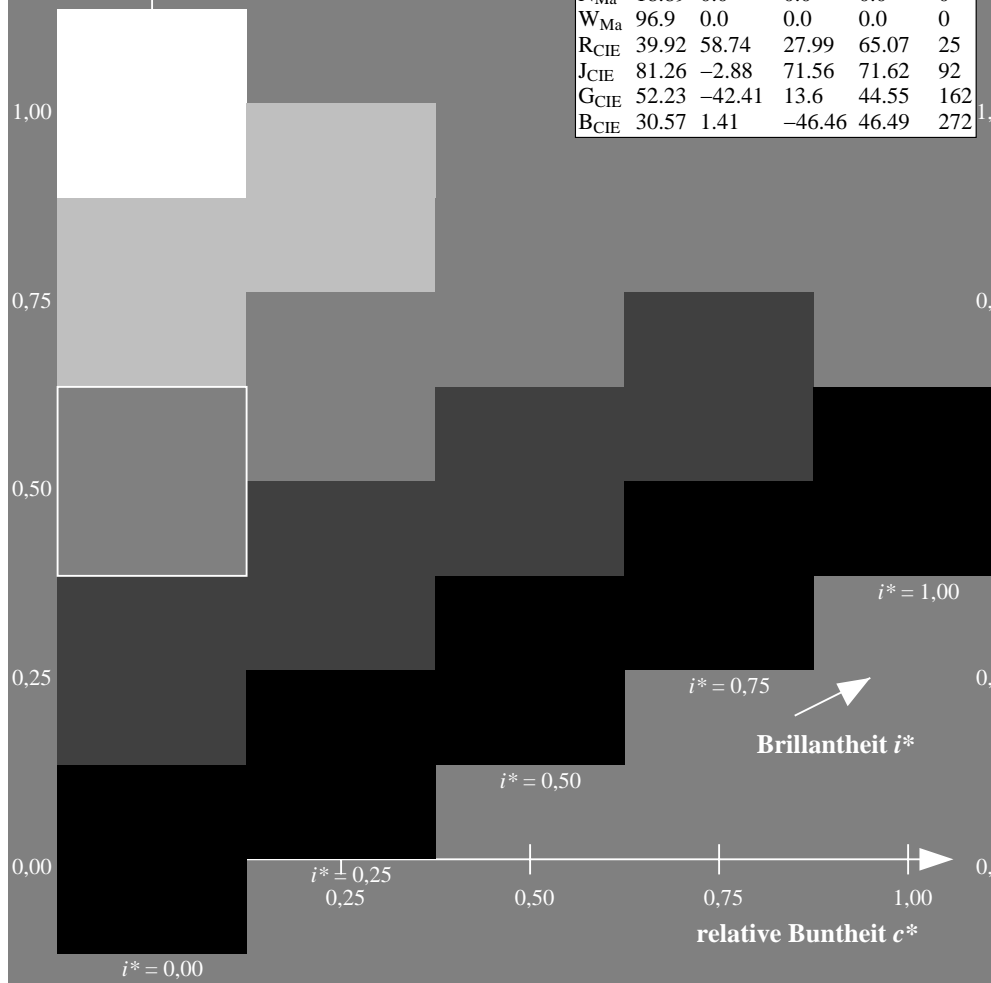
$u^*_{rel} = 89$

%Regularität

$g^*_{H,rel} = 72$

$g^*_{C,rel} = 57$

ORS19_96a; adaptierte CIELAB-Daten					
	$L^* = \bar{L}_a^*$	$a_a^*$	$b_a^*$	$C_{ab,a}^*$	$h_{ab,a}^*$
r00j	48.88	66.47	31.67	73.63	25
r25j	55.85	52.39	47.48	70.7	42
r50j	65.45	35.22	58.37	68.17	59
r75j	75.19	17.82	69.41	71.66	76
j00g	87.03	-3.34	82.83	82.9	92
j25g	80.72	-25.0	69.5	73.86	110
j50g	70.64	-39.53	51.97	65.3	127
j75g	61.93	-52.09	36.83	63.8	145
g00b	52.8	-65.27	20.93	68.56	162
g25b	55.7	-49.57	-8.38	50.28	190
g50b	57.82	-38.39	-28.91	48.07	217
g75b	55.5	-22.04	-45.94	50.97	244
b00r	41.6	1.37	-45.0	45.03	272
b25r	29.0	25.08	-43.12	49.89	300
b50r	38.04	46.53	-28.38	54.51	329
b75r	49.48	72.88	-3.75	72.98	357



Ein und Ausgabe: Farbmetrisches Drucker-Reflektiv-System ORS19\_96a für relativen CIELAB-Buntton  $h^* = lab^*h^* = h_{ab}/360 = 329/360 = 0.913$

Daten für jede Farbe:

$lab^*ch^*$  und  $lab^*icu^*$

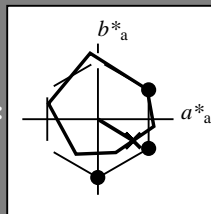
Elementar-Bunttoncontext:

$u^* = b50r$

Kontrastreduzierungsfaktor:

$c_R = 1.0$

Dreiecks-Helligkeit  $i^*$



ORS19_96a; adaptierte CIELAB-Daten					
	$L^* = \bar{L}_a^*$	$a_a^*$	$b_a^*$	$C_{ab,a}^*$	$h_{ab,a}^*$
O <sub>Ma</sub>	48.75	65.07	39.43	76.08	31
Y <sub>Ma</sub>	90.92	-10.28	87.24	87.85	97
L <sub>Ma</sub>	52.69	-65.43	20.75	68.65	162
C <sub>Ma</sub>	59.61	-28.97	-46.21	54.56	238
V <sub>Ma</sub>	28.39	23.63	-44.12	50.06	298
M <sub>Ma</sub>	49.58	73.93	-9.55	74.55	353
N <sub>Ma</sub>	18.89	0.0	0.0	0.0	0
W <sub>Ma</sub>	96.9	0.0	0.0	0.0	0
R <sub>CIE</sub>	39.92	58.74	27.99	65.07	25
J <sub>CIE</sub>	81.26	-2.88	71.56	71.62	92
G <sub>CIE</sub>	52.23	-42.41	13.6	44.55	162
B <sub>CIE</sub>	30.57	1.41	-46.46	46.49	272

Daten für Maximalfarbe (Ma):

$LAB^*LAB^*Ma$ : 38 47 -27

$LAB^*LCH^*Ma$ : 38 55 329

$lab^*rgb^*Ma$ : 1.0 0.0 1.0

$lab^*olv^*Ma$ : 0.46 0.0 1.0

Dreiecks-Helligkeit  $i^*$

%Umfang

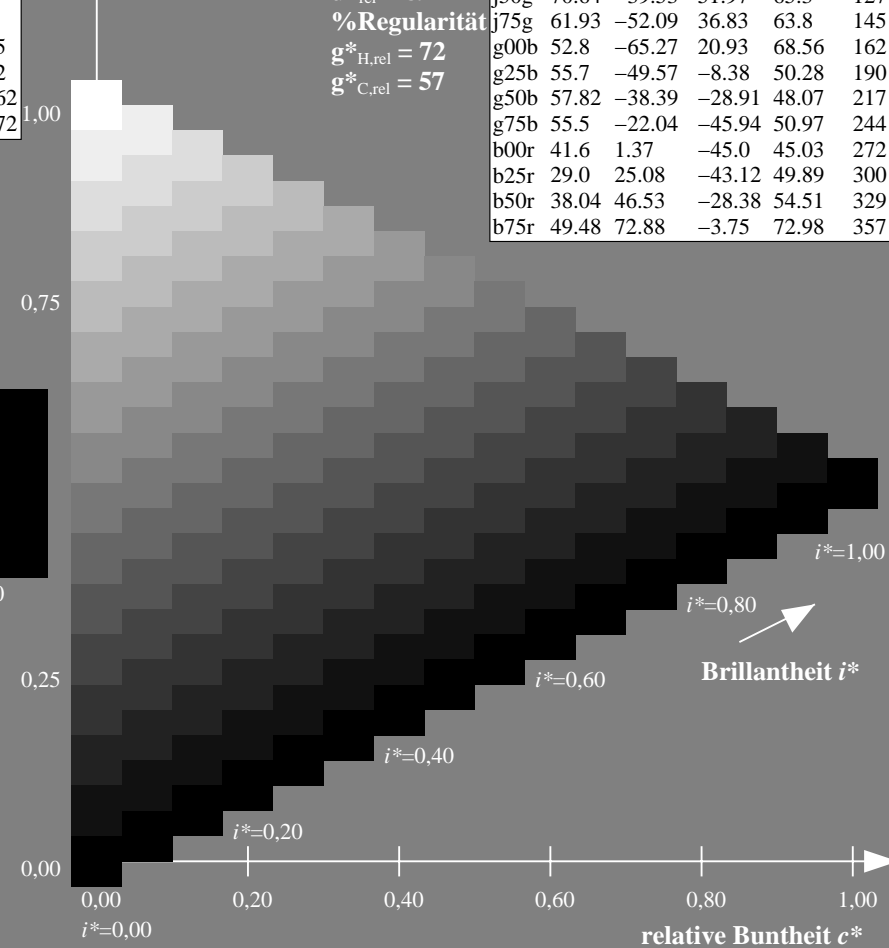
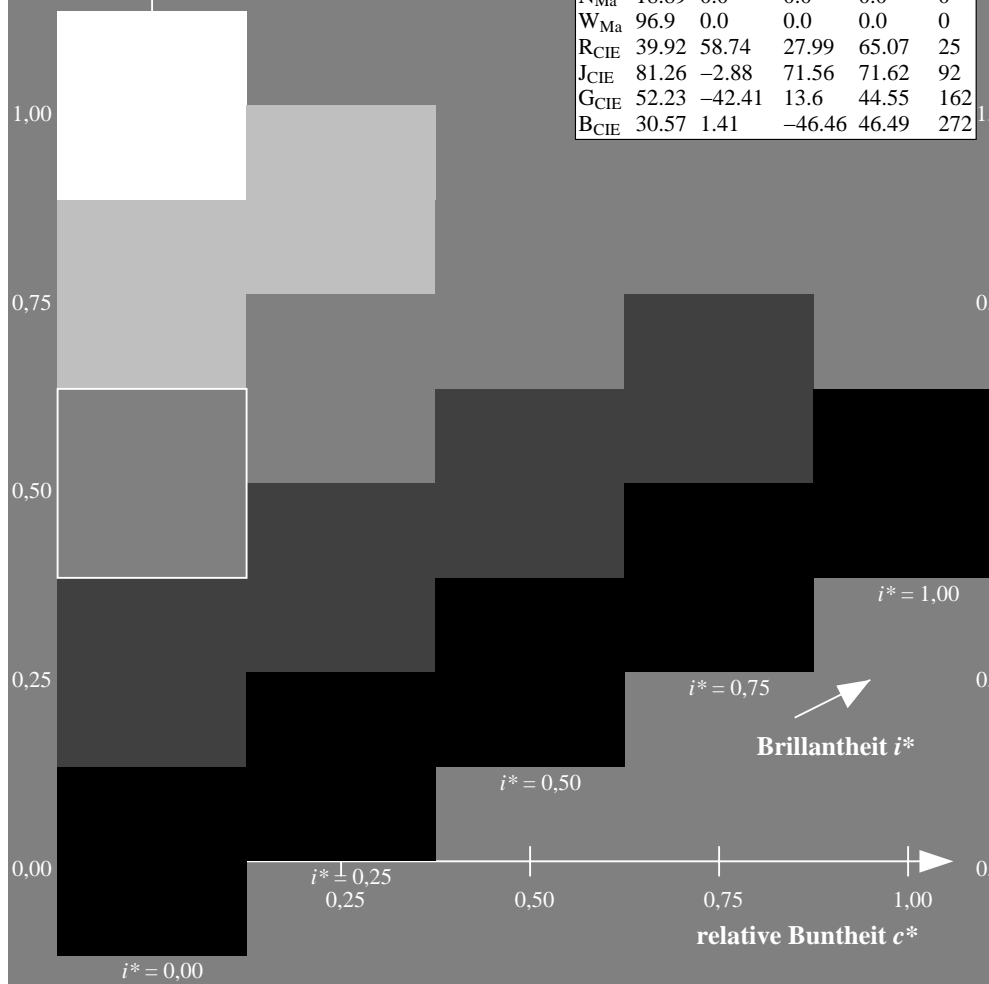
$u^*_{rel} = 89$

%Regularität

$g^*_{H,rel} = 72$

$g^*_{C,rel} = 57$

ORS19_96a; adaptierte CIELAB-Daten					
	$L^* = \bar{L}_a^*$	$a_a^*$	$b_a^*$	$C_{ab,a}^*$	$h_{ab,a}^*$
r00j	48.88	66.47	31.67	73.63	25
r25j	55.85	52.39	47.48	70.7	42
r50j	65.45	35.22	58.37	68.17	59
r75j	75.19	17.82	69.41	71.66	76
j00g	87.03	-3.34	82.83	82.9	92
j25g	80.72	-25.0	69.5	73.86	110
j50g	70.64	-39.53	51.97	65.3	127
j75g	61.93	-52.09	36.83	63.8	145
g00b	52.8	-65.27	20.93	68.56	162
g25b	55.7	-49.57	-8.38	50.28	190
g50b	57.82	-38.39	-28.91	48.07	217
g75b	55.5	-22.04	-45.94	50.97	244
b00r	41.6	1.37	-45.0	45.03	272
b25r	29.0	25.08	-43.12	49.89	300
b50r	38.04	46.53	-28.38	54.51	329
b75r	49.48	72.88	-3.75	72.98	357



Ein und Ausgabe: Farbmétrisches Drucker-Reflektiv-System ORS19\_96a für relativen CIELAB-Buntton  $h^* = lab^*h^* = h_{ab}/360 = 357/360 = 0.992$

Daten für jede Farbe:

$lab^*ch^*$  und  $lab^*icu^*$

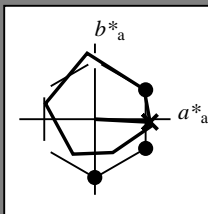
Elementar-Bunttoncontext:

$u^* = b75r$

Kontrastreduzierungsfaktor:

$c_R = 1.0$

Dreiecks-Helligkeit  $i^*$



ORS19\_96a; adaptierte CIELAB-Daten

	$L^* = \bar{L}_a^*$	$a_a^*$	$b_a^*$	$C_{ab,a}^*$	$h_{ab,a}^*$
O <sub>Ma</sub>	48.75	65.07	39.43	76.08	31
Y <sub>Ma</sub>	90.92	-10.28	87.24	87.85	97
L <sub>Ma</sub>	52.69	-65.43	20.75	68.65	162
C <sub>Ma</sub>	59.61	-28.97	-46.21	54.56	238
V <sub>Ma</sub>	28.39	23.63	-44.12	50.06	298
M <sub>Ma</sub>	49.58	73.93	-9.55	74.55	353
N <sub>Ma</sub>	18.89	0.0	0.0	0.0	0
W <sub>Ma</sub>	96.9	0.0	0.0	0.0	0
R <sub>CIE</sub>	39.92	58.74	27.99	65.07	25
J <sub>CIE</sub>	81.26	-2.88	71.56	71.62	92
G <sub>CIE</sub>	52.23	-42.41	13.6	44.55	162
B <sub>CIE</sub>	30.57	1.41	-46.46	46.49	272

Daten für Maximalfarbe (Ma):

$LAB^*LAB^*Ma$ : 49 73 -3

$LAB^*LCH^*Ma$ : 49 73 357

$lab^*rgb^*Ma$ : 1.0 0.0 0.5

$lab^*olv^*Ma$ : 1.0 0.0 0.88

Dreiecks-Helligkeit  $i^*$

%Umfang

$u^*_{rel} = 89$

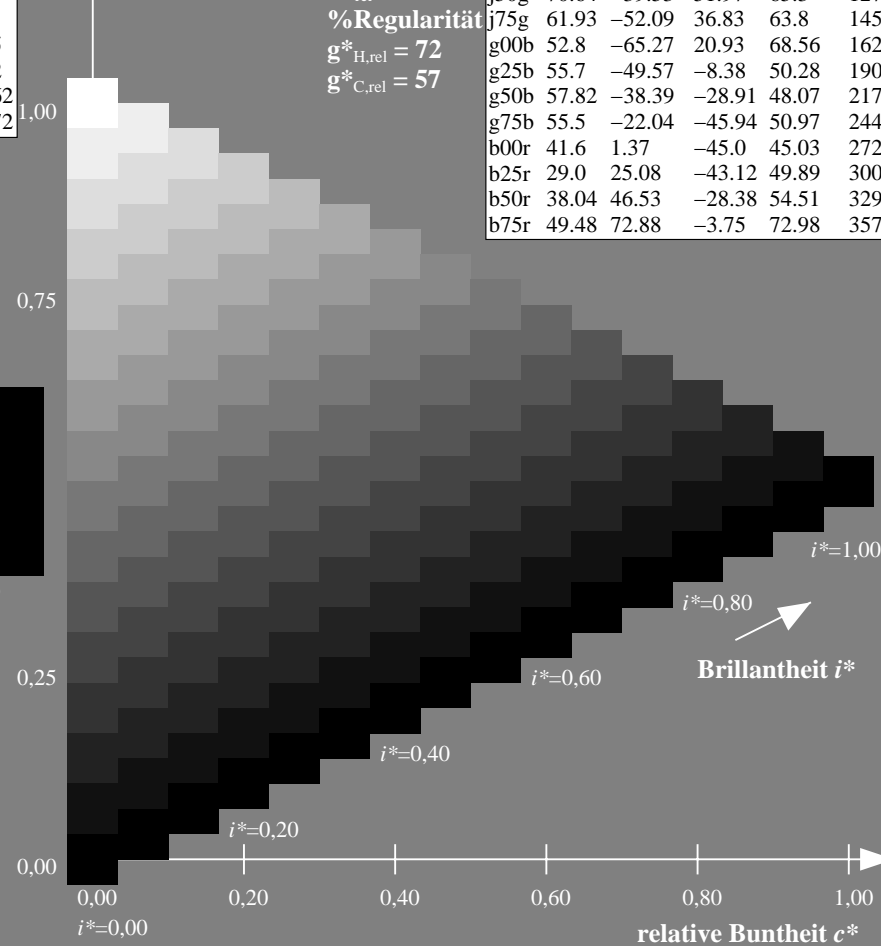
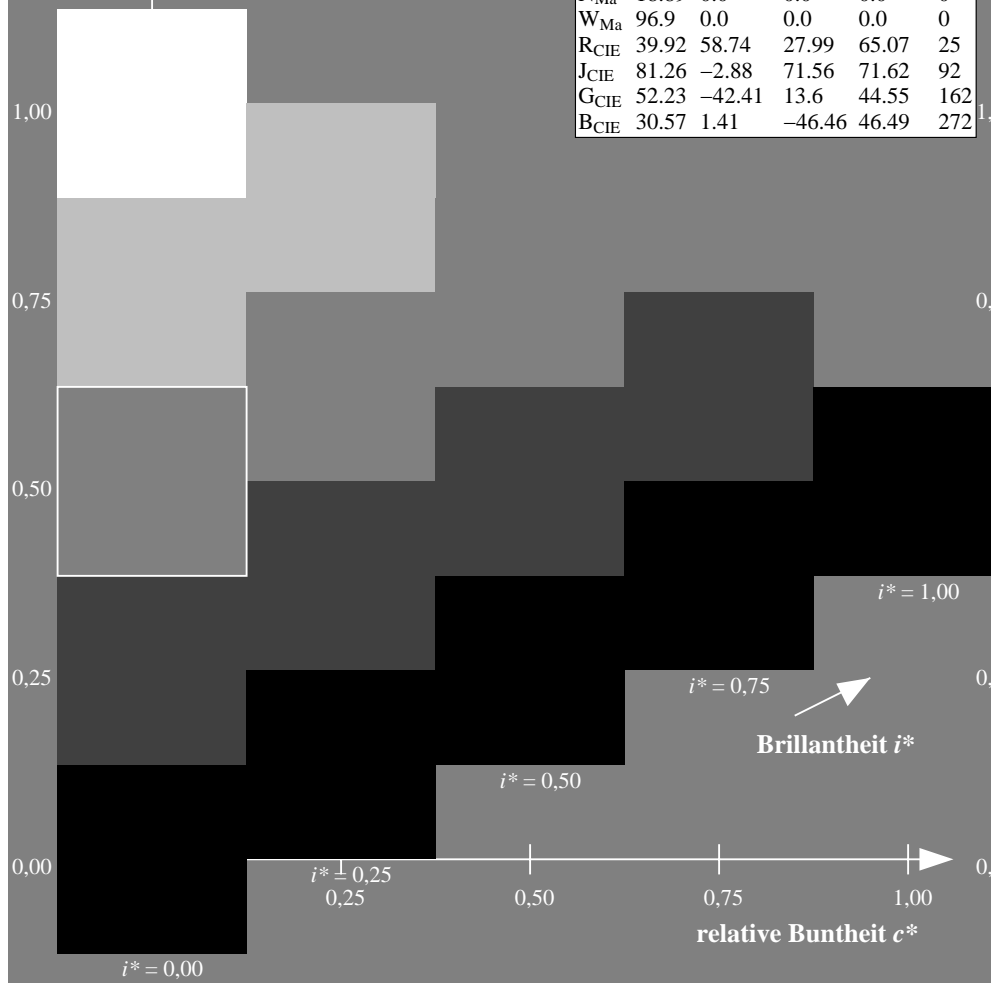
%Regularität

$g^*_{H,rel} = 72$

$g^*_{C,rel} = 57$

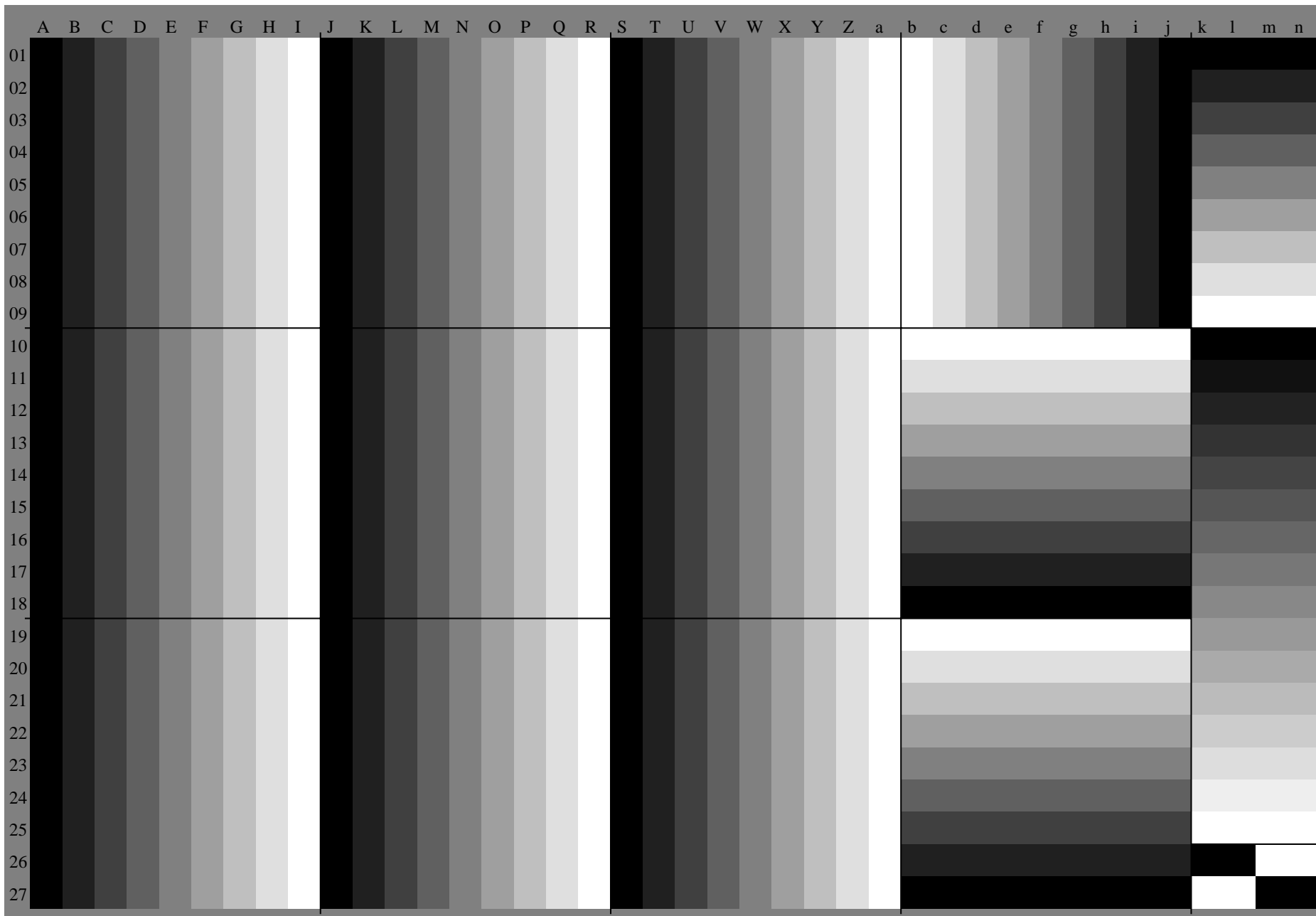
ORS19\_96a; adaptierte CIELAB-Daten

	$L^* = \bar{L}_a^*$	$a_a^*$	$b_a^*$	$C_{ab,a}^*$	$h_{ab,a}^*$
r00j	48.88	66.47	31.67	73.63	25
r25j	55.85	52.39	47.48	70.7	42
r50j	65.45	35.22	58.37	68.17	59
r75j	75.19	17.82	69.41	71.66	76
j00g	87.03	-3.34	82.83	82.9	92
j25g	80.72	-25.0	69.5	73.86	110
j50g	70.64	-39.53	51.97	65.3	127
j75g	61.93	-52.09	36.83	63.8	145
g00b	52.8	-65.27	20.93	68.56	162
g25b	55.7	-49.57	-8.38	50.28	190
g50b	57.82	-38.39	-28.91	48.07	217
g75b	55.5	-22.04	-45.94	50.97	244
b00r	41.6	1.37	-45.0	45.03	272
b25r	29.0	25.08	-43.12	49.89	300
b50r	38.04	46.53	-28.38	54.51	329
b75r	49.48	72.88	-3.75	72.98	357



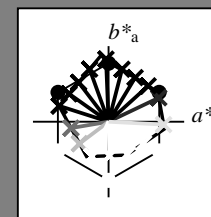
Siehe ähnliche Dateien: <http://www.ps.bam.de/Dg74/>; [www.ps.bam.de/Dg74/](http://www.ps.bam.de/Dg74/Version%202.1,io=1,1,ColSpx=0)  
Technische Information: [http://www.ps.bam.de/Version 2.1, io=1,1, ColSpx=0](http://www.ps.bam.de/Version%202.1,io=1,1,ColSpx=0)

BAM-Registrierung: 20080701-Dg74/10L/L74G00NP.PS/.PDF BAM-Material: Code=rh4ta  
Anwendung für Beurteilung und Messung von Drucker- oder Monitorsystemen



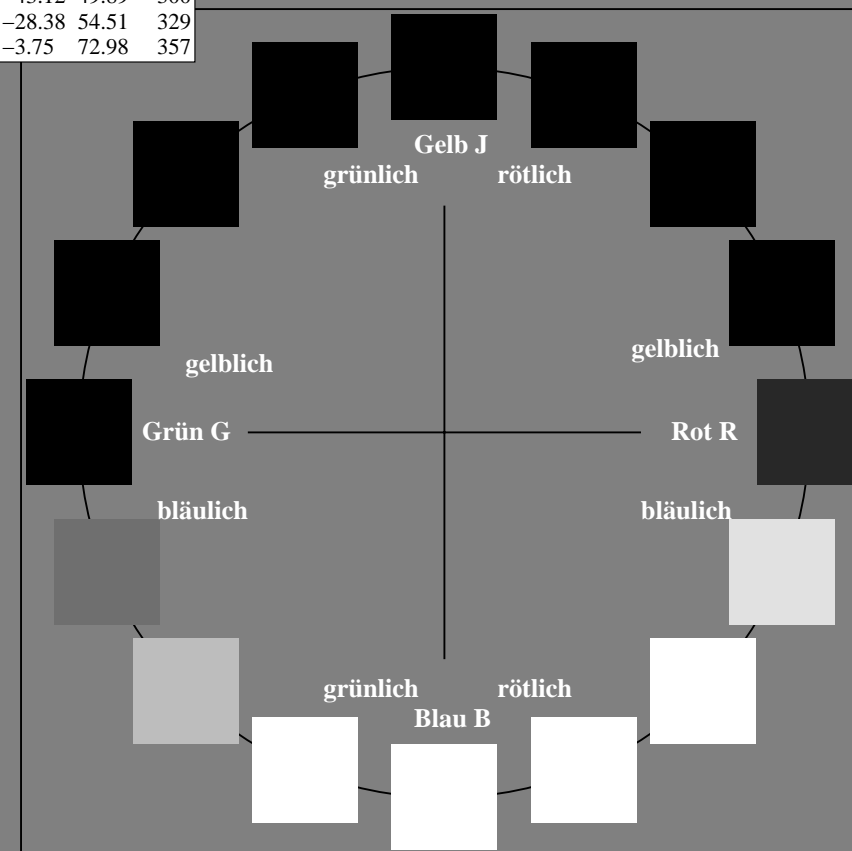
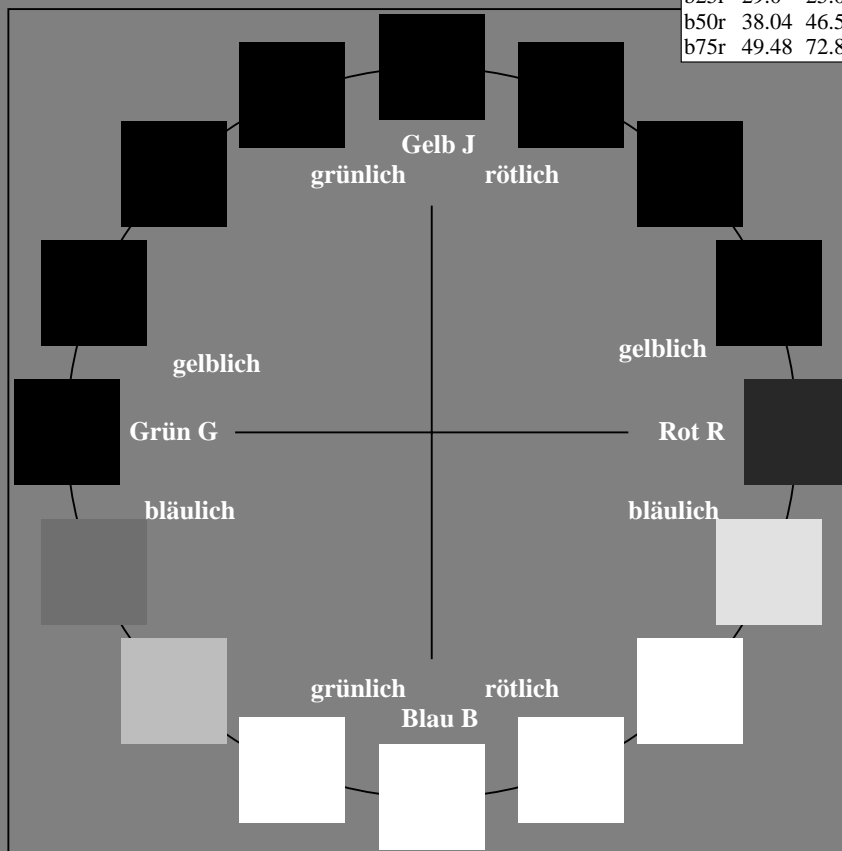
Ein und Ausgabe:  
Farbmetrisches Drucker-Reflektiv-System ORS19\_96a  
Daten für jede Farbe:  
*lab\*<sub>ich</sub>*\* und *lab\*<sub>icu</sub>*\*  
Elementar-Bunttontext:  
*u\** = 16 Buntttöne *r00j*, *r25j*, ..., *b75r*  
Kontrastreduzierungsfaktor:  
*c<sub>R</sub>* = 1.0

ORS19_96a; adaptierte CIELAB-Daten					
	<i>L*</i> = <i>L*</i> <sub>a</sub>	<i>a*</i> <sub>a</sub>	<i>b*</i> <sub>a</sub>	<i>C*</i> <sub>ab,a</sub>	<i>h*</i> <sub>ab,a</sub>
r00j	48.88	66.47	31.67	73.63	25
r25j	55.85	52.39	47.48	70.7	42
r50j	65.45	35.22	58.37	68.17	59
r75j	75.19	17.82	69.41	71.66	76
j00g	87.03	-3.34	82.83	82.9	92
j25g	80.72	-25.0	69.5	73.86	110
j50g	70.64	-39.53	51.97	65.3	127
j75g	61.93	-52.09	36.83	63.8	145
g00b	52.8	-65.27	20.93	68.56	162
g25b	55.7	-49.57	-8.38	50.28	190
g50b	57.82	-38.39	-28.91	48.07	217
g75b	55.5	-22.04	-45.94	50.97	244
b00r	41.6	1.37	-45.0	45.03	272
b25r	29.0	25.08	-43.12	49.89	300
b50r	38.04	46.53	-28.38	54.51	329
b75r	49.48	72.88	-3.75	72.98	357



%Umfang  
*u\**<sub>rel</sub> = 89  
%Regularität  
*g\**<sub>H,rel</sub> = 72  
*g\**<sub>C,rel</sub> = 57

ORS19_96a; adaptierte CIELAB-Daten					
	<i>L*</i> = <i>L*</i> <sub>a</sub>	<i>a*</i> <sub>a</sub>	<i>b*</i> <sub>a</sub>	<i>C*</i> <sub>ab,a</sub>	<i>h*</i> <sub>ab,a</sub>
O <sub>Ma</sub>	48.75	65.07	39.43	76.08	31
Y <sub>Ma</sub>	90.92	-10.28	87.24	87.85	97
L <sub>Ma</sub>	52.69	-65.43	20.75	68.65	162
C <sub>Ma</sub>	59.61	-28.97	-46.21	54.56	238
V <sub>Ma</sub>	28.39	23.63	-44.12	50.06	298
M <sub>Ma</sub>	49.58	73.93	-9.55	74.55	353
N <sub>Ma</sub>	18.89	0.0	0.0	0.0	0
W <sub>Ma</sub>	96.9	0.0	0.0	0.0	0
R <sub>CIE</sub>	39.92	58.74	27.99	65.07	25
J <sub>CIE</sub>	81.26	-2.88	71.56	71.62	92
G <sub>CIE</sub>	52.23	-42.41	13.6	44.55	162
B <sub>CIE</sub>	30.57	1.41	-46.46	46.49	272



Ein und Ausgabe: Farbmetrisches Drucker-Reflektiv-System ORS19\_96a für relativen CIELAB-Buntton  $h^* = lab^*h^* = h_{ab}/360 = 25/360 = 0.071$

Daten für jede Farbe:

$lab^*ch^*$  und  $lab^*icu^*$

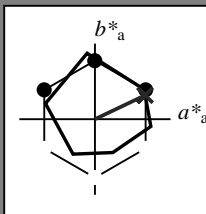
Elementar-Bunttontext:

$u^* = r00j$

Kontrastreduzierungsfaktor:

$c_R = 1.0$

Dreiecks-Helligkeit  $i^*$



ORS19_96a; adaptierte CIELAB-Daten					
	$L^* = \bar{L}_a$	$a^*_a$	$b^*_a$	$C^*_{ab,a}$	$h^*_{ab,a}$
O <sub>Ma</sub>	48.75	65.07	39.43	76.08	31
Y <sub>Ma</sub>	90.92	-10.28	87.24	87.85	97
L <sub>Ma</sub>	52.69	-65.43	20.75	68.65	162
C <sub>Ma</sub>	59.61	-28.97	-46.21	54.56	238
V <sub>Ma</sub>	28.39	23.63	-44.12	50.06	298
M <sub>Ma</sub>	49.58	73.93	-9.55	74.55	353
N <sub>Ma</sub>	18.89	0.0	0.0	0.0	0
W <sub>Ma</sub>	96.9	0.0	0.0	0.0	0
R <sub>CIE</sub>	39.92	58.74	27.99	65.07	25
J <sub>CIE</sub>	81.26	-2.88	71.56	71.62	92
G <sub>CIE</sub>	52.23	-42.41	13.6	44.55	162
B <sub>CIE</sub>	30.57	1.41	-46.46	46.49	272

Daten für Maximalfarbe (Ma):

$LAB^*LAB^*Ma$ : 49 66 32

$LAB^*LCH^*Ma$ : 49 74 25

$lab^*rgb^*Ma$ : 1.0 0.0 0.0

$lab^*olv^*Ma$ : 1.0 0.0 0.16

Dreiecks-Helligkeit  $i^*$

%Umfang

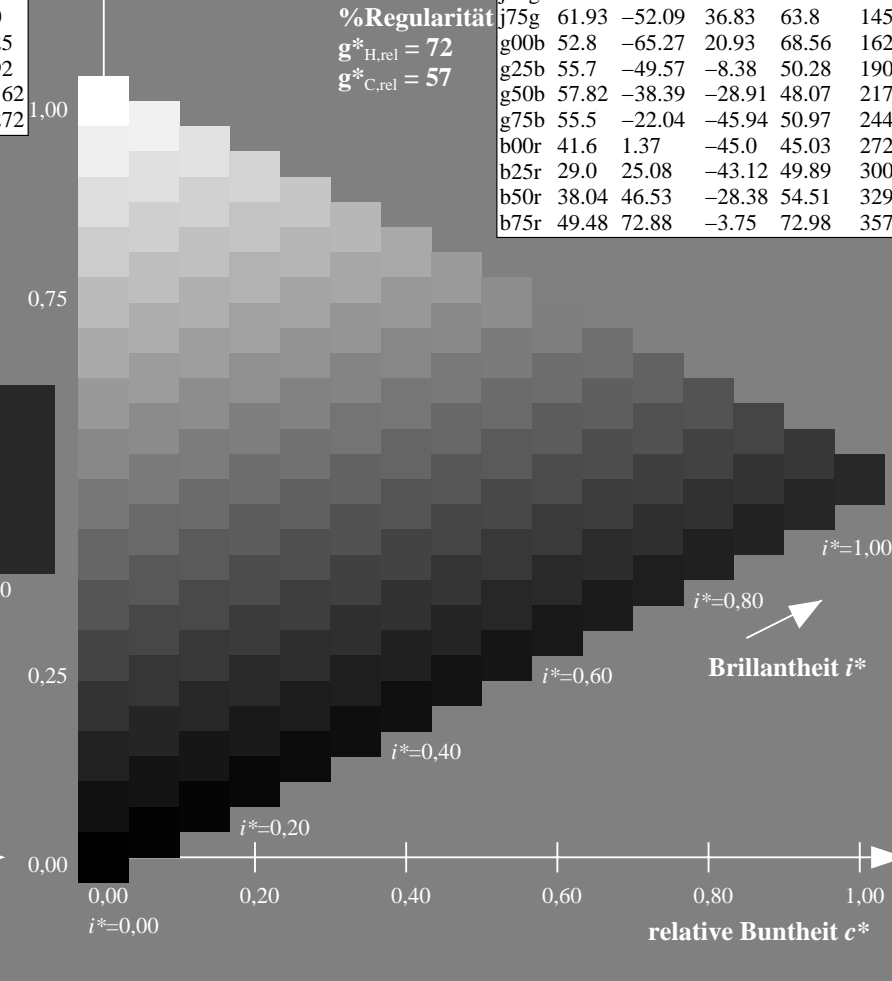
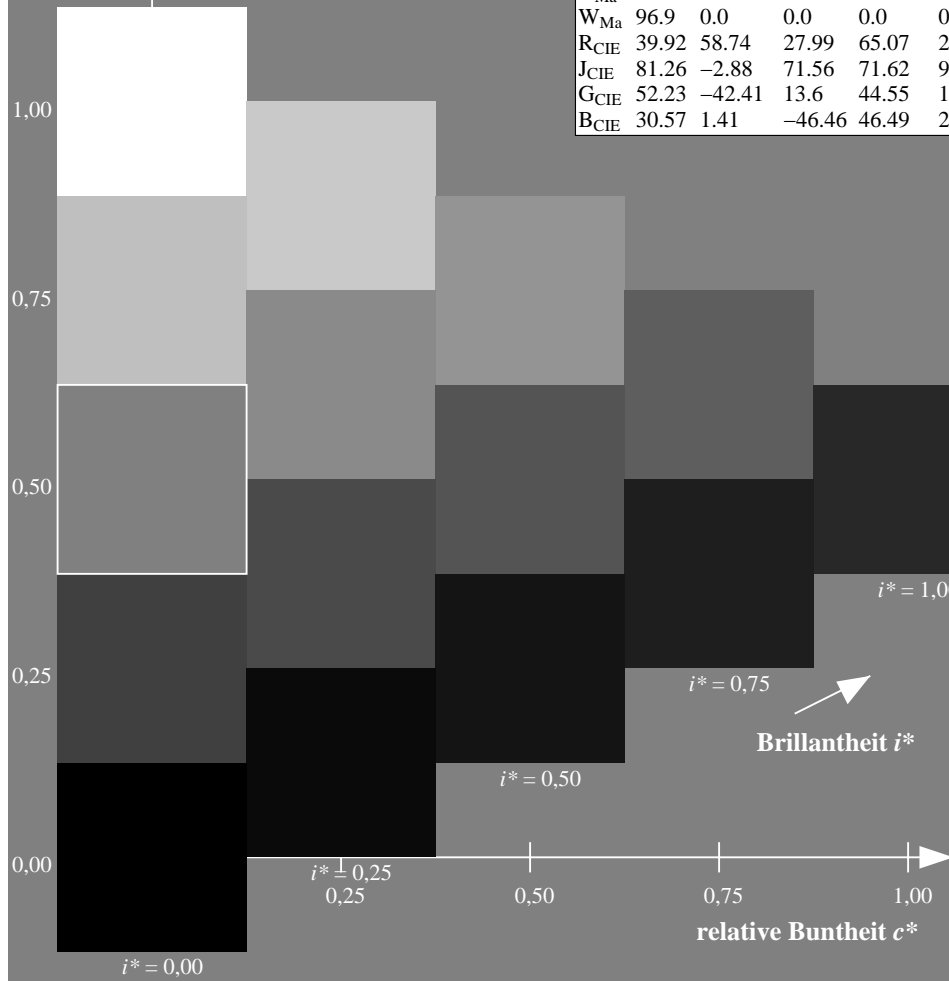
$u^*_{rel} = 89$

%Regularität

$g^*_{H,rel} = 72$

$g^*_{C,rel} = 57$

ORS19_96a; adaptierte CIELAB-Daten					
	$L^* = \bar{L}_a$	$a^*_a$	$b^*_a$	$C^*_{ab,a}$	$h^*_{ab,a}$
r00j	48.88	66.47	31.67	73.63	25
r25j	55.85	52.39	47.48	70.7	42
r50j	65.45	35.22	58.37	68.17	59
r75j	75.19	17.82	69.41	71.66	76
j00g	87.03	-3.34	82.83	82.9	92
j25g	80.72	-25.0	69.5	73.86	110
j50g	70.64	-39.53	51.97	65.3	127
j75g	61.93	-52.09	36.83	63.8	145
g00b	52.8	-65.27	20.93	68.56	162
g25b	55.7	-49.57	-8.38	50.28	190
g50b	57.82	-38.39	-28.91	48.07	217
g75b	55.5	-22.04	-45.94	50.97	244
b00r	41.6	1.37	-45.0	45.03	272
b25r	29.0	25.08	-43.12	49.89	300
b50r	38.04	46.53	-28.38	54.51	329
b75r	49.48	72.88	-3.75	72.98	357





Ein und Ausgabe: Farbmetrisches Drucker-Reflektiv-System ORS19\_96a für relativen CIELAB-Buntton  $h^* = lab^*h^* = h_{ab}/360 = 42/360 = 0.117$

Daten für jede Farbe:

$lab^*ch^*$  und  $lab^*icu^*$

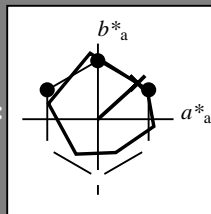
Elementar-Bunttontext:

$u^* = r25j$

Kontrastreduzierungsfaktor:

$c_R = 1.0$

Dreiecks-Helligkeit  $t^*$



ORS19_96a; adaptierte CIELAB-Daten					
	$L^* = \bar{L}_a^*$	$a_a^*$	$b_a^*$	$C_{ab,a}^*$	$h_{ab,a}^*$
O <sub>Ma</sub>	48.75	65.07	39.43	76.08	31
Y <sub>Ma</sub>	90.92	-10.28	87.24	87.85	97
L <sub>Ma</sub>	52.69	-65.43	20.75	68.65	162
C <sub>Ma</sub>	59.61	-28.97	-46.21	54.56	238
V <sub>Ma</sub>	28.39	23.63	-44.12	50.06	298
M <sub>Ma</sub>	49.58	73.93	-9.55	74.55	353
N <sub>Ma</sub>	18.89	0.0	0.0	0.0	0
W <sub>Ma</sub>	96.9	0.0	0.0	0.0	0
R <sub>CIE</sub>	39.92	58.74	27.99	65.07	25
J <sub>CIE</sub>	81.26	-2.88	71.56	71.62	92
G <sub>CIE</sub>	52.23	-42.41	13.6	44.55	162
B <sub>CIE</sub>	30.57	1.41	-46.46	46.49	272

Daten für Maximalfarbe (Ma):

$LAB^*LAB^*Ma$ : 56 52 47

$LAB^*LCH^*Ma$ : 56 71 42

$lab^*rgb^*Ma$ : 1.0 0.25 0.0

$lab^*olv^*Ma$ : 1.0 0.17 0.0

Dreiecks-Helligkeit  $t^*$

%Umfang

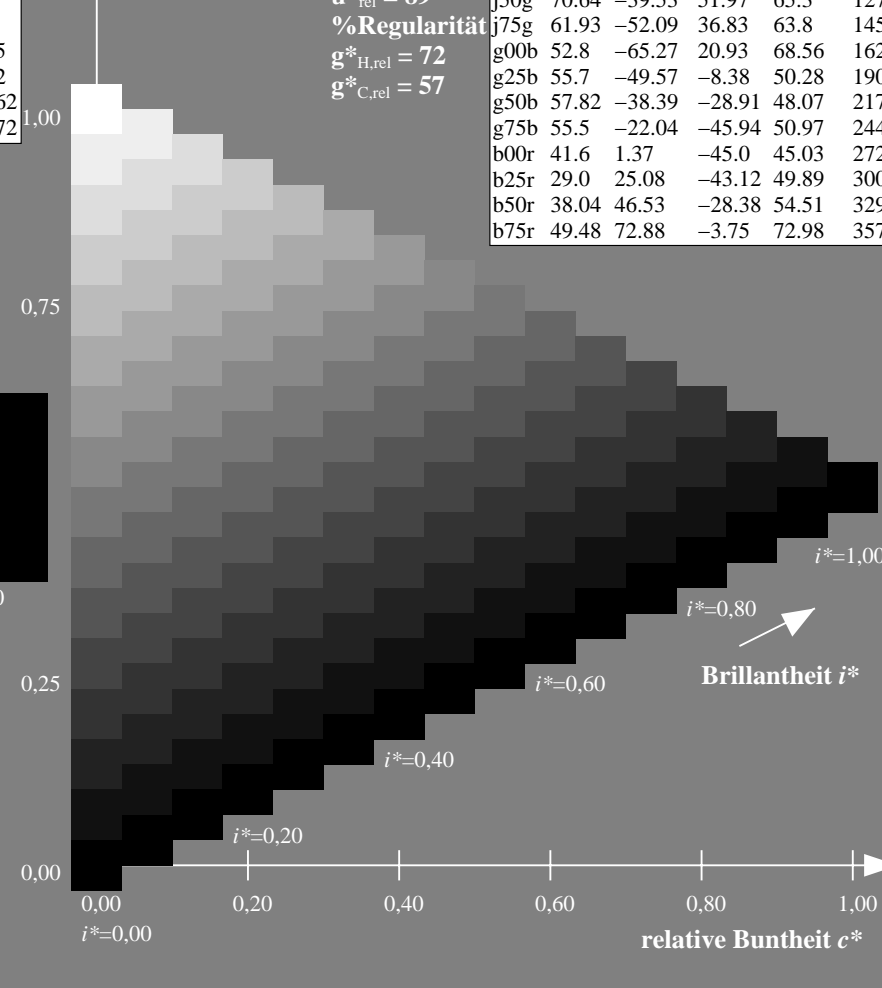
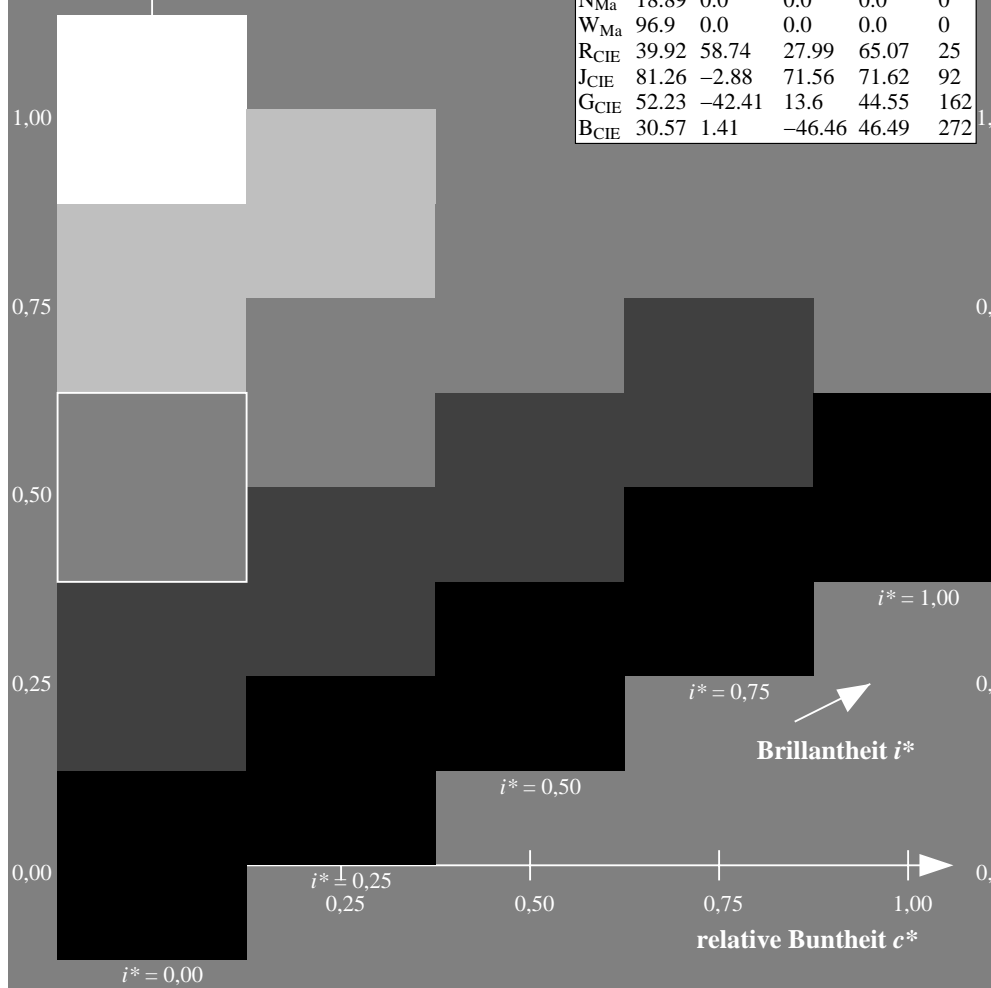
$u^*_{rel} = 89$

%Regularität

$g^*_{H,rel} = 72$

$g^*_{C,rel} = 57$

ORS19_96a; adaptierte CIELAB-Daten					
	$L^* = \bar{L}_a^*$	$a_a^*$	$b_a^*$	$C_{ab,a}^*$	$h_{ab,a}^*$
r00j	48.88	66.47	31.67	73.63	25
r25j	55.85	52.39	47.48	70.7	42
r50j	65.45	35.22	58.37	68.17	59
r75j	75.19	17.82	69.41	71.66	76
j00g	87.03	-3.34	82.83	82.9	92
j25g	80.72	-25.0	69.5	73.86	110
j50g	70.64	-39.53	51.97	65.3	127
j75g	61.93	-52.09	36.83	63.8	145
g00b	52.8	-65.27	20.93	68.56	162
g25b	55.7	-49.57	-8.38	50.28	190
g50b	57.82	-38.39	-28.91	48.07	217
g75b	55.5	-22.04	-45.94	50.97	244
b00r	41.6	1.37	-45.0	45.03	272
b25r	29.0	25.08	-43.12	49.89	300
b50r	38.04	46.53	-28.38	54.51	329
b75r	49.48	72.88	-3.75	72.98	357



Ein und Ausgabe: Farbmetrisches Drucker-Reflektiv-System ORS19\_96a für relativen CIELAB-Buntton  $h^* = lab^*h^* = h_{ab}/360 = 59/360 = 0.164$

Daten für jede Farbe:

$lab^*ch^*$  und  $lab^*icu^*$

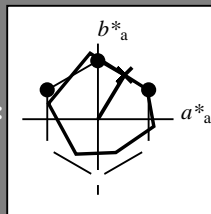
Elementar-Bunttontext:

$u^* = r50j$

Kontrastreduzierungsfaktor:

$c_R = 1.0$

Dreiecks-Helligkeit  $t^*$



ORS19\_96a; adaptierte CIELAB-Daten

	$L^* = \bar{L}_a^*$	$a_a^*$	$b_a^*$	$C_{ab,a}^*$	$h_{ab,a}^*$
O <sub>Ma</sub>	48.75	65.07	39.43	76.08	31
Y <sub>Ma</sub>	90.92	-10.28	87.24	87.85	97
L <sub>Ma</sub>	52.69	-65.43	20.75	68.65	162
C <sub>Ma</sub>	59.61	-28.97	-46.21	54.56	238
V <sub>Ma</sub>	28.39	23.63	-44.12	50.06	298
M <sub>Ma</sub>	49.58	73.93	-9.55	74.55	353
N <sub>Ma</sub>	18.89	0.0	0.0	0.0	0
W <sub>Ma</sub>	96.9	0.0	0.0	0.0	0
R <sub>CIE</sub>	39.92	58.74	27.99	65.07	25
J <sub>CIE</sub>	81.26	-2.88	71.56	71.62	92
G <sub>CIE</sub>	52.23	-42.41	13.6	44.55	162
B <sub>CIE</sub>	30.57	1.41	-46.46	46.49	272

Daten für Maximalfarbe (Ma):

$LAB^*LAB^*Ma$ : 65 35 58

$LAB^*LCH^*Ma$ : 65 68 59

$lab^*rgb^*Ma$ : 1.0 0.5 0.0

$lab^*olv^*Ma$ : 1.0 0.4 0.0

Dreiecks-Helligkeit  $t^*$

%Umfang

$u^*_{rel} = 89$

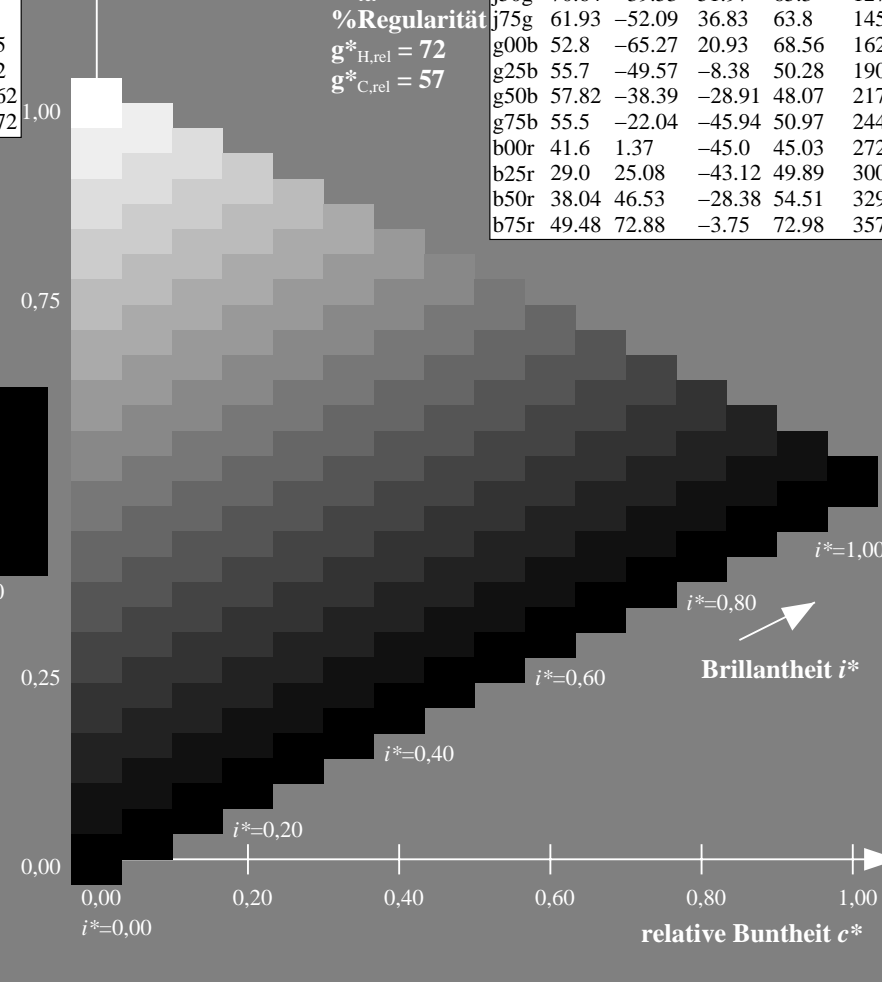
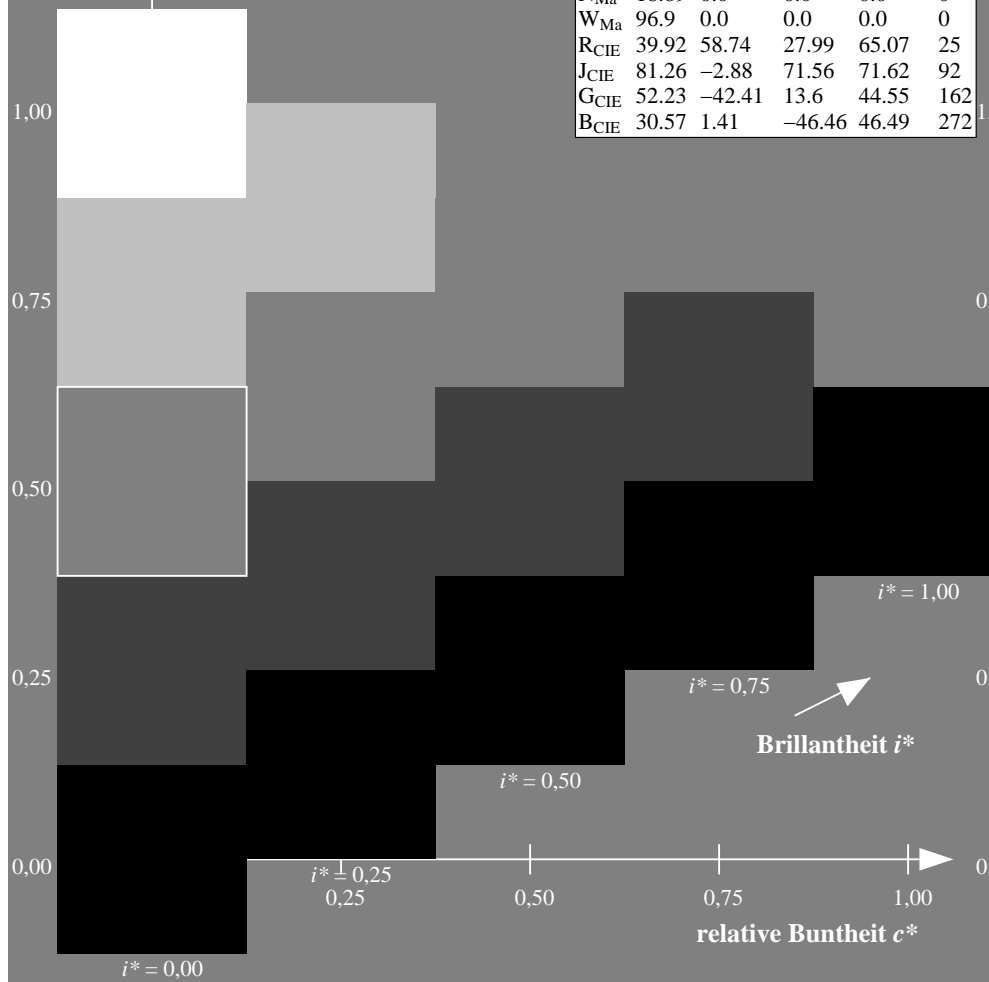
%Regularität

$g^*_{H,rel} = 72$

$g^*_{C,rel} = 57$

ORS19\_96a; adaptierte CIELAB-Daten

	$L^* = \bar{L}_a^*$	$a_a^*$	$b_a^*$	$C_{ab,a}^*$	$h_{ab,a}^*$
r00j	48.88	66.47	31.67	73.63	25
r25j	55.85	52.39	47.48	70.7	42
r50j	65.45	35.22	58.37	68.17	59
r75j	75.19	17.82	69.41	71.66	76
j00g	87.03	-3.34	82.83	82.9	92
j25g	80.72	-25.0	69.5	73.86	110
j50g	70.64	-39.53	51.97	65.3	127
j75g	61.93	-52.09	36.83	63.8	145
g00b	52.8	-65.27	20.93	68.56	162
g25b	55.7	-49.57	-8.38	50.28	190
g50b	57.82	-38.39	-28.91	48.07	217
g75b	55.5	-22.04	-45.94	50.97	244
b00r	41.6	1.37	-45.0	45.03	272
b25r	29.0	25.08	-43.12	49.89	300
b50r	38.04	46.53	-28.38	54.51	329
b75r	49.48	72.88	-3.75	72.98	357



Ein und Ausgabe: Farbmetrisches Drucker-Reflektiv-System ORS19\_96a für relativen CIELAB-Buntton  $h^* = lab^*h^* = h_{ab}/360 = 76/360 = 0.21$

Daten für jede Farbe:

$lab^*ch^*$  und  $lab^*icu^*$

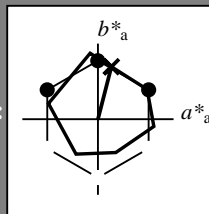
Elementar-Bunttoncontext:

$u^* = r75j$

Kontrastreduzierungsfaktor:

$c_R = 1.0$

Dreiecks-Helligkeit  $t^*$



ORS19\_96a; adaptierte CIELAB-Daten

	$L^* = \bar{L}^*_a$	$a^*_a$	$b^*_a$	$C^*_{ab,a}$	$h^*_{ab,a}$
O <sub>Ma</sub>	48.75	65.07	39.43	76.08	31
Y <sub>Ma</sub>	90.92	-10.28	87.24	87.85	97
L <sub>Ma</sub>	52.69	-65.43	20.75	68.65	162
C <sub>Ma</sub>	59.61	-28.97	-46.21	54.56	238
V <sub>Ma</sub>	28.39	23.63	-44.12	50.06	298
M <sub>Ma</sub>	49.58	73.93	-9.55	74.55	353
N <sub>Ma</sub>	18.89	0.0	0.0	0.0	0
W <sub>Ma</sub>	96.9	0.0	0.0	0.0	0
R <sub>CIE</sub>	39.92	58.74	27.99	65.07	25
J <sub>CIE</sub>	81.26	-2.88	71.56	71.62	92
G <sub>CIE</sub>	52.23	-42.41	13.6	44.55	162
B <sub>CIE</sub>	30.57	1.41	-46.46	46.49	272

Daten für Maximalfarbe (Ma):

$LAB^*LAB^*Ma$ : 75 18 69

$LAB^*LCH^*Ma$ : 75 72 76

$lab^*rgb^*Ma$ : 1.0 0.75 0.0

$lab^*olv^*Ma$ : 1.0 0.63 0.0

Dreiecks-Helligkeit  $t^*$

%Umfang

$u^*_{rel} = 89$

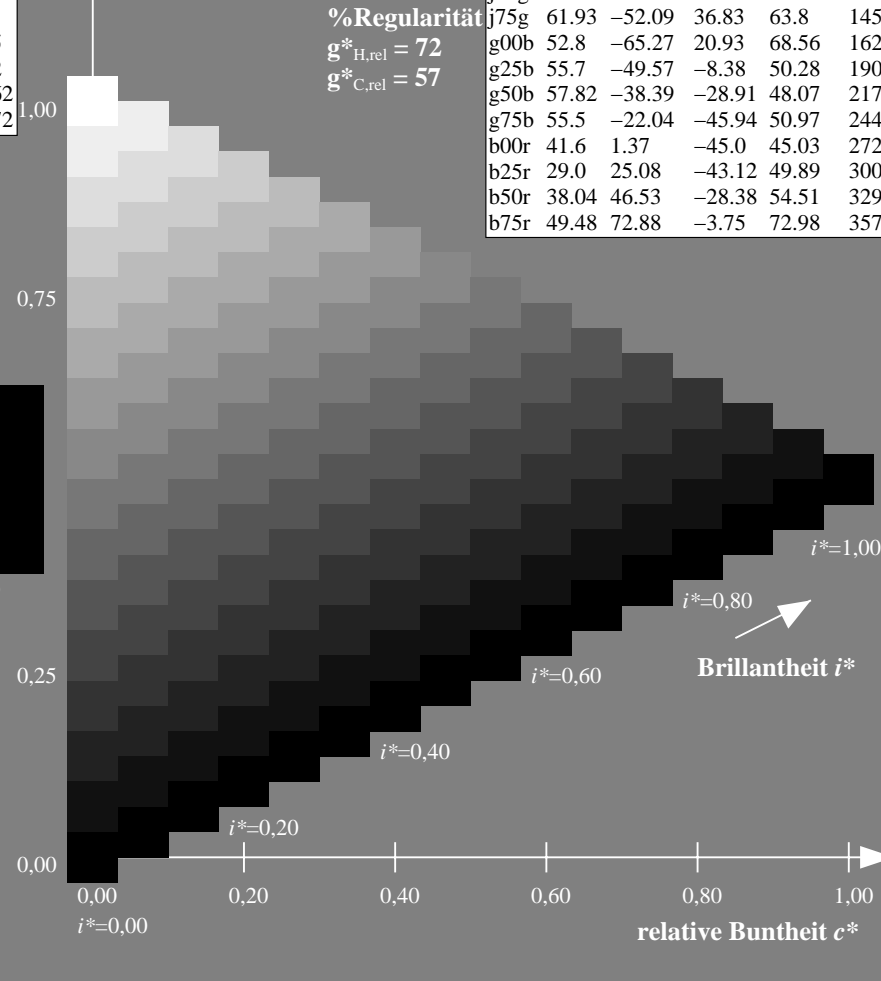
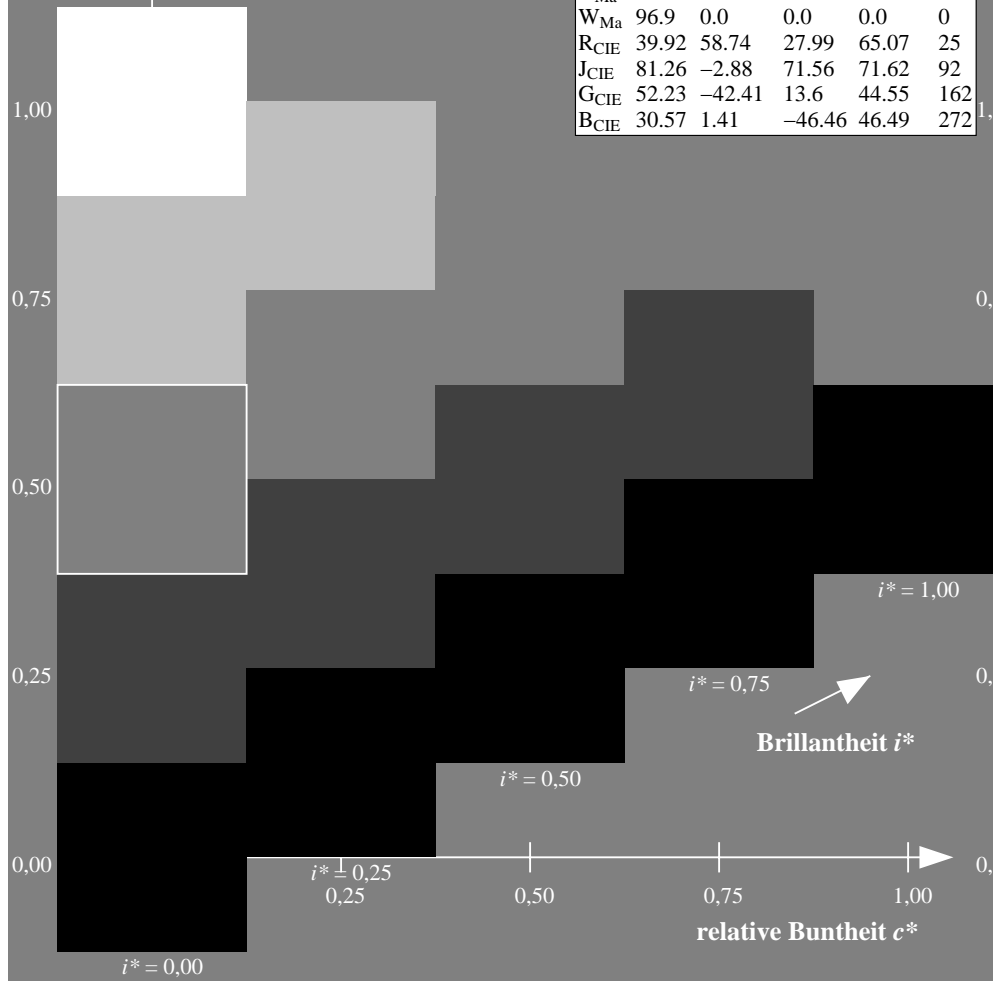
%Regularität

$g^*_{H,rel} = 72$

$g^*_{C,rel} = 57$

ORS19\_96a; adaptierte CIELAB-Daten

	$L^* = \bar{L}^*_a$	$a^*_a$	$b^*_a$	$C^*_{ab,a}$	$h^*_{ab,a}$
r00j	48.88	66.47	31.67	73.63	25
r25j	55.85	52.39	47.48	70.7	42
r50j	65.45	35.22	58.37	68.17	59
r75j	75.19	17.82	69.41	71.66	76
j00g	87.03	-3.34	82.83	82.9	92
j25g	80.72	-25.0	69.5	73.86	110
j50g	70.64	-39.53	51.97	65.3	127
j75g	61.93	-52.09	36.83	63.8	145
g00b	52.8	-65.27	20.93	68.56	162
g25b	55.7	-49.57	-8.38	50.28	190
g50b	57.82	-38.39	-28.91	48.07	217
g75b	55.5	-22.04	-45.94	50.97	244
b00r	41.6	1.37	-45.0	45.03	272
b25r	29.0	25.08	-43.12	49.89	300
b50r	38.04	46.53	-28.38	54.51	329
b75r	49.48	72.88	-3.75	72.98	357



Ein und Ausgabe: Farbmétrisches Drucker-Reflektiv-System ORS19\_96a für relativen CIELAB-Buntton  $h^* = lab^*h^* = h_{ab}/360 = 92/360 = 0.256$

Daten für jede Farbe:

$lab^*ch^*$  und  $lab^*icu^*$

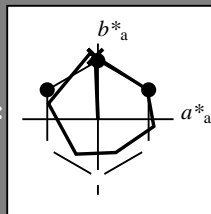
Elementar-Bunttoncontext:

$u^* = j00g$

Kontrastreduzierungsfaktor:

$c_R = 1.0$

Dreiecks-Helligkeit  $i^*$



ORS19\_96a; adaptierte CIELAB-Daten

	$L^* = \bar{L}_a^*$	$a_a^*$	$b_a^*$	$C_{ab,a}^*$	$h_{ab,a}^*$
O <sub>Ma</sub>	48.75	65.07	39.43	76.08	31
Y <sub>Ma</sub>	90.92	-10.28	87.24	87.85	97
L <sub>Ma</sub>	52.69	-65.43	20.75	68.65	162
C <sub>Ma</sub>	59.61	-28.97	-46.21	54.56	238
V <sub>Ma</sub>	28.39	23.63	-44.12	50.06	298
M <sub>Ma</sub>	49.58	73.93	-9.55	74.55	353
N <sub>Ma</sub>	18.89	0.0	0.0	0.0	0
W <sub>Ma</sub>	96.9	0.0	0.0	0.0	0
R <sub>CIE</sub>	39.92	58.74	27.99	65.07	25
J <sub>CIE</sub>	81.26	-2.88	71.56	71.62	92
G <sub>CIE</sub>	52.23	-42.41	13.6	44.55	162
B <sub>CIE</sub>	30.57	1.41	-46.46	46.49	272

Daten für Maximalfarbe (Ma):

$LAB^*LAB^*Ma$ : 87 -2 83

$LAB^*LCH^*Ma$ : 87 83 92

$lab^*rgb^*Ma$ : 1.0 1.0 0.0

$lab^*olv^*Ma$ : 1.0 0.91 0.0

Dreiecks-Helligkeit  $i^*$

%Umfang

$u^*_{rel} = 89$

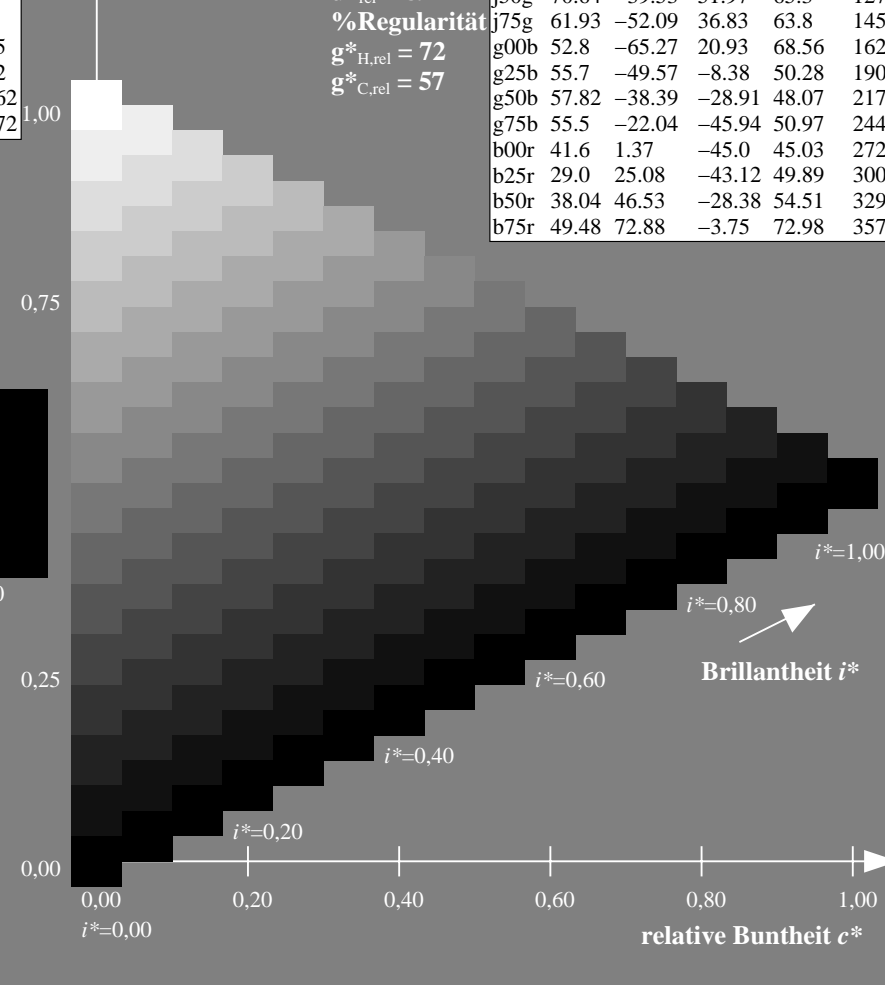
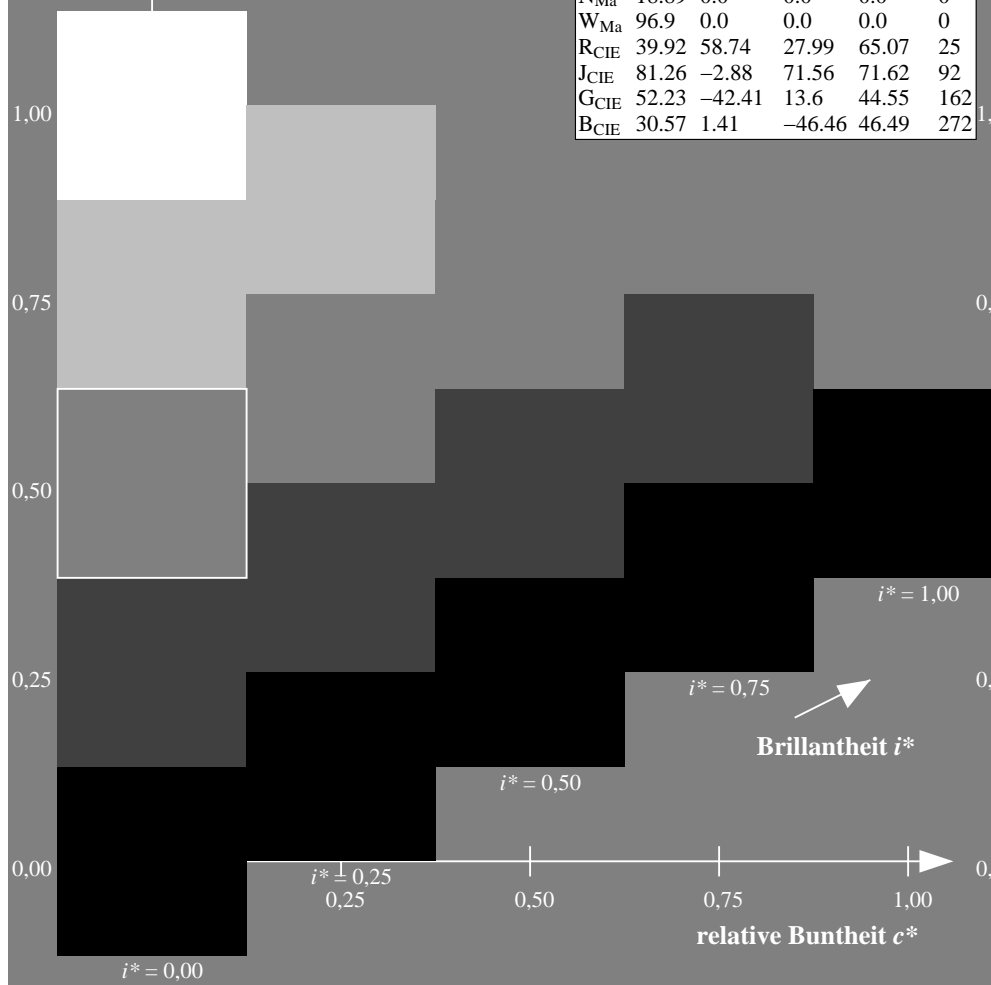
%Regularität

$g^*_{H,rel} = 72$

$g^*_{C,rel} = 57$

ORS19\_96a; adaptierte CIELAB-Daten

	$L^* = \bar{L}_a^*$	$a_a^*$	$b_a^*$	$C_{ab,a}^*$	$h_{ab,a}^*$
r00j	48.88	66.47	31.67	73.63	25
r25j	55.85	52.39	47.48	70.7	42
r50j	65.45	35.22	58.37	68.17	59
r75j	75.19	17.82	69.41	71.66	76
j00g	87.03	-3.34	82.83	82.9	92
j25g	80.72	-25.0	69.5	73.86	110
j50g	70.64	-39.53	51.97	65.3	127
j75g	61.93	-52.09	36.83	63.8	145
g00b	52.8	-65.27	20.93	68.56	162
g25b	55.7	-49.57	-8.38	50.28	190
g50b	57.82	-38.39	-28.91	48.07	217
g75b	55.5	-22.04	-45.94	50.97	244
b00r	41.6	1.37	-45.0	45.03	272
b25r	29.0	25.08	-43.12	49.89	300
b50r	38.04	46.53	-28.38	54.51	329
b75r	49.48	72.88	-3.75	72.98	357



Ein und Ausgabe: Farbmetrisches Drucker-Reflektiv-System ORS19\_96a für relativen CIELAB-Buntton  $h^* = lab^*h^* = h_{ab}/360 = 110/360 = 0.305$

Daten für jede Farbe:

$lab^*ch^*$  und  $lab^*icu^*$

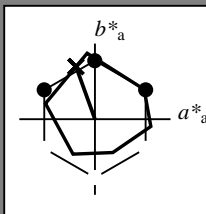
Elementar-Bunttoncontext:

$u^* = j25g$

Kontrastreduzierungsfaktor:

$c_R = 1.0$

Dreiecks-Helligkeit  $i^*$



ORS19\_96a; adaptierte CIELAB-Daten

	$L^* = \bar{L}_a^*$	$a_a^*$	$b_a^*$	$C_{ab,a}^*$	$h_{ab,a}^*$
O <sub>Ma</sub>	48.75	65.07	39.43	76.08	31
Y <sub>Ma</sub>	90.92	-10.28	87.24	87.85	97
L <sub>Ma</sub>	52.69	-65.43	20.75	68.65	162
C <sub>Ma</sub>	59.61	-28.97	-46.21	54.56	238
V <sub>Ma</sub>	28.39	23.63	-44.12	50.06	298
M <sub>Ma</sub>	49.58	73.93	-9.55	74.55	353
N <sub>Ma</sub>	18.89	0.0	0.0	0.0	0
W <sub>Ma</sub>	96.9	0.0	0.0	0.0	0
R <sub>CIE</sub>	39.92	58.74	27.99	65.07	25
J <sub>CIE</sub>	81.26	-2.88	71.56	71.62	92
G <sub>CIE</sub>	52.23	-42.41	13.6	44.55	162
B <sub>CIE</sub>	30.57	1.41	-46.46	46.49	272

Daten für Maximalfarbe (Ma):

$LAB^*LAB^*Ma$ : 81 -24 69

$LAB^*LCH^*Ma$ : 81 74 110

$lab^*rgb^*Ma$ : 0.75 1.0 0.0

$lab^*olv^*Ma$ : 0.73 1.0 0.0

Dreiecks-Helligkeit  $i^*$

%Umfang

$u^*_{rel} = 89$

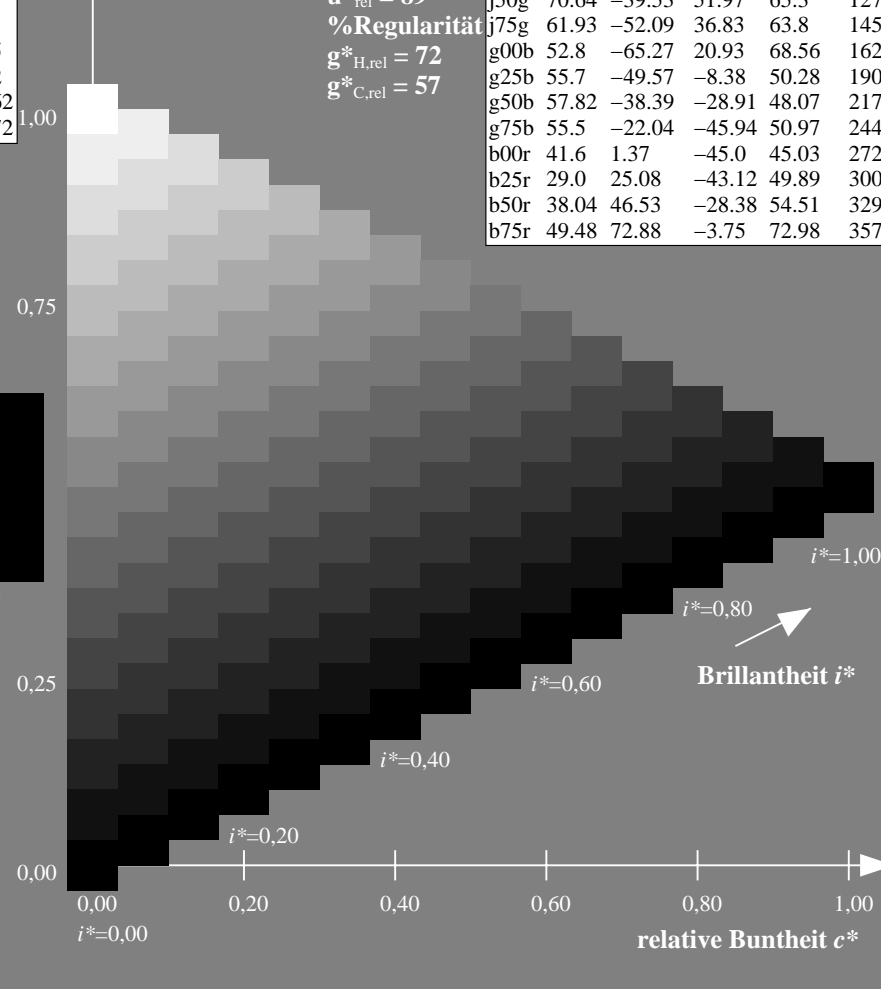
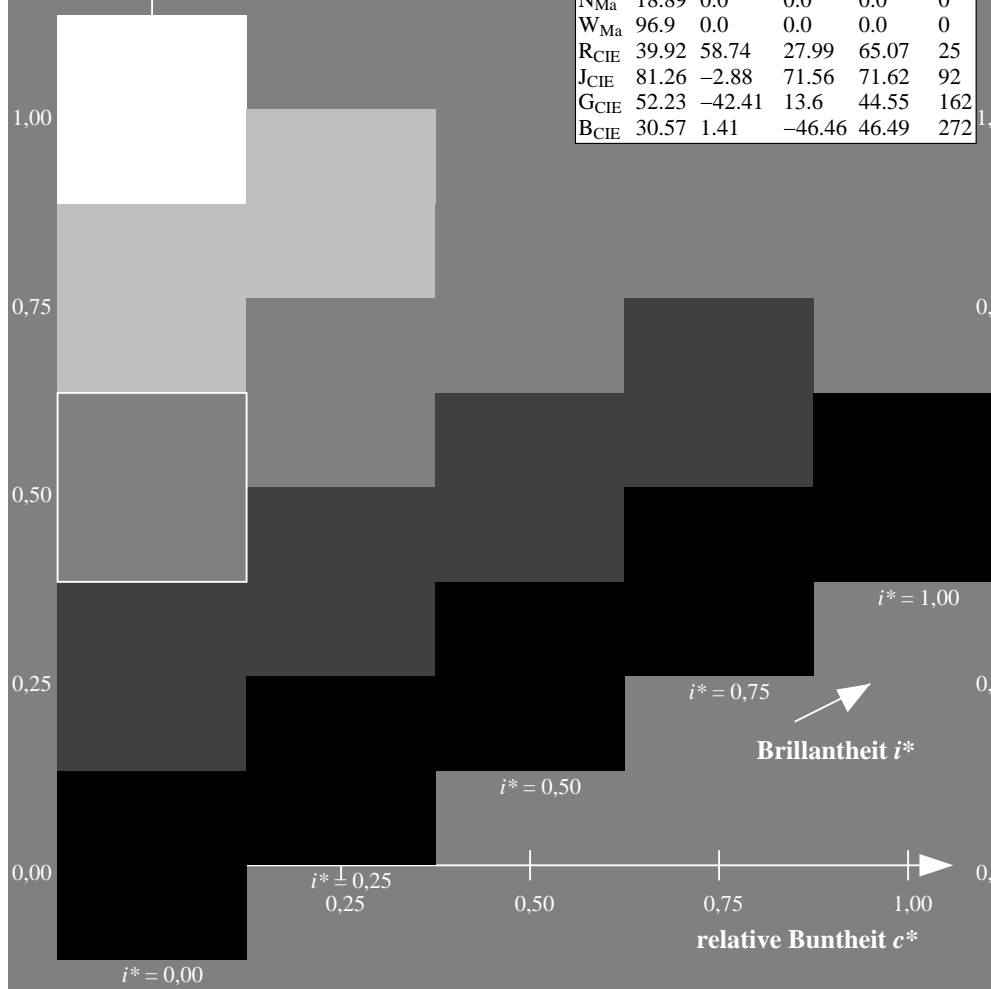
%Regularität

$g^*_{H,rel} = 72$

$g^*_{C,rel} = 57$

ORS19\_96a; adaptierte CIELAB-Daten

	$L^* = \bar{L}_a^*$	$a_a^*$	$b_a^*$	$C_{ab,a}^*$	$h_{ab,a}^*$
r00j	48.88	66.47	31.67	73.63	25
r25j	55.85	52.39	47.48	70.7	42
r50j	65.45	35.22	58.37	68.17	59
r75j	75.19	17.82	69.41	71.66	76
j00g	87.03	-3.34	82.83	82.9	92
j25g	80.72	-25.0	69.5	73.86	110
j50g	70.64	-39.53	51.97	65.3	127
j75g	61.93	-52.09	36.83	63.8	145
g00b	52.8	-65.27	20.93	68.56	162
g25b	55.7	-49.57	-8.38	50.28	190
g50b	57.82	-38.39	-28.91	48.07	217
g75b	55.5	-22.04	-45.94	50.97	244
b00r	41.6	1.37	-45.0	45.03	272
b25r	29.0	25.08	-43.12	49.89	300
b50r	38.04	46.53	-28.38	54.51	329
b75r	49.48	72.88	-3.75	72.98	357



Ein und Ausgabe: Farbmetrisches Drucker-Reflektiv-System ORS19\_96a für relativen CIELAB-Buntton  $h^* = lab^*h^* = h_{ab}/360 = 127/360 = 0.354$

Daten für jede Farbe:

$lab^*ch^*$  und  $lab^*icu^*$

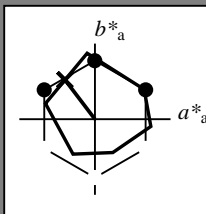
Elementar-Bunttoncontext:

$u^* = j50g$

Kontrastreduzierungsfaktor:

$c_R = 1.0$

Dreiecks-Helligkeit  $i^*$



ORS19_96a; adaptierte CIELAB-Daten					
	$L^* = L^*_a$	$a^*_a$	$b^*_a$	$C^*_{ab,a}$	$h^*_{ab,a}$
O <sub>Ma</sub>	48.75	65.07	39.43	76.08	31
Y <sub>Ma</sub>	90.92	-10.28	87.24	87.85	97
L <sub>Ma</sub>	52.69	-65.43	20.75	68.65	162
C <sub>Ma</sub>	59.61	-28.97	-46.21	54.56	238
V <sub>Ma</sub>	28.39	23.63	-44.12	50.06	298
M <sub>Ma</sub>	49.58	73.93	-9.55	74.55	353
N <sub>Ma</sub>	18.89	0.0	0.0	0.0	0
W <sub>Ma</sub>	96.9	0.0	0.0	0.0	0
R <sub>CIE</sub>	39.92	58.74	27.99	65.07	25
J <sub>CIE</sub>	81.26	-2.88	71.56	71.62	92
G <sub>CIE</sub>	52.23	-42.41	13.6	44.55	162
B <sub>CIE</sub>	30.57	1.41	-46.46	46.49	272

Daten für Maximalfarbe (Ma):

$LAB^*LAB^*_{Ma}$ : 71 -39 52

$LAB^*LCH^*_{Ma}$ : 71 65 127

$lab^*rgb^*_{Ma}$ : 0.5 1.0 0.0

$lab^*olv^*_{Ma}$ : 0.47 1.0 0.0

Dreiecks-Helligkeit  $i^*$

%Umfang

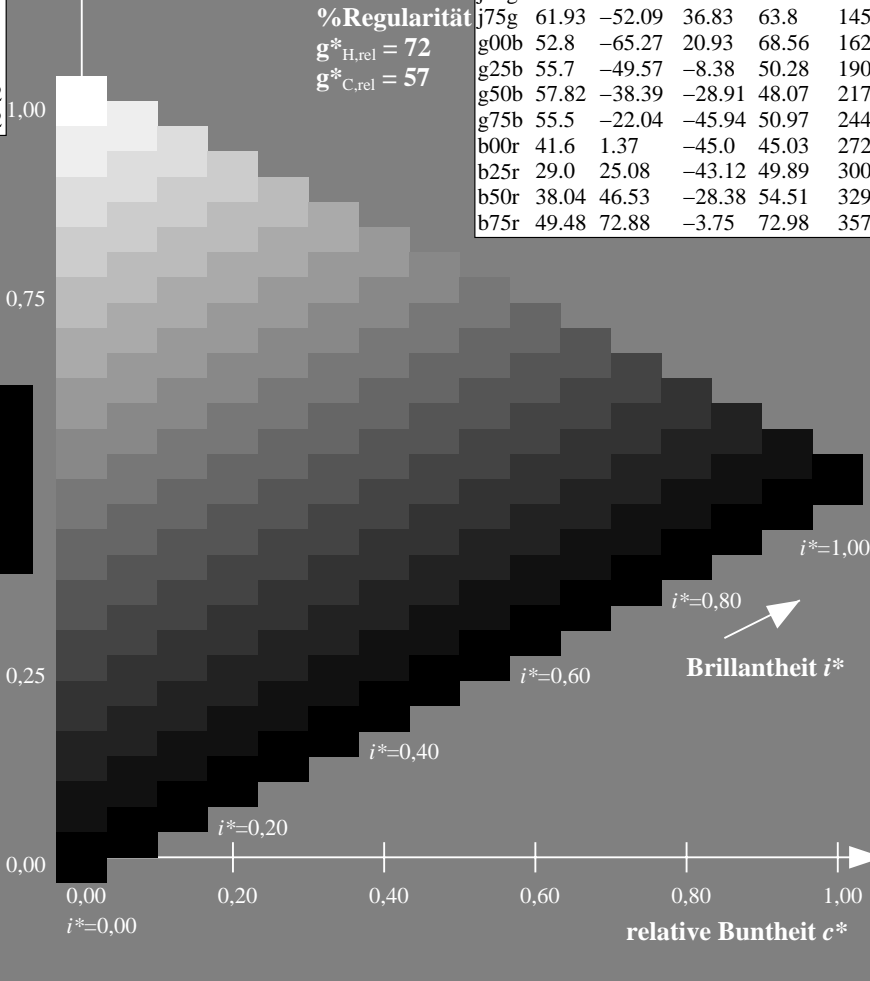
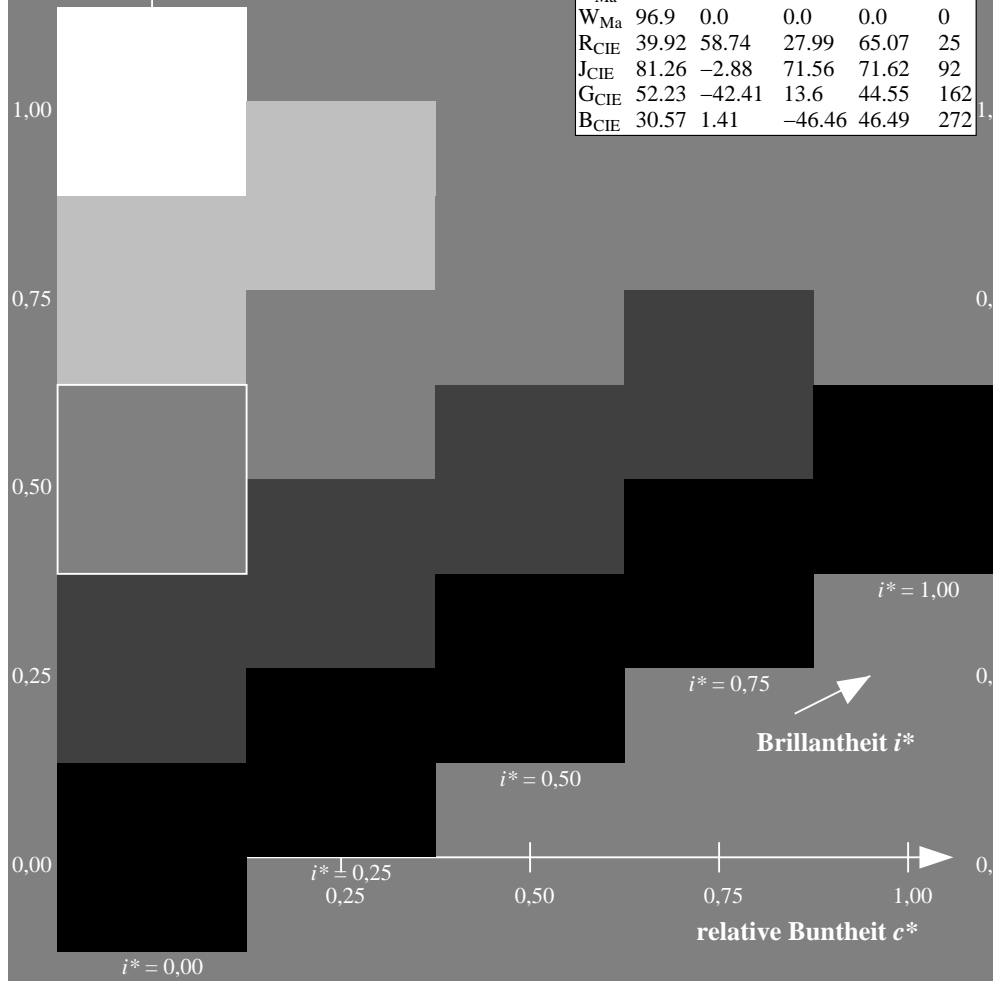
$u^*_{rel} = 89$

%Regularität

$g^*_{H,rel} = 72$

$g^*_{C,rel} = 57$

ORS19_96a; adaptierte CIELAB-Daten					
	$L^* = L^*_a$	$a^*_a$	$b^*_a$	$C^*_{ab,a}$	$h^*_{ab,a}$
r00j	48.88	66.47	31.67	73.63	25
r25j	55.85	52.39	47.48	70.7	42
r50j	65.45	35.22	58.37	68.17	59
r75j	75.19	17.82	69.41	71.66	76
j00g	87.03	-3.34	82.83	82.9	92
j25g	80.72	-25.0	69.5	73.86	110
j50g	70.64	-39.53	51.97	65.3	127
j75g	61.93	-52.09	36.83	63.8	145
g00b	52.8	-65.27	20.93	68.56	162
g25b	55.7	-49.57	-8.38	50.28	190
g50b	57.82	-38.39	-28.91	48.07	217
g75b	55.5	-22.04	-45.94	50.97	244
b00r	41.6	1.37	-45.0	45.03	272
b25r	29.0	25.08	-43.12	49.89	300
b50r	38.04	46.53	-28.38	54.51	329
b75r	49.48	72.88	-3.75	72.98	357





Ein und Ausgabe: Farbmétrisches Drucker-Reflektiv-System ORS19\_96a für relativen CIELAB-Buntton  $h^* = lab^*h^* = h_{ab}/360 = 145/360 = 0.402$

Daten für jede Farbe:

$lab^*ch^*$  und  $lab^*icu^*$

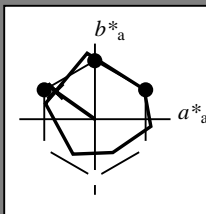
Elementar-Bunttoncontext:

$u^* = j75g$

Kontrastreduzierungsfaktor:

$c_R = 1.0$

Dreiecks-Helligkeit  $i^*$



ORS19_96a; adaptierte CIELAB-Daten					
	$L^* = \bar{L}_a^*$	$a_a^*$	$b_a^*$	$C_{ab,a}^*$	$h_{ab,a}^*$
O <sub>Ma</sub>	48.75	65.07	39.43	76.08	31
Y <sub>Ma</sub>	90.92	-10.28	87.24	87.85	97
L <sub>Ma</sub>	52.69	-65.43	20.75	68.65	162
C <sub>Ma</sub>	59.61	-28.97	-46.21	54.56	238
V <sub>Ma</sub>	28.39	23.63	-44.12	50.06	298
M <sub>Ma</sub>	49.58	73.93	-9.55	74.55	353
N <sub>Ma</sub>	18.89	0.0	0.0	0.0	0
W <sub>Ma</sub>	96.9	0.0	0.0	0.0	0
R <sub>CIE</sub>	39.92	58.74	27.99	65.07	25
J <sub>CIE</sub>	81.26	-2.88	71.56	71.62	92
G <sub>CIE</sub>	52.23	-42.41	13.6	44.55	162
B <sub>CIE</sub>	30.57	1.41	-46.46	46.49	272

Daten für Maximalfarbe (Ma):

$LAB^*LAB^*Ma$ : 62 -51 37

$LAB^*LCH^*Ma$ : 62 64 145

$lab^*rgb^*Ma$ : 0.25 1.0 0.0

$lab^*olv^*Ma$ : 0.24 1.0 0.0

Dreiecks-Helligkeit  $i^*$

%Umfang

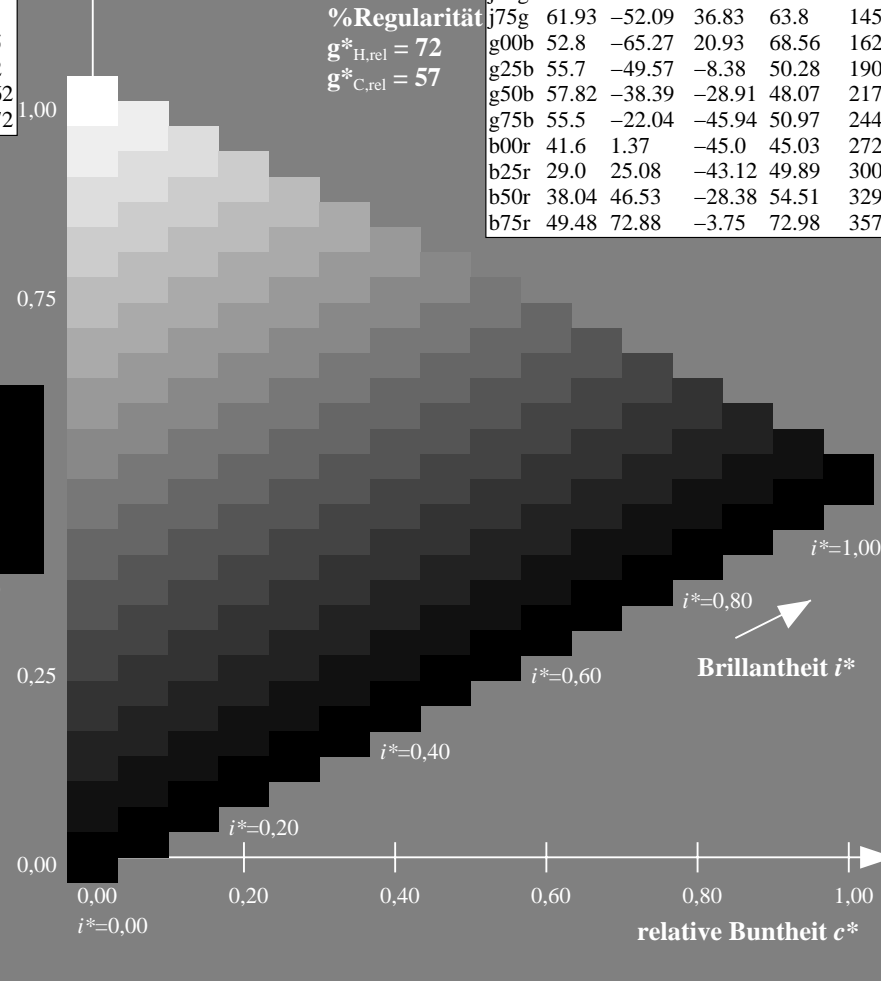
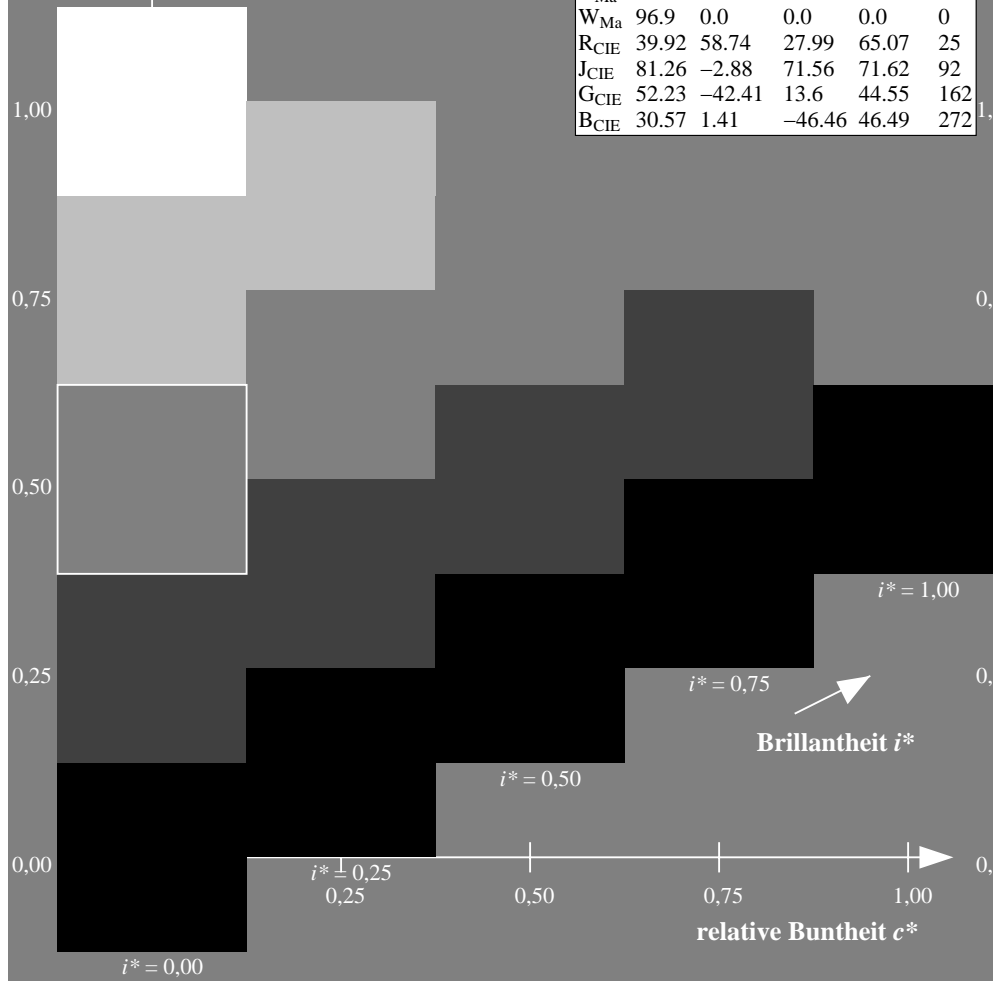
$u^*_{rel} = 89$

%Regularität

$g^*_{H,rel} = 72$

$g^*_{C,rel} = 57$

ORS19_96a; adaptierte CIELAB-Daten					
	$L^* = \bar{L}_a^*$	$a_a^*$	$b_a^*$	$C_{ab,a}^*$	$h_{ab,a}^*$
r00j	48.88	66.47	31.67	73.63	25
r25j	55.85	52.39	47.48	70.7	42
r50j	65.45	35.22	58.37	68.17	59
r75j	75.19	17.82	69.41	71.66	76
j00g	87.03	-3.34	82.83	82.9	92
j25g	80.72	-25.0	69.5	73.86	110
j50g	70.64	-39.53	51.97	65.3	127
j75g	61.93	-52.09	36.83	63.8	145
g00b	52.8	-65.27	20.93	68.56	162
g25b	55.7	-49.57	-8.38	50.28	190
g50b	57.82	-38.39	-28.91	48.07	217
g75b	55.5	-22.04	-45.94	50.97	244
b00r	41.6	1.37	-45.0	45.03	272
b25r	29.0	25.08	-43.12	49.89	300
b50r	38.04	46.53	-28.38	54.51	329
b75r	49.48	72.88	-3.75	72.98	357



Siehe ähnliche Dateien: <http://www.ps.bam.de/Dg74/>; [www.ps.bam.de/Dg74/10L/L74G00NP.PS/](http://www.ps.bam.de/Dg74/10L/L74G00NP.PS/).PDF  
Technische Information: <http://www.ps.bam.de> Version 2.1, io=1,1, ColSpx=0

Ein und Ausgabe: Farbmétrisches Drucker-Reflektiv-System ORS19\_96a für relativen CIELAB-Buntton  $h^* = lab^*h^* = h_{ab}/360 = 162/360 = 0.451$

Daten für jede Farbe:

$lab^*ch^*$  und  $lab^*icu^*$

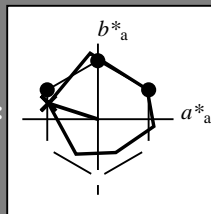
Elementar-Bunttoncontext:

$u^* = g00b$

Kontrastreduzierungsfaktor:

$c_R = 1.0$

Dreiecks-Helligkeit  $i^*$



ORS19_96a; adaptierte CIELAB-Daten					
	$L^* = \bar{L}_a^*$	$a_a^*$	$b_a^*$	$C_{ab,a}^*$	$h_{ab,a}^*$
O <sub>Ma</sub>	48.75	65.07	39.43	76.08	31
Y <sub>Ma</sub>	90.92	-10.28	87.24	87.85	97
L <sub>Ma</sub>	52.69	-65.43	20.75	68.65	162
C <sub>Ma</sub>	59.61	-28.97	-46.21	54.56	238
V <sub>Ma</sub>	28.39	23.63	-44.12	50.06	298
M <sub>Ma</sub>	49.58	73.93	-9.55	74.55	353
N <sub>Ma</sub>	18.89	0.0	0.0	0.0	0
W <sub>Ma</sub>	96.9	0.0	0.0	0.0	0
R <sub>CIE</sub>	39.92	58.74	27.99	65.07	25
J <sub>CIE</sub>	81.26	-2.88	71.56	71.62	92
G <sub>CIE</sub>	52.23	-42.41	13.6	44.55	162
B <sub>CIE</sub>	30.57	1.41	-46.46	46.49	272

Daten für Maximalfarbe (Ma):

$LAB^*LAB^*Ma$ : 53 -64 21

$LAB^*LCH^*Ma$ : 53 69 162

$lab^*rgb^*Ma$ : 0.0 1.0 0.0

$lab^*olv^*Ma$ : 0.0 1.0 0.0

Dreiecks-Helligkeit  $i^*$

%Umfang

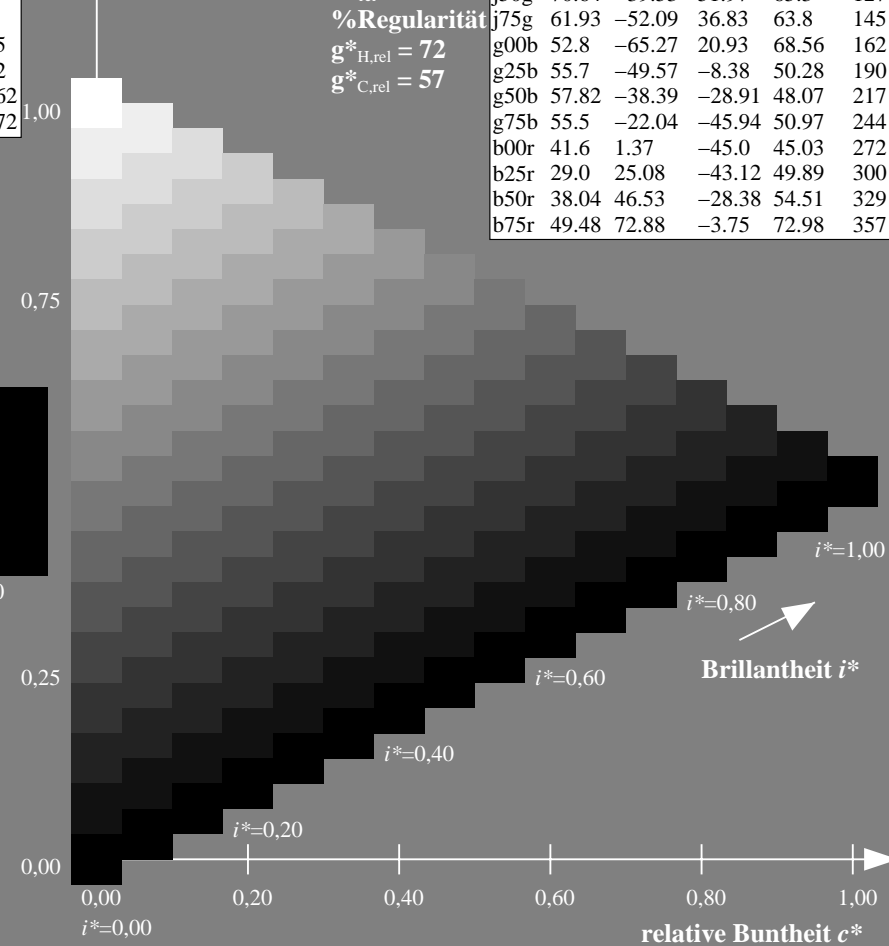
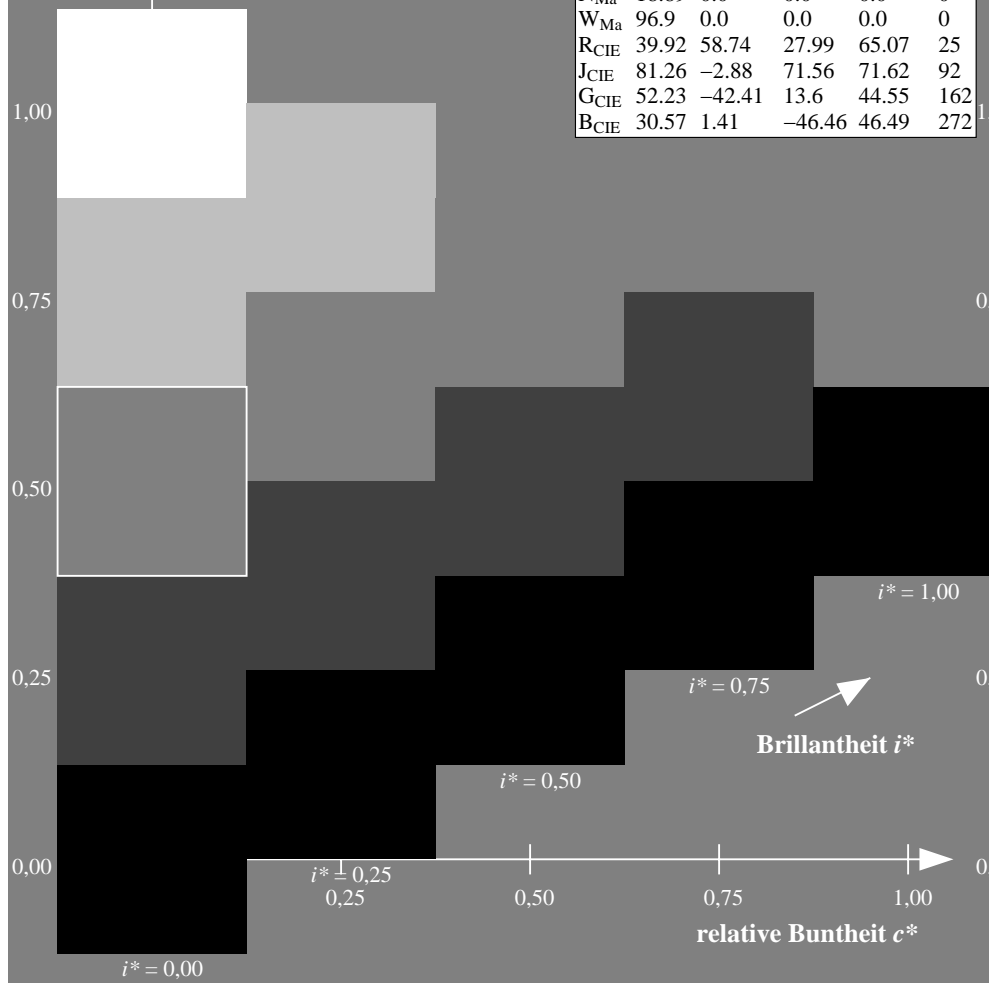
$u^*_{rel} = 89$

%Regularität

$g^*_{H,rel} = 72$

$g^*_{C,rel} = 57$

ORS19_96a; adaptierte CIELAB-Daten					
	$L^* = \bar{L}_a^*$	$a_a^*$	$b_a^*$	$C_{ab,a}^*$	$h_{ab,a}^*$
r00j	48.88	66.47	31.67	73.63	25
r25j	55.85	52.39	47.48	70.7	42
r50j	65.45	35.22	58.37	68.17	59
r75j	75.19	17.82	69.41	71.66	76
j00g	87.03	-3.34	82.83	82.9	92
j25g	80.72	-25.0	69.5	73.86	110
j50g	70.64	-39.53	51.97	65.3	127
j75g	61.93	-52.09	36.83	63.8	145
g00b	52.8	-65.27	20.93	68.56	162
g25b	55.7	-49.57	-8.38	50.28	190
g50b	57.82	-38.39	-28.91	48.07	217
g75b	55.5	-22.04	-45.94	50.97	244
b00r	41.6	1.37	-45.0	45.03	272
b25r	29.0	25.08	-43.12	49.89	300
b50r	38.04	46.53	-28.38	54.51	329
b75r	49.48	72.88	-3.75	72.98	357



BAM-Registrierung: 20080701-Dg74/10L/L74G00NP.PS/ .PDF BAM-Material: Code=rh4ta  
Anwendung für Beurteilung und Messung von Drucker- oder Monitorssystemen

Ein und Ausgabe: Farbmetrisches Drucker-Reflektiv-System ORS19\_96a für relativen CIELAB-Buntton  $h^* = lab^*h^* = h_{ab}/360 = 190/360 = 0.527$

Daten für jede Farbe:

$lab^*ch^*$  und  $lab^*icu^*$

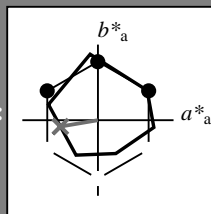
Elementar-Bunttontext:

$u^* = g25b$

Kontrastreduzierungsfaktor:

$c_R = 1.0$

Dreiecks-Helligkeit  $i^*$



ORS19\_96a; adaptierte CIELAB-Daten

	$L^*=\bar{L}_a^*$	$a_a^*$	$b_a^*$	$C_{ab,a}^*$	$h_{ab,a}^*$
O <sub>Ma</sub>	48.75	65.07	39.43	76.08	31
Y <sub>Ma</sub>	90.92	-10.28	87.24	87.85	97
L <sub>Ma</sub>	52.69	-65.43	20.75	68.65	162
C <sub>Ma</sub>	59.61	-28.97	-46.21	54.56	238
V <sub>Ma</sub>	28.39	23.63	-44.12	50.06	298
M <sub>Ma</sub>	49.58	73.93	-9.55	74.55	353
N <sub>Ma</sub>	18.89	0.0	0.0	0.0	0
W <sub>Ma</sub>	96.9	0.0	0.0	0.0	0
R <sub>CIE</sub>	39.92	58.74	27.99	65.07	25
J <sub>CIE</sub>	81.26	-2.88	71.56	71.62	92
G <sub>CIE</sub>	52.23	-42.41	13.6	44.55	162
B <sub>CIE</sub>	30.57	1.41	-46.46	46.49	272

Daten für Maximalfarbe (Ma):

$LAB^*LAB^*Ma$ : 56 -49 -7

$LAB^*LCH^*Ma$ : 56 50 190

$lab^*rgb^*Ma$ : 0.0 1.0 0.5

$lab^*olv^*Ma$ : 0.0 1.0 0.44

Dreiecks-Helligkeit  $i^*$

%Umfang

$u^*_{rel} = 89$

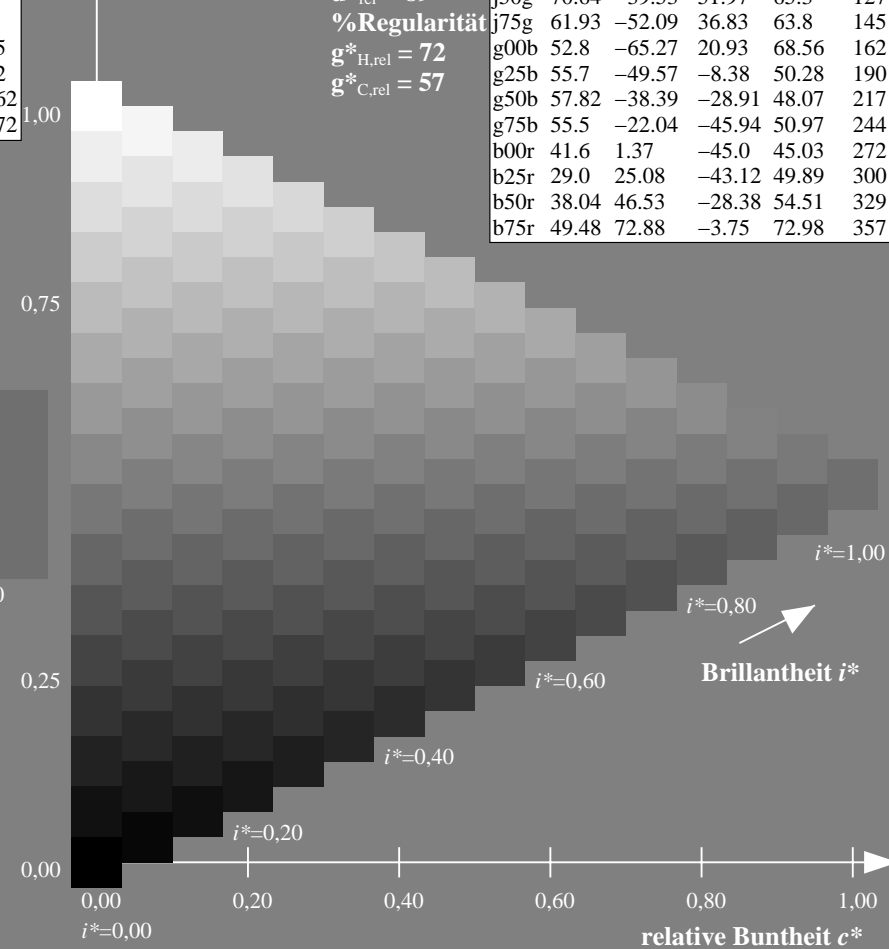
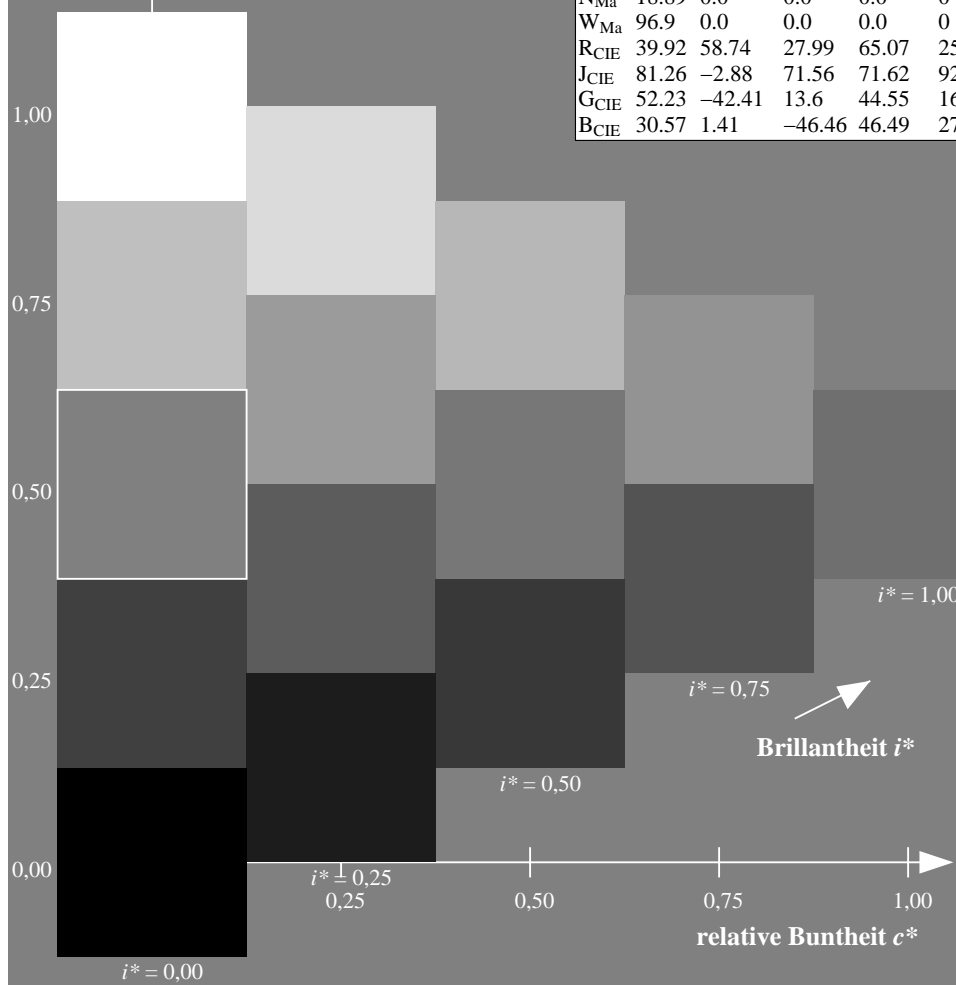
%Regularität

$g^*_{H,rel} = 72$

$g^*_{C,rel} = 57$

ORS19\_96a; adaptierte CIELAB-Daten

	$L^*=\bar{L}_a^*$	$a_a^*$	$b_a^*$	$C_{ab,a}^*$	$h_{ab,a}^*$
r00j	48.88	66.47	31.67	73.63	25
r25j	55.85	52.39	47.48	70.7	42
r50j	65.45	35.22	58.37	68.17	59
r75j	75.19	17.82	69.41	71.66	76
j00g	87.03	-3.34	82.83	82.9	92
j25g	80.72	-25.0	69.5	73.86	110
j50g	70.64	-39.53	51.97	65.3	127
j75g	61.93	-52.09	36.83	63.8	145
g00b	52.8	-65.27	20.93	68.56	162
g25b	55.7	-49.57	-8.38	50.28	190
g50b	57.82	-38.39	-28.91	48.07	217
g75b	55.5	-22.04	-45.94	50.97	244
b00r	41.6	1.37	-45.0	45.03	272
b25r	29.0	25.08	-43.12	49.89	300
b50r	38.04	46.53	-28.38	54.51	329
b75r	49.48	72.88	-3.75	72.98	357



Ein und Ausgabe: Farbmetrisches Drucker-Reflektiv-System ORS19\_96a für relativen CIELAB-Buntton  $h^* = lab^*h^* = h_{ab}/360 = 217/360 = 0.603$

Daten für jede Farbe:

$lab^*ch^*$  und  $lab^*icu^*$

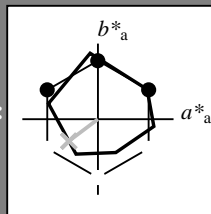
Elementar-Bunttonext:

$u^* = g50b$

Kontrastreduzierungsfaktor:

$c_R = 1.0$

Dreiecks-Helligkeit  $i^*$



ORS19\_96a; adaptierte CIELAB-Daten

	$L^*=L^*_a$	$a^*_a$	$b^*_a$	$C^*_{ab,a}$	$h^*_{ab,a}$
O <sub>Ma</sub>	48.75	65.07	39.43	76.08	31
Y <sub>Ma</sub>	90.92	-10.28	87.24	87.85	97
L <sub>Ma</sub>	52.69	-65.43	20.75	68.65	162
C <sub>Ma</sub>	59.61	-28.97	-46.21	54.56	238
V <sub>Ma</sub>	28.39	23.63	-44.12	50.06	298
M <sub>Ma</sub>	49.58	73.93	-9.55	74.55	353
N <sub>Ma</sub>	18.89	0.0	0.0	0.0	0
W <sub>Ma</sub>	96.9	0.0	0.0	0.0	0
R <sub>CIE</sub>	39.92	58.74	27.99	65.07	25
J <sub>CIE</sub>	81.26	-2.88	71.56	71.62	92
G <sub>CIE</sub>	52.23	-42.41	13.6	44.55	162
B <sub>CIE</sub>	30.57	1.41	-46.46	46.49	272

Daten für Maximalfarbe (Ma):

$LAB^*LAB^*_{Ma}$ : 58 -37 -28

$LAB^*LCH^*_{Ma}$ : 58 48 217

$lab^*rgb^*_{Ma}$ : 0.0 1.0 1.0

$lab^*olv^*_{Ma}$ : 0.0 1.0 0.74

Dreiecks-Helligkeit  $i^*$

%Umfang

$u^*_{rel} = 89$

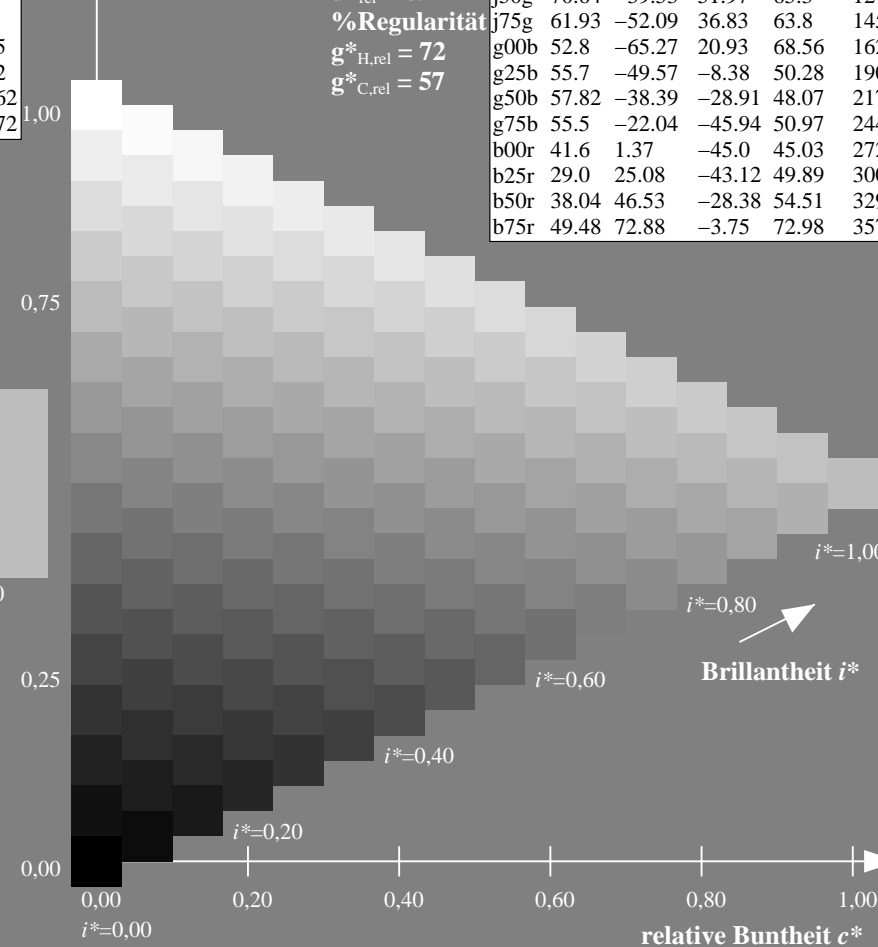
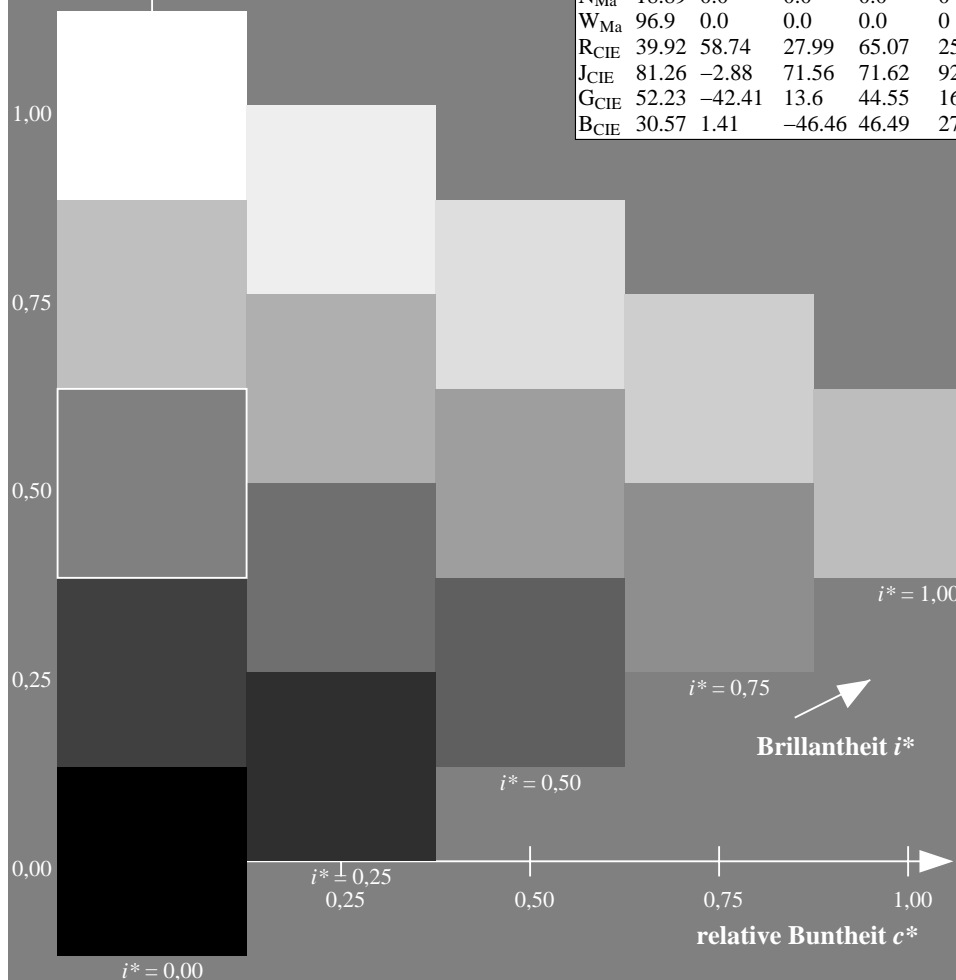
%Regularität

$g^*_{H,rel} = 72$

$g^*_{C,rel} = 57$

ORS19\_96a; adaptierte CIELAB-Daten

	$L^*=L^*_a$	$a^*_a$	$b^*_a$	$C^*_{ab,a}$	$h^*_{ab,a}$
r00j	48.88	66.47	31.67	73.63	25
r25j	55.85	52.39	47.48	70.7	42
r50j	65.45	35.22	58.37	68.17	59
r75j	75.19	17.82	69.41	71.66	76
j00g	87.03	-3.34	82.83	82.9	92
j25g	80.72	-25.0	69.5	73.86	110
j50g	70.64	-39.53	51.97	65.3	127
j75g	61.93	-52.09	36.83	63.8	145
g00b	52.8	-65.27	20.93	68.56	162
g25b	55.7	-49.57	-8.38	50.28	190
g50b	57.82	-38.39	-28.91	48.07	217
g75b	55.5	-22.04	-45.94	50.97	244
b00r	41.6	1.37	-45.0	45.03	272
b25r	29.0	25.08	-43.12	49.89	300
b50r	38.04	46.53	-28.38	54.51	329
b75r	49.48	72.88	-3.75	72.98	357



Ein und Ausgabe: Farbmetrisches Drucker-Reflektiv-System ORS19\_96a für relativen CIELAB-Buntton  $h^* = lab^*h^* = h_{ab}/360 = 244/360 = 0.679$

Daten für jede Farbe:

$lab^*ch^*$  und  $lab^*icu^*$

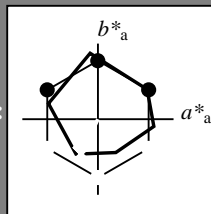
Elementar-Bunttonext:

$u^* = g75b$

Kontrastreduzierungsfaktor:

$c_R = 1.0$

Dreiecks-Helligkeit  $i^*$



ORS19\_96a; adaptierte CIELAB-Daten

	$L^*=L_a^*$	$a_a^*$	$b_a^*$	$C_{ab,a}^*$	$h_{ab,a}^*$
O <sub>Ma</sub>	48.75	65.07	39.43	76.08	31
Y <sub>Ma</sub>	90.92	-10.28	87.24	87.85	97
L <sub>Ma</sub>	52.69	-65.43	20.75	68.65	162
C <sub>Ma</sub>	59.61	-28.97	-46.21	54.56	238
V <sub>Ma</sub>	28.39	23.63	-44.12	50.06	298
M <sub>Ma</sub>	49.58	73.93	-9.55	74.55	353
N <sub>Ma</sub>	18.89	0.0	0.0	0.0	0
W <sub>Ma</sub>	96.9	0.0	0.0	0.0	0
R <sub>CIE</sub>	39.92	58.74	27.99	65.07	25
J <sub>CIE</sub>	81.26	-2.88	71.56	71.62	92
G <sub>CIE</sub>	52.23	-42.41	13.6	44.55	162
B <sub>CIE</sub>	30.57	1.41	-46.46	46.49	272

Daten für Maximalfarbe (Ma):

$LAB^*LAB^*_{Ma}$ : 55 -21 -45

$LAB^*LCH^*_{Ma}$ : 55 51 244

$lab^*rgb^*_{Ma}$ : 0.0 0.5 1.0

$lab^*olv^*_{Ma}$ : 0.0 0.87 1.0

Dreiecks-Helligkeit  $i^*$

%Umfang

$u^*_{rel} = 89$

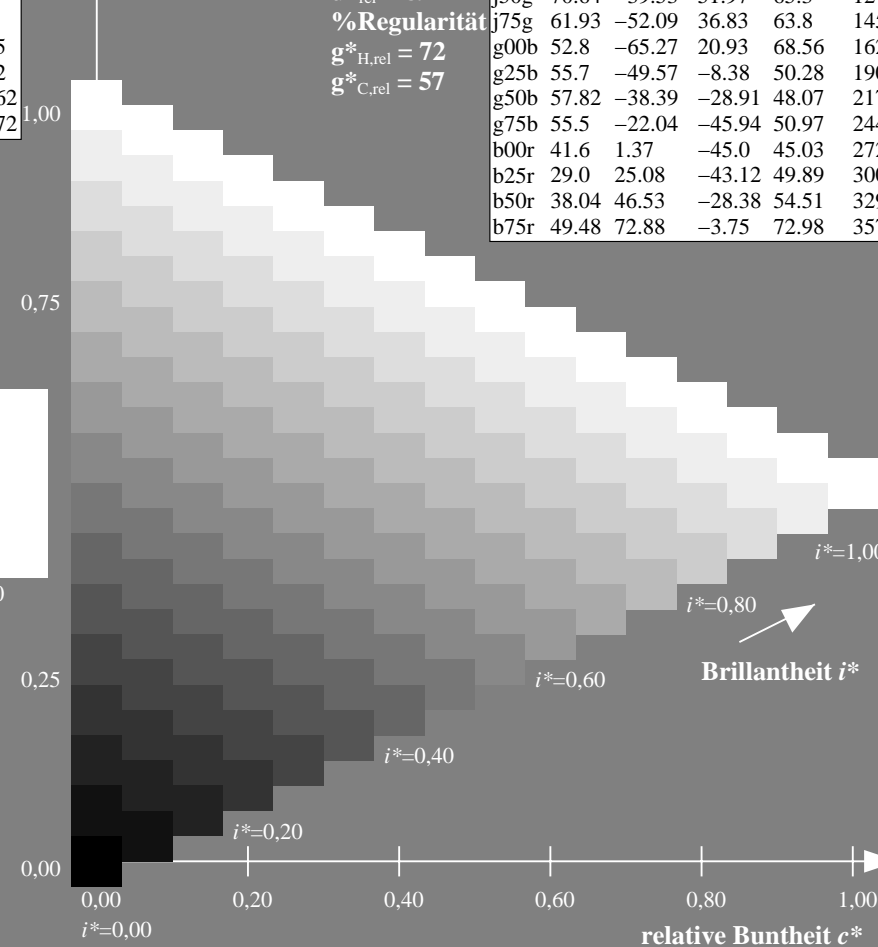
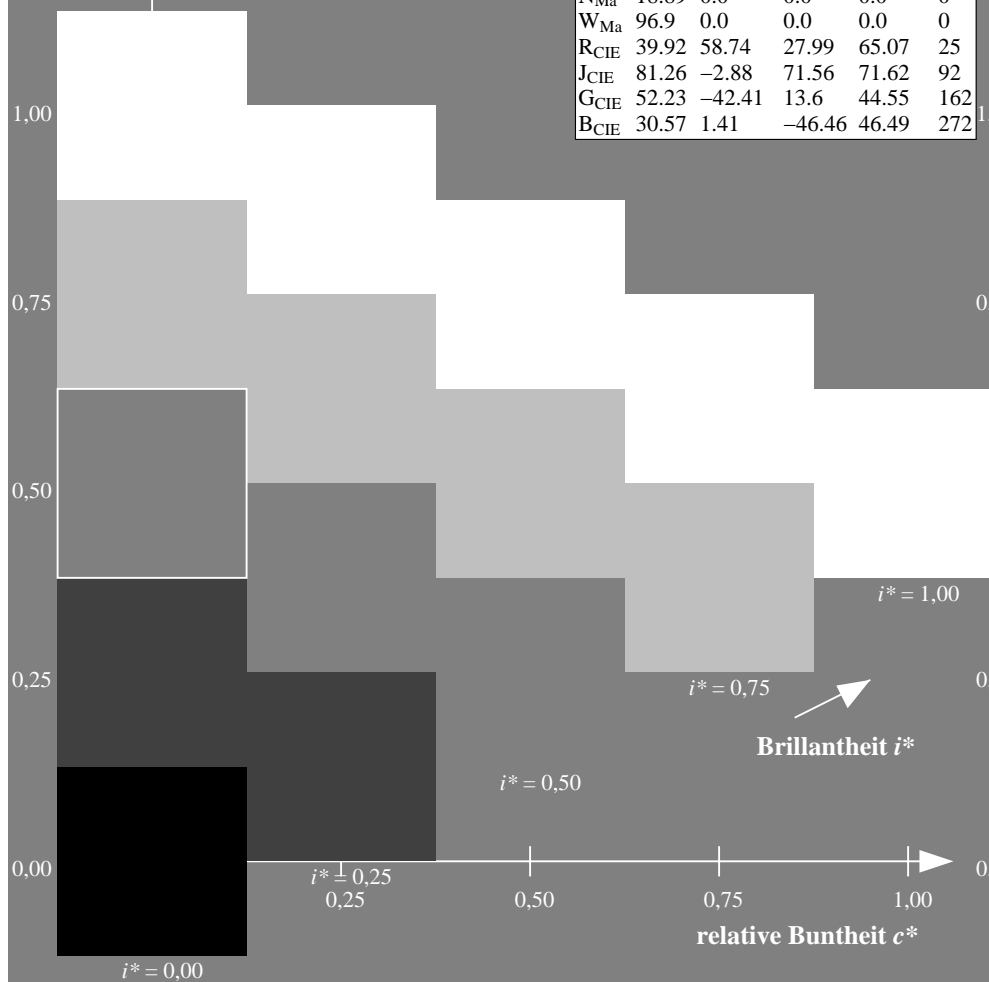
%Regularität

$g^*_{H,rel} = 72$

$g^*_{C,rel} = 57$

ORS19\_96a; adaptierte CIELAB-Daten

	$L^*=L_a^*$	$a_a^*$	$b_a^*$	$C_{ab,a}^*$	$h_{ab,a}^*$
r00j	48.88	66.47	31.67	73.63	25
r25j	55.85	52.39	47.48	70.7	42
r50j	65.45	35.22	58.37	68.17	59
r75j	75.19	17.82	69.41	71.66	76
j00g	87.03	-3.34	82.83	82.9	92
j25g	80.72	-25.0	69.5	73.86	110
j50g	70.64	-39.53	51.97	65.3	127
j75g	61.93	-52.09	36.83	63.8	145
g00b	52.8	-65.27	20.93	68.56	162
g25b	55.7	-49.57	-8.38	50.28	190
g50b	57.82	-38.39	-28.91	48.07	217
g75b	55.5	-22.04	-45.94	50.97	244
b00r	41.6	1.37	-45.0	45.03	272
b25r	29.0	25.08	-43.12	49.89	300
b50r	38.04	46.53	-28.38	54.51	329
b75r	49.48	72.88	-3.75	72.98	357



Ein und Ausgabe: Farbmetrisches Drucker-Reflektiv-System ORS19\_96a für relativen CIELAB-Buntton  $h^* = lab^*h^* = h_{ab}/360 = 272/360 = 0.755$

Daten für jede Farbe:

$lab^*ch^*$  und  $lab^*icu^*$

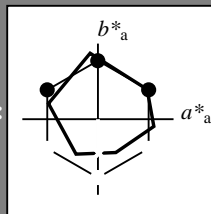
Elementar-Bunttonext:

$u^* = b00r$

Kontrastreduzierungsfaktor:

$c_R = 1.0$

Dreiecks-Helligkeit  $i^*$



ORS19\_96a; adaptierte CIELAB-Daten

	$L^*=L^*_a$	$a^*_a$	$b^*_a$	$C^*_{ab,a}$	$h^*_{ab,a}$
O <sub>Ma</sub>	48.75	65.07	39.43	76.08	31
Y <sub>Ma</sub>	90.92	-10.28	87.24	87.85	97
L <sub>Ma</sub>	52.69	-65.43	20.75	68.65	162
C <sub>Ma</sub>	59.61	-28.97	-46.21	54.56	238
V <sub>Ma</sub>	28.39	23.63	-44.12	50.06	298
M <sub>Ma</sub>	49.58	73.93	-9.55	74.55	353
N <sub>Ma</sub>	18.89	0.0	0.0	0.0	0
W <sub>Ma</sub>	96.9	0.0	0.0	0.0	0
R <sub>CIE</sub>	39.92	58.74	27.99	65.07	25
J <sub>CIE</sub>	81.26	-2.88	71.56	71.62	92
G <sub>CIE</sub>	52.23	-42.41	13.6	44.55	162
B <sub>CIE</sub>	30.57	1.41	-46.46	46.49	272

Daten für Maximalfarbe (Ma):

$LAB^*LAB^*_{Ma}$ : 42 1 -44

$LAB^*LCH^*_{Ma}$ : 42 45 272

$lab^*rgb^*_{Ma}$ : 0.0 0.0 1.0

$lab^*olv^*_{Ma}$ : 0.0 0.42 1.0

Dreiecks-Helligkeit  $i^*$

%Umfang

$u^*_{rel} = 89$

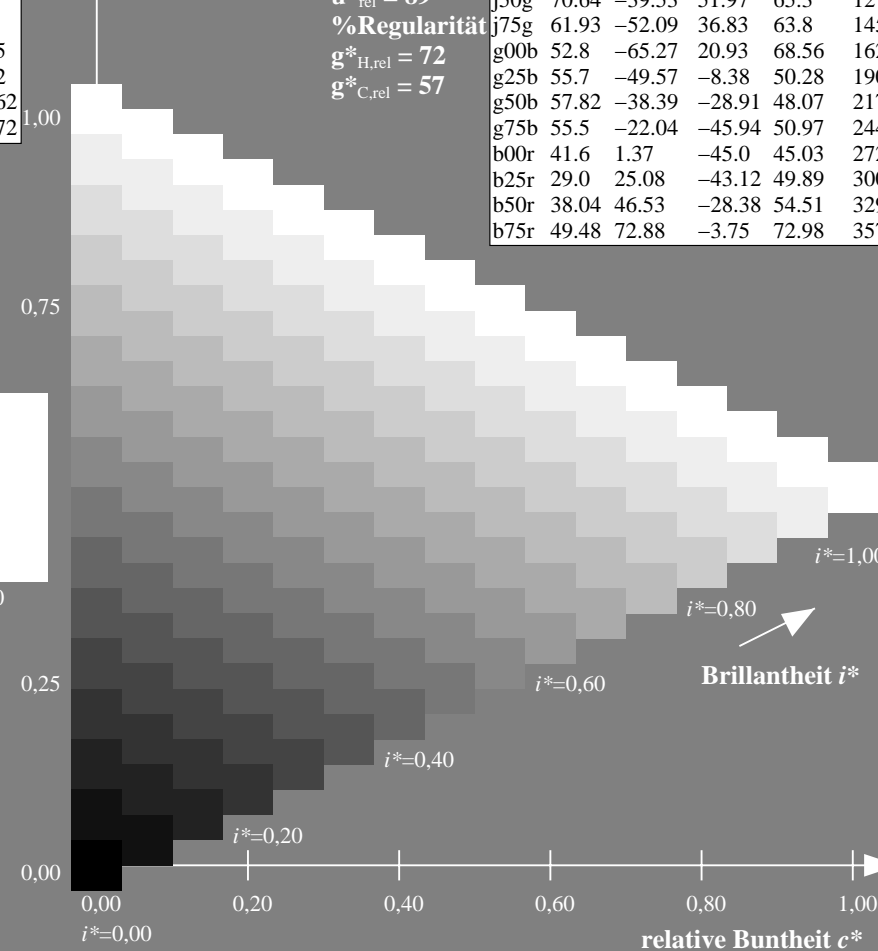
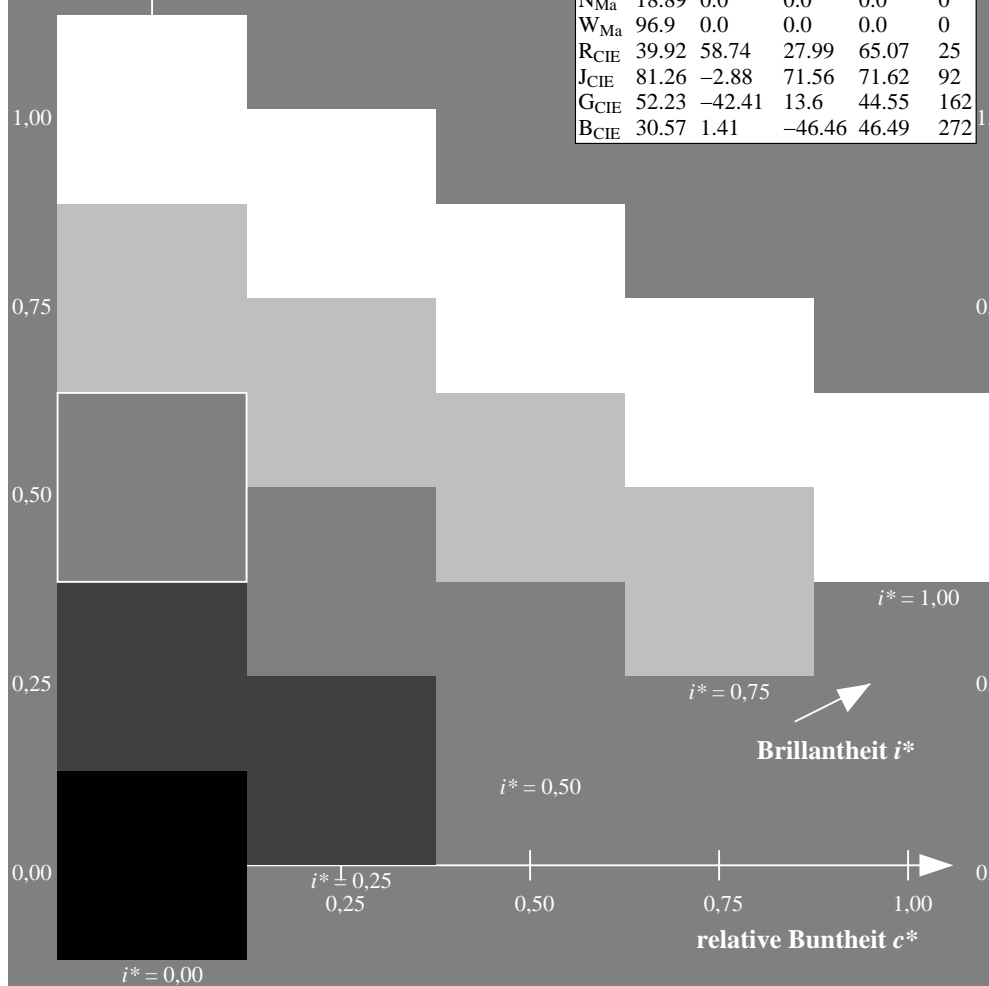
%Regularität

$g^*_{H,rel} = 72$

$g^*_{C,rel} = 57$

ORS19\_96a; adaptierte CIELAB-Daten

	$L^*=L^*_a$	$a^*_a$	$b^*_a$	$C^*_{ab,a}$	$h^*_{ab,a}$
r00j	48.88	66.47	31.67	73.63	25
r25j	55.85	52.39	47.48	70.7	42
r50j	65.45	35.22	58.37	68.17	59
r75j	75.19	17.82	69.41	71.66	76
j00g	87.03	-3.34	82.83	82.9	92
j25g	80.72	-25.0	69.5	73.86	110
j50g	70.64	-39.53	51.97	65.3	127
j75g	61.93	-52.09	36.83	63.8	145
g00b	52.8	-65.27	20.93	68.56	162
g25b	55.7	-49.57	-8.38	50.28	190
g50b	57.82	-38.39	-28.91	48.07	217
g75b	55.5	-22.04	-45.94	50.97	244
b00r	41.6	1.37	-45.0	45.03	272
b25r	29.0	25.08	-43.12	49.89	300
b50r	38.04	46.53	-28.38	54.51	329
b75r	49.48	72.88	-3.75	72.98	357





Ein und Ausgabe: Farbmetrisches Drucker-Reflektiv-System ORS19\_96a für relativen CIELAB-Buntton  $h^* = lab^*h^* = h_{ab}/360 = 300/360 = 0.834$

Daten für jede Farbe:

$lab^*ch^*$  und  $lab^*icu^*$

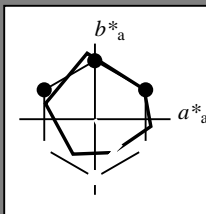
Elementar-Bunttontext:

$u^* = b25r$

Kontrastreduzierungsfaktor:

$c_R = 1.0$

Dreiecks-Helligkeit  $i^*$



ORS19\_96a; adaptierte CIELAB-Daten

	$L^*=L^*_a$	$a^*_a$	$b^*_a$	$C^*_{ab,a}$	$h^*_{ab,a}$
O <sub>Ma</sub>	48.75	65.07	39.43	76.08	31
Y <sub>Ma</sub>	90.92	-10.28	87.24	87.85	97
L <sub>Ma</sub>	52.69	-65.43	20.75	68.65	162
C <sub>Ma</sub>	59.61	-28.97	-46.21	54.56	238
V <sub>Ma</sub>	28.39	23.63	-44.12	50.06	298
M <sub>Ma</sub>	49.58	73.93	-9.55	74.55	353
N <sub>Ma</sub>	18.89	0.0	0.0	0.0	0
W <sub>Ma</sub>	96.9	0.0	0.0	0.0	0
R <sub>CIE</sub>	39.92	58.74	27.99	65.07	25
J <sub>CIE</sub>	81.26	-2.88	71.56	71.62	92
G <sub>CIE</sub>	52.23	-42.41	13.6	44.55	162
B <sub>CIE</sub>	30.57	1.41	-46.46	46.49	272

Daten für Maximalfarbe (Ma):

$LAB^*LAB^*_{Ma}$ : 29 25 -42

$LAB^*LCH^*_{Ma}$ : 29 50 300

$lab^*rgb^*_{Ma}$ : 0.5 0.0 1.0

$lab^*olv^*_{Ma}$ : 0.03 0.0 1.0

Dreiecks-Helligkeit  $i^*$

%Umfang

$u^*_{rel} = 89$

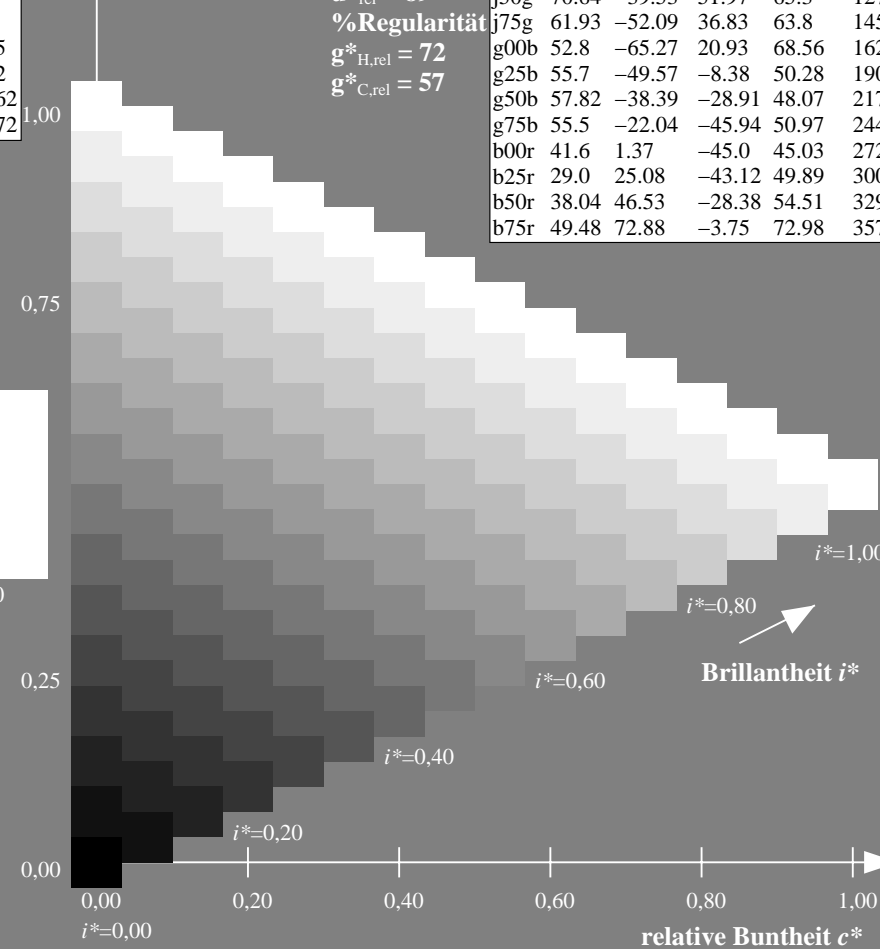
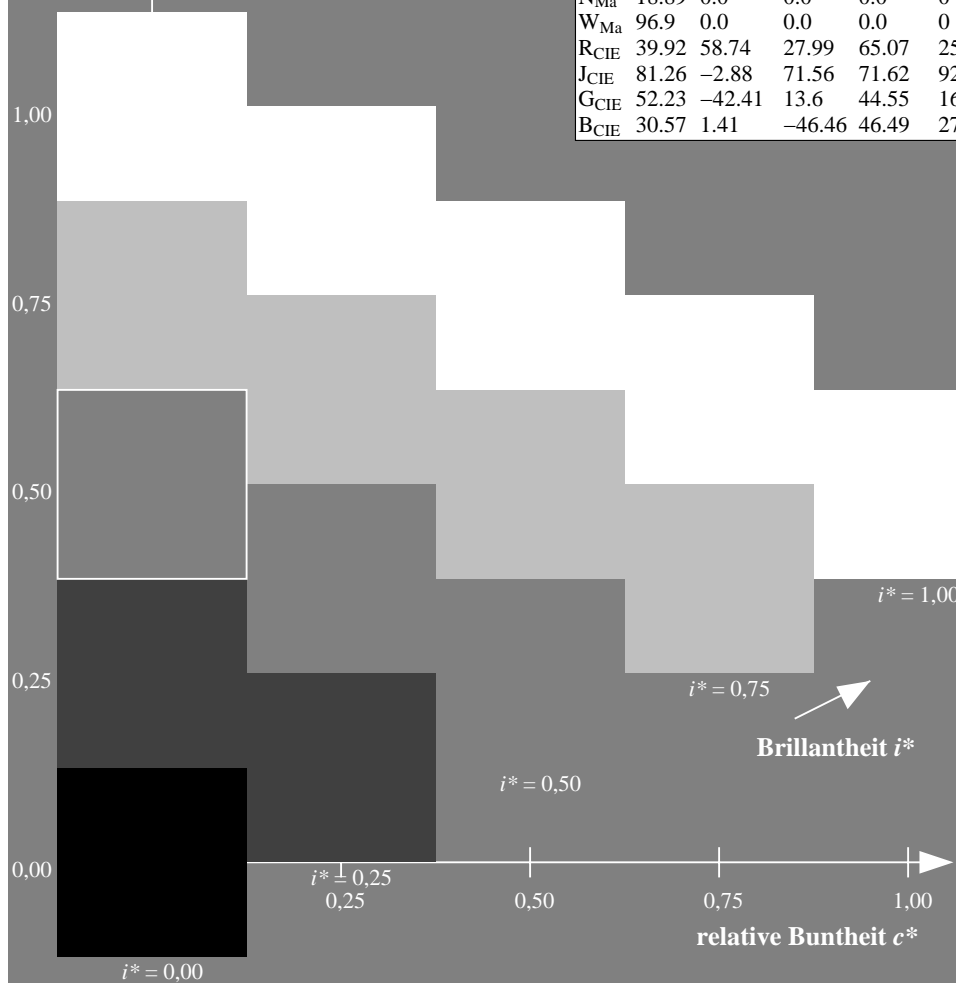
%Regularität

$g^*_{H,rel} = 72$

$g^*_{C,rel} = 57$

ORS19\_96a; adaptierte CIELAB-Daten

	$L^*=L^*_a$	$a^*_a$	$b^*_a$	$C^*_{ab,a}$	$h^*_{ab,a}$
r00j	48.88	66.47	31.67	73.63	25
r25j	55.85	52.39	47.48	70.7	42
r50j	65.45	35.22	58.37	68.17	59
r75j	75.19	17.82	69.41	71.66	76
j00g	87.03	-3.34	82.83	82.9	92
j25g	80.72	-25.0	69.5	73.86	110
j50g	70.64	-39.53	51.97	65.3	127
j75g	61.93	-52.09	36.83	63.8	145
g00b	52.8	-65.27	20.93	68.56	162
g25b	55.7	-49.57	-8.38	50.28	190
g50b	57.82	-38.39	-28.91	48.07	217
g75b	55.5	-22.04	-45.94	50.97	244
b00r	41.6	1.37	-45.0	45.03	272
b25r	29.0	25.08	-43.12	49.89	300
b50r	38.04	46.53	-28.38	54.51	329
b75r	49.48	72.88	-3.75	72.98	357



Ein und Ausgabe: Farbmetrisches Drucker-Reflektiv-System ORS19\_96a für relativen CIELAB-Buntton  $h^* = lab^*h^* = h_{ab}/360 = 329/360 = 0.913$

Daten für jede Farbe:

$lab^*ch^*$  und  $lab^*icu^*$

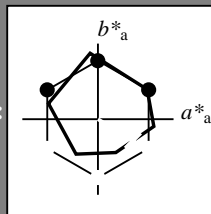
Elementar-Bunttonext:

$u^* = b50r$

Kontrastreduzierungsfaktor:

$c_R = 1.0$

Dreiecks-Helligkeit  $i^*$



ORS19\_96a; adaptierte CIELAB-Daten

	$L^*=L^*_a$	$a^*_a$	$b^*_a$	$C^*_{ab,a}$	$h^*_{ab,a}$
O <sub>Ma</sub>	48.75	65.07	39.43	76.08	31
Y <sub>Ma</sub>	90.92	-10.28	87.24	87.85	97
L <sub>Ma</sub>	52.69	-65.43	20.75	68.65	162
C <sub>Ma</sub>	59.61	-28.97	-46.21	54.56	238
V <sub>Ma</sub>	28.39	23.63	-44.12	50.06	298
M <sub>Ma</sub>	49.58	73.93	-9.55	74.55	353
N <sub>Ma</sub>	18.89	0.0	0.0	0.0	0
W <sub>Ma</sub>	96.9	0.0	0.0	0.0	0
R <sub>CIE</sub>	39.92	58.74	27.99	65.07	25
J <sub>CIE</sub>	81.26	-2.88	71.56	71.62	92
G <sub>CIE</sub>	52.23	-42.41	13.6	44.55	162
B <sub>CIE</sub>	30.57	1.41	-46.46	46.49	272

Daten für Maximalfarbe (Ma):

$LAB^*LAB^*_{Ma}$ : 38 47 -27

$LAB^*LCH^*_{Ma}$ : 38 55 329

$lab^*rgb^*_{Ma}$ : 1.0 0.0 1.0

$lab^*olv^*_{Ma}$ : 0.46 0.0 1.0

Dreiecks-Helligkeit  $i^*$

%Umfang

$u^*_{rel} = 89$

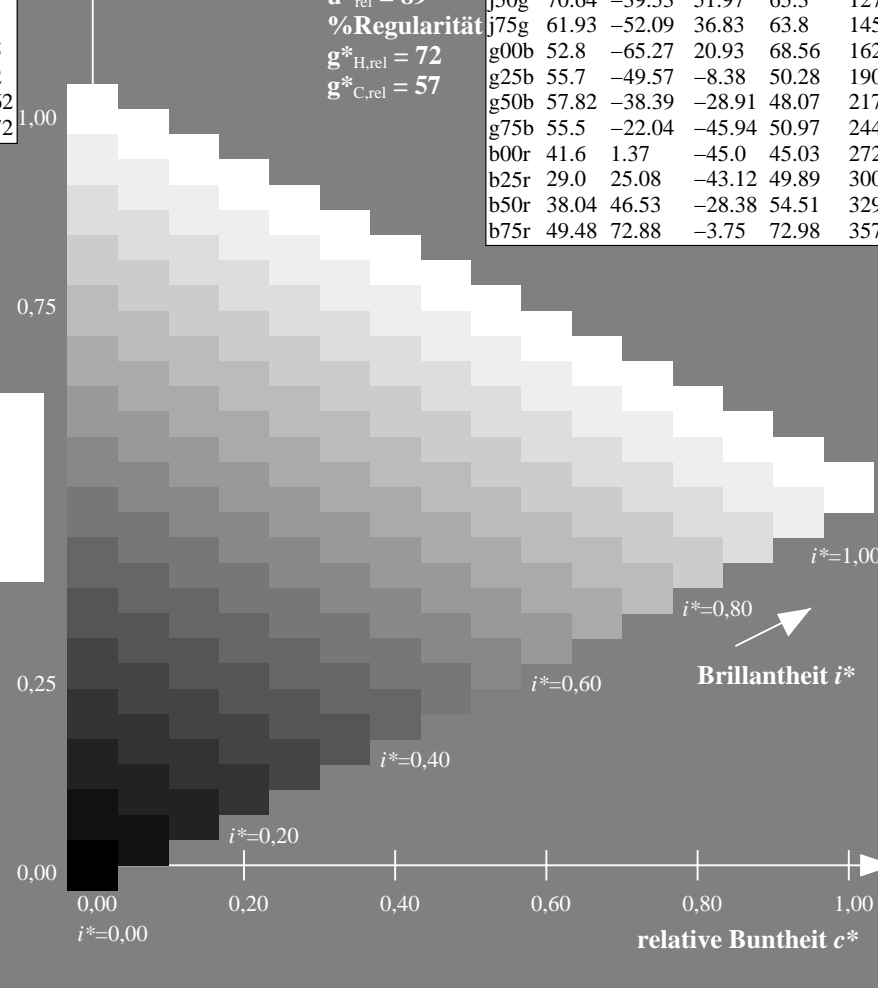
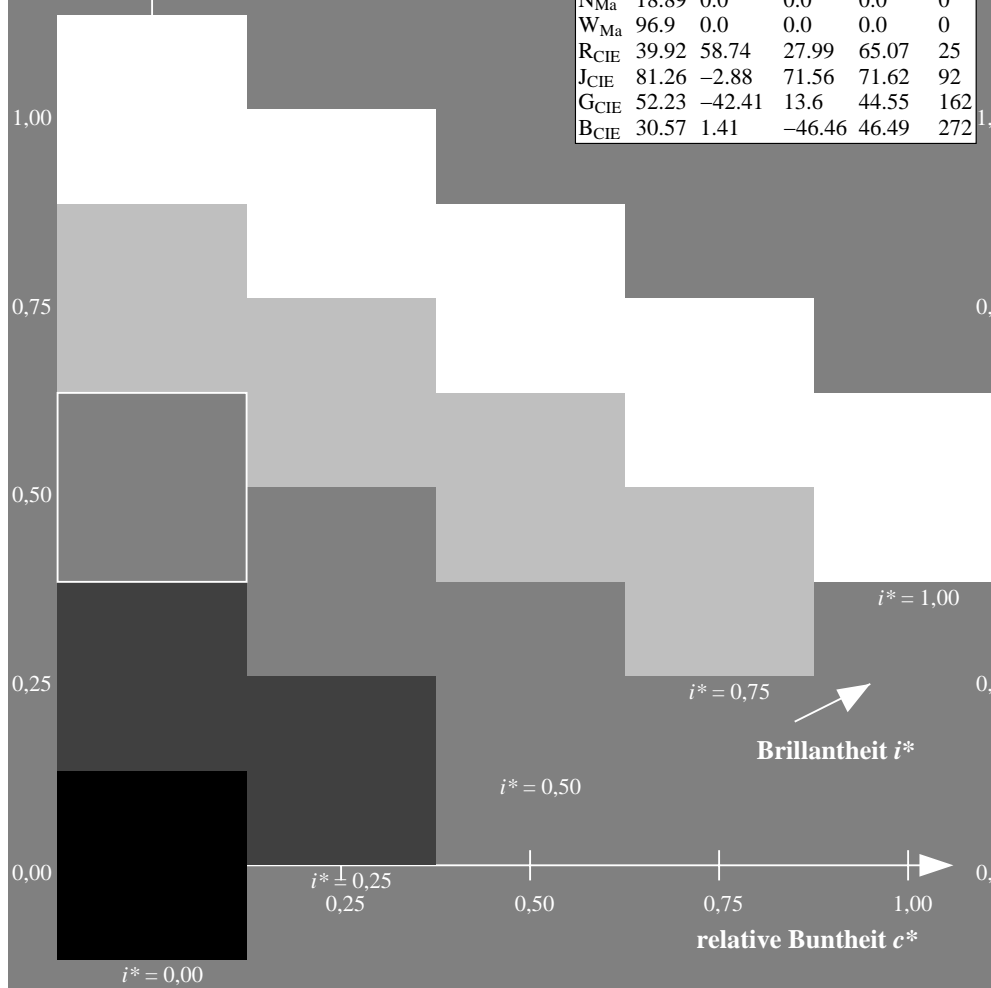
%Regularität

$g^*_{H,rel} = 72$

$g^*_{C,rel} = 57$

ORS19\_96a; adaptierte CIELAB-Daten

	$L^*=L^*_a$	$a^*_a$	$b^*_a$	$C^*_{ab,a}$	$h^*_{ab,a}$
r00j	48.88	66.47	31.67	73.63	25
r25j	55.85	52.39	47.48	70.7	42
r50j	65.45	35.22	58.37	68.17	59
r75j	75.19	17.82	69.41	71.66	76
j00g	87.03	-3.34	82.83	82.9	92
j25g	80.72	-25.0	69.5	73.86	110
j50g	70.64	-39.53	51.97	65.3	127
j75g	61.93	-52.09	36.83	63.8	145
g00b	52.8	-65.27	20.93	68.56	162
g25b	55.7	-49.57	-8.38	50.28	190
g50b	57.82	-38.39	-28.91	48.07	217
g75b	55.5	-22.04	-45.94	50.97	244
b00r	41.6	1.37	-45.0	45.03	272
b25r	29.0	25.08	-43.12	49.89	300
b50r	38.04	46.53	-28.38	54.51	329
b75r	49.48	72.88	-3.75	72.98	357



Ein und Ausgabe: Farbmetrisches Drucker-Reflektiv-System ORS19\_96a für relativen CIELAB-Buntton  $h^* = lab^*h^* = h_{ab}/360 = 357/360 = 0.992$

Daten für jede Farbe:

$lab^*ch^*$  und  $lab^*icu^*$

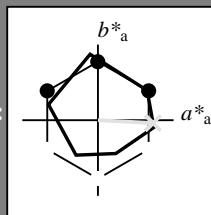
Elementar-Bunttonext:

$u^* = b75r$

Kontrastreduzierungsfaktor:

$c_R = 1.0$

Dreiecks-Helligkeit  $i^*$



ORS19\_96a; adaptierte CIELAB-Daten

	$L^*=L^*_a$	$a^*_a$	$b^*_a$	$C^*_{ab,a}$	$h^*_{ab,a}$
O <sub>Ma</sub>	48.75	65.07	39.43	76.08	31
Y <sub>Ma</sub>	90.92	-10.28	87.24	87.85	97
L <sub>Ma</sub>	52.69	-65.43	20.75	68.65	162
C <sub>Ma</sub>	59.61	-28.97	-46.21	54.56	238
V <sub>Ma</sub>	28.39	23.63	-44.12	50.06	298
M <sub>Ma</sub>	49.58	73.93	-9.55	74.55	353
N <sub>Ma</sub>	18.89	0.0	0.0	0.0	0
W <sub>Ma</sub>	96.9	0.0	0.0	0.0	0
R <sub>CIE</sub>	39.92	58.74	27.99	65.07	25
J <sub>CIE</sub>	81.26	-2.88	71.56	71.62	92
G <sub>CIE</sub>	52.23	-42.41	13.6	44.55	162
B <sub>CIE</sub>	30.57	1.41	-46.46	46.49	272

Daten für Maximalfarbe (Ma):

$LAB^*LAB^*_{Ma}$ : 49 73 -3

$LAB^*LCH^*_{Ma}$ : 49 73 357

$lab^*rgb^*_{Ma}$ : 1.0 0.0 0.5

$lab^*olv^*_{Ma}$ : 1.0 0.0 0.88

Dreiecks-Helligkeit  $i^*$

%Umfang

$u^*_{rel} = 89$

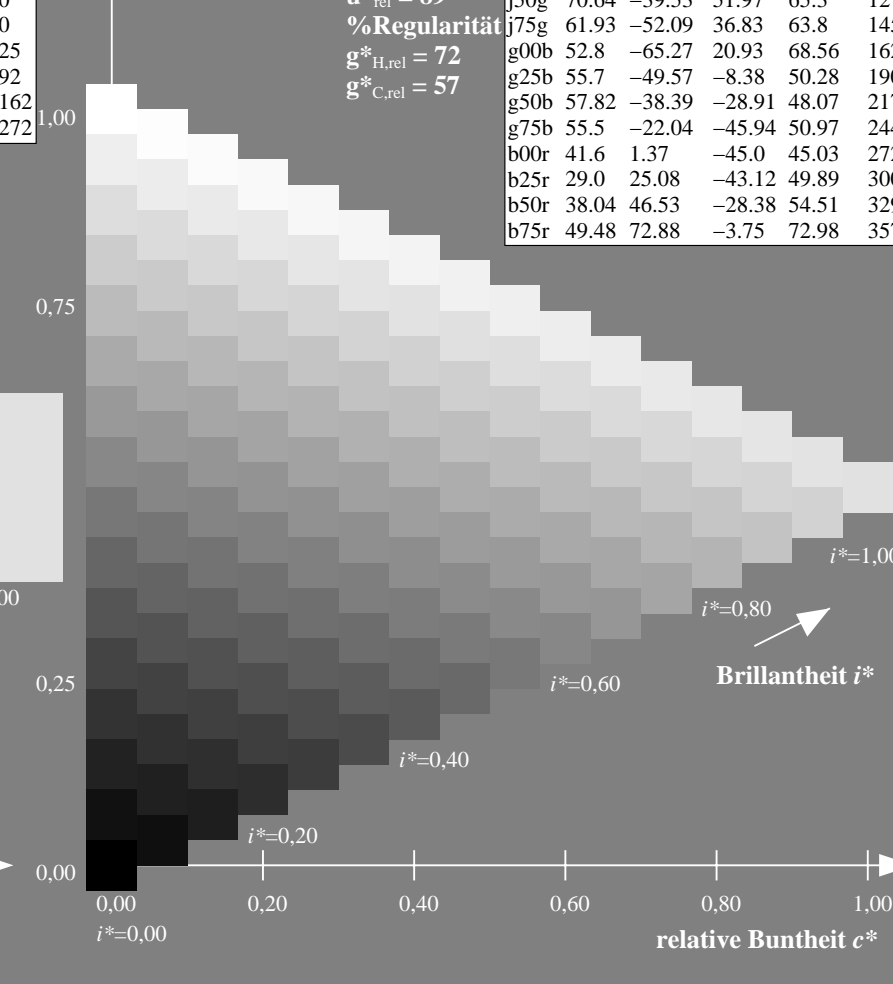
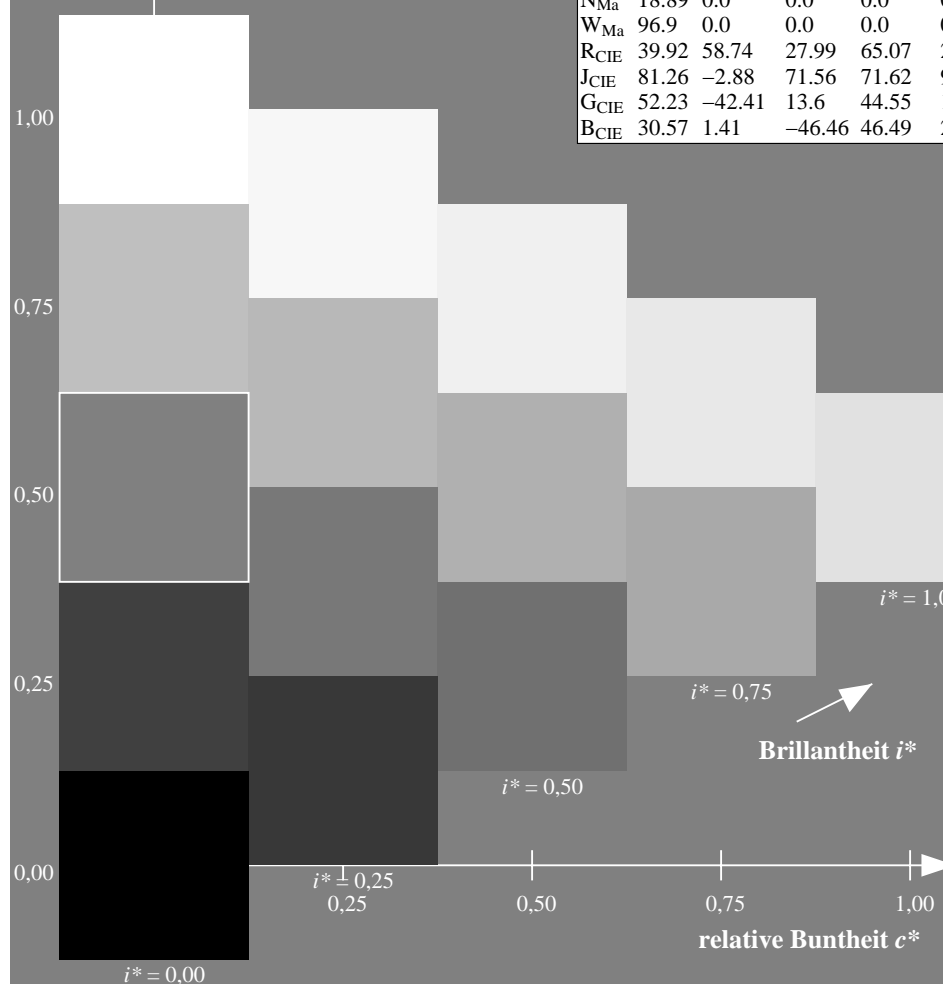
%Regularität

$g^*_{H,rel} = 72$

$g^*_{C,rel} = 57$

ORS19\_96a; adaptierte CIELAB-Daten

	$L^*=L^*_a$	$a^*_a$	$b^*_a$	$C^*_{ab,a}$	$h^*_{ab,a}$
r00j	48.88	66.47	31.67	73.63	25
r25j	55.85	52.39	47.48	70.7	42
r50j	65.45	35.22	58.37	68.17	59
r75j	75.19	17.82	69.41	71.66	76
j00g	87.03	-3.34	82.83	82.9	92
j25g	80.72	-25.0	69.5	73.86	110
j50g	70.64	-39.53	51.97	65.3	127
j75g	61.93	-52.09	36.83	63.8	145
g00b	52.8	-65.27	20.93	68.56	162
g25b	55.7	-49.57	-8.38	50.28	190
g50b	57.82	-38.39	-28.91	48.07	217
g75b	55.5	-22.04	-45.94	50.97	244
b00r	41.6	1.37	-45.0	45.03	272
b25r	29.0	25.08	-43.12	49.89	300
b50r	38.04	46.53	-28.38	54.51	329
b75r	49.48	72.88	-3.75	72.98	357



Siehe ähnliche Dateien: <http://www.ps.bam.de/Dg74/>; [www.ps.bam.de/Dg74/10L/L74G00NP.PS/](http://www.ps.bam.de/Dg74/10L/L74G00NP.PS/) .PDF BAM-Material: Code=rh4ta  
Technische Information: <http://www.ps.bam.de> Version 2.1, io=1,1, ColSpX=0

BAM-Registrierung: 20080701-Dg74/10L/L74G00NP.PS/ .PDF BAM-Material: Code=rh4ta  
Anwendung für Beurteilung und Messung von Drucker- oder Monitorsystemen

